arXiv:0808.1395v1 [math.GT] 10 Aug 2008

АЛГЕБРАИЧЕСКАЯ ТОПОЛОГИЯ

С ЭЛЕМЕНТАРНОЙ ТОЧКИ ЗРЕНИЯ [1]

А. Скопенков [2] [3]

Abstract. This book is purely expositional and is in Russian. It is shown how in the course of solution of interesting geometric problems (close to applications) naturally appear main notions of algebraic topology (homology groups, obstructions and invariants, characteristic classes). Thus main ideas of algebraic topology are presented with minimum technicalities. Familiarity of a reader with basic notions of topology (such as 2-dimensional manifolds and vector fields) is desirable, although definitions are given at the beginning. The book is accessible to undergraduates and could also be an interesting easy reading for mature mathematicians.

[1] Изд-во МЦНМО, Москва, в печати. Выложено на http://arxiv.org/ с разрешения издательства. Автор приносит извинения за недостатки текущей версии.

[2] http://dfgm.math.msu.su/people/skopenkov/papersc.ps

[3] Частично поддержан Российским Фондом Фундаментальных Исследований, Гранты номер 07-01-00648a и 06-01-72551-NCNILa, Грантом Президента РФ МД-4729.2007.1, а также стипендией П. Делиня, основанной на его Премии Бальзана 2004 года.

Посвящается памяти Юрия Петровича Соловьева

ОГЛАВЛЕНИЕ

Введение. Зачем. — Содержание и используемый материал. — Для знатоков. — Благодарности.

ГЛАВА 1. Графы и маломерные многообразия.

Графы. Определение графа. — Наглядные задачи. — Основные понятия теории графов. — Изоморфность и гомеоморфность графов.

Утолщения графов. Реализуемость иероглифов. — Топологическая эквивалентность дисков с ленточками. — Диски с перекрученными ленточками. — Ориентируемые утолщения графов. — Произвольные утолщения графов. — Планарность и род утолщений и графов.

Определение дву- и трехмерных многообразий. Определение и примеры двумерных полиэдров. — Определение и инварианты двумерных многообразий. — Классификация двумерных многообразий. — Дополнение: другие определения. — Определение трехмерных многообразий.

ГЛАВА 2. Ориентируемость.

Ориентируемость. Ориентируемость 2-многообразий. — Форма пересечений. — Ориентируемость и классификация утолщений.

Инволюции. Примеры инволюций. — Классификация инволюций. — Другое доказательство теоремы классификации инволюций.

Трехмерные утолщения двумерных полиэдров. Вложимость 2-полиэдров в $\mathbb{R}^3$. — Утолщаемость 2-полиэдров до 3-многообразий. — Ложные поверхности. — Критерии утолщаемости ложных поверхностей. — Классификация 3-утолщений ложных поверхностей. — 3-утолщения произвольных 2-полиэдров.

ГЛАВА 3. Векторные поля и их системы.

Векторные поля. Определения, примеры и основные результаты. — Касательные векторные поля: общее положение. — Касательные векторные поля: триангуляции. — Нормальные векторные поля.

Классификация векторных полей и сечений. Классификация векторных полей. — Классификация сечений и зейфертовых сечений. — Приложение: применение к гамильтоновым системам.

Системы векторных полей. Введение. — Характеристические классы для 3-многообразий. — Набросок простого доказательства теоремы Штифеля. — Характеристические классы для n-многообразий.

ГЛАВА 4. Методы вычисления гомологий.

Простейшие методы (набросок). Определения. — Вычисление по определению. — Гомологии пары. Вырезание. — Точные последовательности.

Двойственность Пуанкаре. Простая часть. — Сложная часть по модулю 2. — Сложная часть с целыми коэффициентами (набросок). — Реализация циклов подмногообразиями (набросок).

Двойственность Александера-Понтрягина. Коэффициент зацепления. — Двойственность Александера-Понтрягина. — Применения двойственности Александера.

ГЛАВА 5. Приложения характеристических классов.

Введение и основные результаты.

Вложимость и погружаемость многообразий. — Препятствие Уитни к вложимости. — Нормальные классы Уитни.

Вычисления характеристических классов. Простейшие расслоения. — Векторные расслоения. — Степени двойки и классы Штифеля-Уитни (набросок). — Классификация расслоений.

Препятствия к кобордантности. Числа Эйлера и Штифеля-Уитни.— Сигнатура и числа Понтрягина (набросок).

ГЛАВА 6. Гомотопическая классификация отображений.

Теорема Хопфа. Определения и исторические замечания. — Основная теорема топологии (набросок). — Фундаментальная группа и накрытия (набросок). — Отображения графа в окружность. — Отображения 2-многообразия в окружность. — Отображения графа в проективное пространство. — Эквивариантные отображения графа. — Отображения полиэдра в сферу той же размерности.

Обобщения теоремы Хопфа (набросок). Отображения трехмерного полиэдра в двумерную сферу. — Отображения полиэдра в сферу меньшей размерности. — Отображения в пространства Эйленберга-Маклейна.

ГЛАВА 7. Вложения в плоскость.

Препятствия Ван Кампена. Введение. — Аппроксимация путей вложениями. — Препятствие Ван Кампена к аппроксимируемости пути вложениями. — Другое построение препятствия Ван Кампена к аппроксимируемости вложениями. — Препятствие Ван Кампена к планарности графов. — Препятствие Ван Кампена к распроектируемости.

Инвариант Ву вложений графов в плоскость.

Конфигурационные пространства и планарность. Препятствие взрезанного квадрата к планарности графов. — Теорема Мура о триодах и пример непланарного бесконечного дерева. — Препятствие взрезанного квадрата к планарности компактов.

ГЛАВА 8. Вложения и заузливания (приложение).

Введение: проблемы вложимости и заузливания. — Общее положение. Идея дополнения. — Инвариант дополнения для узлов в коразмерности 1 и 2. — Общий инвариант дополнения. — Общий инвариант окрестности. — Комбинация инвариантов дополнения и окрестности.

Литература.

ВВЕДЕНИЕ

Nothing was changed, but now it made sense.
U. K. Le Guin, The Beginning Place. [4]

Зачем эта книга.

Алгебраическая топология является фундаментальной частью математики и имеет применения за ее пределами. Как и для любой фундаментальной части науки, ее основные мотивировки и идеи можно доступно изложить человеку, не имеющему глубоких специальных познаний. Такому изложению посвящена настоящая книга (вместе с [ST04], [BE82], [Fo92], [Pr95], [An03] и, возможно, другими книгами). Ее особенность — возможности познакомиться с этими мотивировками и идеями при сведении к необходимому минимуму *языка*. Демонстрируя основные идеи на простейших частных случаях, свободных от технических деталей, я надеюсь сделать алгебраическую топологию более доступной неспециалистам (в первую очередь студентам).

Процесс появления полезных алгебраических понятий продемонстрирован на примере наиболее наглядных топологических задач (о вложениях графов в плоскость, о построении и классификации векторных полей, погружений и вложений, о гомотопической классификации непрерывных отображений). [5] Такое изложение является не нововведением, а, напротив, возвращением к подходу первооткрывателей (которое, впрочем, автору обычно приходилось сначала переоткрывать и лишь потом убеждаться, что классики рассуждали так же). Такое изложение было обычным в 'добурбакистский' период [ST04], [CL95]. Изложение 'от простого к сложному' и в форме, близкой к форме рождения материала, продолжает устную традицию, восходящую к Лао Цзы и Платону, положенную Гегелем в основу изложения философии, а в современном преподавании математики представленную, например, книгами Пойа и журналом 'Квант'.

Вслед за классиками, я ориентируюсь на объекты, которые основательнее всего укореняются в памяти (или подсознании). Это — отнюдь не системы аксиом и не формально-логические схемы доказательств, а естественные построения для решения интересных проблем или изящные доказательства красивых теорем, формулировки которых ясны и доступны. Более того, именно по таким построениям и доказательствам, при наличии некоторой математической культуры, читатель сможет восстановить более абстрактный теоретический материал.

Алгебраическая топология основана на следующей простой идее, часто встречающейся при решении школьных (в частности олимпиадных) задач: *невозможность* проделать некоторую конструкцию можно доказывать путем построения алгебраического *препятствия* (или *инварианта*) — например, из соображений четности. Точно так же *неэквивалентность* конструкций часто доказывается путем построения алгебраического *инварианта*, их различающего (этот инвариант является *препятствием* к эквивалентности). Многие непохожие друг на друга задачи топологии аналогичным образом естественно приводят к похожим друг на друга *препятствиям*. Именно ветви алгебраической топологии, непосредственно связанной с *теорией гомологий* и *теорией препятствий*, посвящена настоящая книга.

---

[4] *Ничего не изменилось, но теперь все было понятно. У. К. Ле Гуин, Изначальное место (пер. автора).*

[5] Замечу, что важнейшие геометрические проблемы, ради которых была создана алгебраическая топология, в свою очередь были мотивированы предыдущим развитием математики (прежде всего анализа и алгебры). Мотивировать эти геометрические задачи не входит в цели настоящей книги. Я либо привожу ссылки, либо аппелирую к непосредственной любознательности читателя.

Изложение алгебраической топологии, начинающееся с длительного освоения немотивированных абстрактных понятий и теорий делает малодоступными ее замечательные применения. Приведу лишь один пример из многих. Еще в 19 веке был придуман очень простой, наглядный и полезный инвариант многообразий — форма пересечений (умножение в гомологиях многообразий). Замечательным открытием Колмогорова и Александера 1930-х годов явилось обобщение этого инварианта на произвольные полиэдры (умножение в когомологиях). Умножение Колмогорова-Александера менее наглядно и определяется более громоздко, чем форма пересечений (но зато имеет более продвинутые применения). Определение формы пересечений через умножение Колмогорова-Александера делает малодоступными ее замечательные применения (для получения которых не требуется умножения Колмогорова-Александера). Поэтому форму пересечений иногда просто переоткрывают [Mo89].

Надеюсь, принятый стиль изложения не только сделает материал более доступным, но позволит сильным студентам (для которых доступно даже абстрактное изложение) приобрести математический вкус с тем, чтобы разумно выбирать проблемы для исследования, а также ясно излагать собственные открытия, не скрывая ошибок (или известности полученного результата) за чрезмерным формализмом. К сожалению, такое (бессознательное) сокрытие ошибок часто происходит с молодыми математиками, воспитанными на чрезмерно формальных курсах (происходило и с автором этих строк; к счастью, почти все мои ошибки исправлялись *перед* публикациями).

Чтение этой книги и решение задач потребуют от читателя усилий, однако эти усилия будут сполна оправданы тем, что вслед за великими математиками 20-го века в процессе изучения геометрических проблем читатель откроет некоторые основные понятия и теоремы алгебраической топологии. Надеюсь, это поможет читателю совершить собственные настолько же полезные открытия (не обязательно в математике)!

Содержание и используемый материал.

Книга предназначена в первую очередь для читателей, не владеющих алгебраической топологией (хотя возможно, что часть этого текста будет интересна и специалистам). Все необходимые алгебраические объекты (со страшными названиями группы гомологий, характеристические классы и т. д.) естественно возникают и строго *определяются* в процессе исследования геометрических проблем. В большей части книги знакомство с алгебраическим понятием группы не обязательно, и это слово можно воспринимать как синоним слова 'множество' (кроме тех мест, где оговорено противное).

Для чтения большой части книги достаточно геометрической интуиции и интуитивного представления о двумерных (кое-где — трехмерных) многообразиях. Для удобства читателя в главе 1 приведены определения и используемые свойства графов, двумерных и трехмерных многообразий. Заметим, что эта глава ни в коем случае не исчерпывает теории этих объектов; хотя формально она не опирается на другие источники, читателю может оказаться полезным ознакомиться с более подробным изложением ее материала [BE82], [MF90].

Совершенно не обязательно начинать изучение книги с *полного* прочтения главы 1. Действительно, большая часть главы 7 использует только графы. Трехмерные многообразия существенно используются только в последних параграфах глав 2 и 3, в параграфе 'двойственность Пуанкаре' главы 4 (для двумерных многообразий содержание этого параграфа покрывается параграфом 'форма пересечений' главы 2), в главе 5 и в отдельных местах главы 6 (которые могут быть пропущены без ущерба для понимания материала, не касающегося трехмерных многообразий). В этой книге n-мерные многообразия не определяются. Их определение легко придумать по аналогии с приведенным определением двумерных и трехмерных многообразий. Можно также в тех местах, где встречаются n-мерные многообразия, считать, что $n = 2, 3$

(впрочем, глава 5 интересна именно для $n \geqslant 4$).

Заметим, однако, что характеристические классы по-настоящему незаменимы только для многообразий размерности выше трех. Поэтому наше изложение материала о векторных полях на *двумерных* многообразиях в главе 3 менее наглядно и более абстрактно, чем изложение в [BE82], [Pr95]. Достоинство нашего изложения в том, что оно дает более непосредственное представление об общих методах, применимых к *многомерным* многообразиям.

Главы 2, 3, 6 и 7 практически независимы друг от друга (впрочем, в главе 3 рассматриваются примеры, аналогичные главе 2, но в среднем более сложные). Начинать изучение книги можно с любой из них (при необходимости предварительно ознакомившись с необходимыми понятиями по главе 1). При этом сложность материала (и количество используемых понятий) внутри каждой главы растет. Поэтому вполне разумно переходить к новой главе, отложив на потом изучение конца старой. Более того, разобрав по главам 2, 3, 6 или 7 несколько примеров, мотивирующих понятие групп гомологий, можно ознакомиться с абстрактным изложением этого понятия в главе 4. После этого разумно возвращаться к отложенному материалу. Формально глава 4 не зависит от предыдущих глав. Но в ней нет ответа на вопрос 'зачем', важного для начала изучения любой теории.

Наиболее блистательные применения некоторой теории — теоремы, в формулировках которых *нет* понятий из этой теории (но при доказательства которых без данной теории не обойтись). Такие применения есть и у алгебраической топологии (в частности, теории гомологий). Для удобства читателя такие теоремы выделены жирным шрифтом в тексте, в главе 3 собраны в начале параграфов, а в главе 5 собраны в начале главы.

Доказательства этих теорем разбиваются на два шага. Первый и обычно более простой шаг — получение необходимого условия на языке теории препятствий — приводится в этой книге. Второй и более сложный шаг — вычисление появляющихся препятствий — приводится лишь в виде наброска, цикла задач или просто ссылки (поскольку, по мнению автора, второй шаг лучше описан в литературе, чем первый). Замечу, что для большинства простейших геометрических проблем очевидно, что полученное необходимое алгебраическое условие является достаточным. А вот для более сложных геометрических проблем, которые здесь не приводятся (например, о классификации многообразий или вложений), наиболее трудно именно доказать *достаточность* полученного алгебраического условия.

Больша́я часть материала сформулирована в виде задач, обозначаемых жирными числами. Следует подчеркнуть, что многие задачи не используются в остальном тексте. Красивые наглядные задачи, для решения которых не нужно никаких знаний, приведены уже в самом начале. Для понимания и решения большинства задач достаточно знакомства с настоящим текстом (точнее, его части, предшествующей формулировке задачи). Если используемые в условии термины не определены в этом тексте и вам незнакомы, то соответствующую задачу следует просто игнорировать. Отметим, что для решения задач достаточно понимания их формулировок и *не требуется* никаких дополнительных понятий и теорий (кроме, быть может, задач со звездочками).

Приводимые задачи являются примерами интересных и полезных фактов, и читателю будет полезно ознакомиться с самими фактами, даже если он не сможет их самостоятельно доказать. Например, в некоторых задачах изложен план доказательства теорем, который полезно понимать, даже если детали этого плана останутся недоступными. Поэтому приводимые формулировки задач могут быть путеводителем по другим учебникам по алгебраической топологии, позволяя намечать интересные конечные цели и отбрасывать материал, не являющийся для этих целей необходимым.

Впрочем, полезнее всего было бы обсуждать со специалистом как ваши решения задач, так и возникающие при решении трудности.

Если условие задачи является формулировкой утверждения, то подразумевается, что это утверждение требуется доказать.

Через $|AB|$ или $|A, B|$ обозначается расстояние между точками A и B (из контекста ясно, в каком пространстве).

Для знатоков.

В главе 3 приводится набросок простого доказательства теоремы Штифеля о параллелизуемости ориентируемых трехмерных многообразий (изложение несколько упрощено по сравнению с [Ki89]). Нестандартным (хотя и несложным) является материал глав 7 и 8, параграфов 'утолщения графов', 'трехмерные утолщения двумерных полиэдров', 'классификация векторных полей и сечений' и 'вложимость и погружаемость многообразий'. По возможности приводятся ссылки на книги и обзоры, а не на оригинальные статьи.

Стандартная терминология теории препятствий не используется там, где (по мнению автора) она неудобна для начинающего. Приведем здесь сравнение обычной терминологии и принятой в книге. *Расстановки элементов группы G на i-симплексах триангуляции T* — то же, что *i-мерные цепи на T с коэффициентами в G*. Группа таких расстановок обычно обозначается $C_i(T; G)$. Множество $\partial C_{i+1}(T; G)$ всех границ образует подгруппу группы $C_i(K; G)$, обозначаемую $B_i(T; G)$. Когда $G = \mathbb{Z}_2$, мы пропускаем коэффициенты в обозначениях цепей, циклов, границ и гомологий.

Кроме того, в этой книге (кроме глав 6 и 7) препятствия лежат в группах *гомологий*, а не в группах *когомологий* (изоморфных группам гомологий для многообразий). Именно эта точка зрения (двойственная принятой в учебниках, но обычная для первооткрывателей) позволяет *наглядно изображать* препятствия.

В главах 1, 2 и 7 мы работаем с многообразиями в кусочно-линейной категории, а в главах 3 и 5 — в гладкой. Поскольку любое гладкое многообразие имеет триангуляцию, согласованную с гладкой структурой, часто мы эту триангуляцию и используем. По теореме Мойса об аппроксимации [Bi83] аналогичные результаты верны и в топологической категории для размерности не выше 3.

Благодарности.

Благодарю А. Н. Дранишникова, Д. Б. Фукса, А. Т. Фоменко и Е. В. Щепина: я учился алгебраической топологии по книге [FF89] и на семинаре Дранишникова-Щепина в Математическом институте Российской академии наук.

Настоящая книга основана на лекциях, прочитанных автором на мехмате Московского государственного университета им. М. В. Ломоносова, в Независимом московском университете, в Летней школе 'Современная математика', а также в Кировской и Петербургской летних математических школах в 1994-2006 гг. (Материал статей [RS00], [RS02] содержится в настоящей книге в существенно доработанном и расширенном виде.) Я признателен М. Н. Вялому, А. А. Заславскому, С. К. Ландо, В. В. Прасолову, В. В. Шувалову, ???, а также всем слушателям этих лекций за черновые записки лекций и многочисленные обсуждения, способствовавшие улучшению изложения.

Эта книга посвящена памяти Юрия Петровича Соловьева — замечательного математика, считавшего очень важным изложение математики на конкретном, доступном (и в то же время строгом) языке, в отличие от 'птичьего' языка излишней абстракции.

ГЛАВА 1. ГРАФЫ И МАЛОМЕРНЫЕ МНОГООБРАЗИЯ

Wissen war ein bisschen Schaum, der über eine Woge tanzt.
Jeder Wind konnte ihn wegblasen, aber die Woge blieb.
E. M. Remarque, Die Nacht von Lissabon. [6]

ОСНОВНЫЕ ПОНЯТИЯ ТЕОРИИ ГРАФОВ.

Вероятно, вводимые здесь понятия знакомы читателю, но мы приводим четкие определения, чтобы фиксировать терминологию (которая бывает другой в других книгах). В бóльшей части книги используется только первый пункт этого параграфа, поэтому параграф можно пропустить и возвращаться к нему по мере необходимости.

Определение графа.

Графом без петель и кратных ребер называется конечное множество, некоторые двухэлементные подмножества (т.е. неупорядоченные пары) которого выделены. Элементы данного множества V называются *вершинами.* Выделенные пары вершин называются *ребрами.* Каждое ребро соединяет различные вершины (нет петель), и любые две вершины соединены не более чем одним ребром (нет кратных ребер).

Графом (с петлями и кратными ребрами) называется конечное множество V, вместе с таким отображением $e : V \times V \to \mathbb{Z}_+$ в множество целых неотрицательных чисел, что $e(x, y) = e(y, x)$. Элементы множества V называются *вершинами.* Пара вершин, переходящая в число $k > 0$, называется *ребром кратности* k (иногда ребром кратности 0 удобно называть пару, переходящую в 0).

Количества вершин, ребер (с учетом кратности и включая петли) и компонент связности графа обозначаются V, E и C, соответственно.

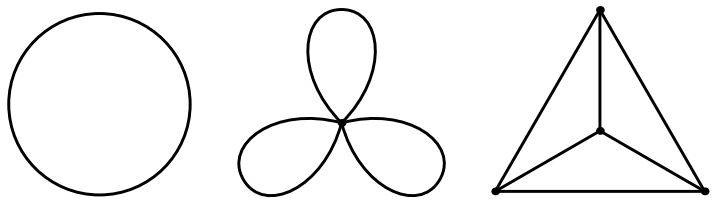

S^1 букет окружностей K_4

Рис. 1: Примеры графов

При работе с графами удобно пользоваться их изображениями. Вершины изображаются точками (например, на плоскости или в пространстве). Каждое ребро, соответствующее двухэлементному выделенному подмножеству, изображается ломаной (или кривой), соединяющей соответствующие точки. Каждое ребро, соответствующее одноэлементному выделенному подмножеству $\{A\}$, изображается замкнутой ломаной (или кривой), соединяющей эту вершину A саму с собой. (Для простоты мы в основном будем рассматривать только такие рисунки, на которых ребра изображаются ломаными, а не произвольными кривыми.) На изображении ломаные могут пересекаться, но точки пересечения (кроме двух концов ребра) не являются вершинами. Важно, что граф и его изображение — не одно и то же.

[6] Знание здесь — только пена, пляшущая на волне. Одно дуновение ветра — и пены нет. А волна есть и будет всегда. Э. М. Ремарк, Ночь в Лиссабоне (Пер. Ю. Плашевского).

Наглядные задачи.
Тор, лист Мёбиуса и сфера с ручками изображены на рис. 2.

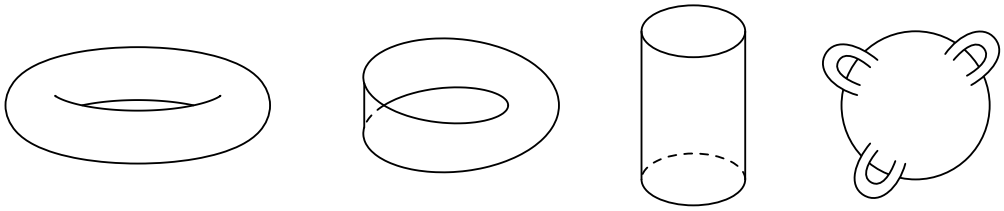

Рис. 2: Тор, лист Мебиуса, цилиндр и сфера с ручками

1. Можно ли нарисовать без самопересечений графы K_5 и $K_{3,3}$ (рис. 3)
(a) на торе? (b) на листе Мёбиуса?
(c) на сфере? (d) на боковой поверхности цилиндра (т.е. в кольце)?

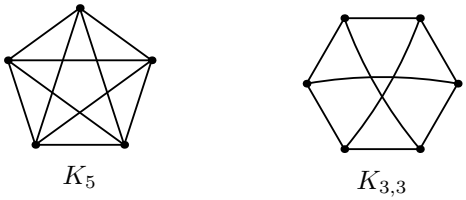

Рис. 3: Графы Куратовского

2. Любой граф можно нарисовать без самопересечений
(a) в пространстве.
(b) на сфере с некоторым количеством ручек, зависящим от конкретного графа.
(c) в книжке с некоторым количеством листов, зависящим от графа.
(d) в книжке с тремя листами (рис. 26 слева).

3. Вырежьте из книжки с тремя листами
(a) лист Мёбиуса; (b) тор с дыркой;
(c) любой диск с ленточками (т.е. любое двумерное многообразие с краем — см. определение далее).

4. (a) Разрежьте бутылку Клейна (рис. 23) на два листа Мёбиуса.
(b) Разрежьте бутылку Клейна так, чтобы получился (один) лист Мёбиуса.
(c) Можно ли из листа Мебиуса вырезать непересекающиеся кольцо и лист Мебиуса?
(d)* Можно ли из листа Мебиуса вырезать два непересекающиеся листа Мебиуса?

Основные понятия теории графов.
Степенью вершины графа называется число выходящих из нее ребер.

Путем в графе называется конечная последовательность вершин, в которой любые две соседние вершины соединены ребром. *Циклом* называется путь, в котором первая и последняя вершины совпадают. Граф называется *связным*, если любые две его вершины можно соединить путем.

Граф называется *деревом*, если он связен и не содержит несамопересекающихся циклов. Ясно, что в любом связном графе существует дерево, содержащее все его вершины. Такое дерево называется *максимальным деревом*.

Вершина графа называется *висячей*, если из нее выходит ровно одно ребро (т. е. если она имеет степень один). Ребро графа называется *висячим*, если одна из его концевых вершин висячая.

Грубо говоря, *подграф* данного графа — это его часть. Формально, граф G называется *подграфом* графа H, если каждая вершина графа G является вершиной графа H, и каждое ребро графа G является ребром графа H. При этом две вершины графа G, соединенные ребром в графе H, не обязательно соединены ребром в графе G.

Изоморфность и гомеоморфность графов.

Грубо говоря, графы изоморфны, если они одинаковы (при этом их изображения на плоскости могут быть разными). Формально, графы G_1 и G_2 называются *изоморфными*, если существует взаимно однозначное отображение f множества V_1 вершин графа G_1 на множество V_2 вершин графа G_2, удовлетворяющее условию: *вершины $A, B \in V_1$ соединены ребром в том и только в том случае, если вершины $f(A), f(B) \in V_2$ соединены ребром.*

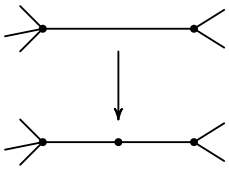

Рис. 4: Подразделение ребра

Операция *подразделения ребра* графа показана на рис. 4. Два графа называются *гомеоморфными*, если от одного можно перейти к другому при помощи операций подразделения ребра и обратных к ним. Или, эквивалентно, если существует граф G, который можно получить из каждого из данных графов операциями подразделения ребра.

Компактным одномерным полиэдром (или *графом в топологическом смысле*) называется класс эквивалентности некоторого графа по отношению гомеоморфности. Будем сокращенно нызывать компактный одномерный полиэдр *1-полиэдром*. Представляющий граф называется *1-схемой* соответствующего 1-полиэдра.

При работе с 1-полиэдрами мы часто будем пользоваться представляющими их графами, опуская проверку независимости от выбора представителя в классе эквивалентности. Через S^1 обозначается граф, гомеоморфный окружности (или соответствующий 1-полиэдр).

В этом абзаце (не используемом в дальнейшем) понятия склейки, фигуры (или, научно, топологического пространства) и топологической эквивалентности (или, научно, гомеоморфности) не определяется, а считается наглядно очевидными. Каждому графу G соответствует *тело графа* $|G|$ — фигура, получающаяся из конечного числа отрезков отождествлением некоторых их концов в соответствии с графом G. 1-полиэдры находятся во взаимно-однозначном соответствии с фигурами, топологически эквивалентными телу некоторого графа. Нетрудно доказать следующий критерий: *фигуры $|G_1|$ и $|G_2|$ топологически эквивалентны тогда и только тогда, когда графы G_1 и G_2 гомеоморфны.* В топологической теории графов 1-полиэдры интересны именно как фигуры (а не как классы эквивалентности графов), а сформулированный критерий является *мотивировкой* для определения гомеоморфности графов, которое позволяет перевести теорию 1-полиэдров на чисто комбинаторный язык. В частности, приведенный критерий решает проблему топологической эквивалентности для

1-полиэдров на языке представляющих их графов (в том смысле, что не существует лучшего критерия топологической эквивалентности).

Заметим, что 1-полиэдры часто называют графами (опуская слова 'в топологическом смысле').

Ответы и указания к некоторым задачам.

1. (a), (b). Можно. Красивые реализации графа K_5 на торе и графа $K_{3,3}$ на листе Мебиуса изображены на рис. 5.

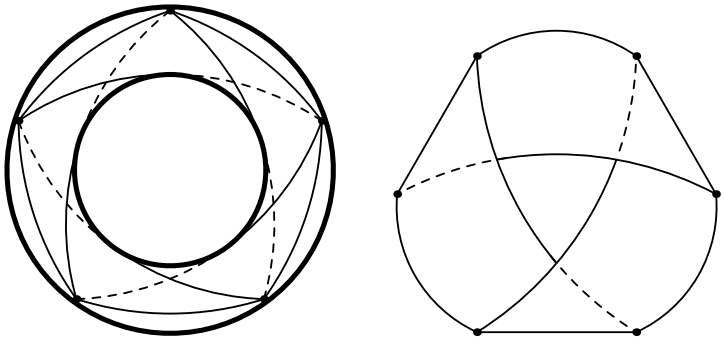

Рис. 5: Реализация графов Куратовского

(c) Нельзя. От противного, пусть мы нарисовали на сфере граф K_5 без самопересечений. Если мы выкинем из сферы точку (не являющуюся вершиной K_5), то получится плоскость, а K_5 не планарен (см. [Pr04, Sk05] или введение к параграфу 'препятствие Ван Кампена' главы 7).

(d) Нельзя. Действительно, граф K_5 не планарен, а цилиндр (кольцо) можно изобразить на плоскости без самопересечений.

2. (a) Нарисуем граф (возможно с пересечениями) на плоскости. Если есть точки пересечения, то поднимем одно из каждых двух пересекающихся ребер в пространство так, чтобы пересечение пропало.

(b) Используйте идею решения пункта (a).

(d) (Решение написано Е. Фоминых) Нарисуем данный граф на плоскости (с самопересечениями) так, чтобы ребра не самопересекались. Если образовались точки пересечения (кроме вершин) более чем двух ребер, то подвинем некоторые ребра так, чтобы остались только двукратные точки пересечения.

Проведем через точки пересечения несамопересекающуюся кривую. Затем непрерывной деформацией плоскости растянем ее в прямую. Назовем эту прямую корешком, а плоскость двумя листами. Прилепим третий лист по корешку.

Теперь в малой окрестности каждой из точек пересечения поднимем одно из ребер 'мостиком' над другим ребром на третий лист. Таким образом все точки пересечения будут ликвидированы (а новых точек пересечения не появится).

УТОЛЩЕНИЯ ГРАФОВ

В этом параграфе рассматриваются проблемы, при решении которых естественно появляются произвольные (т.е. не заданные в виде сфер с ручками) поверхности. Не используя даже понятия графа (все места, где оно упоминается, можно опустить), мы покажем основную идею теоремы классификации поверхностей, полностью приведенной в следующем параграфе.

Формально, материал этого параграфа не используется в дальнейшем.

Реализуемость иероглифов на плоскости и торе.

1. Улицы города (с двусторонним движением) идут либо с севера на юг, либо с запада на восток.

(a) Из одного перекрестка выехало два велосипедиста: первый на север, второй на восток. Оба они приехали на этот же перекресток: первый с юга, второй с запада. Докажите, что один из велосипедистов пересекал следы другого.

(b) Из одного перекрестка выехало три велосипедиста: первый на север, второй на восток и третий на запад. Все они приехали на другой перекресток: первый с севера, второй с востока и третий с запада. Докажите, что один из велосипедистов пересекал следы другого.

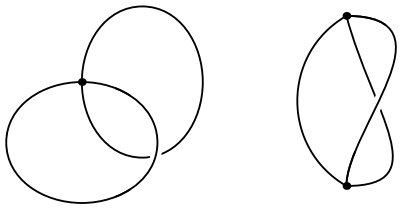

Рис. 6: Иероглифы $(abab)$, $(abacbc)$ и $(abcabc)$ (изменить!)

При решении этой задачи можно использовать без доказательства следующий факт.

Теорема Жордана. *Замкнутая несамопересекающаяся кривая на плоскости делит плоскость ровно на две части. Две точки плоскости, не принадлежащие кривой, лежат в одной части тогда и только тогда, когда их можно соединить ломаной, не пересекающей кривой.*

Будем рассматривать слова длины $2n$ из n букв, в которых каждая буква встречается два раза. *Упрощенным иероглифом* называется такое слово с точностью до переименования букв, циклического сдвига и симметрии.

Эквивалентно, *упрощенным иероглифом* называется семейство (занумерованных) петель с общей вершиной, для которого указан *неориентированный* циклический порядок выходящих из вершины отрезков (отрезки, отвечающие одной петле, занумерованы номером этой петли).

Эквивалентно, *упрощенным иероглифом* называется фигура из $2n$ отрезков с общей вершиной на плоскости ('плоская звезда с $2n$ лучами'), отрезки которой пересекаются друг с другом только по общей вершине и произвольным образом разбиты на (занумерованные) пары.

В этом и следующем пунктах упрощенные иероглифы называются просто *иероглифами*

Иероглифы изображаются рисунками типа рис. 6 или рис. 7. При этом циклический порядок задается обходом выходящих из вершины отрезков вокруг вершины.

Иероглиф называется *реализуемым на плоскости*, если можно соединить ребра каждой пары ломаной так, чтобы не было пересечений. Или, эквивалентно, если его

петли можно нарисовать без самопересечений на плоскости так, чтобы при обходе по плоскости вокруг вершины выходящие из нее отрезки проходились бы в соответствии с указанным циклическим порядком.

Например, иероглиф $(abab)$ (рис. 6) не реализуем на плоскости (ср. с задачей 1a).

2. Иероглиф G реализуем на плоскости тогда и только тогда, когда выполнено любое из двух следующих эквивалентных условий:

G не содержит иероглифа $(abab)$.

граф петель иероглифа G является объединением изолированных вершин.

Понятие 'содержит' для иероглифов определите самостоятельно.

Графом петель иероглифа называется граф, вершинами которого являются петли иероглифа; две вершины соединены ребром, если соответствующие две петли образуют иероглиф с рис. 6 слева (т.е. 'скрещиваются').

Тором называется поверхность бублика (рис. 2 слева).

Иероглиф называется *реализуемым на торе*, если на торе можно соединить ломаной отрезки каждой пары в звезде так, чтобы не было пересечений. Или, эквивалентно, если его петли можно изобразить без самопересечений на торе так, чтобы при обходе по тору вокруг вершины выходящие из нее отрезки проходились бы в соответствии с указанным циклическим порядком.

3. (a) Иероглиф $(abab)$ на рис. 6 слева реализуем на торе.

(b) Иероглиф $(abcabc)$ (с шестью лучами, разбитыми на пары диаметрально противоположных) и иероглиф $(abacbc)$ (рис. 6 справа) реализуемы на торе.

(c) Иероглифы на рис. 7 не реализуемы на торе (указание: если не получается, см. начало следующего пункта).

(d) [Cu81], [KPS]. Следующие условия на иероглиф G эквивалентны

(1) G реализуем на торе.

(2) G не содержит ни одного иероглифа с рис. 7.

(3) граф петель иероглифа G является объединением изолированных вершин и полного трехдольного графа $K_{p,q,r}$.

(4) G редуцируется до одного из иероглифов () (так обозначается иероглиф без петель), $(abcabc)$ или $(abab)$.

Редукцией (упрощенного) иероглифа называется композиция некоторого числа следующих преобразований.

(1) Удаление некоторой изолированной петли (т.е. такой петли, которая в циклическом порядке задается двумя подряд идущими буквами $(aa\ldots)$).

(2) Замена двух 'параллельных' петель a и a' (т.е. для которых в циклическом порядке буквы, соответствующие этим петлям, находятся на соседних местах и не чередуются: $(aa'\ldots a'a\ldots)$) на одну.

Топологическая эквивалентность дисков с ленточками.

Пусть имеется иероглиф. Возьмем двумерный диск (например, выпуклый многоугольник на плоскости). На граничной окружности диска отметим непересекающиеся отрезки, отвечающие ребрам звезды с $2n$ лучами. Ориентируем эту граничную окружность. Для каждой петли иероглифа соединим (не обязательно в плоскости) соответствующие ему два отрезка ленточкой-прямоугольником (так, чтобы разные ленточки не пересекались). При этом стрелки на окружности должны быть противонаправлены вдоль ленточки.

Утолщением иероглифа называется двумерная фигура, являющаяся объединением построенных диска и ленточек. (Иероглиф называется *спайном*, или *утощением* построенной фигуры.)

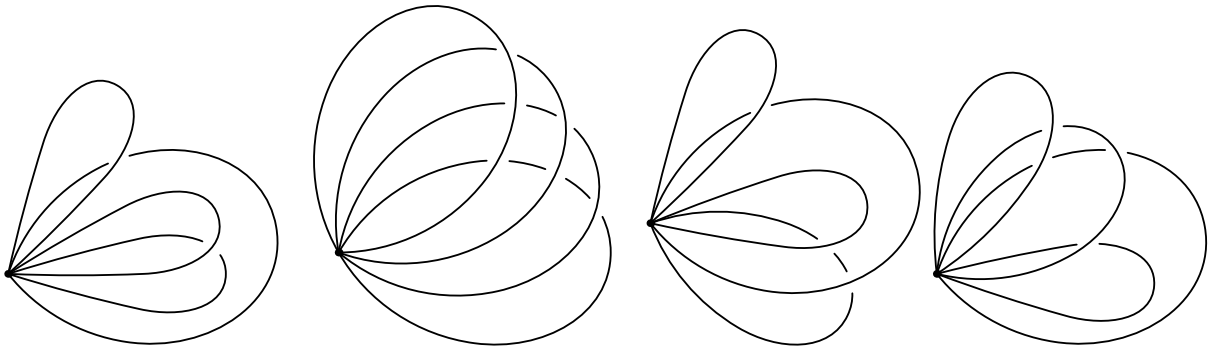

Рис. 7: Иероглифы, не реализуемые на торе (уменьшить и переделать!)

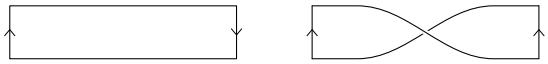

Рис. 8: Стрелки, противонаправленные вдоль ленточки

Две ленточки называются *отделенными*, если их основания-отрезки идут подряд (а не чередуются) при обходе граничной окружности диска. Например, в иероглифе $(aabb)$ ленточки a и b отделены, а в иероглифе $(abab)$ — нет.

Например, утолщение иероглифа $(abab)$ на рис. 6 слева топологически эквивалентно диску с двумя неперекрученными неотделенными ленточками. Последний топологически эквивалентен тору с дыркой (рис.**??**).

В этом параграфе понятия фигуры и топологической эквивалентности не определяется строго, а считается наглядно очевидным. Они соответствуют понятиям 2-многообразия и гомеоморфности, строго определенным в следующем параграфе. Для доказательства топологической эквивалентности в следующих задачах достаточно нарисовать цепочку картинок, аналогичную рис. **??**.

4. (a) Утолщения иероглифов $(abcabc)$ или $(abacbc)$ топологически эквивалентны тору с двумя дырками.

Сфера с g ручками изображена на рис. 2 справа (для $g = 3$). Например, сфера с одной ручкой топологически эквивалентна тору.

Иероглиф называется *реализуемым на сфере с g ручками*, если на сфере с g ручками можно соединить ломаной отрезки каждой пары в звезде так, чтобы не было пересечений. Или, эквивалентно, если петли можно изобразить без самопересечений на сфере с g ручками так, чтобы при обходе по сфере с g ручками вокруг вершины выходящие из нее ребра проходились бы в соответствии с указанным циклическим порядком.

4. (b) Каждый из иероглифов на рис. 7 реализуем на сфере с двумя ручками.

(c) Утолщение иероглифа на рис. 7 слева топологически эквивалентно сфере с двумя ручками и одной дыркой.

(d) Утолщения остальных иероглифов на рис. 7 топологически эквивалентны сфере с двумя ручками и одной дыркой.

В этом параграфе мы используем без доказательства следующий факт.

Сферы с разным числом ручек не являются топологически эквивалентными друг другу.

Этот факт кажется очевидным, но перестает быть таким после доказательств

топологической эквивалентности фигур, кажущихся совсем разными (см. далее). Он аккуратно доказан в пункте 'классификация двумерных многообразий.

5. (a) Выведите из приведенного факта, что тор с дыркой невозможно вырезать из сферы.

(b) Выведите из приведенного факта и задачи 4d, что сферу с двумя ручками и одной дыркой невозможно вырезать из тора (с дыркой).

(c) Иероглифы с рис. 7 не реализуемы на торе.

6. (a) **Формула Эйлера.** *Диск с n (неперекрученными) ленточками (т.е. утолщение иероглифа с n петлями), имеющий F краевых окружностей, топологически эквивалентен сфере с $(n+1-F)/2$ ручками и F дырками.*

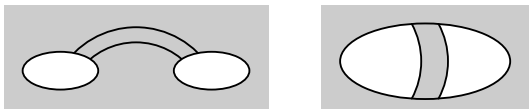

Рис. 9: Добавление неперекрученной ленточки (поправить!)

Указание: см. рис. 9.

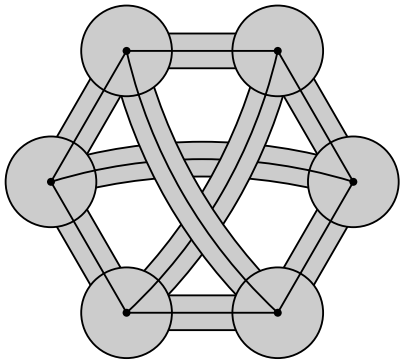

Рис. 10: Чему гомеоморфна эта фигура?

(b) Является ли фигура на рис. 10 топологически эквивалентной сфере с ручками и дырками? Если да, то чему равно их число?

(c)* **Формула Мохара.** *Пусть ранг (над $\mathbb{Z}_2$) матрицы смежности графа петель диска с ленточками (т.е. иероглифа) равен b. Тогда b четно и этот диск с ленточками (т.е. утолщение этого иероглифа) топологически эквивалентен сфере с $b/2$ ручками и некоторым количеством дырок.*

7. (a) Придумайте иероглиф, не реализуемый на сфере с двумя ручками.

(b) Для каждого g придумайте иероглиф, не реализуемый на сфере с g ручками.

(c) Если иероглиф не реализуем на сфере с g ручками, а при удалении любой его петли получается иероглиф, реализуемый на сфере с g ручками, то в исходном иероглифе $2g+2$ петли.

(d)* Для каждого g опишите иероглифы, реализуемые на сфере с g ручками, и оцените их число. Эта задача интересна даже для $g=2$. Здесь и далее возможны описания в терминах универсальных иероглифов (указание иероглифов $E_1, \ldots, E_s$ со следующим свойством: данный иероглиф реализуем на сфере с двумя ручками тогда

и только тогда, когда он редуцируется до одного из иероглифов $E_1, \ldots, E_s$) или запрещенных подыероглифов (указание иероглифов $E_1, \ldots, E_s$ со следующим свойством: данный иероглиф реализуем на сфере с двумя ручками тогда и только тогда, когда он не содержит ни одного из иероглифов $E_1, \ldots, E_s$). Ср. [Cu81] [Vd95] [Vd96] [Vd97].

Диски с перекрученными ленточками.

Лист Мёбиуса и бутылка Клейна изображены на рис. 2 и рис. 23. *Реализуемость* упрощенного иероглифа на листе Мебиуса определяется аналогично реализуемости в сфере с ручками.

8. (a) Упрощенный иероглиф на рис. 6 слева и второй упрощенный иероглиф на рис. 7 реализуемы на листе Мебиуса.

(b) Следующие условия на упрощенный иероглиф равносильны:

реализуем на листе Мебиуса;

не содержит ни упрощенного иероглифа с рис. 7 слева, ни упрощенного иероглифа с рис. 6 справа.

его граф петель является объединением изолированных вершин и полного графа.

(c) Редукция упрощенных иероглифов не обязательно сохраняет реализуемость на листе Мебиуса.

9. (a) Диск с двумя перекрученными отделенными ленточками топологически эквивалентен бутылке Клейна с дыркой.

(b) Лист Мебиуса с ручкой топологически эквивалентен листу Мебиуса с вывернутой ручкой (рис. **??**).

(c) **Формула Эйлера.** *Диск с n ленточками, среди которых есть перекрученная, имеющий F граничных окружностей (рис.* **??** *слева), топологически эквивалентен диску с $n+1-F$ листами Мебиуса и F дырками (рис.* **??** *справа).*

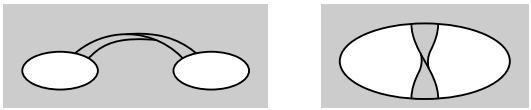

Рис. 11: Добавление перекрученной ленточки (изменить!)

(d)* **Формула Мохара.** *Поставим на диагональной клетке матрицы смежности графа петель диска с ленточками ноль, если соответствующая ленточка не перекручена, и единицу, если перекручена. Пусть ранг (над $\mathbb{Z}_2$) полученной матрицы равен b. Тогда этот диск с ленточками топологически эквивалентен сфере с b листами Мебиуса и некоторым количеством дырок.*

10.* (a) Опишите упрощенные иероглифы, реализуемые в бутылке Клейна.

(b) Опишите упрощенные иероглифы, реализуемые в диске с m листами Мебиуса.

Иероглифом (не упрощенным) называется иероглиф вместе с некоторой расстановкой нулей и единиц на его петлях (рис. **??**, **??**).

Иероглиф называется *реализуемым* на листе Мебиуса, если его петли можно изобразить без самопересечений на листе Мебиуса так, чтобы

— при обходе по листу Мебиуса вокруг вершины выходящие из нее отрезки проходились бы в соответствии с указанным циклическим порядком, и

— вдоль петель, на которых стоит единица, менялась бы ориентация, а вдоль петель, на которых стоит ноль, не менялась бы.

Редукцией иероглифа называется композиция некоторого числа преобразований (1) и (2) для петель с нулем, а также

(2') Замена двух 'параллельных' петель a и a' с единицей (т.е. для которых в циклическом порядке буквы, соответствующие этим петлям, находятся на соседних местах и чередуются: $(aa'\ldots aa'\ldots)$) на одну.

11. (a) [Cu81] [Pe] Следующие условия на иероглиф равносильны:
реализуем на листе Мебиуса;
не содержит ни одного иероглифа с рис. 22 сверху;
редуцируется к иероглифу с одной петлей с единицей.
(b)* [Cu81] [Te] Следующие условия на иероглиф равносильны:
реализуем на бутылке Клейна;
не содержит ни одного иероглифа с рис. **??**;
редуцируется к одному из двух иероглифов с рис. **??**.
(c)* Опишите иероглифы, реализуемые в диске с m листами Мебиуса [Cu81] [Te] [Cu81] [Vd95] [Vd96] [Vd97].

Ориентируемые утолщения графов.

Следующая конструкция *утолщения* возникает во многих задачах топологии и ее приложений (синонимы: граф с вращениями, эскиз [Ha], [KPS], [LZ]). Нам она будет полезна для распознавания планарности графов (и их рода) в следующем пункте.

Полуребром графа называется пара из ребра и его концевой вершины (или, неформально, половинка ребра). При этом каждой *петле* отвечает *два* полуребра. *Ориентированным утолщением* графа G называется граф G вместе с указанием для каждой его вершины ориентированного циклического порядка выходящих из нее полуребер. См. рис. 12.

Заметим, что иероглифы не являются частными случаями ориентированных утолщений.

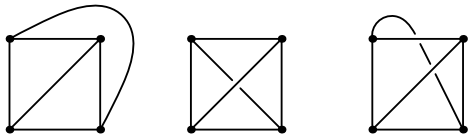

Рис. 12: Ориентированные утолщения графа K_4

12. (a) Сколько ориентированных утолщений с занумерованными вершинами соответствует графу K_4?

(b)* То же с незанумерованными вершинами (т.е. утолщений с точностью до изоморфизма).

Приведем эквивалентное определение ориентированного утолщения. Оно сложнее тем, что двумерно (а не одномерно), но с ним удобнее работать. Для данного графа рассмотрим несвязное объединение дисков, число которых равно числу вершин графа. На каждой граничной окружности диска выберем ориентацию и отметим непересекающиеся отрезки, отвечающие выходящим из соответствующей вершины ребрам, в указанном ориентированном циклическом порядке. Для каждого ребра графа соединим (не обязательно в плоскости) соответствующие ему два отрезка ленточкой-прямоугольником (так, чтобы разные ленточки не пересекались), см. рис. 13. При этом стрелки на окружностях должны быть противонаправлены. Заметим, что каждый из двух способов на рис. 13 может отвечать правильному соединению дисков ленточками.

Рис. 13: Соединение дисков ленточкой

Пусть N — объединение построенных дисков и ленточек. Пара (N, G), состоящая из N и графа G, естественно вложенного в N, называется *(двумерным) ориентируемым утолщением* графа G. Иногда для краткости мы будем называть утолщением только фигуру N. (Граф G называется *спайном*, или *утощением* фигуры N.)

Примеры ориентируемых утолщений. (1) Цилиндр с его средней линией является ориентированным утолщением окружности.

(2) Если граф вложен в плоскость (или в сферу с ручками), то легко выбрать окрестность этого графа, являющуюся его ориентированным утолщением.

(3) Если дано отображение общего положения графа G в плоскость (или в сферу с ручками), то можно построить ориентированное утолщение графа G, соответствующее этому отображению (рис. 14, 10).

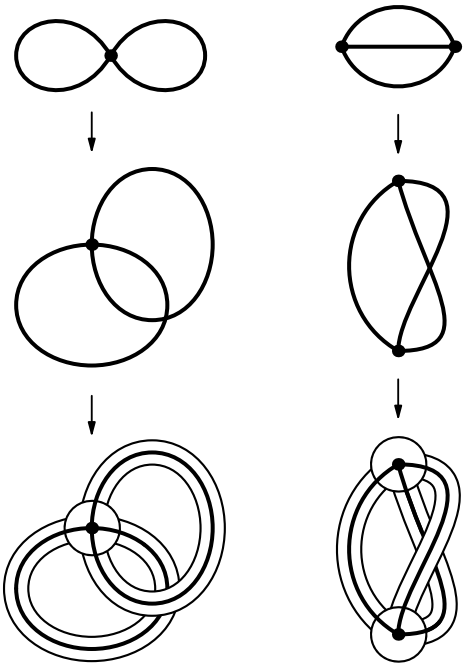

Рис. 14: Построение утолщения по погружению графа в плоскость (добавить еще один ряд без самопересечений!)

13. (a) Один и тот же граф (например, 'восьмерка') может иметь негомеоморфные ориентируемые утолщения.

(b) Любое ориентируемое утолщение (N, G) дерева G (точнее, его первый элемент N) гомеоморфно диску.

(c) Сколько ориентируемых утолщений окружности с точностью до гомеоморфизма?

(d) А графа 'восьмерка'?

(e) А графа K_4?

Для ориентируемых утолщений понятие подутолщения определяется аналогично случаю графов.

Два утолщения одного графа *гомеоморфны относительно этого графа*, если можно изменить ориентации на их дисках так, чтобы для любой вершины графа G непересекающиеся отрезки на граничной окружности соответствующего диска шли бы в одинаковом (ориентированном) циклическом порядке.

Два утолщения разных (гомеоморфных) графов *гомеоморфны*, если от одного можно перейти к другому при помощи операций одновременного подразделения ребра графа и соответствующей ленточки утолщения, или обратных к ним.

Произвольные утолщения графов.

Набросом называется граф вместе с расстановкой нулей и единиц на его ребрах и, для каждой вершины графа, ориентированным циклическим порядком выходящих из нее полуребер. *Инвертированием в вершине a* называется замена ориентации цикла полуребер, выходящих из a, одновременно с заменой нулей единицами, а единиц нулями на всех ребрах, выходящих из a (при этом числа на петлях не меняются). Два наброска называются *эквивалентными*, если от одного можно перейти к другому несколькими инвертированиями (возможно, в разных вершинах). *(Неориентированным) утолщением* графа называется класс эквивалентности набросков, соответствующих этому графу.

Заметим, что иероглифы являются частными случаями утолщений.

14. (a) Сколько набросков с занумерованными вершинами соответствует графу K_4 с занумерованными вершинами?

(b)* Тот же вопрос с незанумерованными вершинами (т.е. сколько набросков с точностью до изоморфизма соответствуют графу K_4?).

(cdefg) Решите аналоги задачи 13 для утолщений.

Двумерное определение утолщения аналогично вышеприведенному, только стрелки на окружностях должны быть противонаправлены, если на ребре стоит 0, и сонаправлены, если на ребре стоит 1 (каждый из двух способов на рис. 13 может отвечать как сонаправленным, так и противонаправленным ленточкам).

Например, лист Мёбиуса с его средней линией (рис. 15) является утолщением окружности. Из примеров (2) и (3) ориентируемых утолщений получаются пимеры утолщений, если заменить сферу с ручками на сферу с ручками и пленками Мебиуса.

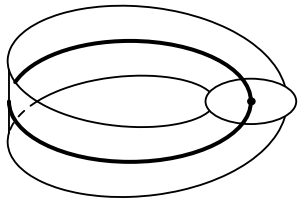

Рис. 15: Лист Мёбиуса с его средней линией — утолщение окружности

Для набросков и утолщений понятие подутолщения определяется аналогично случаю графов.

Два утолщения одного графа *гомеоморфны относительно этого графа*, если можно изменить ориентации на их дисках так, чтобы

(1) ленточки в двух утолщениях, соответствующие одному и тому же ребру графа G, были бы одновременно перекручены или нет, и

(2) для любой вершины графа G, непересекающиеся отрезки на граничной окружности соответствующего диска шли бы в одинаковом (ориентированном) циклическом порядке.

Гомеоморфность утолщений разных (гомеоморфных) графов определяется аналогично случаю ориентируемых утолщений.

Приведем в виде цикла задач *классификацию утолщений относительно данного графа.*

15. Сколько классов гомеоморфности ориентируемых (всех) утолщений относительно

(a) окружности, (b) триода, (c) креста, (d) n-ода,

(e) восьмерки, (f) буквы Θ?

Какие из этих утолщений вложимы в плоскость?

16. Гомеоморфные графы имеют одинаковое количество классов гомеоморфности ориентируемых (всех) утолщений относительно этих графов.

17. (a) Для связного *кубичного* (т.е. имеющего только вершины степени 3) графа количества классов гомеоморфности ориентируемых (всех) утолщений относительно этого графа равны 2^{V-1} (2^E), соответственно.

(b) *Классификация 2-утолщений графа.* Пусть G — связный граф, не гомеоморфный точке, окружности или отрезку. Если в G имеется V вершин степеней $k_1, \ldots, k_V$ и $E = \frac{1}{2}(k_1 + \ldots + k_V)$ ребер, то количества классов гомеоморфности ориентируемых и всех утолщений относительно этого графа равны соответственно

$$\frac{1}{2}(k_1 - 1)! \cdot \ldots \cdot (k_V - 1)! \quad \text{и} \quad 2^{E-V}(k_1 - 1)! \ldots (k_V - 1)!$$

Планарность и род утолщений и графов.

Проблема вложимости (т.е. реализуемости без самопересечений) графов (или графов с дополнительной структурой) в плоскость, тор, лист Мебиуса (и другие поверхности) — одна из основных в топологической теории графов [MT01]. Одна из красивых форм решения этой проблемы — найти несколько таких подграфов, что произвольный граф G вложим в данную поверхность тогда и только тогда, когда G не содержит ни одного из таких подграфов.

Теорема Куратовского. *Граф планарен тогда и только тогда, когда он не содержит подграфа, гомеоморфного одному из графов K_5 или $K_{3,3}$.*

Обсуждение и простое доказательство этой теоремы приводится, например, в [Pr04], [Sk05], [ST07]. Несмотря на красоту и простоту этого критерия, соответствующий алгоритм распознавания планарности графов медленно работает. Поэтому интересны другие способы распознавания планарности. Один из них использует утолщения.

Так как любой граф имеет конечное число ориентируемых утолщений (например, по теореме классификации утолщений), то вопрос о вложимости графов в плоскость сводится к вопросу о вложимости ориентируемых утолщений в плоскость.

Ориентированное утолщение называется *планарным*, если его можно нарисовать без самопересечений на плоскости так, чтобы для каждой вершины обход выходящих из нее полуребер по часовой стрелке совпадал бы с указанным ориентированным циклическим порядком.

18. (α) Какие из ориентированных утолщений графа K_4 являются планарными?

Для утолщений (и эскизов) понятия подутолщения, гомеоморфности и т. д. определяются аналогично случаю графов. Например, если L — подграф графа G, то утолщение N графа G содержит утолщение графа L, называемое *подутолщением* утолщения N.

Теорема планарности утолщений. *Каждое из следующих условий на связное ориентируемое 2-утолщение (N, G) равносильно его вложимости в плоскость:*

(E) $V - E + h(N) = 2$, где V и E — количества вершин и ребер графа G, а $h(N)$ — число граничных окружностей утолщения.

(S) (N, G) не содержит подутолщений, гомеоморфных изображенным на рис. 14.

Набросок доказательства критерия (S). Необходимость доказывается с использованием теоремы Жордана.

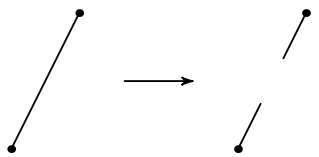

Рис. 16: Вырезание средней трети

Докажем достаточность на языке эскизов. Выделим в данном эскизе подэскиз максимального дерева. Покрасим оставшиеся ребра в красный цвет. Из каждого красного ребра вырежем его 'среднюю треть', как на рис. 16. Останется эскиз дерева T. Его можно изобразить (с учетом ориентированного циклического порядка) без самопересечений на плоскости вне (внутренности) многоугольника $A_1 \dots A_n$ так, чтобы вершины дерева были бы вершинами многоугольника. (Это доказывается по индукции с отбрасыванием висячей вершины.)

Пусть существуют вершины A, B, A_1, B_1 дерева T, лежащие на границе многоугольника в этом порядке, причем вершины A и A_1 лежат на одном красном ребре, а вершины B и B_1 — на другом. Соединим вершину A с A_1 и B с B_1 путями в дереве. Если эти пути пересекаются ровно в одной точке, то исходный эскиз содержит эскиз 'восьмерка' (см. рис. 14.). Если эти пути пересекаются ровно по одному отрезку, то исходный эскиз содержит эскиз 'тета' (см. рис. 14.). Остальные случаи сводятся к рассмотренным. Итак, исходный эскиз содержит подэскиз, гомеоморфный одному из изображенных на рис. 14.

Поэтому если вершины A, A_1 лежат на одном красном ребре, а B, B_1 — на другом, то вершины A, A_1, B, B_1 лежат на границе многоугольника в этом циклическом порядке (или в противоположном). Значит, их можно соединить внутри многоугольника непересекающимися отрезками. Следовательно, исходный эскиз планарен. □

18. (a) Сформулируйте и докажите аналог критерия (S) для утолщений, не предполагаемых ориентируемыми.

(b) Докажите критерий (E).

(c) Сформулируйте комбинаторный алгоритм подсчета числа $h(N)$.

19. (a) Граф K_5 не вложим в плоскость.

(b) Граф $K_{3,3}$ не вложим в плоскость.

(c) **Формула Эйлера для сферы с g ручками.** *Пусть на сфере с g ручками нарисован без самопересечений связный граф с V вершинами и E ребрами. Назовем гранью замкнутую область на сфере с ручками, ограниченную ребрами этого графа. Пусть F — число граней. Пусть каждая грань разбивается любой ломаной с концами на границе этой грани (т.е. топологически эквивалентна замкнутому диску на плоскости). Тогда $V - E + F = 2 - 2g$.*

(d) Найдите число ручек в каждом из ориентируемых утолщений графа K_4.

(e) K_8 не вложим в тор.

(f) Для любой сферы с ручками найдется граф, не вложимый в нее.

Ориентируемым родом графа G называется наименьшее число g, для которого G вложим в сферу с g ручками. *Неориентируемым родом* графа G называется наименьшее число m, для которого G вложим в диск с m листами Мёбиуса (или в сферу с m пленками Мёбиуса).

20. (a) Найдите ориентируемый и неориентируемый роды графа K_5.

(b) Ориентируемый род графа G равен $\frac{1}{2}(2 - V + E - H)$, где $H := \max\{h(N) \mid N$ — ориентируемое утолщение графа $G\}$.

(c) Найдите аналогичную формулу для неориентируемого рода.

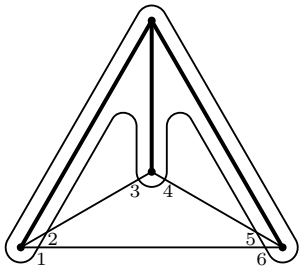

Рис. 17: Обход максимального дерева

21. *Алгоритм Мохара распознавания рода графа.* Будем считать, что в связном графе G нет висячих вершин. Выделим в графе G максимальное дерево. Вне этого дерева $b := E - V + 1$ ребер. Занумеруем эти ребра числами от 1 до b. Для каждой вершины графа G выберем ориентированный циклический порядок ребер, выходящих из этой вершины. Обозначим выбранный набор ориентированных циклических порядков через ρ. Возьмем максимальное дерево в G и его тесную окрестность, гомеоморфную диску (рис. 17). При обходе по границе этого диска получается циклическая последовательность ребер вне максимального дерева, в которой каждое ребро встречается два раза. Определим матрицу $s_{ij}(\rho)$ размера $b \times b$ из нулей и единиц: $s_{ii}(\rho) := 0$ и $s_{ij}(\rho) := 1$ (соответственно $s_{ij}(\rho) := 0$), если в полученной циклической последовательности ребра i и j чередуются (соответственно идут подряд).

(a) Ориентируемый род графа G равен $\min_\rho\{\operatorname{rank} s(\rho)\}/2$.

(b) Неориентируемый род графа G равен $\min_{\rho,A}\{\operatorname{rank} s(\rho, A)\}$, где матрица $s(\rho, A)$ получена из $s(\rho)$ заменой некоторого непустого семейства A диагональных элементов на единицы.

22. Пусть N — ориентированное утолщение связного графа G степени 3, не реализуемое на торе, любое связное подутолщение которого реализуемо на торе.

(a) В G нет петель.

(b) В G 6 вершин и 9 ребер.

(c)* Любой связный граф степени 3 с условиями (a) и (b) изоморфен одному из пяти графов на рис. 19 (достаточно взять 1-й, 3-й, 4-й, 6-й и 8-й) или на рис. 18.

Рис. 18: Шестой граф

(d)* *Гипотеза реализуемости утолщений кубичных графов на торе.* Пусть из каждой вершины связного графа выходит 3 ребра. Ориентируемое утолщение этого графа реализуемо на торе тогда и только тогда, когда оно не содержит подутолщений, изображенных на рис. 19. [PV].

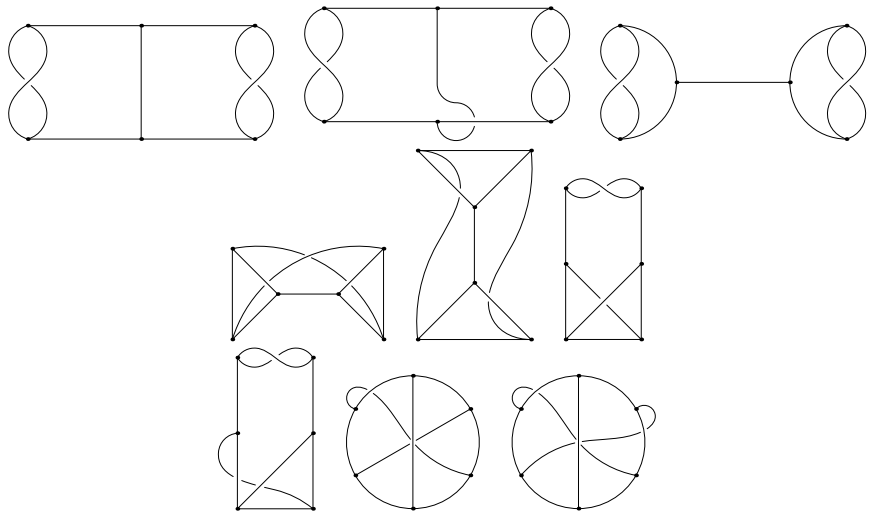

Рис. 19: Утолщения, не вложимые в тор

23. Пусть N — ориентированное утолщение графа G степени 4, не реализуемое на торе, любое подутолщение которого реализуемо на торе.

(a) В G нет петель.

(b) Сколько в G вершин и ребер?

(c)* Опишите утолщения графов степени 4, реализуемые на торе.

(d)* Опишите X-графы, реализуемые на торе. Ср. [Ma05], [Pe'].

Набросок называется *реализуемым на листе Мебиуса*, если его можно изобразить без самопересечений на листе Мебиуса и окружить каждую вершину маленькой ориентированной окружностью так, чтобы

— для каждой вершины обход выходящих из нее полуребер вдоль ориентированной окружности давал бы заданный ориентированный циклический порядок.

— на ребре стоит 0 тогда и только когда, когда ориентации замкнутых кривых, построенных вокруг концов этого ребра, *согласованы вдоль этого ребра* (рис. 20).

24. (a) Наброски на рис. 21 не реализуемы на листе Мебиуса.

(b) Гомеоморфные наброски одновременно реализуемы на листе Мебиуса или нет.

(c) Если при удалении некоторого ребра из наброска получается дерево, то этот набросок реализуем на листе Мебиуса.

(d) Какие наброски, соответствующие графу K_4, реализуемы на листе Мебиуса?

(e)* *Гипотеза реализуемости утолщений на листе Мебиуса.* Утолщение реализуемо на листе Мебиуса тогда и только тогда, когда оно не содержит подутолщений, изображенных на рис. 22 [Pe].

(f)* *Гипотеза реализуемости утолщений кубичных графов на бутылке Клейна.* Пусть из каждой вершины графа выходит 3 ребра. Утолщение этого графа реализуемо на бутылке Клейна тогда и только тогда, когда оно не содержит подутолщений, изображенных на рис. **??** [Te].

25.* *Графом с неориентированными вращениями* называется граф, для каждой вершины которого указан неориентированный циклический порядок выходящих из нее полуребер. Сформулируйте и докажите аналоги вышеизложенных теорем и задач для графом с неориентированными вращениями. См. [KPS] по поводу графов степени 4.

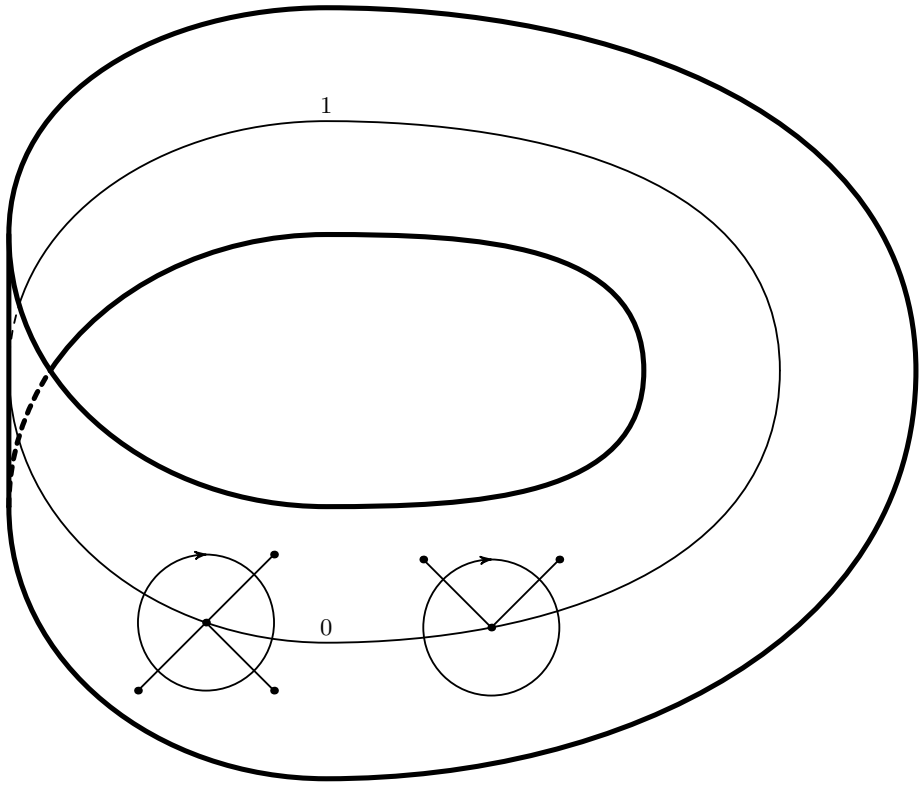

Рис. 20: Расстановка чисел на ребрах

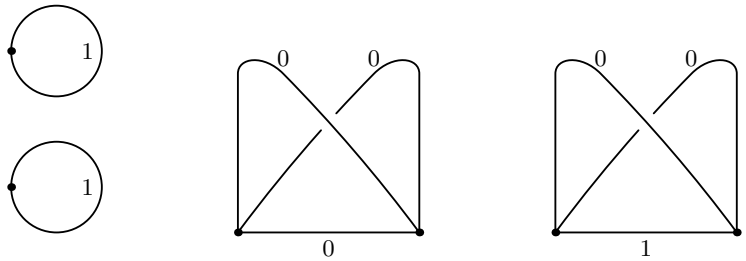

Рис. 21: Наброски, не реализуемые на листе Мебиуса (добавить!!!)

Ответы и указания к некоторым задачам.

2. Осталось доказать часть 'тогда'. Реализуем звезду с $2n$ лучами (и их заданным циклическим порядком) вне внутренности некторого выпуклого многоугольника так, чтобы концы лучей изображались бы вершинами многоугольника. Тогда оставшиеся отрезки можно реализовать прямолинейно внутри многоугольника.

3. (a), (b) См. рис. **??**.

(d) Доказательство разумно проводить по схеме $(1) \Rightarrow (2) \Rightarrow (3) \Rightarrow (4) \Rightarrow (1)$.

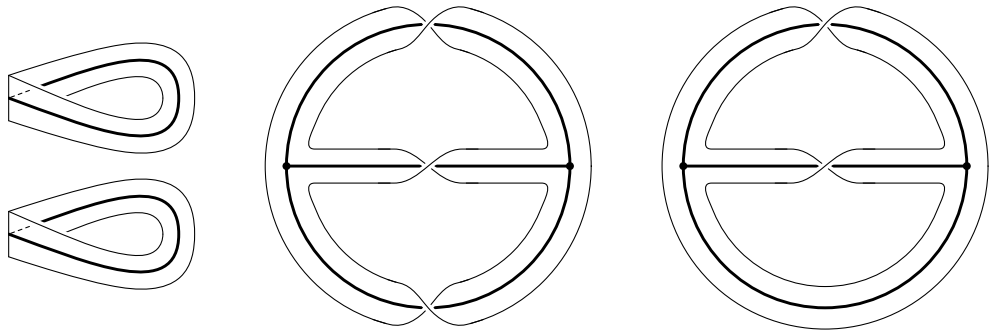

Рис. 22: Утолщения, не реализуемые на листе Мебиуса (добавить!!!)

4a. Утолщение иероглифа на рис. 6 слева топологически эквивалентно тору с дыркой. При добавлении ленточки получается тор с двумя дырками, см. рис. 9 слева.

4d. Выберем подиероглиф с тремя петлями, рассмотренный в 4a. Его утолщения является тором с двумя дырками. При добавлении четвертой петли добавляется ручка и удаляется дырка, см. рис. 9 справа.

5b. Указание. Пусть из тора вырезана фигура K, являющаяся сферой с ручками и одной дыркой. Если граничная окружность *не разбивает* тор, то у K две граничные окружности — противоречие. Если граничная окружность *разбивает* тор, то при заклейке этой граничной окружности диском из K получается тор или сфера. Противоречие с приведенным фактом.

6a. Индукция по n (аналогично задачам 4ad). Утолщение букета с нулем петель имеет одну краевую окружность и топологически эквивалентно диску. При приклеивании новой ленточки возможны два случая на рис. 9.

6b. У этой фигуры три граничные окружности. Выделите максимальное дерево и выведите из формулы Эйлера, что эта фигура гомеоморфна тору с тремя дырками.

9c. Индукция по n с использованием рис. 11 и 9b.

12. (a) Ответ: $16 = 2^4$. Из каждой вершины графа выходит по 3 ребра. Тогда для каждой вершины существует два различных ориентированных циклических порядка выходящих из нее полуребер. Поэтому всего различных эскизов будет 2^4.

(b) Ответ: 3, см. рис. 12. Порядки выходящих полуребер можно менять в 0, 1, 2, 3, 4-х вершинах. Следовательно, таких эскизов не более 5.

19. (a) Можно использовать теорему Жордана. Приведем более изящное (но по сути, аналогичное) доказательство непланарности графа K_5, основанное на формуле Эйлера. Пусть граф K_5 нарисован на плоскости без самопересечений. Тогда по формуле Эйлера $5 - 10 + F = 2$. Значит, $F = 7$. Поставим около каждого ребра графа K_5, нарисованного на плоскости, стрелку вправо и стрелку влево. Тогда число стрелок равно $2E = 20$. Но поскольку граница каждой грани состоит не менее чем из трех ребер, то число стрелок не меньше

$3F = 21 > 20$. Противоречие.

(c) Рассмотрите окрестность графа в сфере с ручками, являющуюся его утолщением.

(d) Ответ: 0, 1, 1 для трех эскизов на рис. 12, соответственно.

(f) Аналогично (a) граф K_{2g^2+9} не вложим в сферу с g ручками.

ОПРЕДЕЛЕНИЕ ДВУ- И ТРЕХМЕРНЫХ МНОГООБРАЗИЙ

Определение и примеры двумерных полиэдров.

Наша цель — определить *двумерные поверхности* и *двумерные обобщения графов* комбинаторным образом (удобным как для теории, так и для хранения этих объектов в памяти компьютера).

Ориентированным циклом называется циклическая последовательность ориентированных ребер, в которой начало каждого следующего ребра совпадает с концом предыдущего (ориентированные циклы, отвечающие тору и проективной плоскости на рис. 23, различны). *2-Схемой* называется граф вместе с некоторым количеством выделенных в нем ориентированных циклов (возможно, самопересекающимися и пересекающиеся друг с другом). Выделенные циклы называются *гранями* 2-схемы.

Примеры схем, у которых ровно один выделенный цикл, имеющий длину 4, изображены на рис. 23 в верхней строке.

Рис. 23: Простейшие схемы и соответствующие 2-многообразия (переделать в соответствии с текстом)

Из данной 2-схемы можно получать новые 2-схемы склеиванием ребер, которое обозначается на рисунках проставлением на склеиваемых ребрах одинаковых стрелочек (рис. 26). Заметим, что эти стрелочки не имеют ничего общего с направлением ребер в соответствующем направленном цикле (последнее обычно ясно из контекста и поэтому не указывается нигде, кроме верхней строки на рис. 23). Так из схемы 'квадрат' (первая схема во втором ряду на рис. 23) получаются схемы из верхней строки на рис. 23: под каждой схемой первой строки нарисовано соответствующее отождествление ребер схемы 'квадрат'. Напомним, что в верхней строке стрелки на ребрах обозначают их ориентацию в выделенном цикле, а во второй строке совсем другое — способ склеивания ребер. В каждом рисунке второй строки ориентация в выделенном цикле (длины 4) задается его обходом против часовой стрелки (при данном изображении на плоскости нашего графа, являющегося циклом длины 4).

Операции *подразделения ребра* и *подразделения грани (проведения диагонали)* изображены на рис. 24 (читатель легко восстановит формальное комбинаторное определение этих операций по рисункам). Две 2-схемы называются *гомеоморфными (топологически эквивалентными)*, если от одной можно перейти к другой при помощи этих операций и обратных к ним. Обозначение: $T_1 \cong T_2$. *Компактным двумерным полиэдром* называется класс эквивалентности 2-схем с точностью до гомеоморфности. Представители этого класса эквивалентности называются *2-схемами соответствующего 2-полиэдра.* Мы будем сокращенно называть компактные двумерные полиэдры 2-полиэдрами.

2-полиэдры и 2-схемы соотносятся так же, как 1-полиэдры (т.е. графы с точностью до гомеоморфизма, или графы в топологическом смысле) и графы (с точностью до изоморфизма, или графы в комбинаторном смыслах). Однако 2-полиэдры и 2-схемы уже важно различать.

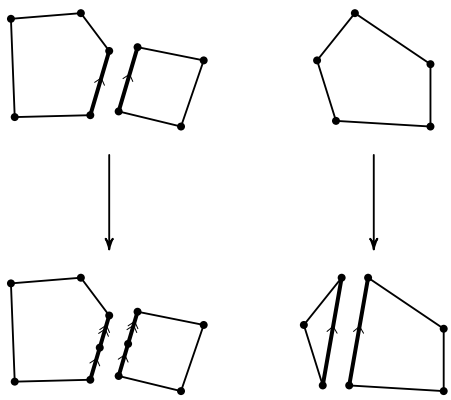

Рис. 24: Подразделение ребра и подразделение грани

1. Схемы в каждой колонке на рис. 23 гомеоморфны между собой, а схемы из разных колонок — нет (указание: негомеоморфность можно доказывать по мере чтения следующего пункта).

По каждой 2-схеме естественно строится *фигура* (тело 2-схемы), полученная из графа 2-схемы *склейкой* двумерных многоугольников, соответствующих выделенным циклам 2-схемы (склейка осуществляется не в трехмерном пространстве, а абстрактно). Например, на рис. 25 изображено построение тела схемы, стстоящей из графа K_4, в котором выделены все циклы длины 3. Мы не даем строгого определения фигуры и склейки (т.е. топологического пространства и операции склейки топологических пространств), поскольку формально их не используем (все рассуждения можно перевести на язык классов эквивалентности схем). Однако важно, что на самом деле мы изучаем именно *фигуры* посредством представления их 2-схемами.

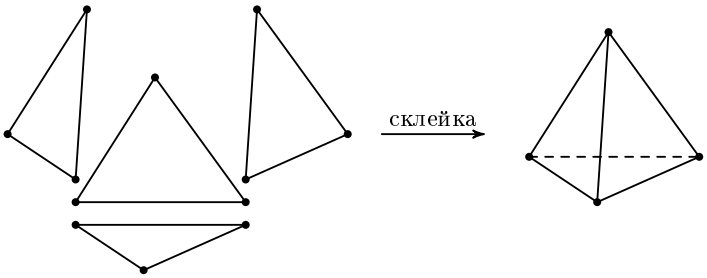

Рис. 25: Склейка тела 2-схемы

Склеивание ребер 2-схемы порождает *склеивание ребер* соответствующего 2-полиэдра (рис. 26, 23). Примеры 2-полиэдров, полученных склейкой сторон квадрата, изображены в третьем ряду на рис. 23.

Интересные примеры 2-полиэдров (2-многообразия, конусы над графами, I-расслоения над графами, S^1-расслоения над графами, произведения графов) появятся далее.

Оставшаяся часть этого пункта не используется для определения 2-многообразия.

Рассмотрим произвольную вершину x схемы T.

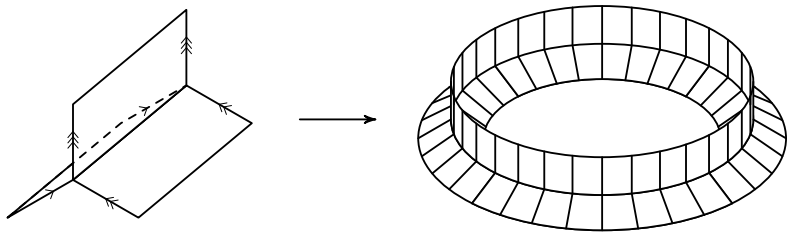

Рис. 26: Склеивание ребер

Построим новый граф $\mathrm{lk}_T\, x$ — *линк вершины* x. Его вершины соответствуют ребрам графа T, выходящим из вершины x. При этом каждой петле соответствует две вершины, а ребру кратности k, не являющемуся петлей, соответствует k вершин. Кратность ребра ab в графе $\mathrm{lk}_T\, x$ равна количеству прохождений выделенных циклов через x вдоль ребер a и b (рис. 27).

Схема $\mathrm{st}_T\, x$ — *звезда вершины* x — является конусом над графом $\mathrm{lk}_T\, x$. Вершина x 2-полиэдра со схемой T имеет малую окрестность, топологически эквивалентную звезде $\mathrm{st}_T\, x$ (рис. 27).

Если T — триангуляция, то

$$\operatorname*{st}_T x = \cup\{\sigma \in T \mid x \in \sigma\} \quad \text{и} \quad \operatorname*{lk}_T x = \cup\{\sigma \in T \mid \sigma \subset \operatorname*{st}_T x \text{ и } x \notin \sigma\}.$$

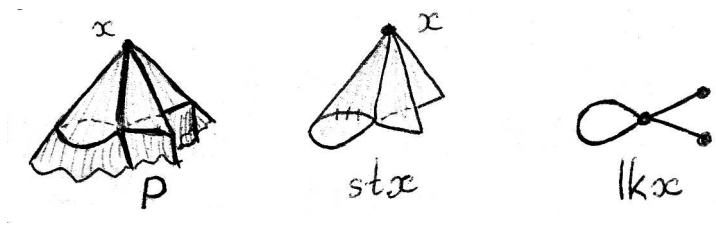

Рис. 27: Построение звезды и линка

2. (a) Найдите линки вершин для схем на рис. 23.

(b) Для любого графа найдутся схема и ее вершина, линк которой является заданным графом.

Определение и инварианты двумерных многообразий.

Вершина 2-схемы называется *плоской*, если выходящие из этой вершины ребра можно так занумеровать $e_1, e_2, \ldots, e_n, e_{n+1} = e_1$, что выделенные циклы проходят через эту вершину только вдоль ребер e_i, e_{i+1} и только по одному разу для каждого $i = 1, 2, \ldots, n-1$ или $i = 1, 2, \ldots, n$. (Это равносильно тому, что линк вершины гомеоморфен окружности или отрезку.) Компактный двумерный полиэдр называется *компактным двумерным многообразием* (сокращенно: 2-многообразием) или поверхностью, если для некоторой (или, эквивалентно, для любой [7]) его схемы каждая вершина этой схемы плоская. Это свойство неформально означает, что тело схемы локально устроено как плоскость или полуплоскость. В этом пункте, а также в тех,

[7]Доказательство этой эквивалентности является (несложным) упражнением

где участвуют только 2-многообразия (т.е. не участвуют n-многообразия с $n \geqslant 3$) мы будем называть их просто многообразиями.

Краем (или границей) схемы многообразия называется объединение таких ребер схемы, которые содержатся только в одной грани и причем однократно. Многообразие называется *замкнутым*, если край некоторой (или, эквивалентно, любой) его схемы пуст.

3. (a) Край схемы является несвязным объединением окружностей.

(b) Количество этих окружностей одинаково для гомеоморфных схем.

Примеры многообразий могут быть получены приклеиванием ручек $N \to N\#T^2$, приклеиванием пленок Мёбиуса $N \to N\#\mathbb{R}P^2$ и вырезанием дырок (рис. 28). Здесь и далее мы приводим определения на наглядном языке (читатель может при желании привести формальное описание на языке схем).

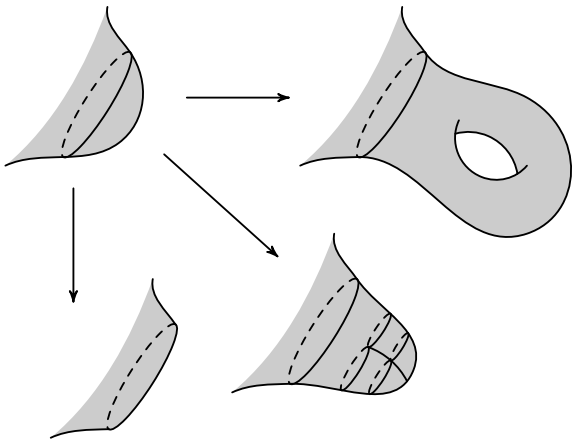

Рис. 28: Приклеивание ручки, приклеивание пленки Мебиуса и вырезание дырки

4. (a) $\mathbb{R}P^2$ с дыркой гомеоморфно листу Мёбиуса.

(b) $\mathbb{R}P^2\#\mathbb{R}P^2 \cong K^2$.

(c) $\mathbb{R}P^2\#K^2 \cong \mathbb{R}P^2\#T^2$.

Заклеив все граничные окружности утолщения (некоторого графа) дисками, получим 2-многообразие без края. Утолщение однозначно определяет схему соответствующего 2-многообразия (и наоборот).

Эйлеровой характеристикой схемы называется число $\chi = V - E + F$, где F — число граней.

5. (a) Найдите эйлеровы характеристики схем с рис. 23.

(b) Эйлеровы характеристики двух гомеоморфных схем одинаковы.

(c) Эйлерова характеристика сферы с g ручками, m пленками Мёбиуса и h дырками равна $2 - 2g - m - h$.

Ориентация двумерного плоского (несамопересекающегося) многоугольника задается окружностью со стрелкой, в нем лежащей. *Внутренним* ребром 2-схемы называется ее ребро, участвующее по крайней мере дважды в гранях (т.е. либо по крайней мере в двух, либо по крайней мере в одной двукратно). Схема 2-многообразия называется *ориентируемой*, если можно ввести ориентации на всех ее гранях, которые *согласованы* вдоль каждого внутреннего ребра, т.е. которые задают с двух сторон этого ребра *противоположные* направления (рис. 29). 2-Многообразие называется

ориентируемым, если оно имеет ориентируемую 2-схему. Указанный набор ориентаций на гранях 2-схемы называется ее *ориентацией* (или ориентацией соответствующего 2-многообразия). Понятие ориентируемости невозможно ввести для произвольных 2-схем (подумайте, почему), но можно ввести для 2-схем, каждое ребро которых участвует в гранях не более чем дважды.

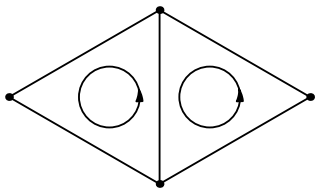

Рис. 29: Согласованные ориентации

2-многообразие без края, полученное из утолщения, является ориентируемым, если это утолщение ориентируемо (это доказывается при помощи перехода к двойственной триангуляции или схеме).

6. (a) Гомеоморфные схемы ориентируемы или нет одновременно.

(b) Сфера ориентируема, а лист Мёбиуса неориентируем.

(c)* Многообразие ориентируемо тогда и только тогда, когда оно не содержит листа Мёбиуса (т.е. никакая схема этого многообразия не имеет подсхемы многообразия 'лист Мебиуса'). Заметим, что неориентируемая схема не обязательно содержит подсхему, представляющую лист Мёбиуса (например, схемы бутылки Кляйна или проективной плоскости на рис. 23).

Классификация двумерных многообразий.

Многообразие называется *связным*, если граф некоторой (или, эквивалентно, любой) его схемы связен.

Теорема классификации. *Пусть N — (компактное) связное ориентируемое 2-многообразие.*

(1) N является сферой с некоторым количеством g ручек и некоторым количеством h дырок.

(2) Число $g = g(N)$ ручек (род многообразия N) и число $h = h(N)$ дырок однозначно определяются по N, т.е. сферы с g ручками и h дырками не гомеоморфны для различных пар (g, h).

Набросок доказательства. Вторая часть теоремы доказывается путем подсчета количества связных компонент края и эйлеровой характеристики (некоторой схемы каждого из перечисленных 2-многообразий). Получится, что эйлерова характеристика сферы с g ручками равна $2 - 2g$.

Для доказательства первой части возьмем такую схему T данного 2-многообразия N, в которой все выделенные циклы имеют длину 3 (докажите, что произвольная схема эквивалентна некоторой схеме с таким свойством!). Построим *шапочки, ленточки и заплатки.* На наглядном уровне построение приведено на рис. 30. Приведем более аккуратное построение (которое читатель легко сможет формализовать в соответствии с определением 2-многообразия через схемы).

Для такой схемы *барицентрическим подразделением грани* назовем ее замену на шесть новых граней, полученных проведением 'медиан' в треугольнике, представляющем эту грань (рис. 31). *Барицентрическим подразделением схемы* назовем результат барицентрического подразбиения всех ее граней. Ясно, что барицентрическое

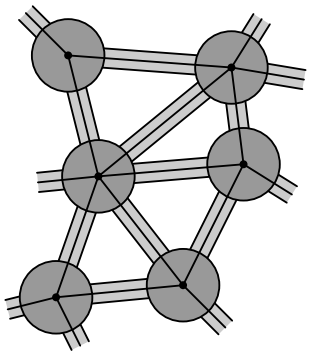

Рис. 30: Шапочки, ленточки и заплатки

подразделение можно осуществить с помощью конечного числа подразделений ребер и граней.

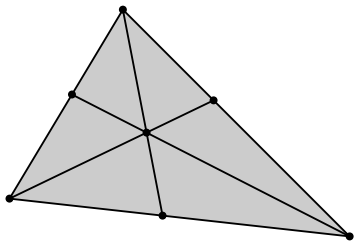

Рис. 31: Барицентрическое подразделение

Пусть T'' - схема, полученная из T двукратным применением операции барицентрического подразделения.

Шапочкой назовем объединение всех граней схемы T'', содержащих некоторую вершину схемы T.

Ленточкой назовем объединение всех граней схемы T'', пересекающих некоторое ребро схемы T, но не входящих ни в одну шапочку.

Компоненты связности объединения оставшихся граней схемы T'' назовем *заплатками.*

Итак, мы разбили N на шапочки, ленточки и заплатки.

Рассмотрим граф G, являющийся объединением всех ребер схемы T. Пусть G_0 — максимальное дерево графа G. Через N_0 обозначим объединение шапочек и ленточек, пересекающихся с G_0. Легко видеть, что N_0 гомеоморфно двумерному диску. Если мы будем последовательно добавлять ленточки и заплатки из $N - N_0$ к N_0, то получим последовательность множеств $N_0 \subset N_1 \subset N_2 \subset \ldots \subset N_p = N$. Таким образом, N получается из несвязного объединения дисков (возможно, из одного диска) приклеиванием ленточек и заклеиванием дырок.

Осталось доказать, что после добавления ленточки к сфере с ручками и дырками получится снова сфера с ручками и дырками (возможно, с другим их числом). Это доказывается рассмотрением двух случаев на рис. 9 (случаи на рис. 11 невозможны ввиду ориентируемости). □

7. (а) Какие поверхности из задачи 5с гомеоморфны, а какие — нет?

(b) Классифицируйте все неориентируемые связные 2-многообразия Указание: используйте приведенную идею; к двум случаям на рис. 9 добавляются два случая на рис. 11.

Более подробно теория 2-многообразий на наглядном уровне изложена в [BE82].

Дополнение: другие определения.

Триангуляцией 2-полиэдра (сокращенно: триангуляцией) называется семейство двухэлементных и трехэлементных подмножеств конечного множества, которое вместе с каждым трехэлементным множеством содержит все три его двухэлементные подмножества. Элементы данного конечного множества называются *вершинами* триангуляции, выделенные двухэлементные подмножества — ее *ребрами*, а выделенные трехэлементные подмножества — ее *гранями*.

Триангуляцией 2-многообразия называется конечное множество, в котором выделены некоторые трехэлементные неупорядоченные подмножества, причем для любого элемента a все выделенные трехэлементные подмножества, его содержащие, образуют цепочку

$$\{a, a_1, a_2\},\ \{a, a_2, a_3\} \dots \{a, a_{n-1}, a_n\} \quad \text{или}$$
$$\{a, a_1, a_2\},\ \{a, a_2, a_3\} \dots \{a, a_{n-1}, a_n\},\ \{a, a_n, a_1\}.$$

Элементы данного конечного множества называются *вершинами*, выделенные подмножества — *гранями*, а двухэлементные подмножества граней — *ребрами*.

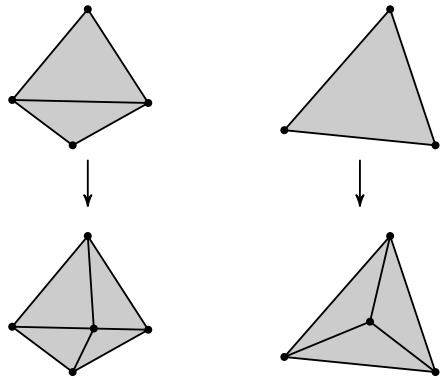

Рис. 32: Подразделение ребра и грани для триангуляций

Операция *подразделения ребра* изображены на рис. 32 слева. Две триангуляции называются *гомеоморфными*, если от одной можно перейти к другой при помощи операций подразделения ребра и обратных к ним. (Операция *подразделения грани* на рис. 32 справа выражается через операцию подразделения ребра.) *2-полиэдром* называется класс эквивалентности триангуляций 2-полиэдров с точностью до гомеоморфизма. *2-многообразием* называется класс эквивалентности триангуляций 2-многообразий с точностью до гомеоморфизма. Представители этих классов эквивалентности называются *триангуляциями* соответствующего 2-полиэдра или 2-многообразия.

Определение трехмерных многообразий.

Неформально, трехмерным многообразием называется фигура, любая точка которой имеет окрестность, топологически эквивалентную трехмерному шару.

Примеры 3-многообразий. (1) Шар $D^3 = \{(x,y,z) \in \mathbb{R}^3 \mid x^2+y^2+z^2 \leqslant 1\}$.

(2) Сфера $S^3 = \{(x,y,z,t) \in \mathbb{R}^4 \mid x^2+y^2+z^2+t^2 = 1\}$.

(3) Проективное пространство $\mathbb{R}P^3$: оно получается из сферы S^3 отождествлением диаметрально противоположных точек (или, что то же самое, из диска D^3 отождествлением диаметрально противоположных точек на его граничной сфере).

(4) Окрестность графа или поверхности в $\mathbb{R}^3$ (или в каком-то уже построенном 3-многообразии).

(5) Произведения 2-многообразий на отрезок или окружность.

(6) 3-утолщения графов, см. пункт 'ориентируемость и классификация утолщений' параграфа 'ориентируемость'.

(7) I- и S^1-расслоения над 2-многообразиями, см. пункт 'простейшие расслоения'.

Дадим теперь формальное определение 3-многообразия, которое будет использоваться в настоящем тексте. Начнем с более общего понятия 3-полиэдра, для которого нужно понятие 3-схемы.

3-схемой (A,P) назовем 2-схему $A = (G,F)$ (т.е. граф G вместе с семейством F выделенных ориентированных циклов) вместе с семейством P выделенных ориентированных 2-подсхем, гомеоморфных двумерной сфере S^2. Эти выделенные подсхемы называются *многогранниками (трехмерными гранями)*. Количества вершин, ребер, граней и многогранников схемы 3-многообразия обозначаются V, E, F и P, соответственно.

Примеры 3-схем. (1') Граф $G = K_4$, семейство F состоит из всех циклов длины 3, семейство P состоит из единственной 2-подсхемы, совпадающей со всей схемой.

(2') Граф $G = K_5$, семейство F состоит из всех циклов длины 3, семейство P состоит из всех пяти 2-подсхем, полученных из всей схемы удалением некоторой вершины и всех содержащих ее ребер и циклов.

Аналогично случаю графов и 2-схем, из каждой 3-схемы $T = (A,P)$ можно получить фигуру — *тело 3-схемы* — приклейкой к телу 2-полиэдра A трехмерных шаров, склеивая их границы с выделенными 2-подсхемами 3-схемы (согласованно с ориентациями).

Например, телами 3-схем из примеров (1') и (2') будут трехмерные шар и сфера из примеров (1) и (2) соответственно.

Операции *подразделения ребра*, *проведения диагонали* и *проведения грани* изображены на рис. 33. Две 3-схемы называются *гомеоморфными*, если от одной можно перейти к другой при помощи этих операций и обратных к ним. *Компактным трехмерным полиэдром* (коротко: *3-полиэдром*) называется класс гомеоморфности 3-схем.

Линк вершины v 3-схемы $T = (A,P)$ — это 2-схема $\mathrm{lk}_T\, v = (\mathrm{lk}_A\, v, Q)$, граф которой есть $\mathrm{lk}_A\, v$, причем цикл $e_1, \ldots, e_s$ в этом графе является выделенным, если соответствующие его ребрам циклы 2-схемы A лежат в некоторой выделенной 2-подсхеме 3-схемы T. *Компактный трехмерный полиэдр* называется *компактным трехмерным многообразием*, если для некоторой (эквивалентно: для любой) его схемы линк каждой вершины гомеоморфен двумерной сфере S^2. Неформально, это условие означает, что при склейке получится фигура, локально устроенная как пространство или полупространство. Мы будем сокращенно называть компактные трехмерные многообразия 3-многообразиями.

12. Представьте приведенные неформальные примеры 3-многообразий в виде 3-схем (указание: аналогично примерам (1) и (2) выше).

Эйлеровой характеристикой 3-схемы называется число $\chi = V - E + F - P$. *Край* и *ориентируемость* 3-многообразий определяются аналогично случаю 2-многообразий.

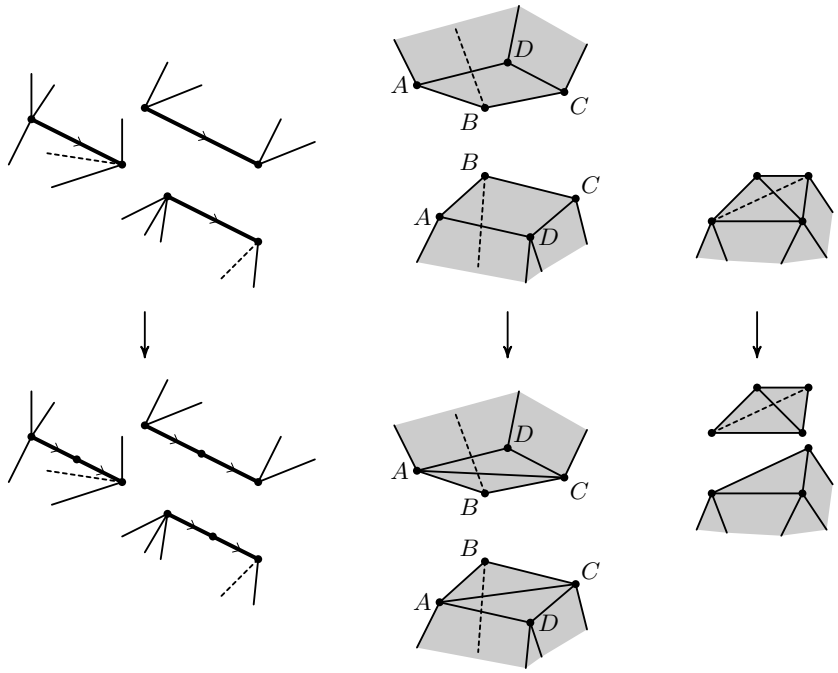

Рис. 33: Подразделение одномерной, двумерной и трехмерной граней

13. Решите аналоги задач 3a, 3b, 5b и 6a предыдущего параграфа для 3-многообразий.

Закончим этот параграф *другим (эквивалентным) определением 3-многообразия. Триангуляцией 3-многообразия* называется конечное множество, в котором выделены некоторые четырехэлементные неупорядоченные подмножества, причем

если для любого элемента A выкинуть его из каждого выделенного четырехэлементного подмножества, содержащего A, то полученные трехэлементные множества образуют триангуляцию 2-многообразия, гомеоморфного сфере.

Элементы данного конечного множества называются *вершинами*, выделенные подмножества — *тетраэдрами (трехмерными гранями)*, трехэлементные подмножества трехмерных граней — *гранями*, а двухэлементные подмножества граней — *ребрами*.

Операция *подразделения ребра* (а также *подразделения двумерных и трехмерных граней*) определяются аналогично случаю 2-многообразий и изображены на рис. 34 (читатель легко восстановит формальное комбинаторное определение этих операций по рисункам). Две триангуляции называются *гомеоморфными*, если от одной можно перейти к другой при помощи операций подразделения ребра и обратных к ним. *3-многообразием* называется класс эквивалентности триангуляций с точностью до гомеоморфизма. Представители этого класса эквивалентности называются *триангуляциями соответствующего 3-многообразия*.

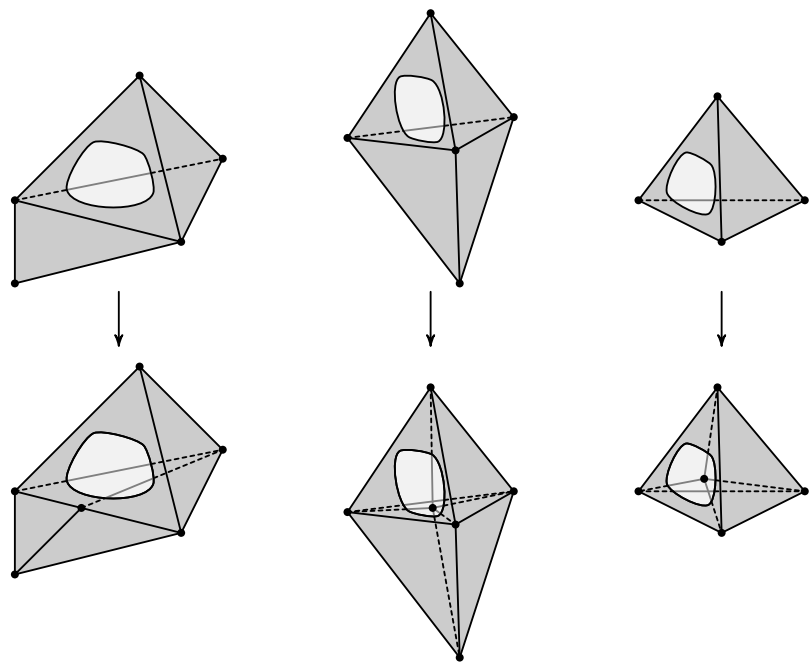

Рис. 34: Подразделение одномерной, двумерной и трехмерной граней

ГЛАВА 2. ОРИЕНТИРУЕМОСТЬ

I should say it meant something simple
and obvious, but then I am no philosopher!
I. Murdoch, The Sea, the Sea. [8]

ОРИЕНТИРУЕМОСТЬ

Ориентируемость 2-многообразий.

Существует красивый и простой критерий ориентируемости многообразия: 'не содержит листа Мёбиуса'. Существует простой алгоритм распознавания ориентируемости: сначала ориентируем произвольно одну грань, затем на каждом шаге будем ориентировать грань, соседнюю с некоторой уже ориентированной, пока не ориентируем все грани или не получим несогласованности ориентаций вдоль некоторого ребра. В этом пункте мы приведем алгебраический критерий ориентируемости, который сложнее формулируется. Этот критерий является по сути лишь переформулировкой определения ориентируемости на алгебраический язык. Но он важен не сам по себе, но и как иллюстрация теории препятствий. Кроме того, он найдет применение для *классификации* утолщений.

Теорема ориентируемости. *2-Многообразие N без края ориентируемо тогда и только тогда, когда его* первый класс Штифеля-Уитни $w_1(N) \in H_1(N)$ *нулевой.*

Группа $H_1(N)$ и класс $w_1(N)$ естественно возникают и строго определяются в процессе доказательства теоремы ориентируемости, к которому мы и переходим.

[8] *Должен бы сказать, что это означает нечто простое и очевидное, однако я не философ! А. Мэрдок, Море, море, пер автора.*

Определение препятствующего цикла. Возьмем некоторую схему T многообразия N. Например, возьмем стандартную схему (с одной гранью) бутылки Кляйна (рис. 35). На этом рисунке проделаны все шаги приводимого доказательства для частного случая. Мы предлагаем читателю в качестве упражнения проделать эти шаги для схемы проективной плоскости с рис. 23.

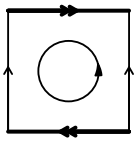

Рис. 35: Набор o ориентаций и препятствующий цикл $\omega(o)$

Возьмем набор o ориентаций на гранях схемы. Каждое ребро схемы покрасим в красный цвет, если ориентации граней с двух сторон этого ребра *рассогласованы*, т.е. задают на этом ребре *одинаковые* направления. Объединение красных ребер называется *препятствующим циклом* $\omega(o)$. На рис. 35 жирными линиями изображен препятствующий цикл для K^2.

Ясно, что

$(*)$ данный набор o ориентаций граней определяет ориентацию многообразия тогда и только тогда, когда $\omega(o) = \varnothing$.

$(**)$ в графе $\omega(o)$ *нет изолированных вершин и из каждой вершины выходит четное число красных ребер.*

1. (a) Докажите эти утверждения.

(b) 2-Многообразие с краем, получающееся вырезанием малой окрестности графа $\omega(o)$ из N, ориентируемо.

Гомологическим циклом в произвольном графе G называется подграф с условием из (**). Слово 'гомологический' будем опускать, ибо из контекста будет понятно, идет ли речь о гомологических циклах или о циклах в смысле теории графов. Объединение ребер схемы на рис. 35 является 'восьмеркой', поэтому в этом графе четыре (гомологических) цикла.

2. Число циклов в связном графе равно 2^{E-V+1}. Указание: выделим в графе G максимальное дерево, тогда вне этого дерева $E - V + 1$ ребер.

Изменение препятствующего цикла и определение границы грани. Если $\omega(o) \neq \varnothing$, то o не определяет ориентации многообразия, но еще не все потеряно: можно попытаться изменить o, так чтобы препятствующий цикл стал пустым. Для этого выясним, как $\omega(o)$ зависит от o.

Для грани a, гомеоморфной диску, обозначим через ∂a цикл, образованный ребрами границы этой грани (рис. 36). Для произвольной грани a обозначим через ∂a цикл, образованный теми ребрами границы этой грани, к которым грань примыкает только с одной стороны (рис. 36). Для примера на рис. 35 граница единственной грани пуста.

При изменении ориентации *одной* грани a цикл $\omega(o)$ изменяется на сумму по модулю 2 (т.е. на симметрическую разность) с *границей* этой грани: $\omega(o') - \omega(o) = \partial a$. Для примера на рис. 35 препятствующий цикл вообще не меняется. При изменении ориентации *нескольких граней* $a_1, \ldots, a_k$ цикл $\omega(o)$ изменяется на сумму по модулю 2 границ этих граней:

$$\omega(o') - \omega(o) = \partial a_1 + \ldots + \partial a_k.$$

3. (a) Сумма (по модулю 2) циклов действительно есть цикл.

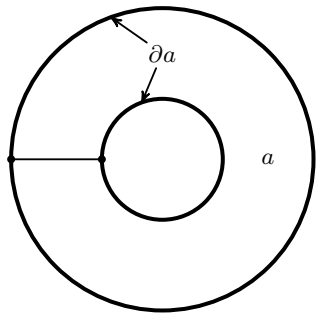

Рис. 36: Алгебраическая граница грани

Далее в этой задаче используются понятия группы и изоморфизма групп.

(b) Множество $H_1(G)$ всех циклов в графе G с операцией суммы (по модулю 2) является группой. Эта группа называется *одномерной группой гомологий графа G (с коэффициентами в $\mathbb{Z}_2$)*.

(c) $H_1(G) \cong H_1(G')$ для гомеоморфных графов G и G'.

(d) $H_1(G) \cong \mathbb{Z}_2^{E-V+1}$ для связного графа G.

(e) Несамопересекающиеся циклы порождают $H_1(G)$.

Определение группы $H_1(N)$. Назовем *границей* сумму границ нескольких граней. Назовем циклы ω_1 и ω_2 *гомологичными*, если $\omega_1 - \omega_2$ есть граница $\partial a_1 + \ldots + \partial a_k$.

Ясно, что

(i) При изменении набора o ориентаций препятствующий цикл $\omega(o)$ заменяется на гомологичный цикл.

(ii) Если $\omega(o)$ является границей, то можно изменить o на o', так чтобы получилось $\omega(o') = 0$.

(iii) Гомологичность является отношением эквивалентности на множестве циклов.

(Для доказательства утверждения (ii) заметим, что если $\omega(o) = \partial a_1 + \ldots + \partial a_s$, то можно взять набор o' ориентаций граней, отличающийся от o в точности на гранях $a_1, \ldots, a_s$, тогда получим $\omega(o') = 0$.)

Одномерной группой гомологий $H_1(T)$ схемы T (с коэффициентами в $\mathbb{Z}_2$) называется группа циклов с точностью до гомологичности. Для примера на рис. 35 $H_1(T) \cong \mathbb{Z}_2 \oplus \mathbb{Z}_2$, поскольку только одинаковые циклы гомологичны.

Положим $H_1(N) := H_1(T)$ (это определение корректно ввиду задачи 4b ниже).

Важно, что эта группа, которая уже появилась при решении конкретной задачи (и еще появится при решении других задач!) может быть коротко определена независимо от этих задач.

4. Возьмем произвольную схему T замкнутого связного 2-многообразия N.

(a) Дайте определение группы $H_1(T)$, независимое от рассуждений, в которых она появилась (см. ответ в начале главы 4).

(b) Группа $H_1(T)$ не зависит от выбора схемы T данного 2-многообразия N.

(c) Если $a_1, \ldots, a_F$ — все грани схемы, то $\partial a_1 + \ldots + \partial a_F = \varnothing$. Сумма границ любого собственного подмножества множества граней непуста.

(d) $|H_1(T)| = 2^{2-V+E-F} = 2^{2-\chi(T)}$.

(e) В множестве $H_1(T)$ корректно определена операция суммы формулой $[\alpha] + [\beta] = [\alpha + \beta]$.

Далее в этой задаче используются понятия группы и изоморфизма групп.

(f) Множество $H_1(T)$ с этой операцией является группой

(g) $H_1(T) \cong \mathbb{Z}_2^{2-\chi(T)}$.

(h) Несамопересекающиеся циклы порождают $H_1(T)$.

Определение класса $w_1(N)$. Первым классом Штифеля-Уитни схемы T называется класс гомологичности препятствующего цикла:

$$w_1(T) := [\omega(o)] \in H_1(T).$$

Это определение корректно ввиду утверждения (i). Положим $w_1(N) := w_1(T)$ (это определение корректно ввиду задачи 5 ниже).

5. Класс $w_1(T) \in H_1(N)$ не зависит от выбора схемы T данного многообразия N.

Завершение доказательства теоремы ориентируемости. Ясно, что $w_1(N)$ является препятствием к ориентируемости. Обратно, пусть $w_1(N) = 0$. Значит, существует такой набор o ориентаций, что $\omega(o)$ есть граница. Поэтому можно изменить на o' так, чтобы $\omega(o') = 0$. Тогда многообразие ориентируемо. □

6. (a) Сформулируйте и докажите аналог теоремы ориентируемости для многообразий с непустым краем (обозначение: $w_1(N) \in H_1(N, \partial N)$). Нарисуйте представитель первого класса Штифеля-Уитни (т.е. препятствующий цикл) на листе Мёбиуса.

(b)* Сформулируйте и докажите аналоги теорем и задач этого параграфа для многообразий произвольной размерности.

При рассуждениях с гомологическими классами обычно сначала работают с представляющими их циклами, а потом доказывают независимость от выбора цикла в данном классе гомологий.

Форма пересечений

Пусть N — 2-многообразие без края и $\alpha, \beta \in H_1(N)$. Выберем циклы a и b *общего положения*, представляющие эти элементы (т.е. циклы, пересекающиеся в конечном числе точек и притом трансверсально). Заметим, что $a \neq b$, даже если $\alpha = \beta$. *Пересечением* этих гомологических классов назовем

$$\alpha \cap \beta := |a \cap b| \mod 2.$$

Ср. [DZ93]. Приведем более формальное определение.

Определение двойственной схемы для схемы 2-многообразия (рис. 37). Возьмем некоторую схему U 2-многообразия N. Выберем в каждой грани точку и обозначим полученное множество точек через U_0^*. Для каждого ребра a исходной схемы соединим ребром a^* точки множества U_0^*, соответствующие соседним вдоль этого ребра граням. Полученный граф обозначим через U_1^*. Этот граф разбивает 2-многообразие N на многоугольники. Полученная схема U^* называется *двойственной* к U.

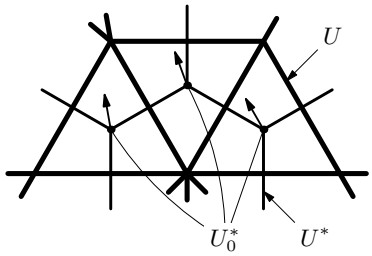

Рис. 37: Двойственная схема. Убрать стрелочки, сделать двойственную пунктирной

Рассмотрим схему U 2-многообразия N. Возьмем двойственную схему U^*. Для ребер x схемы U и y схемы U^* положим $x \cap y = 1$, если x и y двойственны, и $x \cap y = 0$

иначе. Для подграфов X схемы U и Y схемы U^* положим $X \cap Y$ равным количеству их точек пересечения по модулю 2 (т.е. продолжим умножение $\cap$ на ребрах до билинейной симметричной формы $\cap : \mathbb{Z}_2^E \times \mathbb{Z}_2^E \to \mathbb{Z}_2$).

7. (a) Пересечение цикла и границы всегда нулевое.

(b) Формула $[a] \cap [b] := a \cap b$ корректно задает *форму пересечений* $\cap : H_1(N) \times H_1(N) \to \mathbb{Z}_2$.

(c) $\alpha \cap \beta = \beta \cap \alpha$ и $(\alpha + \beta) \cap \gamma = \alpha \cap \gamma + \beta \cap \gamma$, т.е. пересечение на гомологиях симметрично и билинейно.

(d) По планете Тополога, имеющей форму тора, текут реки Меридиан и Параллель. Два маленьких принца прошли по планете и вернулись в исходную точку, причем один из них переходил Меридиан 10 раз, а Параллель 17 раз (трансверсально), а другой — 9 раз и 12 раз, соответственно. Докажите, что один маленький принц видел следы другого.

8. (a) Для гомологического цикла a, представляемого замкнутой несамопересекающейся кривой, выражение $a \cap a$ равно 1, если при обходе вдоль этой кривой меняется ориентация и равно 0, если не меняется.

(b) $w_1(N) \cap a = a \cap a$ для любого $a \in H_1(N)$.

(c) $w_1(N) \cap w_1(N) = \chi(N) \mod 2$.

9. (a) Для любого базиса $x_1, \dots, x_E$ группы $\mathbb{Z}_2^E$ существует базис $y_1, \dots, y_E$ группы $\mathbb{Z}_2^E$, для которого $x_i \cap y_j = \delta_{ij}$.

(b) *Теорема двойственности Пуанкаре.* Форма пересечений невырождена, т.е. ее ранг равен $2 - \chi(N)$, т.е. для любого базиса $\alpha_1, \dots, \alpha_{2-\chi(N)}$ группы $H_1(N)$ существует базис $\beta_1, \dots, \beta_{2-\chi(N)}$ группы $H_1(N)$, для которого $\alpha_i \cap \beta_j = \delta_{ij}$.

Регулярной окрестностью графа в многообразии является его окрестность, являющаяся его утолщением.

10. (a) Регулярные окрестности образов разных вложений графа в плоскость (рис. 72) гомеоморфны.

(b) То же для гомотопных вложений в любое фиксированное 2-многообразие.

Ориентируемость утолщений.

Введем ориентацию на каждой граничной окружности дисков из определения утолщения (или, что то же самое, вложим эти окружности в плоскость с фиксированной ориентацией). Тогда ленточка из определения утолщения называется *перекрученной*, если стрелки на двух ее противоположных сторонах, лежащих в ориентированных окружностях, сонаправлены вдоль ленточки. Ленточка называется *неперекрученной*, если эти стрелки противонаправлены.

Теорема ориентируемости утолщений. *Следующие условия на утолщение (N, G) равносильны его ориентируемости:*

(M) (N, G) не содержит подутолщения, гомеоморфного изображенному на рис. 15 (листа Мёбиуса).

(E) В каждом несамопересекающемся цикле в графе G четное количество перекрученных ленточек.

(W) Первый класс Штифеля-Уитни $w_1(N, G) \in H^1(G)$ нулевой.

Критерий (W) неинтересен сам по себе. Однако конструкции из его доказательства интересны как иллюстрация теории препятствий и необходимы для *классификации* утолщений (см. ниже).

Доказательство критериев (M) и (E). Ясно, что (M) эквивалентно (E), и что условие (E) необходимо для ориентируемости. Докажем его достаточность.

Заметим, что любое утолщение дерева ориентируемо. Рассмотрим остов графа G и выберем такой набор ориентаций на граничных окружностях дисков, что все

ленточки в утолщении остова T не перекручены. Несамопересекающийся цикл, образованный произвольным ребром e вне остова и некоторыми ребрами остова, имеет четное количество перекрученных ленточек. Поэтому ленточка, соответствующая ребру e, не перекручена. Значит, утолщение ориентируемо. □

Определение группы $H^1(N)$, класса $w_1(N,G)$ и доказательство критерия (W). Утолщение является ориентируемым тогда и только тогда, когда можно изменить ориентации на граничных окружностях его дисков так, чтобы каждая ленточка стала неперекрученной.

Выберем набор ориентаций o на дисках утолщения. Поставим на ребре графа G единицу, если соответствующая ленточка оказалась перекрученной, и ноль, если неперекрученной. Назовем полученную расстановку *препятствующей* и обозначим ее $\omega(o)$. (Конечно, $\omega(o)$ зависит также от утолщения (N,G), но мы не указываем это в обозначениях.) Если $\omega(o)=0$, то утолщение N ориентируемо.

Если $\omega(o)\neq 0$, то o не определяет ориентации утолщения, но еще не все потеряно: можно попытаться изменить o, так чтобы препятствующая расстановка стала нулевой. Выясним, как $\omega(o)$ зависит от o. Для этого заметим, что расстановки можно складывать: для этого просто складываются числа, стоящие на каждом ребре (такое сложение называется *покомпонентным*). При изменении ориентации одного диска, соответствующего вершине a, к $w(o)$ прибавляется расстановка 1 на ребрах, выходящих из a, и 0 на всех остальных ребрах. Эта расстановка называется *элементарной кограницей вершины* a и обозначается δa. Ясно, что если наборы ориентаций o и o' различаются в точности в вершинах $a_1,\ldots,a_k$, то

$$\omega(o)-\omega(o')=\delta a_1+\ldots+\delta a_k.$$

Назовем *кограницей* сумму кограниц нескольких вершин. Назовем расстановки ω_1 и ω_2 *когомологичными*, если $\omega_1-\omega_2$ есть кограница $\delta a_1+\ldots+\delta a_k$. Ясно, что

(i) При изменении набора o ориентаций препятствующая расстановка $\omega(o)$ заменяется на когомологичную расстановку.

(ii) Если $\omega(o)$ является кограницей, то можно изменить o на o', так чтобы получилось $\omega(o')=0$.

(iii) Когомологичность является отношением эквивалентности на множестве расстановок.

Одномерной группой когомологий графа G (с коэффициентами в $\mathbb{Z}_2$) называется группа $H^1(G)$ расстановок с точностью до когомологичности.

Первым классом Штифеля-Уитни утолщения (N,G) называется класс когомологичности препятствующей расстановки:

$$w_1(N,G)=[\omega(o)]\in H^1(G).$$

Это определение корректно ввиду утверждения (i).

Ясно, что $w_1(N,G)$ является препятствием к ориентируемости утолщения. Обратно, пусть $w_1(N,G)=0$. Значит, существует такой набор o ориентаций, что $\omega(o)$ есть кограница. Поэтому можно изменить на o' так, чтобы $\omega(o')=0$. Тогда все ленточки неперекручены и утолщение ориентируемо. □

Для любого (гомологического) цикла g сумма $\omega(o)\cdot g$ значений $\omega(o)$ по всем ребрам подграфа g не зависит от набора o ориентаций. Поэтому формула $w_1^*(N,G)[g]=\omega(o)\cdot g$ корректно задает линейную функцию $w_1^*(N,G):H_1(G)\to\mathbb{Z}_2$. Ясно, что $w_1(N,G)=0$ тогда и только тогда, когда эта функция нулевая.

Заметим, что первый класс Штифеля-Уитни определяет инвариант w_1 из множества утолщений в множество линейных функций $H_1(G)\to\mathbb{Z}_2$.

Указания к некоторым задачам.

Указание к 10a. Используйте формулу Эйлера.

Указание к 10b. Докажите сначала, что форма пересечения на регулярной окрестности графа в 2-многообразии одинакова для гомотопных вложений.

ИНВОЛЮЦИИ

Примеры инволюций.

Читатель наверняка знает, насколько полезны центральные, осевые и зеркальные симметрии в элементарной геометрии. Настолько же полезны их обобщения — инволюции — в 'высшей' математике. (В свою очередь, понятие инволюции является частным случаем более общего понятия действия группы на множестве, которое мы здесь не затрагиваем, поскольку идеи и методы, который мы хотим проиллюстрировать, достаточно выпукло видны на примере инволюций.)

Инволюцией на подмножестве $N \subset \mathbb{R}^m$ называется непрерывное отображение $t : N \to N$, для которого $t(t(x)) = x$ для любого $x \in N$.

Инволюция t называется *свободной*, если она не имеет неподвижных точек, т.е. если $t(x) \neq x$ при любом x. (Заметим, что центральные, осевые и зеркальные симметрии пространства не удовлетворяют этому условию.)

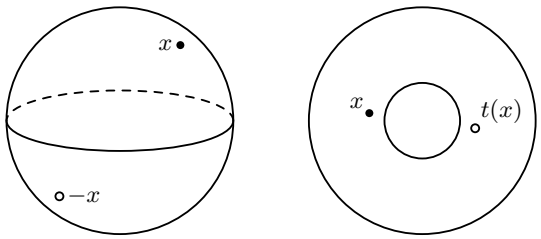

Рис. 38: Инволюции (1) и (2)

Примеры свободных инволюций.

(1) Отображение $S^2 \to S^2$ сферы $S^2 = \{(x, y, z) \in \mathbb{R}^3 \mid x^2 + y^2 + z^2 = 1\}$, заданное формулой $(x, y, z) \mapsto (-x, -y, -z)$. Это — *антиподальная* инволюция (рис. 38).

(2) Отображение $A^2 \to A^2$ кольца $A^2 = \{(r, \varphi) \in \mathbb{R}^2 \mid 1 \leqslant r \leqslant 2\}$, заданное формулой $(r, \varphi) \mapsto (r, \pi + \varphi)$ (рис. 38).

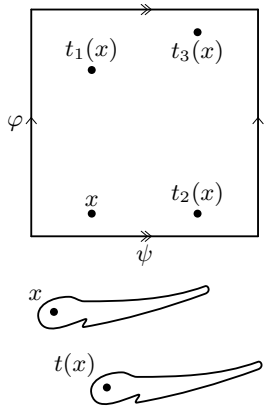

Рис. 39: Инволюции (3)–(6)

(3)–(5) Отображения $t_i : T^2 \to T^2$, заданные формулами (рис. 39)

$$t_1(\varphi,\psi) = (\pi+\varphi,\psi), \quad t_2(\varphi,\psi) = (\varphi,\pi+\psi) \quad \text{и} \quad t_3(\varphi,\psi) = (-\varphi,\pi+\psi).$$

(6) Возьмем несвязное объединение $X \sqcup X = X \times \{+1,-1\}$ двух копий пространства X. Определим инволюцию t_X на $X \times \{+1,-1\}$ формулой $(x,s) \mapsto (x,-s)$. Это — *тривиальная* инволюция (рис. 39).

(7) Рассмотрим движение без столкновений двух различных частиц на некотором многообразии N. *Фазовым пространством* этого движения называется множество $\widetilde{N} := \{(x,y) \mid x,y \in N,\ x \neq y\}$. На этом множестве можно ввести инволюцию формулой $(x,y) \mapsto (y,x)$. (Заметим, что множество $\widetilde{N}$ не обязательно является 2-многообразием.)

1. (a) На сфере с любым числом ручек существует свободная инволюция.

(b)* Существует ли свободная инволюция на $\mathbb{R}P^2$? Указание: решите хотя бы для *симплициальных* инволюций, определение которых см. ниже.

2. (a) Приведите пример свободной инволюции на окружности.

(b) На любом ли графе существует свободная инволюция? Указание: решите хотя бы для *симплициальных* инволюций, определение которых можно дать аналогично нижеприведенному.

Пусть T — схема 2-многообразия N. *Симплициальная относительно схемы T свободная инволюция* — это разбиение вершин схемы T на пары, удовлетворяющее следующим четырем условиям:

— каждое ребро соединяет вершины из разных пар;

(Это условие принимается, поскольку любое непрерывное отображение отрезка в себя имеет неподвижную точку.)

— если $\{a,a'\}$ — пара, $\{b,b'\}$ — пара и ab — ребро, то $a'b'$ —ребро.

— никакие две вершины в границе грани не лежат в одной паре;

(Это условие принимается, поскольку любое непрерывное отображение диска в себя имеет неподвижную точку.)

— если $\{a_i,a_i'\}$ — пары и $a_1 \dots a_k$ — грань, то $a_1' \dots a_k'$ — грань.

Для 2-многообразия N, реализованного в качестве подмножества в $\mathbb{R}^3$, инволюция t на N называется *симплициальной относительно разбиения T*, если t переводит вершины в вершины, каждое ребро ab в ребро $t(a)t(b)$ и каждую грань $a_1 \dots a_k$ в грань $t(a_1) \dots t(a_k)$. *Мы будем рассматривать только инволюции, симплициальные относительно некоторой схемы.*

Теорема о четности. *Эйлерова характеристика 2-многообразия с симплициальной свободной инволюцией четна.*

3. (a) Докажите теорему о четности.

(b) На проективной плоскости с ручками не существует свободной инволюции.

(c) Существует ли свободная инволюция на бутылке Клейна?

(d) На каких 2-многообразиях существует свободная инволюции?

В 2-многообразии N со свободной инволюцией t отождествим точки x и $t(x)$ для любого x. Полученное в результате отождествления пространство будет 2-многообразием (этим фактом можно пользоваться в дальнейшем без доказательства). Оно называется *факторпространством* пространства N по инволюции t и обозначается N/t. Наша инволюция называется инволюцией *на* пространстве N *над* пространством N/t.

4. В вышеприведенных примерах (1)–(6)

(a) инволюции симплициальны относительно некоторой схемы;

(b) факторпространства гомеоморфны пространствам $\mathbb{R}P^2$, A^2, T^2, T^2, K^2, X.

5. (a) Свободные инволюции над данным графом N можно строить следующим образом. Раскрасим вершины данного графа N в V разных цветов. Для каждой вершины графа N возьмем две вершины того же цвета. Это будут вершины графа N'. Для каждого ребра ij графа N возьмем два ребра, каждое из которых соединяет разноцветные вершины цветов i и j графа N'. Это будут ребра графа N'. На полученном раскрашенном графе N' определяется инволюция, меняющая местами одноцветные вершины.

(b) Пусть G — граф с вершинами a и b, двукратным ребром ab и двумя петлями aa и bb. Приведите пример свободной инволюции графа G над графом 'восьмерка'.

Инволюция $t : N \to N$ называется *тривиальной*, если существует такое 2-многообразие X и топологическая эквивалентность $N \to X \sqcup X$, при которой t переходит в тривиальную инволюцию t_X на $X \sqcup X$ из примера (6). Ясно, что антиподальная инволюция на сфере нетривиальна.

6. Любая свободная инволюция одного из следующих типов является тривиальной:

(a) на графе над деревом.

(b) на 2-многообразии над диском.

(c) на 2-многообразии над сферой.

Указание: эти и следующие задачи разумно решить сначала для *конкретных* выбранных Вами простых разбиений рассматриваемых 2-многообразий, а потом для *произвольных* разбиений.

7. Для каких пар (M, N) 2-многообразий существует свободная инволюция 2-многообразия M над 2-многообразием N?

Классификация инволюций.

Инволюции $t_1, t_2 : N \to N$ называются *эквивалентными*, если существует схема T 2-многообразия N и изоморфизм $f : T \to T$, для которого $t_2 \circ f = f \circ t_1$ (т.е. изоморфизм f переводит каждую пару $(x, t_1(x))$ в некоторую пару $(y, t_2(y))$.

8. (a) Инволюции из примеров (3) и (4) эквивалентны.

(b) Приведите пример двух неэквивалентных свободных инволюций на одном и том же 2-многообразии.

(c) Приведите пример двух не эквивалентных свободных инволюций на сфере с двумя ручками, факторпространство по каждой из которых гомеоморфно тору.

С инволюциями можно работать на эквивалентном языке двулистных накрытий. Неформально говоря, двулистное накрытие — отображение, при котором каждая точка имеет два прообраза. Формально, *(неразветвленным) двулистным накрытием* называется отображение $p : N \to N/t$ для некоторой (свободной) инволюции t. См. эквивалентное определение в главе 6.

Инволюция называется *тривиальной*, если соответствующее двулистное накрытие тривиально.

Двулистные накрытия $p_1 : X_1 \to X$ и $p_2 : X_2 \to X$ называются *эквивалентными*, если существует изоморфизм схем $f : X_1 \to X_2$, для которого $p_1 = p_2 \circ \varphi$.

Обозначим через $S(M)$ множество двулистных накрытий над M ('инволюций над M') с точностью до эквивалентности над M.

Теорема классификации двулистных накрытий над графом. *Множество $S(G)$ симплициальных двулистных накрытий над графом G с точностью до эквивалентности находится во взаимно однозначном соответствии с $H_1(G) \cong \mathbb{Z}_2^{E-V+C}$.*

Набросок доказательства. Рассмотрим симплициальное двулистное накрытие $p : \widetilde{G} \to G$ над графом G. Для каждой вершины v графа G одну из точек в p^{-1} назовем верхней, а вторую нижней. Этот выбор обозначим через o. Поставим на

ребре e графа G единицу, если соответствующие два ребра $p^{-1}e$ в $\widetilde{G}$ соединяют разноименные вершины, и ноль, если одноименные. Назовем полученную расстановку *препятствующей* и обозначим $\omega(o)$. (Пояснение к названию, не используемое в дальнейшем: эта расстановка препятствует тривиальности двулистному накрытия.)

Одномерная группа гомологий $H_1(G)$ графа G определяется аналогично пункту 'ориентируемость' как группа циклов в графе G. Для любого цикла g сумма $\omega(o)\cdot g$ значений $\omega(o)$ по всем ребрам подграфа g не зависит от набора o стрелочек. Поэтому формула $w_1(p)[g]=\omega(o)\cdot g$ корректно задает линейную функцию $w_1(p): H_1(G)\to\mathbb{Z}_2$. Она называется *первым классом Штифеля-Уитни* двулистного накрытия. Доказательство того, что соответствие $p\mapsto w_1(p)$ является биекцией, оставляем в качестве упражнения. □

9. (a) При построенной выше биекции композиция инволюций переходит в сумму циклов.

(b) Сколько симплициальных двулистных накрытий над тором (с точностью до эквивалентности)?

(c) Сколько симплициальных свободных инволюций на торе (с точностью до эквивалентности)?

Перейдем к классификации симплициальных двулистных накрытий над данным 2-многообразием M. Пусть задана некоторая инволюция $t: N\to N$ над M. Мы построим препятствие к тривиальности инволюции t. С помощью этого препятствия нетрудно классифицировать симплициальные двулистные накрытия над M. Рекомендуем читателю разобрать следующие рассуждения сначала для инволюции $t: T^2\to T^2$ из примера (2).

Выберем на сфере M с g ручками $2g$ кривых, как на рис. 40. Для двулистного накрытия $p:\widetilde{M}\to M$ и одной из этих кривых поставим на кривой 0, если соответствующая инволюция над ней тривиальна (т.е. является перестановкой соответствующих точек из двух копий окружности), и 1, если нетривиальна. Получим набор $w_1(p)$ из $2g$ нулей и единиц, называемый *первым классом Штифеля-Уитни* двулистного накрытия p относительно данного выбора кривых L.

Аналогичные наборы из $2g$ нулей и единиц можно получить, рассматривая некоторые другие наборы замкнутых кривых на M.

Рис. 40: Набор кривых для классификации инволюций

10. Постройте аналогичный набор из $2-\chi(M)$ кривых на *неориентируемом* многообразии M (так, чтобы была выполнена следующая теорема).

Теорема классификации двулистных накрытий. *Для замкнутого 2-многообразия M отображение $w_1: S(M)\to\mathbb{Z}_2^{2-\chi(M)}$ (из множества $S(M)$ симплициальных двулистных накрытий над графом G с точностью до эквивалентности в группу $H_1(M)\cong\mathbb{Z}_2^{2-\chi(M)}$ одномерных гомологий 2-многообразия M с коэффициентами в $\mathbb{Z}_2$) является взаимно-однозначным соответствием.*

Заметим, что группа гомологий $H_1(M)$ естественно появилась при классификации двулистных накрытий независимо от ее появления при изучении ориентируемости.

11. (a) При отображении w_1 тривиальная инволюция переходит в нулевой элемент.

(b) При отображении w_1 композиция инволюций переходит в сумму циклов.

(c) Докажите теорему классификации двулистных накрытий.

(d) Сформулируйте и докажите аналог теоремы классификации двулистных накрытий для многообразий с краем.

(e) То же для утолщений графов.

(f) Сформулируйте и докажите аналог теоремы классификации двулистных накрытий для двулистных накрытий многообразий, сохраняющих ориентацию.

Другое доказательство теоремы классификации двулистных накрытий. Это доказательство сложнее предыдущего. Зато, в отличие от предыдущего, построения этого доказательства применимы для классификации двулистных накрытий на 2-многообразиях, заданных схемой (например, в компьютере). Кроме того, это доказательство может быть обобщено для трехмерных (и многомерных) многообразий.

Построение препятствующего цикла. Рассмотрим свободную симплициальную инволюцию $t : N \to N$, для которой $M = N/t$. Возьмем некоторое разбиение T многообразия N. Построим двойственное разбиение U (см. определение в пункте 'форма пересечений'). Они порождают двойственные схемы T/t и U/t многообразия $M = N/t$.

Для каждой пары инволютивных вершин схемы T одну из них назовем верхней, а вторую нижней. Этот выбор обозначим через o. Покрасим в красный цвет те ребра схемы U/t, для которых соответствующие два ребра схемы T соединяют разноименные вершины. Объединение красных ребер называется *препятствующим циклом* $\omega(o)$. На рис. 41 жирной линией изображен препятствующий цикл для инволюции на торе (т.е. для соответствующего двулистного накрытия над тором) из примера (3).

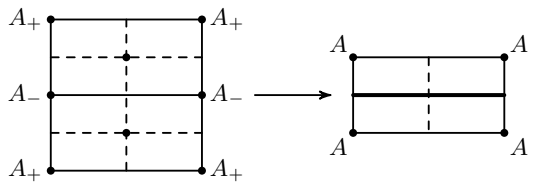

Рис. 41: Препятствующий цикл для инволюции на торе (над тором)

Ясно, что

(*) Данное распределение o верхних и нижних вершин определяет тривиализацию инволюции тогда и только тогда, когда $\omega(o) = \varnothing$.

(**) В графе $\omega(o)$ *нет изолированных вершин и из каждой вершины выходит четное число красных ребер*, т.е. этот граф является (гомологическим) циклом.

12. (a) Докажите эти утверждения.

(b) Вне графа $\omega(o)$ двулистное накрытие тривиально.

Изменение препятствующего цикла. Если $\omega(o) \neq \varnothing$, то o не определяет тривиализации инволюции, но еще не все потеряно: можно попытаться изменить o, так чтобы препятствующий цикл стал пустым. Для этого выясним, как $\omega(o)$ зависит от o.

Изменим названия двух инволютивных вершин схемы T, соответствующих вершине схемы T/t, лежащей в грани a. Тогда цикл $\omega(o)$ изменится на сумму по модулю 2 (т.е. симметрическую разность) с границей этой грани: $\omega(o') = \omega(o) + \partial a$. Поэтому при изменении названий нескольких инволютивных вершин схемы T цикл $\omega(o)$ изменяется на сумму по модулю 2 границ соответствующих граней схемы U/t:

$$\omega(o') = \omega(o) + \partial a_1 + \ldots + \partial a_k.$$

Ясно, что

(i) При изменении набора o препятствующий цикл $\omega(o)$ заменяется на гомологичный цикл.

(ii) Если $\omega(o)$ является границей, то можно изменить o на o', так чтобы получилось $\omega(o') = 0$.

Завершение доказательства. Напомним, что *одномерной группой гомологий* схемы T (или многообразия M) называется группа $H_1(M)$ циклов с точностью до гомологичности (и что $H_1(M) \cong \mathbb{Z}_2^{2-\chi(M)}$).

Первым классом Штифеля-Уитни инволюции t (или соответствующего двулистного накрытия) называется класс гомологичности препятствующего цикла:

$$w_1(t) := [\omega(o)] \in H_1(M).$$

Ясно, что он является *полным* препятствием к тривиальности инволюции t:

инволюция t тривиальна тогда и только тогда, когда $w_1(t) \neq 0$.

Теперь теорема классификации двулистных накрытий вытекает из (ii). □

13. Определите и классифицируйте двулистные накрытия над данным 3-многообразием.

Указание к 8b. Используйте факторпространства. Ответ: инволюции из примеров (4) и (5) не эквивалентны.

ТРЕХМЕРНЫЕ УТОЛЩЕНИЯ ДВУМЕРНЫХ ПОЛИЭДРОВ

Вложимость 2-полиэдров в $\mathbb{R}^3$.

Если склейку, определяющую тело схемы, можно осуществить в трехмерном пространстве $\mathbb{R}^3$ (или в данном 3-многообразии) без самопересечений, то данную схему называют *вложимой в $\mathbb{R}^3$ (или в данное 3-многообразие).* Ясно, что вложимость не зависит от выбора схемы в классе гомеоморфизма. Поэтому можно говорить о вложимости 2-полиэдра.

Формально, 2-полиэдр называется *вложимым в данное 3-многообразие* (например, в $\mathbb{R}^3$), если существуют такие схемы P, M 2-полиэдра и 3-многообразия, что схема P изоморфна подсхеме схемы M. (Это определение *кусочно-линейной* вложимости, для 3-многообразий равносильное *топологической* вложимости [Bi83], которую мы здесь не определяем).

Хорошо известна следующая трудная проблема: *найти описание 2-полиэдров, вложимых в $\mathbb{R}^3$.* (Конечно, что значит 'найти', формально не определено. Подразумевается, что требуется найти описание в легко проверяемых терминах. Как и с проблемой описания графов, вложимых в плоскость, возможно наличие разных описаний.) Приведем простейшие примеры по этой проблеме.

1. Следующие 2-полиэдры вложимы в $\mathbb{R}^3$:

(a) Любое ориентируемое (или неориентируемое с непустым краем) 2-многообразие.

(b) $T \times I/(a,0) \sim (h(a),1)$, где h — автогомеоморфизм триода T, отвечающий циклической перестановке его ребер (ср. с рис. 26).

(c) $G \times S^1$ для любого планарного графа G.

(d) Цилиндр $G \times I$ (или даже I-расслоение) над любым (даже непланарным) графом G.

Легко построить 2-полиэдр, не вложимый в $\mathbb{R}^3$. Например, можно взять конус над непланарным графом (казалось бы, можно взять произведение непланарного графа на отрезок, однако оно вложимо в $\mathbb{R}^3$!).

2. Следующие 2-полиэдры не вложимы в $\mathbb{R}^3$:

(a) $\operatorname{Con} K_5$. (b) $T \times T$. (c)* $K_5 \times S^1$.

(d) Лист Мёбиуса с приклеенным по средней линии кольцом за одну из компонент края кольца со степенью 1, т.е. $T \times I/(a,0) \sim (h_{(12)}(a),1)$, где $h_{(12)}$ — автогомеоморфизм триода T, отвечающий перестановке двух его ребер.

(e) Проективная плоскость $\mathbb{R}P^2$, бутылка Кляйна K и вообще, замкнутое неориентируемое 2-многообразие (указание: используйте теорему Жордана для замкнутых несамопересекающихся 2-многообразий в $\mathbb{R}^3$).

3. (a) $\mathbb{R}P^2$ и K (и вообще любой 2-полиэдр) вложимы в $\mathbb{R}^5$ (т.е. их можно изобразить там без самопересечений).

(b) $\mathbb{R}P^2$ и K вложимы и в $\mathbb{R}^4$. Указание: $\mathbb{R}P^2$ гомеоморфна листу Мёбиуса с приклеенным по граничной окружности диском.

4.* (a) Цилиндр $P \times I$ над 2-полиэдром P вложим в $\mathbb{R}^3$ тогда и только тогда, когда P не содержит зонтика (рис. 74) и листа Мёбиуса (что равносильно тому, что P вложим в сферу с некоторым количеством ручек). Указание: используйте идею доказательства теоремы Халина-Юнга [Sk05].

(b) Существует ли алгоритм распознавания вложимости 2-полиэдра в некоторую гомологическую сферу (не фиксированную заранее)?

Гипотеза. *Существует алгоритм распознавания вложимости 2-полиэдра в* $\mathbb{R}^3$.

Утолщаемость 2-полиэдров до 3-многообразий.

5. (a) Пространства из 2abd не вложимы даже ни в какое ориентируемое 3-многообразие.

(b) Пространство $T_5 \times I/(a,0) \sim (h_\sigma(a),1)$, где $\sigma = (12)(345)$, не вложимо ни в какое 3-многообразие (даже неориентируемое).

(c) Для каких перестановок $\sigma \in S_n$ (ориентируемо) утолщаем 2-полиэдр $T_n \times I/(a,0) \sim (h_\sigma(a),1)$, где h_σ — автогомеоморфизм n-ода, отвечающий перестановке σ его ребер?

2-полиэдр называется *(ориентируемо) утолщаемым*, если он вложим в некоторое, не фиксированное заранее, (ориентируемое) 3-многообразие.

Примером может служить вложение бутылки Клейна в некоторое *ориентируемое* 3-многообразие. Действительно, пусть $S^1 = \{z \in \mathbb{C} \mid |z| = 1\}$. Тогда 3-многообразие $S^1 \times [-1,1] \times [0,1]/(z,t,0) \sim (\bar{z},-t,1)$ ориентируемо и содержит бутылку Клейна $S^1 \times 0 \times [0,1]/(z,0,0) \sim (\bar{z},0,1)$. Другой пример ориентируемого 3-утолщения неориентируемого 2-многообразия — это регулярная окрестность проективной плоскости $\mathbb{R}P^2$, стандартно вложенной в $\mathbb{R}P^3$.

6. (a) Любое 2-многообразие N ориентируемо 3-утолщаемо.

(b)* Более того, 2-утолщение μ края ∂N (или I-расслоение μ над краем ∂N) продолжается до 3-утолщения 2-многообразия N (или продолжается на N) тогда и только тогда, когда $\delta w_1(\mu) = 0 \in H^2(N, \partial N)$. (Для решения задачи не обязательно знать определения объектов $\delta w_1(\mu)$ и $H^2(N, \partial N)$, их можно естественно придумать в процессе решения.)

Ложные поверхности.

2-полиэдр Q называется *ложной поверхностью*, если каждая его точка имеет окрестность, гомеоморфную одной из следующих: диску D^2, книжке с тремя страницами $T \times I$ или конусу над полным графом с четырьмя вершинами (т.е. над 1-остовом 3-симплекса), см. рис. 42. Такие точки мы будем называть точками типа 1, 2 и 3 соответственно.

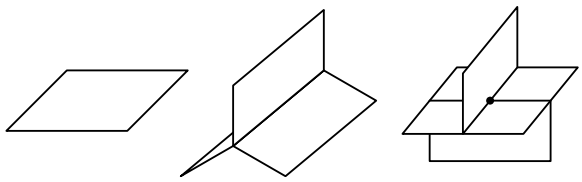

Рис. 42: Простейшие особенности

Мыльные пленки в $\mathbb{R}^3$ имеют сингулярности в точности типов 2 и 3. Понятие мыльных пленок из дифференциальной геометрии является также важным средством и объектом исследований в алгебраической и геометрической топологии. Например:

любое трехмерное многообразие является утолщением некоторой ложной поверхности (и даже *специального 2-полиэдра*) [HMS93, I, Theorem 3.1.b].

для любого 2-полиэдра P существует сюръективное отображение ('резольвента') $f : Q \to P$ ложной поверхности Q, прообразы точек при котором являются шарами размерности 1, 2 или 3 (и, в частности, стягиваемы) [RS00].

Примерами ложных поверхностей являются объединение тора с двумя дисками, приклеенными к параллели и меридиану тора, а также *дом Бинга с двумя комнатами.*

Пусть Q' обозначает *настоящий 1-остов* ложной поверхности Q, т. е. множество точек типа 2 или 3. Ясно, что Q' является графом, вершины которого имеют степени 1, 2 или 4. Обозначим через Q'' множество точек из Q типа 3.

Критерии утолщаемости ложных поверхностей.

Теорема ориентируемой утолщаемости. *Ориентируемая утолщаемость ложной поверхности Q равносильна каждому из следующих двух условий.*

(1) Q не содержит N — листа Мёбиуса с приклеенным по средней линии кольцом (за одну из компонент края кольца со степенью 1) [BP97], [BRS99].

(2) препятствие Матвеева $m(Q) \in H^1(Q')$ *нулевое [BRS99], [La00].*

Группа $H^1(Q')$ определена в параграфе 'ориентируемость и классификация утолщений' (или естественно появляется при исследовании ориентируемой утолщаемости).

Доказательство критерия (1). Возьмем по точке на каждой компоненте свяхности графа Q', являющейся окружностью. Пусть V — объединение полученных точек с Q''. Так как линк каждой точки из V — планарный граф, то существует 3-утолщение M_0 окрестности множества V, являющееся несвязным объединением трехмерных шаров.

В качестве утолщения окрестности каждой дуги из $Q' - M_0$ возьмем трубку, в которую эта окрестность вложена стандартным образом. Тогда окрестность ребра высекает на торцах трубки триод. Приклеим эту трубку по торцам к соответствующим шарам из M_0 так, чтобы триоды на торцах трубки совместились с соответствующими триодами на шарах из M_0. Получим 3-утолщение M_1 окрестности (в Q) графа Q'.

Докажем, что если Q не содержит N, то 3-утолщение M_1 ориентируемо. Пусть T — триод. Ясно, что для любой вершины $A \in Q''$ и для любых вершин $B, C \in \operatorname{lk} A$ степени больше 2 существуют три пути, соединяющих B с C и пересекающихся только в B, C. Поэтому для любой окружности $J \subset Q'$ существует такой подполиэдр $\hat{J} \subset Q$, что $\hat{J} \cong \dfrac{T \times I}{(a,0) \sim (h(a),1)}$, где h — автогомеоморфизм триода T, отвечающий некото-

рой перестановке его ребер и $*$ — центр триода (ср. с рис. 26; $\hat{J}$ называется *расслоением со слоем T и базой J* [Wr77]). При этом гомеоморфизме J обязано переходить в $\dfrac{* \times I}{(*,0) \sim (*,1)}$. Существует три типа пространств $\hat{J}$. Они получаются, когда перестановка ребер триода является тождественной, циклом длины 3 и циклом длины 2 (транспозицией), соттветственно. Если Q не содержит N, то для любой J пространство $\hat{J}$ первого или второго типов. Тогда 3-утолщение M_1 ориентируемо.

Пусть X — замыкание в Q произвольной компоненты связности множества $Q - M_1$. Тогда X есть 2-многообразие с краем $\partial X = X \cap \partial M_1$, являющимся несвязным объединением окружностей. Так как M_1 ориентируемо, то ∂M_1 ориентируемо. Поэтому малая окрестность в ∂M_1 каждой такой окружности является кольцом (а не листом Мёбиуса). Поэтому 3-утолщение M_1 можно продолжить до 3-утолщения полиэдра Q приклейкой "пробок"$X \times I$ по гомеоморфизмам между $\partial X \times I$ и малыми окрестностями в ∂M_1 объединения ∂X окружностей. □

7. (a) Определите группу $H^1(Q')$, препятствие $m(Q)$ и докажите критерий (2). Указание: можно действовать аналогично нижеследующим определению препятствия $\delta m(Q)$ и доказательству теоремы утолщаемости.

(b) Лист Мёбиуса с приклеенным по средней линии диском (по гомеоморфизму границы диска на среднюю линию листа Мебиуса) не утолщаем.

(c) Лист Мёбиуса с приклеенным по средней линии тором с дыркой (по гомеоморфизму границы тора с дыркой на среднюю линию листа Мебиуса) не утолщаем.

(d) Лист Мёбиуса с приклеенным по средней линии листом Мебиуса (по гомеоморфизму границы второго листа Мебиуса на среднюю линию первого) не утолщаем.

(e) Существует неутолщаемая ложная поверхность, не содержащая никакого объединения листа Мёбиуса и 2-поверхности с ровно одной граничной окружностью, отождествленной со средней линией листа Мёбиуса [BRS99].

Теорема утолщаемости. *Ложная поверхность Q утолщаема тогда и только тогда, когда* препятствие Матвеева $\delta m(Q) \in H^2(Q, Q')$ *нулевое* [Ma73].

Определение группы $H^2(Q, Q')$, препятствия $\delta m(Q)$ и доказательство теоремы утолщаемости. Фиксируем триангуляцию 2-полиэдра Q. Так как линк каждой вершины триангуляции — планарный граф, то существует утолщение M_0 окрестности 0-остова этой триангуляции. Оно является несвязным объединением трехмерных шаров. Пересечение $Q \cap \partial M_0$ является несвязным объединением (по всем вершинам триангуляции) графов, каждый из которых есть либо K_4 (граф с четырьмя вершинами, любые две из которых соединены ребром), либо $K_{3,2}$ (граф буквы ϑ), либо S^1 (окружность). Поскольку существует ровно одно (с точностью до гомеоморфизма сферы S^2) вложение каждого из этих трех графов в S_2, то утолщение M_0 единственно с точностью до гомеоморфизма, неподвижного на $Q \cap M_0$.

Построим утолщение окрестности 1-остова $T^{(1)}$ зафиксированной триангуляции следующим образом. Для каждого ребра из $T^{(1)} - M_0$ возьмем его окрестность в $Q - M_0$, гомеоморфную книжке с одной, двумя или тремя страницами (само ребро соответствует корешку книжки). Возьмем трубку $D^2 \times I$, в которую эта окрестность вложена стандартным образом. Указанная окрестность высекает на торцах трубки либо триод, либо отрезок. Приклеим каждую такую трубку по ее торцам к соответствующим шарам из M_0 так, чтобы графы на торцах трубки совместились с соответствующими подграфами на шарах. Получим утолщение M_1 окрестности 1-остова $T^{(1)}$. Если ребро из $T^{(1)} - M_0$ лежит в Q', то на торцах трубки высекаются триоды. Значит, эта трубка приклеивается к M_0 однозначно. Поэтому утолщение окрестности графа Q' единственно.

Чтобы выяснить, продолжается ли утолщение M_1 до утолщения всего 2-полиэдра, определим препятствующую расстановку. Фиксируем набор ориентаций на шарах

данного утолщения M_0. На каждом ребре поставим 0, если приклеивающие отображения торцов соответствующей трубки в сферы 0-остова определяют ориентацию на трубке, и 1 в противном случае. Эту расстановку назовем *различающей* и обозначим $\omega(M_1)$. На каждой грани выбранной триангуляции поставим сумму по модулю 2 чисел на ограничивающих ее ребрах. Полученную расстановку назовем *препятствующей* и обозначим $\delta\omega(M_1)$. Ясно, что $\delta\omega(M_1)$ не зависит от набора ориентаций на шарах утолщения M_0 (хотя $\omega(M_1)$ зависит).

Если существует продолжение утолщения M_1 до утолщения всего 2-полиэдра, то малая окрестность любой грани выбранной триангуляции пересекается с M_1 по кольцу (а не по листу Мёбиуса). Тогда $\delta\omega(M_1)$ равна нулю на этой грани. Следовательно, если $\delta\omega(M_1) \neq 0$, то M_1 не продолжается до утолщения всего 2-полиэдра.

Однако, если $\delta\omega(M_1) \neq 0$, то еще не все потеряно: можно попытаться изменить M_1 так, чтобы препятствующая расстановка $\delta\omega(M_1)$ стала нулевой. Выясним, какие бывают различающие расстановки $\omega(M_1)$ для различных M_1. Утолщение графа Q' единственно. Значит, расстановка $\omega(M_1)$ на ребрах *из* Q' не зависит от M_1. Трубки, соответствующие ребрам *вне* Q' могут быть приклеены к N_0 двумя способами: приклеивающие отображения могут как определять ориентацию на трубке, так и не определять. Таким образом, мы можем так подобрать утолщение M_1 окрестности 1-остова выбранной триангуляции, что расстановка $\omega(M_1)$ на ребрах вне Q' будет любой наперед заданной.

Ясно, что изменение утолщения M_1 на одном ребре e из $T^{(1)}$, не лежащем в Q, дает изменение расстановки $\delta\omega(M_1)$ на (двух или одной) гранях выбранной триангуляции, примыкающих к e. Иными словами, к $\delta\omega(M_1)$ прибавляется расстановка δe (*кограница* ребра e), которая по определению равна единице на гранях, примыкающих к e, и нулю на остальных гранях.

Назовем *группой двумерных когомологий полиэдра Q по модулю подполиэдра Q'* группу $H^2(Q, Q')$ расстановок нулей и единиц на гранях триангуляции T с точностью до сумм кограниц ребер. (Можно доказать, что эта группа не заисит от выбора триангуляции T.) Назовем *препятствием Матвеева*

$$\delta m(Q) := [\delta\omega(M_1)] \in H^2(Q, Q').$$

Из двух предыдущих абзацев вытекает следующее.

(1) Если $\delta m(Q) \neq 0$, то утолщения 2-полиэдра Q не существует.

(2) Если же $\delta m(Q) = 0$, то существует такое утолщение M_1, что $\delta\omega(M_1) = 0$. Это утолщение M_1 можно продолжить до утолщения 2-полиэдра Q. □

8. (Решение этой задачи автору неизвестно.) Обозначим через $R_Q(Q')$ регулярную окрестность графа Q' в ложной поверхности Q. Возьмем компоненту связности X пространства $Q - R_Q(Q')$. Определите 'отображение приклейки' $g_X : \partial X \to Q'$ и 'индуцированное T-расслоение' над ∂X. Назовем граничную окружность в ∂X *опасной*, если индуцированное T-расслоение над ней задается автогомеоморфизмом трио́да, переставляющим два его ребра. Верно ли, что ложная поверхность Q утолщаема тогда и только тогда, когда для каждой компоненты X число опасных окружностей в ∂X четно? Указание-предостережение: из приведенного условия вытекает, что на опасной компоненте приклеивающее отображение не пропускается через двукратную или трехкратную намотку.

Классификация 3-утолщений ложных поверхностей.

Для графа G рассмотрим объединение трехмерных шаров, число которых равно V. На каждом таком шаре введем ориентацию (или, что то же самое, вложим эти шары в пространство с фиксированной ориентацией). Тогда граничные сферы дисков

тоже будут ориентированы. На каждой такой граничной сфере отметим непересекающиеся двумерные диски, отвечающие выходящим из соответствующей вершины ребрам. Для каждого ребра графа G соединим (не обязательно в трехмерном пространстве) соответствующие ему два диска трубкой. Эта трубка называется *перекрученной*, если ориентации на двух ее противоположных основаниях, лежащих в шарах, совпадают. Трубка называется *неперекрученной*, если эти ориентации противоположны. Пусть M — объединение построенных шаров и трубок. Пара (M, G), состоящая из M и графа G, естественно вложенного в M, называется *трехмерным утолщением* (3-утолщением) графа G.

Два 3-утолщения графа G *эквивалентны*, если можно изменить ориентации на их дисках так, чтобы трубки в двух утолщениях, соответствующие одному и тому же ребру графа G, были бы одновременно перекручены или нет.

Теорема классификации 3-утолщений графа. *Множество 3-утолщений графа G с точностью до эквивалентности находится во взаимно однозначном соответствии с $H^1(G) \cong \mathbb{Z}_2^{E-V+C}$* (см. определение в пункте 'ориентируемость утолщений').

9. Докажите теорему. Указание: определите первый класс Штифеля-Уитни 3-утолщения.

3-утолщения (M, P) 2-полиэдра P определяются аналогично 3-утолщениям графа, только M является объединением шаров D^3 (отвечающих вершинам некоторой схемы 2-полиэдра P), трубок $D^2 \times I$ (отвечающих ребрам той же схемы 2-полиэдра P) и пробок $D^1 \times I^2$ (отвечающих граням той же схемы 2-полиэдра P). Когда полиэдр P фиксирован, мы для краткости будем писать M вместо (M, P).

(Это определение равносильно обычному: пара (M, P) называется *n-утолщением* полиэдра P, если n-многообразие M является *регулярной окрестностью* [RS72] полиэдра $P \subset \operatorname{Int} M$. Понятие утолщения аналогично и тесно связано с понятием расслоения [LS69], [RS68, §4].)

Два утолщения (M_1, P) и (M_2, P) одного и того же полиэдра P называются *эквивалентными*, если существует кусочно-линейный гомеоморфизм $h : M_1 \to M_2$, тождественный на P. Обозначим через $T^3(P)$ множество всех 3-утолщений полиэдра P с точностью до эквивалентности. Обозначим через $ST^3(P)$ множество всех ориентируемых 3-утолщений полиэдра P с точностью до эквивалентности. Равенство множеств будет обозначать наличие 1-1 (взаимно-однозначного) соответствия между ними.

10. (a) Классифицируйте 3-утолщения и ориентируемые 3-утолщения графа.

(b) То же самое для n-утолщений.

(c) Классифицируйте 3-утолщения данного 2-многообразия.

(d) Продолжения I-расслоения μ с границы ∂N 2-многообразия N находятся в 1-1-соответствии с такими элементами $\nu \in H^1(N)$, что $\nu|_{\partial N} = w_1(\mu)$.

(e)* Докажите следующую теорему. Определение групп $H^1(Q)$, $H^1(Q, Q')$ и отображения сужения $r : H^1(Q) \to H^1(Q')$ естественно появляются при исследовании 3-утолщаемости. Необходимые идеи даны здесь, см. также [HMS93, I, Theorem 3.1.b].

Теорема классификации утолщений. [BRS99]

(a) Ложная поверхность имеет не более одного ориентируемого 3-утолщения.

(b) Для 3-утолщаемой ложной поверхности Q имеется биекция $w_1|_Q : T^3(Q) \to r^{-1}(m(Q))$, где $r : H^1(Q) \to H^1(Q')$ — отображение сужения. Если Q' связно, то $T^3(Q) = H^1(Q, Q')$.

Пункт (a) обобщает знаменитую теорему Кэслера о единственности [HMS93].

Лемма. *Для каждого 3-утолщения M ложной поверхности Q имеем $m(Q) = w_1(M)|_{Q'}$.*

Доказательство. Возьмем расстановки μ и ω нулей и единиц на ребрах графа Q', представляющие классы $m(Q)$ и $w_1(M)|_{Q'}$. Пусть простая замкнутая кривая в Q' состоит из ребер $d_1, \dots, d_n$. Тогда $\sum\limits_{i=1}^{n} \mu(d_i) = \sum\limits_{i=1}^{n} \omega(d_i)$, поскольку оба выражения равны единице в точности тогда, когда прохождение вдоль выбранной кривой обращает ориентацию на M. Ввиду произвольности выбора кривой получаем $m(Q) = w_1(M)|_{Q'}$. $\square$

3-утолщения произвольных 2-полиэдров.

Приведем результаты о существовании и классификации 3-утолщений произвольных 2-полиэдров. Доказательства оставляем читателю в качестве задач.

Теорема об алгоритмической распознаваемости утолщаемости. *Существуют алгоритмы проверки утолщаемости и ориентируемой утолщаемости произвольных конечных 2-полиэдров* (фольклор, см. док-во в [Sk94]).

Для некоторых частных случаев существуют простые критерии 3-утолщаемости [OS74]. Для общего случая не существует более простого критерия утолщаемости, чем следующий.

Общая теорема утолщаемости. *2-полиэдр P 3-утолщаем (ориентируемо 3-утолщаем) тогда и только тогда, когда существует такое подчиненное вложение $\varepsilon \in E(P)$, что $\delta m(\varepsilon) = 0$ ($m(\varepsilon) = 0$)* [BRS99], ср. [Sk94], [OS74, Theorem 3.2], [La00].

Дадим необходимые определения.

Настоящий 1-остов P' полиэдра P — граф (точнее, 1-полиэдр) в P, состоящий из точек, не имеющих окрестности, гомеоморфной замкнутому 2-диску. *Настоящий 0-остов* P'' полиэдра P — конечное множество точек в P, не имеющих окрестности, гомеоморфной книжке с некоторым числом страниц. Заметим, что P'' является настоящим 0-остовом графа P' (т.е. конечным множеством точек в P', не имеющих окрестности, гомеоморфной отрезку). Для каждой компоненты графа P', не содержащей точек из P'' (т.е. являющейся окружностью или отрезком), возьмем произвольную точку на ней. Обозначим через $\bar{P}''$ объединение P'' с этими точками.

Предположим, что $\cup_{A \in \bar{P}''} \operatorname{lk} A$ вложимо в S^2. Рассмотрим набор вложений $\{g_A : \operatorname{lk} A \to S^2\}_{A \in \bar{P}''}$. Возьмем 'невисячее ребро' $d \subset P'$ (т.е. замыкание компоненты связности множества $P' - \bar{P}''$, являющейся открытой в P'). Обозначим через $A, B \in \bar{P}''$ его концы (возможно, $A = B$). Ребро d пересекает $\operatorname{lk} A \cup \operatorname{lk} B$ в двух точках (различных даже при $A = B$). Малые окрестности этих точек в $\operatorname{lk} A$ и в $\operatorname{lk} B$ являются n-одами, которые можно отождествить друг с другом 'вдоль ребра d'. Если для каждого такого d отображения g_A и g_B дают одинаковые или противоположные циклические порядки лучей n-ода, то набор $\{g_A\}$ называется *подчиненным.* (Это определение отличается от стандартного — то, что обычно называют *подчиненным*, мы называем *ориентированно подчиненным.*)

Наборы вложений $\{f_A, g_A : \operatorname{lk} A \to S^2\}_{A \in \bar{P}''}$ называются *изопозиционными*, если существует такое семейство гомеоморфизмов $\{h_A : S^2 \to S^2\}_{A \in \bar{P}''}$, что $h_A \circ f_A = g_A$ для любой $A \in \bar{P}''$.

Ясно, что изопозиционные наборы одновременно являются подчиненными или нет. Обозначим через $E(P)$ множество подчиненных наборов с точностью до изопозиции.

Множество вложений данного графа в плоскость с точностью до изопозиции было описано Уитни для двусвязных графов, и существует простое обобщение этого описания на случай произвольных графов (фольклор, [Sk05]).

Препятствие Матвеева $m : E(P) \to H^1(P')$ строится следующим образом. Для данного $\varepsilon \in E(P)$ рассмотрим его представитель $\{g_A : \operatorname{lk} A \to S^2\}_{A \in \bar{P}''}$. Для каждого 'невисячего ребра' d полиэдра P возьмем циклические порядки (одинаковые или

противоположные) из определения подчиненности. Поставим 0 или 1 на d, если вращения противоположные или одинаковые, соответственно. Тогда $m(\varepsilon) \in H^1(P')$ — когомологический класс этой расстановки μ.

Класс $m(\varepsilon)$ корректно определен. Дейтсвительно, пусть два набора вложений изопозиционны посредством семейства гомеоморфизмов $\{h_A : S^2 \to S^2\}_{A \in \bar{P}''}$. Тогда расстановки μ отличаются на кограницу расстановки $\varkappa$, равной 1 или 0 на вершине A, если h_A обращает или сохраняет ориентацию сферы S^2, соответственно.

Доказательство общей теоремы утолщаемости содержится в [Sk94], [BRS99] и аналогично приведенному доказательству теоремы утолщаемости.

11. Теорема классификации утолщений верна для любого такого 2-полиэдра P, что для каждой $A \in \bar{P}''$ граф $\operatorname{lk} A$ 3-связен [BRS99]. Граф называется *3-связным*, если никакие две его точки не разбивают его на два графа с более, чем одним ребром в каждом [Pr04]. Например, граф выпуклого многогранника в $\mathbb{R}^3$ является 3-связным [Pr04].

Общая теорема классификации утолщений. [BRS99] *Для 3-утолщаемого 2-полиэдра P*

$$T^3(P) \;=\; \{(\varepsilon, \omega) \in E(P) \times H^1(P) \mid m(\varepsilon) = \omega|_{P'}\} \;=\; m^{-1}(\operatorname{im} r) \times \ker r.$$

Здесь через $r : H^1(P) \to H^1(P')$ обозначено отображение сужения. Указанное в теореме взаимно однозначное соответствие задается отображением $e \times w_1|_P : T^3(P) \to E(P) \times H^1(P)$.

Для 3-утолщения M 2-полиэдра P определим

$$e(M) := [\{\operatorname{lk}_P A \to \operatorname{lk}_M A \cong S^2\}_{A \in \bar{P}''}] \in E(P).$$

Так как окрестность каждого ребра графа P' вложена в M, то указанный набор вложений действительно является подчиненным. Эквивалентное утолщение дает изопозиционные наборы вложений, поэтому $e(M)$ корректно определено.

Равенство $m(e(M)) = w_1(M)|_{P'}$ доказывается аналогично Лемме, только вместо $m(Q)$ надо рассмотреть $m(e(M))$.

Заметим, что существует много общего между классификацией 3-утолщений 2-полиэдра и классификацией граф-многообразий [Wa67] и интегрируемых гамильтоновых систем [BFM90].

Проблемы существования, единственности и классификации n-утолщений заданного полиэдра изучались также в [LS69], [RS68], [Wa67], [Wr77], [GT87, Теоремы 3.2.3 и 3.2.2].

ГЛАВА 3. ВЕКТОРНЫЕ ПОЛЯ И ИХ СИСТЕМЫ.

'You mean...' he would say, and then he would rephrase what I had said in some completely simple and concrete way, which sometimes illuminated it enormously, and sometimes made nonsense of it completely.
I. Murdoch, Under the Net. [9]

ВЕКТОРНЫЕ ПОЛЯ

Определения, примеры и основные результаты.

Исследование векторных полей было начато Анри Пуанкаре в качественной теории дифференциальных уравнений, возникшей при изучении небесной механики. С тех пор векторные поля являются одним из важнейших объектов топологии и ее приложений. Подробные мотивировки см. в 'похвальном слове векторным полям' [An03].

Проблема существования векторных полей и их систем определяет лицо теории препятствий.

Напомним понятие касательного векторного поля. Рассмотрим стандартную сферу в трехмерном пространстве, т.е. подмножество точек (x, y, z), для которых $x^2 + y^2 + z^2 = 1$ (или, что то же самое, точек (x, y, z) вида $(\cos\varphi\cos\psi, \sin\varphi\cos\psi, \sin\psi)$). В любой ее точке можно провести к ней касательную плоскость. *Касательным векторным полем* на (стандартной) сфере называется семейство касательных к ней векторов $v(x)$ в ее точках x, непрерывно зависящих от точки x.

Дословно аналогично вводится понятие касательного векторного поля на стандартном торе в трехмерном пространстве, т.е. на фигуре, образованной вращением окружности $(x-2)^2 + y^2 = 1$ вокруг оси Oy.

Рассмотрим сферу с ручками, вложенную в трехмерное пространство *гладко*, т.е. так, что в каждой точке можно провести касательную двумерную плоскость (поверхность многогранника не является гладкой). В этом параграфе под (двумерным) многообразием можно понимать образ такого вложения, т.е. конкретное подмножество трехмерного пространства. *Касательным векторным полем* на гладко вложенной сфере с ручками называется семейство касательных к ней векторов $v(x)$ в ее точках x, непрерывно зависящих от точки x.

Примеры касательных векторных полей на торе (параллельных меридиану и параллели) изображены на рис. 43.

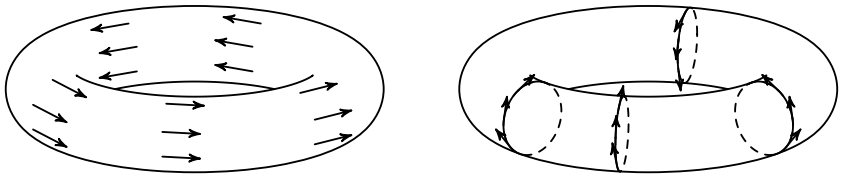

Рис. 43: Касательные векторные поля на торе

Касательные векторные поля на 2-многообразиях можно определить и через их вложения в евклидово пространство размерности выше трех. (Если сфера с ручками

[9] *'Вы хотите сказать...' — начинал он и пересказывал мои слова конкретно и просто, после чего моя мысль либо оказывалась много понятнее и глубже, либо оборачивалась полнейшей чепухой. А. Мердок, Под сетью, пер. М. Лорие.*

N или произвольное 2-многообразие заданы абстрактно, а не как гладкое подмножество евклидова пространства, то вместо семейства касательных векторов можно брать семейство точек $y(x)$, $x \in N$, находящихся на 'малом' расстоянии от точки x.)

Касательное векторное поле называется *ненулевым*, если все его векторы ненулевые (или, что то же самое, $y(x) \neq x$ для любого $x \in N$).

1. (a) Придумайте пример ненулевого касательного векторного поля на K^2.

(b) То же на любом связном 2-многообразии (не обязательно ориентируемом) с непустым краем.

(c) Касательное векторное поле называется *единичным*, если все его векторы единичные. Если на 2-многообразии существует ненулевое касательное векторное поле, то существует и единичное.

Теорема Эйлера-Пуанкаре. *Среди сфер с ручками только тор допускает ненулевое касательное векторное поле.*

Эта теорема доказана в следующем пункте. Там, следуя идеям теории препятствий, мы построим препятствие к существованию единичного касательного векторного поля на данном 2-многообразии.

Мы приводим два эквивалентных независимых определения препятствий. Первое более простое, но использует общее положение (те, кто не владеют техникой общего положения, могут считать это определение неформальным описанием). Второе элементарно, но более громоздко (поскольку фактически повторяет технические доказательства свойств общего положения).

2. *Полем направлений* на 2-многообразии, вложенном в трехмерное пространство, называется семейство касательных к нему прямых $l(x)$ в точках x, непрерывно зависящих от точки x. Поля направлений тесно связаны с *лоренцевыми метриками* на многообразиях, возникающими в физике [Ko01].

(a) Если на многообразии существует ненулевое касательное векторное поле, то существует и поле направлений.

(b)* Обратное тоже верно.

Бóльшая часть этого параграфа интересна даже для 2-многообразий. Но приводятся также результаты для высших размерностей. Векторные поля и поля направлений на многообразиях размерности 3 и более определяются аналогично случаю 2-многообразий через вложение многообразий в многомерное евклидово пространство (или через близкие точки на самом многообразии). Те, кто не знакомы с многообразиями размерности больше 3, могут считать, что все рассматриваемые в этом параграфе многообразия не более чем трехмерны.

3. На любом многообразии с краем существует ненулевое касательное векторное поле.

Теорема Хопфа. *На замкнутом многообразии N существует ненулевое касательное векторное поле тогда и только тогда, когда эйлерова характеристика $\chi(N) = 0$.*

Следствие (доказательства). *На любом нечетномерном многообразии существует ненулевое касательное векторное поле.*

Следствие. *На сфере S^n существует ненулевое касательное векторное поле тогда и только тогда, когда n четно.*

Эйлерова характеристика $\chi(N)$ многообразия N равна знакопеременной сумме количеств k-мерных граней в разбиении этого многообразия на многогранники. Можно проверить, что $\chi(N)$ не зависит от выбора триангуляции данного многообразия N. Существуют простые способы вычислять эйлерову характеристику.

Доказательство теоремы Хопфа намечено в конце следующего пункта в виде задач.

В последнем пункте этого параграфа в виде задач предлагается проделать аналогичные построения для *нормальных* векторных полей.

Неформально, *гладким вложением* $f : N \to \mathbb{R}^m$ многообразия N называется изображение многообразия N в $\mathbb{R}^m$ без самопересечений, для которого в любой точке существует касательная плоскость. См. формальное определение в пункте 'нормальные классы Уитни'. *Нормальным векторным полем* на f называется семейство нормальных к $f(N)$ векторов $v(x)$ в точках $x \in f(N)$, непрерывно зависящих от точки $x \in N$.

Заметим, что наличие ненулевого нормального поля, вообще говоря, зависит от f (а не только от N), см. последний пункт.

4. (a) Если $m = n + 1$ и N ориентируемо, то существует ненулевое нормальное поле (докажите для $n = 2$).

(b) Замкнутое неориентируемое n-многообразие не допускает гладкого вложения в $\mathbb{R}^{n+1}$.

Указание. Пусть допускает. Аналогично теореме Жордана доказывается, что оно делит $\mathbb{R}^{n+1}$ на части. Тогда для f существует ненулевое нормальное поле, направленное во внешнюю часть. Получите из этого противоречие с неориентируемостью.

(c) Приведите пример гладких вложений тора и бутылки Кляйна в $\mathbb{R}^4$ и ненулевого нормального поля на них.

Теорема Уитни. *Для любого гладкого вложения $f : N \to \mathbb{R}^{n+2}$ замкнутого ориентируемого n-многообразия N существует*

(1) ненулевое нормальное векторное поле;

(2) пара линейно-независимых нормальных векторных полей;

(3) окрестность U множества $f(N)$, для которой пара $(U, f(N))$ диффеоморфна паре $(N \times \mathbb{R}^2, N \times 0)$.

Теорема общего положения. *Для любого гладкого вложения n-многообразия в $\mathbb{R}^{2n+1}$ существует ненулевое нормальное векторное поле.*

Теорема Дольда-Уитни. *Для любого гладкого вложения $f : N \to \mathbb{R}^6$ замкнутого ориентируемого 3-многообразия N существует*

(1) ненулевое нормальное векторное поле;

(2) тройка линейно независимых нормальных векторных полей;

(3) окрестность U множества $f(N)$, для которой пара $(U, f(N))$ диффеоморфна паре $(N \times \mathbb{R}^3, N \times 0)$.

Доказательства этих результатов намечены в последнем пункте этого параграфа.

Касательные векторные поля: общее положение.

Определение числа $\chi(N)$ с использованием общего положения. Рассмотрим касательное векторное поле общего положения на многообразии N. Ввиду общности положения множество точек многообразия N, в которых вектор этого поля нулевой, является конечным числом точек. У этих точек можно определить знак (определите аналогично дальнейшему!). Количество этих точек с учетом знака и называется $\chi(N)$.

5. Любые два касательных векторных поля гомотопны.

Набросок доказательства корректности предыдущего определения. Возьмем гомотопию общего положения между двумя касательными векторными полями v и v' общего положения на многообразии N. Ее можно представлять себе как касательное векторное поле общего положения на $N \times I$. Ввиду общности положения множество точек многообразия $N \times I$, в которых вектор этого поля нулевой, является несвязным

объединением отрезков и окружностей. Если один из этих отрезков соединяет *разные* основания $N \times 0$ и $N \times 1$, то соответствующие точки обнуления исходных полей v и v' имеют одинаковый знак, а если *одинаковые*, то разный. Поэтому количества точек обнуления с учетом знака для v и v' одинаковы.

Набросок доказательства теоремы Эйлера-Пуанкаре. Из рис. 44 или рис. 45 видно, что $\chi(N) = 2 - 2g(N)$. Поэтому при $g(N) \neq 1$ на сфере с g ручками не существует ненулевого касательного векторного поля. А такое поле на торе построено на рис. 43. (Такое поле на торе можно получит также из касательного векторного поля общего положения 'сокращением' точек разных знаков.) □

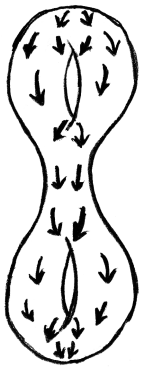

Рис. 44: Векторное поле скоростей воды, стекающей по сфере с ручками (сделать верхние и нижние векторы почти горизонтальными!!!).

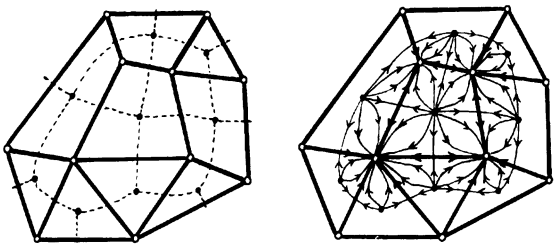

Рис. 45: Построение векторного поля по разбиению на многоугольники

Касательные векторные поля: триангуляции.

Начало доказательства теоремы Эйлера-Пуанкаре. Слово 'поле' будет означать 'ненулевое касательное векторное поле'. По теореме классификации замкнутых ориентируемых 2-многообразий, достаточно доказать, что наличие поля равносильно условию $g(N) = 1$. Возьмем некоторую схему U 2-многообразия N и рассмотрим двойственную к ней схему U^* (см. определение в пункте 'форма пересечений' главы 2). Выберем U настолько мелкой, чтобы любая грань схемы U^* взаимно однозначно проецировалась бы на часть плоскости, касающейся некоторой точки этой грани. Для случая сферы N данные рассуждения иллюстрируются рис. 46.

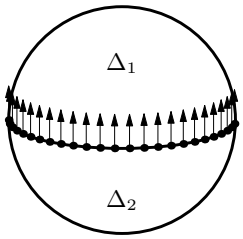

Рис. 46: Начало построения векторного поля на сфере с ручками

Очевидно, что можно построить поле на U_0^*. Ясно, что это поле единственно (с точностью до непрерывной деформации в классе полей на U_0^*). Поэтому существование поля на N равносильно продолжаемости построенного поля с U_0^* на N.

Теорема продолжаемости. *На плоскости продолжение ненулевого векторного поля с границы диска на диск возможно тогда и только тогда, когда число оборотов вектора при обходе границы диска равно нулю.*

(Эта теорема равносильна основной теореме топологии, приведенной в главе 6 — докажите!)

Вообще, роль теории препятствий состоит в *сведении* топологических задач на *произвольном* многообразии к похожим задачам для *простейших, модельных* многообразий. Важно, что для применения теории препятствий можно воспользоваться *результатом* решения этих простейших задач, не вникая в его доказательство. Указанные простейшие задачи могут решаться как специфическими методами, так и средствами теории препятствий. В этой главе мы приводим решения простейших задач без доказательства.

Построение препятствующей расстановки. Ввиду мелкости схемы U достаточно малая окрестность каждого ребра схемы U^* однозначно проецируется на касательную плоскость (к некоторой точке этого ребра). При помощи этой проекции отождествим эту окрестность с частью плоскости. Если на плоскости лежит отрезок, и в его концах заданы ненулевые вектора (лежащие в плоскости), то это поле из двух векторов можно продолжить до поля ненулевых векторов на всем отрезке. Поэтому построенное на U_0^* поле можно продолжить на U_1^*. Заметим, что такое продолжение неоднозначно. Обозначим полученное на U_1^* поле через v. Пример такого поля для сферы приведен на рис. 46.

Попробуем теперь продолжить поле v с U_1^* на все N. Фиксируем ориентацию 2-многообразия N. Ввиду мелкости схемы U замыкание Δ любой грани схемы U^* однозначно проецируется на касательную плоскость (к некоторой точке этой грани). При помощи этой проекции отождествим Δ с диском, лежащим на плоскости (согласованно с ориентациями).

Ориентация диска Δ порождает направление на его граничной окружности. При обходе этой окружности вдоль этого направления вектор нашего поля повернется на некоторое целое число оборотов. Поставим полученное число оборотов в вершину исходной схемы, лежащую в диске Δ. Для случая сферы (рис. 46) в обоих вершинах будут стоять единицы. Полученная расстановка целых чисел в вершинах называется *препятствующей* и обозначается $\varepsilon(v)$. Тогда

продолжение поля с U_1^* на N возможно тогда и только тогда, когда $\varepsilon(v) = 0$.

Определение различающей расстановки. Если $\varepsilon(v) \neq 0$, то поле v не продолжается на N, но еще не все потеряно: можно попытаться так изменить поле v на U_1^*, чтобы препятствующая расстановка стала равной нулю. Для этого выясним, как $\varepsilon(v)$

зависит от v.

Различие между полями v и u на U_1^*, совпадающим на U_0^*, можно измерять (и задавать) так. Фиксируем ориентацию каждого ребра схемы U. Ориентируем каждое ребро a^* схемы U^* так, чтобы стрелки на a и на a^* (в этом порядке) образовали положительный базис на N. Напомним, что малая окрестность произвольного ребра a^* схемы U^* отождествлена с частью плоскости (вместе с полем на ней и согласованно с ориентациями). Пусть точка x движется по ребру a^* вдоль направления, а потом обратно. При движении 'туда' будем откладывать от точки x вектор $u(x)$, а при движении 'обратно' — вектор $v(x)$. Поставим на ориентированном ребре a схемы U число оборотов вектора при этом движении. (Например, для поля u на рис. 47 и поля v, направленного вертикально вверх, на ребре стоит -1). Полученную расстановку целых чисел на ориентированных ребрах схемы назовем *различающей* и обозначим $d(v,u)$.

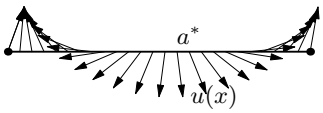

Рис. 47: Подкручивание векторного поля на один оборот

Изменение препятствующей расстановки и определение границы ребра. При изменении поля на ребре a^* 'на $+1$ оборот' к $\varepsilon(v)$ прибавляется расстановка $+1$ в начале ребра a и -1 в его конце (и 0 на всех остальных вершинах). Эта расстановка называется *границей ребра* a и обозначается ∂a. Если

$$d(v,v') = n_1a_1 + \ldots + n_sa_s, \quad \text{то} \quad \varepsilon(v) - \varepsilon(v') = n_1\partial a_1 + \ldots + n_s\partial a_s.$$

Завершение доказательства. Из последней формулы вытекает, что *сумма* чисел препятствующей расстановки не зависит от v. А из рис. 44 или рис. 45 видно, что эта сумма равна $\chi(N) = 2 - 2g(N)$. Поэтому при $g(N) \neq 1$ на сфере с g ручками N поля не существует. А поле на торе построено на рис. 43. □

Приведем другое завершение доказательства. Оно длиннее предыдущего, но является иллюстрацией общего подхода теории препятствий. В частности, оно интересно тем, что дает явный общий способ *построения* поля для случая, когда препятствие равно нулю. Поэтому его, в отличие от приведенного выше короткого рассуждения, можно применить к доказательству обобщений теоремы Эйлера-Пуанкаре (см. далее).

Определение группы $H_0(N;\mathbb{Z})$, класса $e(N)$ и другое завершение доказательства. Назовем *границей* сумму $n_1\partial a_1 + \ldots + n_s\partial a_s$ границ нескольких ребер с целыми коэффициентами. Назовем расстановки ε_1 и ε_2 *гомологичными*, если $\varepsilon_1 - \varepsilon_2$ есть граница. Ясно, что

(i) При изменении поля v на U_1^* препятствующая расстановка $\varepsilon(v)$ заменяется на гомологичную расстановку.

(ii) Если $\varepsilon(v)$ является границей, то можно так изменить v на v' (на U_1^*, не меняя на U_0^*), чтобы получилось $\varepsilon(v') = 0$.

(iii) Гомологичность является отношением эквивалентности на множестве расстановок.

(Для доказательства утверждения (ii) заметим, что если $\varepsilon(v) = n_1\partial a_1 + \ldots + n_s\partial a_s$, то возьмем поле v' на U_1^*, для которого $d(v,v') = n_1a_1 + \ldots + n_sa_s$, тогда получим $\varepsilon(v') = 0$.)

Нульмерной группой гомологий $H_0(U;\mathbb{Z})$ схемы U (с коэффициентами в $\mathbb{Z}$) называется группа расстановок с точностью до гомологичности. Оказывается, $H_0(U;\mathbb{Z}) \cong \mathbb{Z}$.

Классом Эйлера схемы U называется класс гомологичности препятствующего цикла:

$$e(U) = [\varepsilon(v)] \in H_0(U;\mathbb{Z}).$$

Это определение корректно ввиду утверждения (i). Оказывается, $e(U) = \chi(N) = 2 - 2g(N)$.

Значит, группа $H_0(U;\mathbb{Z})$ и класс $e(U)$ не зависят от выбора схемы U данного 2-многообразия N. Теперь теорема Эйлера-Пуанкаре вытекает из утверждений (i) и (ii). □

6. Возьмем произвольную схему U замкнутого связного 2-многообразия N.

(a) Дайте определение группы $H_0(U;\mathbb{Z})$ (независимое от рассуждений, в которых она появилась).

(b) Обоснуйте приведенные вычисления группы $H_0(U;\mathbb{Z})$ и класса $e(U)$.

7. На каких замкнутых неориентируемых 2-многообразиях существует ненулевое касательное векторное поле?

Перейдем к случаю многомерных многообразий.

8. (a) $\chi(S^{2k}) = 2$.

(b)* $\chi(N) = [\mathrm{diag}] \cap [\mathrm{diag}]$ — определите гомологический класс диагонали $[\mathrm{diag}] \in H_n(N \times N;\mathbb{Z})$ и форму пересечений $H_n(N \times N;\mathbb{Z}) \times H_n(N \times N;\mathbb{Z}) \to \mathbb{Z}$!

(c) Выведите теорему Хопфа для 3-многообразий из следующих двух фактов (понадобится также определение двойственной схемы из параграфа 'системы векторных полей').

Двумерная теорема продолжаемости для окружности. *В трехмерном пространстве ненулевое векторное поле (векторов трехмерного пространства), заданное на границе двумерного диска, продолжается до ненулевого векторного поля на диске.*

(Эта теорема равносильна теореме об отображениях $S^1 \to S^2$ главы 6.)

Двумерная теорема продолжаемости для сферы. *В трехмерном пространстве ненулевое векторное поле (векторов трехмерного пространства), заданное на границе трехмерного шара, продолжается до ненулевого векторного поля на шаре тогда и только тогда, когда алгебраическое число векторов на границе, смотрящих в данное направление общего положения, равно нулю.*

(Это — следствие многомерной основной теоремы топологии из главы 6.)

9. Докажите следствие доказательства теоремы Хопфа.

Нормальные векторные поля.

10. (a) Выведите (3) из (2) в теореме Уитни.

(b) Выведите (2) из (1) в теореме Уитни.

Определение нормального числа Эйлера $\overline{e}(f)$ с использованием общего положения. Рассмотрим нормальное векторное поле общего положения на $f(N)$. Ввиду общности положения множество точек многообразия N, в которых вектор этого поля нулевой, является конечным числом точек. У этих точек можно определить знак (определите!). Количество этих точек с учетом знака и называется $\overline{e}(f)$. Корректность этого определения доказывается аналогично случаю касательных векторных полей.

Далее в этом пункте будем называть ненулевое нормальное векторное поле просто *нормальным полем*.

11. На любом n-многообразии с с непустым краем в $\mathbb{R}^{2n}$ имеется нормальное поле (докажите хотя бы для $n=2$).

12. Пусть $f: N \to \mathbb{R}^4$ — гладкое вложение сферы с ручками N.

(a) Постройте препятствие $\overline{e}(f) \in \mathbb{Z}$ к существованию нормального поля.

Указание. Либо приведите детали для данного выше определения, либо сначала постройте поле на вершинах, затем продолжите на ребра и потом попытайтесь продолжить на грани.

(b) Пусть $f': N \to \mathbb{R}^4$ — вложение, находящееся в общем положении с f. Тогда $fN \cap f'N$ есть конечное число точек со знаками, сумма которых равна $\overline{e}(f)$. (Определение пересечения дано в пункте 'ориентируемость'; необходимый аналог для целых чисел читатель легко сформулирует сам.)

(c) Нормальное число Эйлера равно нулю. Указание: если не получается, то см. доказательство второй части теоремы Уитни о препятствии из пункта 'нормальные классы Уитни'.

(d) Докажите (1) в теореме Уитни для $n=2$.

(e) Докажите теорему Уитни для произвольного n.

13. Пусть $f: N \to \mathbb{R}^4$ — гладкое вложение замкнутого *неориентируемого* 2-многообразия N.

(a) Ни одно из условий (2) или (3) не выполнено.

(b) Постройте препятствие $\bar{e}(f) \in \mathbb{Z}$ (*нормальное число Эйлера*; именно целое число, а не вычет $\mod 2$) к существованию нормального поля.

(c) $\overline{e}(N)$ четно. Указание: $\overline{e}(f) \mod 2 = fN \cap f'N = 0$.

(d)* $\overline{e}(N) \equiv 2\chi(N) \mod 4$.

14. (a) Постройте гладкое вложение $f: \mathbb{R}P^2 \to \mathbb{R}^4$.

(b) Найдите $\overline{e}(f)$ для построенного вложения $f: \mathbb{R}P^2 \to \mathbb{R}^4$.

(c)* Никакое вложение $\mathbb{R}P^2 \to \mathbb{R}^4$ не имеет нормального поля.

(d) Существует вложение бутылки Кляйна в $\mathbb{R}^4$ с ненулевым нормальным числом Эйлера (и, стало быть, не имеющее нормального поля).

(e) Для любого i с условиями $-2\mu \leqslant i \leqslant 2\mu$, $i \equiv 2\mu \mod 4$, существует такое вложение $f_i: N_\mu \to \mathbb{R}^4$ сферы с μ пленками Мебиуса N_μ, что $\overline{e}(f_i) = i$.

(f)* Для других i такого вложения не существует [Ma69].

15. (a) Докажите теорему общего положения для $n=2$.

(b) То же для произвольного n.

16.* (a) Существует гладкое вложение $f: N \to \mathbb{R}^5$ ориентируемого 3-многообразия N с краем, для которого ни одно из условий (1), (2), (3) предыдущей задачи не выполнено.

(b) Для любого гладкого вложения $f: N \to \mathbb{R}^5$ ориентируемого 3-многообразия N с краем постройте препятствие $\overline{e}(f) \in H_1(N, \partial N)$ (*нормальный класс Эйлера*) к существованию нормального поля.

(c) В условиях предыдущего пункта $\overline{e}(f)$ четно, т.е. $\overline{e}(f) = 2x$ для некоторого $x \in H_1(N, \partial N)$.

17. (a) Выведите (3) из (2) в теореме Дольда-Уитни.

(b) Докажите (1) в теореме Дольда-Уитни.

(c) Выведите (2) из (1) в теореме Дольда-Уитни для $N = S^3$.

(d)* Выведите (2) из (1) в теореме Дольда-Уитни. Указание: используйте параграф 'ортонормированные системы векторных полей', см. [DW59].

18. Пусть $f: N \to \mathbb{R}^m$ — гладкое вложение замкнутого ориентируемого n-многообразия N.

(a) Постройте препятствие $\overline{e}(f) \in H_{2n-m}(N;\mathbb{Z})$ (*нормальное число Эйлера*) к существованию нормального поля.

(b) $\overline{e}(f) = 0$.

(c) Аналог части (1) теоремы Уитни верен для $m = 2n$.

(d) Аналог части (2) теоремы Уитни неверен для $m \leqslant 2n$. Указание: возьмите $n = 4$ и $N = \mathbb{C}P^2$; тогда $\overline{w}_2(f) = w_2(\mathbb{C}P^2) \neq 0$, см. параграф 'вложимость и погружаемость многообразий'.

(e)* Аналог части (1) теоремы Уитни неверен для произвольных m, n. Указание: возьмите $m = 3$, $n = 4$ и $N = \mathbb{C}P^2$.

19.* (a) Для любого гладкого вложения S^n в $\mathbb{R}^{n+3}$ существует тройка линейно независимых нормальных векторных полей [Ma59].

(b) При $m \geqslant 3n/2 + 1$ для любого гладкого вложения S^n в $\mathbb{R}^m$ существует набор из $m - n$ линейно независимых нормальных векторных полей [Ke59].

(c) Существует гладкое вложение S^7 в $\mathbb{R}^{11}$, для которого нет набора четырех линейно независимых нормальных векторных полей [Ha67].

20.* (Полное решение этой задачи автору неизвестно) При каких (m, n)

(a) для любого гладкого вложения любого n-многообразия в $\mathbb{R}^m$ существует ненулевое нормальное векторных поле?

(b) для любого гладкого вложения n-многообразия в $\mathbb{R}^m$ существует набор из $m - n$ линейно независимых нормальных векторных полей?

(c) для любого гладкого вложения $S^n \to \mathbb{R}^m$ существует ненулевое нормальное векторных поле?

(d) для любого гладкого вложения $S^n \to \mathbb{R}^m$ существует набор из $m - n$ линейно независимых нормальных векторных полей?

Указания к некоторым задачам.

6. (b) Для поля v, изображенного на рис. 46, $e(v) = 1 + 1 = 2$; разберитесь, почему не $1 - 1 = 0$; см. также рис. 44, 45).

7. Ответ: только на бутылке Клейна. Указание: определите класс Эйлера $e(N)$ как препятствие к построению такого поля, а потом докажите его полноту и вычислите его.

9. Препятствие $e(-v)$ к продолжению поля $-v$ противоположно по знаку препятствию $e(v)$, но с другой стороны $e(-v) = e(v)$.

12. (b) Постройте препятствие $e_1(f)$ к существованию отображения $f' : N \to \mathbb{R}^4$, близкого к f, образ которого не пересекает $f(N)$. Затем докажите, что $fN \cap f'N = e_1(f) = \overline{e}(f)$.

14. (a) $(x : y : z) \mapsto (x^2, xy, yz, zx)$.

(d) Возьмите связную сумму двух вложений $\mathbb{R}P^2 \to \mathbb{R}^4$ с равными нормальными числами Эйлера.

15. (a) Сначала постройте нормальное поле на вершинах, затем продолжите его на ребра и потом продолжите его на грани.

17. (b) Аналогично теореме Уитни.

(c) Постройте препятствие к существованию единичного векторного поля, нормального к многообразию и к уже построенному полю. Докажите, что оно нулевое.

19. (a) Аналогично задаче 17c.

КЛАССИФИКАЦИЯ ВЕКТОРНЫХ ПОЛЕЙ И СЕЧЕНИЙ

Классификация векторных полей.

В этом пункте будем называть единичное касательное векторное поле просто *полем.*

В некоторых приложениях встречается следующий вопрос: *описать множество $V(N)$ полей с точностью до гомотопности на многообразии N.* Встречаются также похожие более сложно формулируемые вопросы, для ответа на которые полезно сначала разобраться со сформулированным.

Напомним понятие гомотопии полей. Ясно, что существует непрерывная деформация 'параллельного' поля на торе в 'меридиональное' поле (рис. 43). Два поля называются *гомотопными*, если одно можно получить из другого непрерывной деформацией, в процессе которой векторное поле остается касательным и ненулевым. Формально, такой деформацией называется семейство v_t полей, непрерывно зависящее от параметра t, для которого v_0 есть первое поле и v_1 есть второе поле.

1. (a) Гомотопно ли параллельное поле $v(x)$ полю $-v(x)$?

(b) Приведите пример негомотопных полей на торе.

Приведем аналог предыдущих построений для *классификации* единичных касательных векторных полей. Будем использовать без доказательства следующий факт.

Теорема гомотопности. *На плоскости любые два векторных поля на двумерном диске, совпадающие на его граничной окружности, гомотопны неподвижно на границе.*

2. (a) Выведите теорему гомотопности из задачи об отображениях $S^2 \to S^1$ главы 6.

(b) Поставим в соответствие полю v на торе *число $r_1(v)$ оборотов вектора этого поля при обходе по параллели тора* и *число $r_2(v)$ оборотов вектора этого поля при обходе по меридиану тора.* Поскольку количества оборотов определены только для замкнутой кривой на плоскости (а не в пространстве), то указанные картинки можно определить только из представления тора (вместе с полем на нем) в виде склейки прямоугольника. Аналогичные инварианты можно получить, рассматривая другие замкнутые кривые на торе.

Докажите *теорему классификации векторных полей на торе:* отображение $r_1 \oplus r_2 : V(T^2) \to \mathbb{Z} \oplus \mathbb{Z}$ является взаимно однозначным соответствием.

(c) Классифицируйте поля направлений на торе.

3. (a) Если на сфере с ручками и *одной* дыркой заданы два поля, то на границе этой дырки они гомотопны (указание: если не получается, то см. далее).

(b) Верно ли это для неориентируемых 2-многообразий?

(c) Классифицируйте поля направлений на 2-многообразиях с непустым краем.

(d) Классифицируйте векторные поля на бутылке Клейна.

(e) Классифицируйте поля направлений на бутылке Клейна.

Теорема классификации векторных полей. *Если для замкнутого ориентируемого n-многообразия N выполнено $V(N) \neq \varnothing$ (т.е. если $\chi(N) = 0$), то существует сюръекция $V(N) \to H_1(N;\mathbb{Z})$ на* группу одномерных гомологий многообразия N (с целыми коэффициентами).

Более того, существует такое отображение $D : V(N) \times V(N) \to H_1(N;\mathbb{Z})$, что $D(\cdot, v)$ сюръективно и $D(u,v) + D(v,w) = D(u,w)$ для любых $u, v, w \in V(N)$.

При $n = 2$ отображение $D(\cdot, v)$ является взаимно однозначным соответствием.

При $n = 3$ число прообразов класса $x \in H_1(N,\mathbb{Z})$ при отображении $D(\cdot, v)$ равно $2x \cap H_2(N;\mathbb{Z})$ (группа $H_2(N;\mathbb{Z})$ и умножение $\cap : H_1(N;\mathbb{Z}) \times H_2(N;\mathbb{Z}) \to \mathbb{Z}$ определены в главе 4).

При $n \geqslant 4$ при отображении $D(\cdot, v)$ у каждого класса ровно два прообраза.

Для $n=2$ эта теорема является фольклорным результатом начала 20-го века. Для $n=3$ она является следствием теоремы Штифеля о параллелизуемости 3-многообразий (см. начало следующего параграфа) и теоремы Понтрягина из главы 6 [CRS]. Для $n=4$ эта теорема, видимо, является фольклорным результатом середины 20-го века [Ko81, Theorem 18.2], полученным с помощью теории, основы которой здесь излагаются.

В оставшейся части этого параграфа мы определяем группу $H_1(N,\mathbb{Z})$ и доказываем теорему классификации векторных полей для 2-многообразий тем способом, который позволяет определить инвариант D для общего случая. Для $n=2$ этот способ более сложен, чем намеченный в задаче 2b, но новый способ проходит для общего случая. Кроме того, новый способ позволяет классифицировать векторные поля на торе, нестандартно вложенном в $\mathbb{R}^3$ (впрочем, это можно сделать используя задачу 2b и инвариантность множества $V(N)$ при диффеоморфизме).

Определение класса $D(u,v)$, использующее общее положение. Рассмотрим произвольную гомотопию u_t общего положения между $u=u_0$ и $v=u_1$. Множество точек многообразия, в которых $u_t=0$ для некоторого t, является несвязным объединением окружностей. Используя нашу гомотопию, на этих окружностях можно ввести ориентацию. Это объединение ориентированных окружностей с точностью до *гомологичности* (определенной далее или в главе 4) и называется классом $D(u,v)$.

Определение различающего цикла. Как и в доказательстве теоремы Эйлера-Пуанкаре, возьмем схему U многообразия N и двойственную к ней схему U^*, а также фиксируем ориентации.

Рассмотрим два поля u и v на многообразии N. Поле u гомотопно такому, которое совпадает с v на U_0^*. Поэтому будем считать, что $u=v$ на U_0^* (заметим, что наши построения могут зависеть от выбора совмещения полей на U_0^*). Тогда можно определить различающую расстановку $d(u,v)$, как и в доказательстве теоремы Эйлера-Пуанкаре. Ясно, что $d(u,u)=0$ и что $d(u,v)+d(v,w)=d(u,w)$. Поскольку поле u продолжается на грани схемы U^*, то выполнено следующее *правило Кирхгофа:*

для любой вершины A схемы U сумма чисел расстановки $d(u,v)$ на входящих в A ребрах равна сумме чисел расстановки $d(u,v)$ на выходящих из A ребрах.

Такие расстановки называются *циклами.*

Изменение различающего цикла. Обратное неверно, как показывает пример следующей гомотопии. Для вершины f^* изменим поле u так, чтобы вектор в f^* сделал один оборот против часовой стрелки, вектора в маленькой окрестности вершины f^* 'потянулись' за вектором в f^*, а вне этой маленькой окрестности поле осталось прежним. В результате получим поле u'. Понятно, что $d(u',u)$ есть расстановка ±1 (в зависимости от ориентации) на ребрах, ограничивающих грань f, и нулей на всех остальных ребрах. Эта расстановка называется *границей грани* f и обозначается ∂f.

В окрестностях вершин $f_1^*,\dots,f_s^*$ сделаем описанную выше гомотопию поля v, поворачивая вектора в этих гранях на $n_1,\dots,n_s$ оборотов, соответственно. Обозначим полученное поле через $u(n_1,\dots,n_s)$. Тогда $d(u(n_1,\dots,n_s),u)=n_1\partial f_1+\ldots+n_s\partial f_s$.

Теперь рассмотрим гомотопию u_t между полями u_0 и u_1, совпадающими на U_0^* (правда, эта гомотопия может менять поле даже на U_0^*). Для каждой грани f_i обозначим через n_i число оборотов при изменении t от 0 до 1 вектора $u_t(f^*)$. Легко проверить, что

$$d(u_0,v)-d(u_1,v)=n_1\partial f_1+\ldots+n_s\partial f_s.$$

Определение группы $H_1(N;\mathbb{Z})$ и завершение доказательства. Назовем *границей* сумму $n_1\partial f_1+\ldots+n_s\partial f_s$ границ нескольких граней с целыми коэффициентами. Назовем циклы γ_1 и γ_2 *гомологичными*, если $\gamma_1-\gamma_2$ есть граница.

Одномерной группой гомологий $H_1(U,\mathbb{Z})$ схемы U (с коэффициентами в $\mathbb{Z}$) называется группа циклов с точностью до гомологичности. Обозначим класс гомологичности различающего цикла через

$$D(u,v) := [d(u,v)] \in H_1(U,\mathbb{Z}).$$

Ясно, что отображение $D : V(N) \times V(N) \to H_1(U,\mathbb{Z})$ уже не зависит от выбора совмещений полей на U_0^* и поэтому корректно определено. Эти группа и класс одинаковы для гомеоморфных схем. Поэтому будем обозначать первую через $H_1(N,\mathbb{Z})$.

Так как $d(u,v) + d(v,w) = d(u,w)$, то $D(u,v) + D(v,w) = D(u,w)$. Чтобы доказать сюръективность отображения $D(\cdot,v)$, возьмем произвольный цикл γ. Возьмем поле u равным v на U_0. На ребре a^* возьмем $\gamma(a)$-кратную подкрутку поля v (см. определение подкрутки выше). Для построенного поля u имеем $d(u,v) = \gamma$, поэтому $D(u,v) = [\gamma]$. □

Доказательство инъективности отображения $D(\cdot,v)$ для $n = 2$. Из теоремы продолжаемости (см. пункт 'существование векторных полей на 2-многообразиях') вытекает следующее утверждение.

Два ненулевых касательных к плоскости векторных поля, заданных на отрезке (лежащем в плоскости) и совпадающие на его концах, гомотопны тогда и только тогда, когда количество поворотов вектора первого поля при движении от начала отрезка к его концу равно аналогичному количеству для второго поля.

4. Докажите это.

Поэтому и по теореме гомотопности если $u = v$ на U_0^* и $d(u,v) = 0$, то поля u и v гомотопны неподвижно на U_0^*.

Если $D(u_0,v) = D(u_1,v)$ для некоторых полей u_0 и u_1, совпадающих на U_0^*, то $d(u_0,v) - d(u_1,v) = n_1\partial f_1 + \ldots + n_s\partial f_s$ для некоторых целых чисел $n_1,\ldots,n_s$. Тогда $u_0 \simeq u_0(n_1,\ldots,n_s) \simeq u_1$. □

5. Возьмем произвольную схему U замкнутого связного 2-многообразия N. Дайте определение группы $H_1(U;\mathbb{Z})$ (независимое от рассуждений, в которых она появилась). Докажите, что $H_1(U) \cong \mathbb{Z}^{2g}$ для схемы U сферы с g ручками.

6. (a) Указанное отображение $D(\cdot,v)$ не является взаимно однозначным соответствием для $N = S^3$.

(b) Постройте отображение $D(\cdot,v)$ и докажите его сюръективность для 3-многообразий.

7.* Классифицируйте поля направлений на ориентируемых 3-многообразиях. По поводу n-мерного случая и связи с лоренцевыми метриками см. [Ko01].

8. Классифицируйте нормальные векторные поля на 2-многообразиях в $\mathbb{R}^4$.

Классификация сечений и зейфертовых сечений.

Обозначим через $\pi_X : X \times Y \to X$ проекцию на первый сомножитель. Отображение $s : X \to X \times Y$ называется *сечением*, если $\pi_X \circ s = \mathrm{id}_X$. Сечения называются *послойно гомотопными*, если они гомотопны в классе сечений. Обозначим через $S(\pi_X)$ множество классов послойной гомотопности сечений. Равенство между множествами означает наличие взаимно-однозначного соответствия между ними.

9. (a) $S(\pi_{S^1} : S^1 \times I \to S^1) = \{0\}$.

(b) $S(\pi_{S^1} : S^1 \times S^1 \to S^1) = \mathbb{Z}$.

(c) $S(\pi_N : N \times S^1 \to N) = H_1(N;\mathbb{Z})$ для замкнутого 2-многообразия N.

(d) $S(\pi_X)$ находится во взаимно-однозначном соответствии с множеством $[X;Y]$ отображений $X \to Y$ с точностью до гомотопности (определение напомнено в начале главы 6).

Понятия векторного поля и сечения (прямого произведения) являются важнейшими частными случаями понятия *сечения расслоения*, см. пункт 'векторные расслоения'.

Рассмотрим 2-многообразие P^* с непустым краем и инволюцией t на P^*, имеющей лишь конечное число неподвижных точек.

10. Существуют такие негомеоморфные 2-многообразия P^* и P_1^* с непустыми краями и инволюциями t и t_1, имеющими лишь конечное число неподвижных точек, для которых $P^*/t \cong P_1^*/t_1$.

Сечение $s : P^* \to P^* \times S^1$ называется *симметричным*, если $p_{S^1} \circ s = p_{S^1} \circ s \circ t$. Множество симметричных сечений с точностью до гомотопии в классе симметричных сечений обозначается кратко $S(P^*, t)$. Положим $P = P^*/t$.

11. $S(P^*, t) = H_1^t(P^*, \partial P^*; \mathbb{Z}) \cong H_1(P, \partial P; \mathbb{Z}) \cong \mathbb{Z}^{1-\chi(P)}$, если инволюция t имеет лишь конечное число неподвижных точек. Для пространства с инволюцией симметричные гомологические группы обозначаются добавлением верхнего индекса t к обычному обозначению. Их определение естественно появляется при изучении множества $S(P^*, t)$. Читатель может придумать его сам или подсмотреть в пункте 'эквивариантные отображения' главы 6.

В приложениях (см. следующий пункт) появляются аналоги сечений для расслоений с особенностями. Приведем определение и результат для частного случая (мотивированного приложениями).

Положим $Q = Q(P^*) := P^* \times I/\{(a, 0) \sim (t(a), 1)\}$. (Выражаясь научно, это расслоение над S^1 со слоем P^* и сшивающим отображением t [BFM90, определение 2.2].)

12. $Q(P^*)$ зависит только от P, а не от P^*.

Обозначим через $p : P^* \to P$ проекцию. Определим отображение $\pi : Q \to P$ формулой $\pi[(a, t)] = p(a)$. (Это расслоение Зейферта, имеющее сингулярные слои только над звездочками и только типа $(2, 1)$.)

Вложение $f : P^* \to Q$ называется *зейфертовым сечением*, если $\pi \circ f = p$. (В гладкой категории нужно дополнительно предполагать, что f трансверсально слоям отображения π. В [BF94] сечения Зейферта назывались трансверсальными площадками.)

Теорема классификации зейфертовых сечений. [RS99"] *При фиксированных P^* и t множество X зейфертовых сечений с точностью до изотопии над π находится во взаимно-однозначном соответствии с $H_1(P, \partial P; \mathbb{Z}) \cong \mathbb{Z}^{1-\chi(P)}$.*

Доказательство. Определим отображение

$$q : P^* \times S^1 \cong \frac{P^* \times I}{\{(a, 0) \sim (a, 1)\}} \to \frac{P^* \times I}{\{(a, 0) \sim (t(a), 1)\}} \cong Q$$

формулой

$$q[(a, u)] = \begin{cases} [(a, 2u)] & 0 \leqslant u \leqslant \frac{1}{2} \\ [(t(a), 2u - 1)] & \frac{1}{2} \leqslant u \leqslant 1 \end{cases}.$$

Поскольку t инволюция, q корректно определено и непрерывно.

Пусть $f : P^* \to Q$ — сечение Зейферта. Для каждой точки $x \in P^*$, не являющейся неподвижной точкой инволюции t, существует *единственная* такая точка

$$f'(x) \in P^* \times S^1, \quad \text{что} \quad qf'(x) = f(x).$$

Для каждой неподвижной точки x инволюции t существуют *две* такие точки

$$u, v \in S^1, \quad \text{что} \quad q(x, u) = q(x, v) = f(x).$$

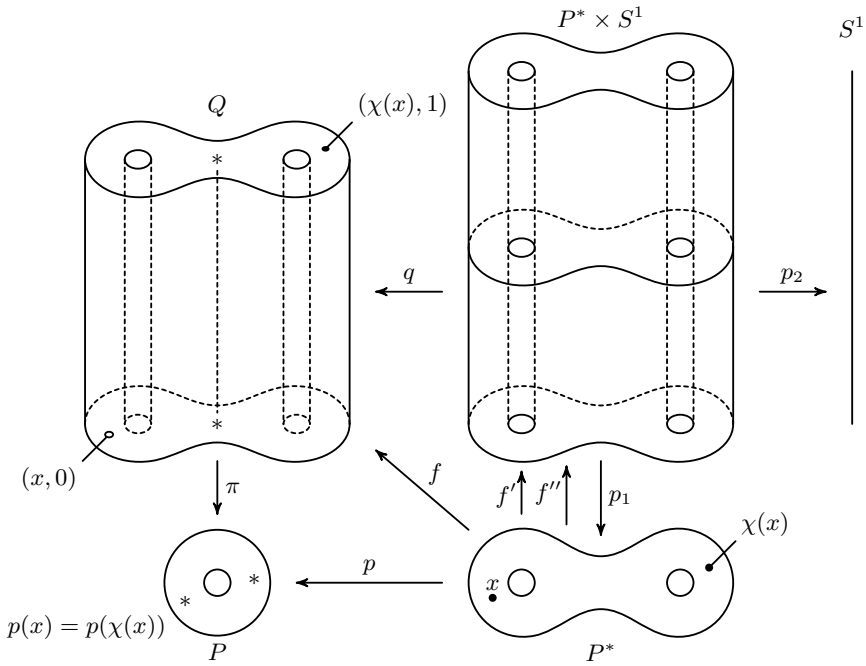

Рис. 48: Классификация зейфертовых сечений

Поскольку маленькая проколотая дисковая окрестность в P^* неподвижной точки x связна, мы можем взять в качестве $f'(x)$ либо (x, u), либо (x, v), так что отображение $f' : P^* \to P^* \times S^1$ будет непрерывным. Построенное отображение f' — (обычное) сечение тривиального расслоения $P^* \times S^1 \to P^*$.

Поскольку f — вложение, $p_{S^1} f'(x) \neq -p_{S^1} f'(t(x))$ ни для какой точки $x \in P^*$. Поэтому f' послойно гомотопно симметричному сечению f''.

Обратно, для любого симметричного сечения $F : P^* \to P^* \times S^1$, отображение $q \circ F$ является сечением Зейферта и $(q \circ F)'' = F$.

Очевидно, сечения Зейферта f и g изотопны над π тогда и только тогда, когда соответствующие симметрические сечения f'' и g'' симметрично гомотопны (или, эквивалентно, изотопны). Тогда $X = S(P^*, t) = H_1(P, \partial P; \mathbb{Z}) \cong \mathbb{Z}^{1-\chi(P)}$. □

Приложение: применение к гамильтоновым системам.

В 1994 Болсинов и Фоменко [BF94] доказали теорему о топологической траекторной классификации невырожденных интегрируемых гамильтоновых систем с двумя степенями свободы на трехмерных многообразиях постоянной энергии. Мотивировки и краткий обзор см. в [BFM90, §1], [BF94, §1]. Они доказали, что две такие системы эквивалентны, если некоторые их инварианты совпадают. Инвариантом является граф с некоторыми дополнительными метками на его вершинах и ребрах. Одним из необходимых ограничений было то, что рассматриваемая гамильтонова система не имеет неустойчивых периодических орбит с *неориентируемой* сепаратрисой. Это связано с тем, что в доказательстве использовались *сечения локально-тривиальных* расслоений. Поскольку периодические орбиты с неориентируемой сепаратрисой встречаются в примерах (например, в волчке Ковалевской), было интересно отбросить это ограничение. Это оказалось возможным благодаря использованию *зейфертовых сечений зейфертовых расслоений.*

Теорема. *Пусть X — множество невырожденных интегрируемых гамильтоновых систем с двумя степенями свободы на ориентируемых трехмерных многообразиях постоянной энергии, с точностью до непрерывной траекторной эквивалентности, сохраняющей ориентацию. Тогда существует инъекция из X в множество t-оснащенных графов с точностью до t-эквивалентности.* [RS99], [CRS00], ср. [BF94, Теорема 4.1].

Определения t-оснащенных графов и t-эквивалентности такое же, как в [BF94], см. также [BFM90], [CRS00]. Заметим, что в [BF94, §12.3 и §13.5] описан образ инъекции из теоремы и зависимость t-меток от ориентации 3-многообразия постоянной энергии. Кроме того, в [BF94, §13] было построено в некотором смысле более простое оснащение на W, названное t-молекулой. Более общая ситуация не требует добавлений и изменений по сравнению с [BF94], только P-метки могут быть атомами со звездочками.

Доказательство теоремы основано на следующем общем наблюдении, которое может быть применено и к другим проблемам. Бифуркация торов Лиувилля в боттовой интегрируемой гамильтоновой системе может быть описана окрестностью множества $F^{-1}(c)$, где F — дополнительный интеграл и c — его критическое значение. Если критическое подмногообразие дополнительного интеграла F, соответствующее c, — окружность, то эта окрестность является расслоением Зейферта Q над (незамкнутой) 2-поверхностью P [BFM90].

Чтобы исследовать бифуркацию торов Лиувилля, построим сечение Пуанкаре потока на Q [BF94]. Если критическая окружность имеет *ориентируемую* сепаратрисную диаграмму (или, эквивалентно, P не имеет звездочек), то $Q \cong P \times S^1$ и сечения Пуанкаре могут быть выбраны среди сечений тривиального расслоения. Тогда сечения Пуанкаре классифицируются методами классической теории препятствий. Если критическая окружность имеет *неориентируемую* сепаратрисную диаграмму (или, эквивалентно, P не имеет звездочек), то расслоение Зейферта не является локально-тривиальным расслоением. Несмотря на это, сечения Пуанкаре являются зейфертовыми аналогами сечений локально-тривиального расслоения. Доказательство вышеприведенной теоремы с использованием теоремы классификации зейфертовых сечений аналогично [BF94], см. детали в [CRS00].

СИСТЕМЫ ВЕКТОРНЫХ ПОЛЕЙ

Введение.

Ученик Хопфа Эдуард Штифель рассмотрел проблему существования *пары, тройки, etc. линейно независимых* касательных векторных полей на данном многообразии. (Ввиду каноничности процесса Грама-Шмидта ортогонализации линейную независимость можно заменить на ортонормированность.) Развивая идеи Хопфа, около 1934 он пришел к определению характеристических классов (окончательная формализация была завершена Норманом Стинродом в 1940е гг.). Любопытно, что Штифель начал с частного случая ориентируемых 3-многообразий и пытался построить пример такого многообразия, на котором не существует тройки линейно независимых касательных векторных полей. Затем, используя свою теорию, он доказал следующие факты.

Теорема Штифеля о параллелизуемости 3-многообразий. *На любом ориентируемом 3-многообразии существует тройка линейно независимых касательных векторных полей.*

Теорема Штифеля о векторных полях. *Если $n+1 = 2^r m$, где m нечетно, то на $\mathbb{R}P^n$ не существует системы из 2^r линейно независимых касательных векторных полей.*

Теорема Штифеля об алгебрах с делением. *Если на $\mathbb{R}^n$ имеется структура алгебры с делением (т.е. билинейная операция умножения без делителей нуля), то n есть степень двойки.*

Более точно, *алгебры с делением на $\mathbb{R}^n$ имеются только при $n = 1, 2, 4, 8$.* Эта знаменитая теорема Ботта-Милнора-Кервера-Адамса (см. ссылки в [MS74, §4]) доказывается также с использованием топологии (но гораздо более продвинутой).

Другие исторически первые эффектные применения характеристических классов — теоремы Уитни о невложимости и Понтрягина-Тома о (не)кобордантности многообразий — описаны в главе 5 (ср. [MS74, §4]).

В 1942 Лев Семенович Понтрягин придумал новые характеристические классы. Владимир Абрамович Рохлин показал, что эти классы естественно появляются при обобщении задачи Штифеля: при построении системы касательных векторных полей, имеющей в каждой точке ранг, не меньший данного числа. При дальнейшем обобщении появляются другие характеристические классы, но они уже зависимы (мы не уточняем, в каком смысле) между собой и с классами Штифеля-Уитни. Поэтому среди всех этих классов выделены *классы Понтрягина*, образующие 'максимальную независимую систему'. Эти классы применяются для изучения *гладких* многообразий и их отличий от *топологических* многообразий [DNF84, §28].

В этом параграфе мы приводим идею построения теории характеристических классов, набросок короткого доказательства теоремы Штифеля о параллелизуемости 3-многообразий (основанный на некотором упрощении доказательства из [Ki89, §5]). Для доказательства теоремы Штифеля о векторных полях и об алгебрах с делением уже нужна бóльшая часть материала глав 4 и 5; сами доказательства намечены в виде задач в главе 5.

Характеристические классы для 3-многообразий.

1. Если 3-многообразие ориентируемо, то любую *пару* линейно независимых касательных векторных полей на нем можно дополнить до *тройки* таких полей.

Следующий результат является важнейшим шагом в доказательстве теоремы Штифеля, а для неориентируемых 3-многообразий интересен и сам по себе.

Трехмерная теорема Штифеля о препятствии. *На замкнутом 3-многообразии N существует пара линейно независимых касательных векторных полей тогда и только тогда, когда* второй класс Штифеля-Уитни $w_2(N) \in H_1(N)$ *нулевой.*

Определение класса $w_2(N)$, использующее общее положение. Рассмотрим пару касательных векторных полей общего положения на 3-многообразии N. Ввиду общности положения множество точек многообразия, в которых векторы этой пары линейно зависимы, является несвязным объединением окружностей (ориентация на них не важна). Это объединение окружностей с точностью до *гомологичности* (определенной далее или в главе 4) и называется классом $w_2(N)$.

Определение двойственной схемы для схемы замкнутого 3-многообразия (рис. 49). Возьмем некоторую схему U 3-многообразия N. В каждом трехмерном многограннике x схемы U выберем по точке x^*. Для каждой грани f исходной схемы соединим ребром f^* две построенные точки, лежащие в соседних по этой грани трехмерных многогранниках схемы U (это ребро протыкает грань f схемы U; рис. 49). Для каждого ребра a исходной схемы натянем двумерный многоугольник a^* на те построенные ребра, которые отвечают граням исходной схемы, содержащим ребро a (этот многоугольник протыкается ребром a; рис. 49). Объединение полученных многоугольников разбивает 3-многообразие N на трехмерные многогранники,

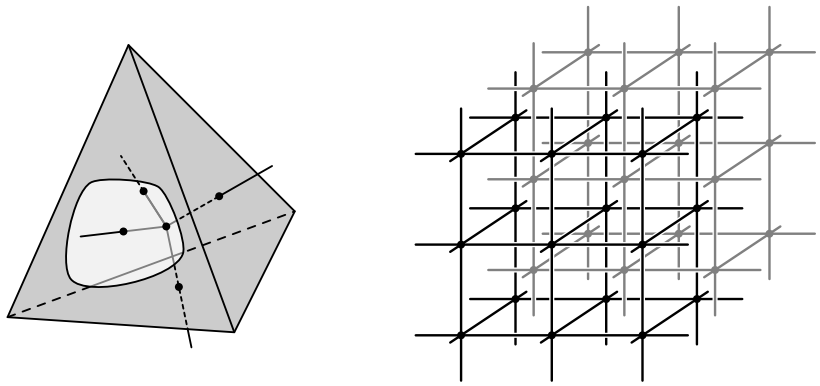

Рис. 49: Двойственные схемы для схем замкнутого 3-многообразия

каждый из которых содержит ровно одну вершину исходной схемы. Полученная схема U^* называется *двойственной* к U.

Начало доказательства трехмерной теоремы Штифеля о препятствии: определение препятствующего цикла. Будем называть пару линейно независимых касательных векторных полей просто парой полей.

Возьмем некоторую мелкую схему U 3-многообразия N и двойственную к ней схему U^*.

Сначала мы построим пару полей в вершинах двойственной схемы, затем будем пытаться продолжать эту пару на объединение ребер двойственной схемы, затем на объединение ее граней и потом на объединение ее трехмерных многогранников.

Попробуем продолжить пару полей на ребро двойственной схемы. Ввиду мелкости схемы окрестность каждого такого ребра однозначно проецируется на трехмерную касательную плоскость. При этой проекции паре векторов в точке x этого ребра сопоставляется пара векторов в $\mathbb{R}^3$, а паре полей на всем ребре — отображение его в пространство линейно независимых пар векторов в $\mathbb{R}^3$. Очевидно, что это пространство связно. Поэтому построенная в вершинах двойственной схемы пара полей продолжается на объединение ребер двойственной схемы.

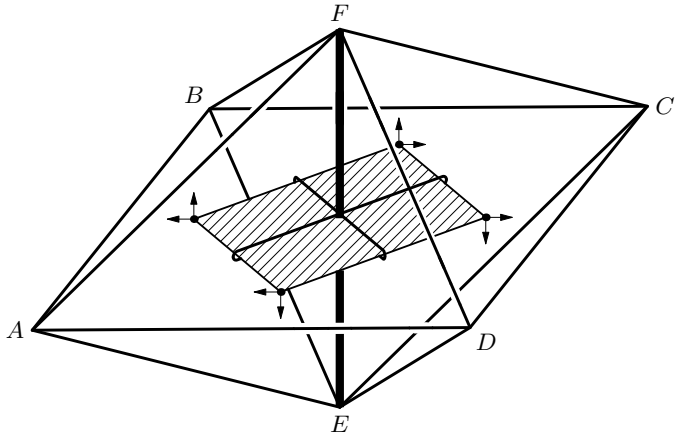

Рис. 50: Продолжение пары полей на грань двойственной схемы

Попробуем продолжить пару полей на грань a^* двойственной схемы (рис. 50). Ввиду мелкости схемы окрестность грани a^* однозначно проецируется на трехмерную касательную плоскость. При этой проекции паре векторов в точке x этой грани сопоставляется пара векторов в $\mathbb{R}^3$. Значит, паре полей на граничной окружности этой грани — отображение ее в пространство пар векторов в $\mathbb{R}^3$. Если это отображение не продолжается на грань a^*, то покрасим ребро a исходной схемы (протыкающее грань a^*), в красный цвет. Таким образом, заданию пары w ортонормированных векторных полей на объединении ребер двойственной схемы соответствует красный подграф $\varepsilon(w)$ исходной схемы, который называется *препятствующим циклом.*

Число красных ребер, выходящих из каждой вершины, четно.

Напомним, что подграфы с таким условием называются *(гомологическими) циклами.*

2. (a) Докажите сформулированное утверждение.

(b) Вне красного графа пара полей существует.

(c) Нарисуйте какой-нибудь препятствующий цикл для $\mathbb{R}P^3$ и для $\mathbb{R}P^2 \times S^1$ (и для других известных Вам примеров 3-многообразий). При этом разумно взять стандартные схемы: для $\mathbb{R}P^3$ из четырех клеток по одной в каждой размерности, а для $\mathbb{R}P^2 \times S^1$ — произведение схемы для $\mathbb{R}P^2$ из трех клеток по одной в каждой размерности и схемы для S^1 из двух клеток по одной в каждой размерности.

(d)* Для любой триангуляции произвольного трехмерного многообразия N объединение ребер ее барицентрического подразделения является препятствующим циклом $\varepsilon(w)$ для некоторой пары полей w.

Определение группы $H_1(N)$, класса $w_2(N)$ и набросок завершения доказательства трехмерной теоремы Штифеля о препятствии. Точно так же, как в параграфе 'ориентируемость', определяются границы, гомологичность циклов и группа $H_1(N)$ (несмотря на то, что они возникли при решении *другой* задачи!).

Вторым классом Штифеля-Уитни 3-многообразия N называется

$$w_2(N) := [\varepsilon(w)] \in H_1(N)$$

Аналогично предыдущему проверяется, что это определение корректно и что $w_2(N) = 0$ тогда и только тогда, когда пару полей w можно продолжить на объединение многоугольников двойственной схемы.

Пару полей w на U_2 объединении многоугольников двойственной схемы всегда можно продолжить на все 3-многообразие N. Это доказывается аналогично предыдущему с использованием следующей теоремы продолжения:

любое отображение граничной сферы трехмерного шара в SO_3 можно продолжить на весь шар.

Этот факт мы не доказываем (для специалистов отметим, что он следует из равенств $\pi_2(SO_3) = \pi_2(\mathbb{R}P^3) = \pi_2(S^3) = 0$). Поэтому препятствие $w_2(N)$ является полным. □

3. Восполните детали приведенного наброска. При этом используйте без доказательства следующий факт (впрочем, его тоже можете попытаться доказать).

Существует ровно два гомотопических класса отображений окружности в пространство линейно независимых пар векторов в R^3.

Указания. Сначала докажите, что это пространство деформационно ретрагируется на пространство SO_3 ортонормированных пар векторов в $\mathbb{R}^3$ (это то же, что пространство положительных ортонормированных реперов в $\mathbb{R}^3$). Потом докажите, что SO_3 топологически эквивалентно

пространству движений пространства $\mathbb{R}^3$, оставляющих начало координат неподвижным;

пространству вращений пространства $\mathbb{R}^3$ относительно прямых, проходящих через начало координат;

пространству прямых в $\mathbb{R}^4$, проходящих через фиксированную точку;

замкнутому трехмерному шару, на границе которого склеены диаметрально противоположные точки.

Используйте последнюю из перечисленных 'моделей' пространства SO_3. Нетривиальный элемент группы $\pi_1(SO_3)$ представляется диаметром трехмерного шара, из которого SO_3 получается склейкой.

Набросок простого доказательства теоремы Штифеля.

Достаточно рассмотреть случай замкнутого многообразия N. Используем обозначения из доказательства трехмерной теоремы Штифеля о препятствии. Препятствующий цикл в N может быть преобразован малым шевелением в окружность S (аналогично теореме об эйлеровом цикле с последующим соединением компонент связности) (a). Вне малой окрестности окружности S существует пара полей (b). Используем следующий факт (вытекающий из двойственности Пуанкаре в главе 4).

Если S не гомологична пустому графу, то существует вложенное 2-многообразие $M \subset N$, пересекающее S ровно в одной точке p.

Существует окрестность 2-многообразия M в N, топологически эквивалентная трехмерному пространству $M\tilde{\times}I$ некоторого I-расслоения над M (см. определение в главе 5). Так как N ориентируемо, то $M\tilde{\times}I$ ориентируемо.

Неформально, *погружением* 2-многообразия в $\mathbb{R}^3$ называется его изображение в $\mathbb{R}^3$ (возможно, с самопересечениями), для которого в любой точке существует касательная плоскость. Напомним, что $\mathbb{R}P^2$ допускает погружение в $\mathbb{R}^3$ [FF89]. Из этого следует, что *любое* 2-многообразие M погружаемо в $\mathbb{R}^3$ (c).

Некоторая малая окрестность образа такого погружения определяет I-расслоение над M. Ясно, что на трехмерном пространстве этого I-расслоения существует пара полей (d).

Поскольку пространство последнего I-расслоения ориентируемо, по теореме классификации I-расслоений это расслоение эквивалентно расслоению $M\tilde{\times}I$ (e). Поэтому на $M\tilde{\times}I$ существует пара w' полей.

Обозначим через Op дисковую окрестность точки p в M. Краем 2-многообразия $M - \operatorname{Int} Op$ является граничная окружность ∂Op диска Op. Отсюда аналогично теореме классификации векторных полей получаем, что *пары w и w' линейно независимых касательных к N векторных полей гомотопны на ∂Op* (f).

Так как w' продолжается на $M\tilde{\times}I$, то и w продолжается на $M\tilde{\times}I$ (g). Полученная пара полей продолжается на оставшийся диск по двумерной теореме продолжаемости из параграфа 'существование векторных полей'. □

4. Восполните детали — они отмечены буквами (a)–(g) в тексте наброска.

Характеристические классы для n-многообразий (набросок).

5. Пусть N — замкнутое связное ориентируемое четырехмерное многообразие.

(a) Определите $H_2(N)$ и $w_2(N) \in H_2(N)$ как препятствие к построению *четверки* (или, эквивалентно, тройки) линейно независимых касательных векторных полей.

(b)* То же как *полное* препятствие к существованию спинорной структуры на N (т. е. к возможности извлечь корень из любого тензора на N).

(c) Вне окрестности любого непустого цикла, представляющего $w_2(N)$, можно построить такую четверку.

(d) $w_2(P \times Q) = 0$ для сфер с ручками P и Q.

(e) Препятствие $w_2(N)$ не полно.

6. (a)-(e) Сформулируйте и докажите аналоги предыдущей задачи для ориентируемых 4-многообразий с непустым краем.

(f) На связном ориентируемом 4-многообразии N с непустым краем существует четверка линейно независимых касательных векторных полей тогда и только тогда, когда $w_2(N) = 0$.

(a)'-(e)' Сформулируйте и докажите аналоги предыдущей задачи для неориентируемых 4-многообразий.

7.* Пусть N — замкнутое связное ориентируемое четырехмерное многообразие.

(a) Определите форму пересечений $\cap : H_2(N) \times H_2(N) \to \mathbb{Z}_2$ аналогично пункту 'форма пересечений' главы 2 (или см. параграф 'двойственность Пуанкаре' главы 4). Докажите, что $a \cap a = w_2(N) \cap a$ для любого $a \in H_2(N)$ (это выражение равно нулю тогда и только тогда, когда в окрестности любого цикла, представляющего a, можно построить четверку линейно-независимых касательных векторных полей; сравните с пунктом 'форма пересечения' параграфа 'ориентируемость' главы 2).

(b) $w_2(N) \cap w_2(N) = \chi(N) \mod 2$.

(c) Определите *число Понтрягина* $p_1(N) \in \mathbb{Z}$ как полное препятствие к существованию *четверки касательных векторных полей, имеющей ранг не менее трех в каждой точке.*

Вот набросок определения, использующего общее положение. Рассмотрим четверку общего положения касательных векторных полей на N. Ввиду общности положения множество точек многообразия, в которых данная четверка векторов имеет ранг менее трех, является конечным количеством точек. У этих точек можно определить знак. Количество этих точек с учетом знака и называется $p_1(N)$.

(d) Пусть N — подмногообразие замкнутого ориентируемого 6-мерного многообразия M. Обозначим $[N] \in H_4(M;\mathbb{Z})$ гомологический класс подмногообразия N, $\overline{p}_1 \in Z$ и $\overline{e} \in H_2(N;\mathbb{Z})$ число Понтрягина (определите!) и класс Эйлера нормального расслоения N в M. Тогда $[N]^3 = \overline{e} \cap \overline{e} = \overline{p}_1$

(e) Если N вложимо в $\mathbb{R}^6$, то $p_1(N) = 0$. Указание. Сначала докажите, что $\overline{p}_1 = 0$ для нормального расслоения к вложению аналогично пункту 'нормальные векторные поля'.

Число Понтрягина равно утроенной сигнатуре $\sigma(N)$ формы пересечений многообразия N (доказательство намечено в пункте 'сигнатура и числа Понтрягина').

Теорема Дольда-Уитни. *На замкнутом связном ориентируемом 4-многообразии N существует четверка ортонормированных касательных векторных полей тогда и только тогда, когда $\chi(N) = \sigma(N) = 0$ и $w_2(N) = 0$.*

Через $\mathbb{Z}_{(i)}$ обозначается группа $\mathbb{Z}$ для четного i и $\mathbb{Z}_2$ для нечетного i.

Теорема Штифеля о препятствии (многомерная). *Если на замкнутом ориентируемом n-многообразии N существует k линейно независимых касательных векторных полей ($1 < k < n$), то $(n-k+1)$-й класс Штифеля-Уитни $W_{n-k+1}(N) \in H_{k-1}(N, \mathbb{Z}_{(n-k)})$ нулевой.*

Набросок определения класса $W_{n-k+1}(N)$, использующего общее положение. Рассмотрим набор общего положения из k касательных векторных полей на n-многообразии N. Ввиду общности положения множество точек многообразия, в которых векторы этого набора линейно зависимы, является объединением $(k-1)$-мерных подмногообразий. Если $n-k$ четно, то на них можно ввести ориентацию. Классом $W_{n-k+1}(N)$ называется класс *гомологичности* этого объединения подмногообразий (гомологичность определена в главе 4 аналогично предыдущему).

Набросок определения группы $H_{k-1}(N, \mathbb{Z}_{(n-k)})$, класса $W_{n-k+1}(N)$ и доказательства. Пусть $V_{n,k}$ — многообразие Штифеля ортонормированных k-реперов в $\mathbb{R}^n$. Обозначим через $\pi_i(V_{n,k})$ множество гомотопических классов непрерывных отображений

$S^i \to V_{n,k}$ (см. определение в начале главы 6). Тогда [FF89], [Pr06]

$$\pi_i(V_{n,k}) = 0 \quad \text{для} \quad i < n-k \quad \text{и} \quad \pi_{n-k}(V_{n,k}) \cong \mathbb{Z}_{(n-k)} \quad \text{для} \quad 1 < k < n.$$

Аналогично трехмерному случаю первое из этих равенств влечет, что система из k линейно независимых касательных векторных полей всегда строится на $(n-k)$-остове. Ввиду второго из этих равенств продолжению полученной системы полей на $(n-k+1)$-остов препятствует некоторая расстановка ω_{n-k+1} на $(n-k+1)$-мерных симплексах целых чисел при четном $n-k$, или нулей и единиц при нечетном $n-k$.

Аналогично предыдущему среди всех таких расстановок выделяются *циклы* и *границы*, а также определяется *гомологичность* циклов (см. детали в начале главы 4). Группа циклов с точночтью до гомологичности называется группой гомологий $H_{k-1}(N, \mathbb{Z}_{(n-k)})$. Классом Штифеля-Уитни называется класс гомологичности препятствующей расстановки

$$W_{n-k+1}(N) = [\omega_{n-k+1}] \in H_{k-1}(N, \mathbb{Z}_{(n-k)}). \qquad \square$$

8. Приведите детали этого определения и доказательства теоремы.

Задача 5e показывает, что обратная теорема неверна, т.е. препятствие $W_{n-k+1}(N)$ уже не обязательно является полным.

Аналогично можно определить классы $W_1 \in H_{n-1}(N, \mathbb{Z}_2)$ и $W_n \in H_0(N, \mathbb{Z})$, и эти определения будут равносильны данным в параграфах 'ориентируемость' и 'векторные поля'.

Через $w_i(N) \in H_{n-i}(N; \mathbb{Z}_2)$ обозначается приведение по модулю 2 препятствия $W_i(N)$, которое легче вычисляется.

9. (a) Пусть N — замкнутое ориентируемое n-многообразие, для которого $w_2(N) = 0$. Найдите $w_2(N \times S^1)$.

(b)* Для любой триангуляции произвольного n-мерного многообразия N объединение k-мерных симплексов ее барицентрического подразделения является циклом по модулю 2, представляющим класс $w_{n-k}(N)$.

10.* (a) Для замкнутого ориентируемого n-многообразия N определите *j-й класс Понтрягина* $p_j(N) \in H_{n-4j}(N; \mathbb{Z})$ как препятствие к построению системы из $n-2j+2$ векторов, имеющей ранг не менее $n-2j+1$ в каждой точке.

Набросок определения класса $p_j(N)$, использующего общее положение. Рассмотрим набор общего положения из $n-2j+2$ касательных векторных полей на N. Ввиду общности положения множество точек многообразия, в которых данный набор $n-2j+2$ векторов имеет ранг менее $n-2j+1$, является объединением $(n-4j)$-мерных подмногообразий. На них можно ввести ориентацию. Объединение этих подмногообразий с точностью до *гомологичности* (определенной в главе 4 аналогично предыдущему) и называется классом $p_j(N)$.

(b) Пусть N — замкнутое ориентируемое связное 4-подмногообразие замкнутого ориентируемого 6-мерного многообразия M. Обозначим через $[N] \in H_4(M)$ гомологический класс подмногообразия N и через $\overline{p}_1 \in Z$ число Понтрягина нормального расслоения N в M (определите!). Тогда $PDp_1(M) \cap [N] = p_1(N) + \overline{p}_1$.

(c) Докажите аналоги задач 7de и 10b для $4k$-подмногообразий в $6k$-многообразиях.

Указания к некоторым задачам.

Указание к 5e. Докажите, что для квадрата кренделя $\chi(N) = 0$. (Простейший односвязный пример — поверхность Куммера.)

Указание к 7d. Пусть $N_1, N_2 \subset M$ — близкие к N подмногообразия, находящиеся в общем положении относительно друг друга и N. Тогда

$$[N]^3 = [N_1] \cap [N_2] \cap [N] = \#(N_1 \cap N_2 \cap N) = \#[(N_1 \cap N) \cap (N_2 \cap N)] = \overline{e} \cap \overline{e} = \overline{p}_1.$$

Здесь $\#$ означает алгебраическую сумму точек пересечения в M, а $N_1 \cap N$, $N_2 \cap N$ — *ориентированные* пересечения в N. Для доказательства последнего равенства возьмем два сечения нормального расслоения N в M, находящиеся в общем положении. Тогда $\overline{e}$ — гомологический класс надлежащим образом ориентированного нулевого многобразия каждого сечения. Класс $\overline{p}_1$ — гомологический класс ориенированного надлежащим образом подмногообразия, на котором ранг пары нормальных векторов, образованных двумя сечениями, меньше 1, т. е. на котором *оба* вектора нулевые. Поэтому $\overline{e} \cap \overline{e} = \overline{p}_1$.

Указание к 9a. Класс $w_2(N \times S^1)$ равен нулю, поскольку переходит в класс $w_2(N) = 0$ при мономорфизме $H_1(N) \to H_2(N \times S^1)$, определенном формулой $[s] \to [s] \times S^1$. Действительно, класс $w_2 \in H_1(N)$ представляется подмногообразием вырожденности X поля общего положения из $2k$ касательных к N векторов. Продолжим это поле очевидным образом до поля из $2k+1$ касательных к $N \times S^1$ векторов с многообразием вырожденности $X \times S^1$.

Указание к 10b. Имеем $PDp_1(M) \cap [X] = p_1(M)|_X = p_1(X) + p_1(\nu_M(X))$, где последнее равенство следует из $\tau_M|_X \cong \tau_X \oplus \nu_M(X)$.

ГЛАВА 4. МЕТОДЫ ВЫЧИСЛЕНИЯ ГОМОЛОГИЙ.

'The wise men followed the star and found the house.
But if I followed the star, should I find the house?'
'It depends, perhaps,' I said smiling, 'on whether you are a wise man'.
G. K. Chesterton, Manalive. [10]

ПРОСТЕЙШИЕ МЕТОДЫ (НАБРОСОК)

Определения.

В этой главе считается известным понятие группы, гомо-, изо-, моно- и эпиморфизма групп, а также понятие гомотопии из главы 6.

В некоторых местах этой главы мы *указываем* коэффициенты $\mathbb{Z}_2$ в обозначениях. При этом пропуск коэффициентов по-прежнему означает, что предполагаются коэффициенты $\mathbb{Z}_2$.

Дадим *определение групп гомологий (с коэффициентами в $\mathbb{Z}_2$)*, независимое от рассуждений, в которых оно появилось. Пусть N — 3-полиэдр (или 2-полиэдр) с триангуляцией T, имеющей $_i$ симплексов размерности i, $i = 0, 1, 2, 3$ ($c_3 = 0$ для 2-полиэдра). (Необходимые изменения для схемы T читатель легко сделает самостоятельно.)

Обозначим через $C_i = C_i(N)$, $i = 0, 1, 2, 3$, группу расстановок нулей и единиц на i-мерных симплексах триангуляции T (относительно операции покомпонентного сложения). Ясно, что $C_i \cong \mathbb{Z}_2^{c_i}$.

Для произвольного ребра a обозначим через $\partial_0 a$ расстановку единиц в вершинах этого ребра и нулей в остальных вершинах. Продолжим ∂_0 до линейного отображения $\partial_0 : C_1 \to C_0$.

Для произвольной двумерной грани a обозначим через $\partial_1 a$ расстановку единиц на ребрах границы этой грани. Продолжим ∂_1 до линейного отображения $\partial_1 : C_2 \to C_1$.

Для произвольной трехмерной грани a обозначим через $\partial_2 a$ расстановку единиц на двумерных гранях границы грани a. Продолжим ∂_2 до линейного отображения $\partial_2 : C_3 \to C_2$.

0. $\partial_k \partial_{k+1} = 0$.

Положим

$$H_0(N) := {}_0/\partial_0 C_1, \quad H_1(N) := \partial_0^{-1}(0)/\partial_1 C_2, \quad H_2(N) := \partial_1^{-1}(0)/\partial_2 C_3$$
$$\text{и} \quad H_3(N) := \partial_2^{-1}(0).$$

Группы $\partial_{i-1}^{-1}(0)$ и $\partial_i C_{i+1}$ называются группами i-циклов и i-границ, соответственно.

Чтобы определить гомологии с коэффициентами в $\mathbb{Z}$, фиксируем дополнительно *ориентацию* (т.е. порядок вершин с точностью до четной перестановки) каждого симплекса триангуляции T (никакой согласованности ориентаций разных симплексов не предполагается). Обозначим через $C_k(\mathbb{Z}) = C_k(N; \mathbb{Z})$, $k = 0, 1, 2, 3$, группу расстановок целых чисел на ориентированных i-мерных симплексах триангуляции T (относительно операции покомпонентного сложения). Ясно, что $C_k(\mathbb{Z}) \cong \mathbb{Z}^{c_k}$. Для k-симплекса a с вершинами $a_0 \dots a_i$ обозначим через $\hat{a}_i$ симплекс размерности $(k-1)$ с вершинами $a_0, \dots, a_{i-1}, a_{i+1}, \dots, a_k$. Положим $\varepsilon_i = -1$, если ориентация симплекса $\hat{a}_i$ задается порядком $(a_0, \dots, a_{i-1}, a_{i+1}, \dots, a_k)$, и $\varepsilon_i = 1$, иначе. Положим $\partial_{k-1} a = \sum\limits_{i=1}^{k} (-1)^i \varepsilon_i \hat{a}_i$. После этого гомологии с коэффициентами $\mathbb{Z}$ определяются аналогично.

[10] *'Мудрецы следовали за звездой и нашли дом. Но если бы я последовал за звездой, нашел бы я дом?' — 'Возможно,' сказал я, улыбаясь, 'это зависит от того, мудрец ли ты.' Честертон, Живой, пер. автора.*

Аналогично определяются i-мерные гомологии полиэдра произвольной размерности, а также гомологии с коэффициентами $\mathbb{Z}_p$ и $\mathbb{Q}$.

Все встречающиеся пространства предполагаются полиэдрами (читатель может считать, что даже 2-полиэдрами или 3-полиэдрами). Все отображения между полиэдрами предполагаются *кусочно-линейными*, т.е. уважающими некоторые схемы этих полиэдров.

Вычисление по определению.

Мы опускаем обозначения коэффициентов из записи групп гомологий, если формула верна для произвольных коэффициентов (которые мы обозначаем G). Советуем сначала проработать материал для коэффициентов $\mathbb{Z}_2$, затем для $\mathbb{Z}$. Класс гомологий цикла a обозначается через $[a]$. Напомним, что D^0 — точка.

1. (a) $H_0(D^0;G) \cong G$ и $H_k(D^0;G) = 0$ при $k > 0$.

(b) $H_0(X;G) \cong G^{c(X)}$, где $c(X)$ — количество компонент связности полиэдра X.

Следующим результатом будем пользоваться без доказательства (которое можно найти в [Pr06]).

Теорема инвариантности гомологий. *Гомологии гомеоморфных схем изоморфны.*

Положим $\widetilde{H}_k(X) := H_k(X)$ при $k > 0$ и $\widetilde{H}_0(X) := \varepsilon^{-1}(0)/\partial_0 C_1$, где $\varepsilon : C_0 \to G$ — сумма чисел, стоящих в вершинах.

2. (a) $\widetilde{H}_k(D^n) = 0$.

(b) $\widetilde{H}_k(\operatorname{Con} X) = 0$, где Con — конус.

(c) $\widetilde{H}_k(D^0;G) \cong 0$.

(d) Для $n > 0$ группа $H_k(S^n;\mathbb{Z})$ есть 0 при $k \neq 0, n$ и $\mathbb{Z}$ при $k = 0, n$.

(e) $\widetilde{H}_k(X) \cong \widetilde{H}_{k+1}(\Sigma X)$, где Σ — надстройка. Указание. Любой k-цикл в ΣX гомологичен надстройке над некоторым циклом в X.

(f) Группа $\widetilde{H}_k(S_1^n \vee S_2^n \vee \ldots \vee S_l^n;\mathbb{Z})$ есть 0 при $k \neq n$ и $\mathbb{Z}^l$ при $k = n$.

(g) Обозначим $B_l^n = S_1^n \vee S_2^n \vee \ldots \vee S_l^n$. Для симплициального отображения $g : B_l^n \to B_m^n$ обозначим через $d_{pq}(g)$ степень композиции $S_p^n \xrightarrow{\subseteq} B_l^n \xrightarrow{g} B_m^n \xrightarrow{proj} S_q^n$. Тогда $g_* : H_n(B_l^n;\mathbb{Z}) \to H_n(B_m^n;\mathbb{Z})$ есть линейное отображение с матрицей $d_{pq}(g)$ (в стандартных базисах).

(h) $H_k(X \vee Y) \cong H_k(X) \oplus H_k(Y)$ для $k > 0$.

(i) Найдите $H_k(S^p \times S^q)$.

3. См. детали в [Pr06].

(a) Придумайте, как по отображению $f : X \to Y$ построить (*индуцировать*) отображение $f_* : H_k(X) \to H_k(Y)$.

(b) Отображение f_* является гомоморфизмом.

(c)* Гомотопные отображения индуцируют одинаковые изоморфизмы [Pr06].

(d) Докажите следующий результат.

Теорема гомотопической инвариантности гомологий. *Если X гомотопически эквивалентно Y, то $H_k(X) \cong H_k(Y)$.*

4. (a) Для связного X любой элемент группы $H_1(X;\mathbb{Z})$ представляется некоторым отображением $f : S^1 \to X$.

(b) Отображение $f : S^1 \to X$ представляет нулевой элемент группы $H_1(X;\mathbb{Z}_2)$ тогда и только тогда, когда оно продолжается на некоторое 2-многообразие N (не обязательно ориентируемое) с краем $\partial N = S^1$.

(c) Отображение $f : S^1 \to X$ представляет нулевой элемент группы $H_1(X;\mathbb{Z})$ тогда и только тогда, когда оно продолжается на некоторое ориентируемое 2-многообразие N с краем $\partial N = S^1$.

(d) **Теорема Пуанкаре.** *Для связного X выполнено*

$$H_1(X;\mathbb{Z}) \cong \pi_1(X)/[\pi_1(X), \pi_1(X)].$$

Здесь $\pi_1(X)$ — *фундаментальная группа* пространства X (см. главу 6).

(e) Если у (трехмерного) додекаэдра склеить противоположные грани с поворотом на $\pi/5$, то получится трехмерное многообразие N, для которого $H_1(N;\mathbb{Z}) = 0$, но $\pi_1(N) \neq 0$.

(f)* Придумайте и докажите (или опровергните) многомерные аналоги предыдущих утверждений.

Гомологии пары. Вырезание.

Пусть A и B — подполиэдры полиэдра X в одной и той же схеме. Тогда $C_k(A) \subset C_k(X)$ Положим

$$Z_k(X,A) := \{a \in C_k(X) \mid \partial_{k-1} a \in C_{k-1}(A)\} \quad \text{и}$$

$$H_k(X,A) := \frac{Z_k(X,A)}{\partial_k C_{k+1}(X) \oplus C_k(A)}.$$

При $k = 0$ условие $\partial_{k-1} a \in C_{k-1}(A)$ пусто. (Такие группы появлялись при построении препятствий на многообразиях с краем.)

5. (a) $H_0(X,A;G) \cong G^{c(X)}$, где $c(X)$ — количество компонент связности полиэдра X, не содержащих подполиэдра A.

(b) $H_k(X) \cong H_k(X,\varnothing)$.

(c) **Связь абсолютных и относительных гомологий.** $H_k(X,A) \cong \widetilde{H}_k(X/A)$.

(d) **Изоморфизм вырезания.** $H_k(A \cup B, A) \cong H_k(B, B \cap A)$.

Более точно, отображение $H_k(B, B \cap A) \to H_k(A \cup B, A)$, индуцированное включением $(B, B \cap A) \to (A \cup B, A)$, является изоморфизмом.

Указание: сведите к случаю, когда $A - B$ есть внутренность одной клетки (симплекса) старшей размерности.

(e) Если A есть деформационный ретракт в X (т.е. если существует гомотопия $f_t : X \to X$, для которой $f_0 = \operatorname{id} X$, $f_1(X) \subset A$ и $f_1(a) = a$ для любого $a \in A$), то $H_k(X,A) = 0$ при $k \geqslant 1$.

Точные последовательности.

Набросок другого решения задачи 2d об $H_k(S^n;\mathbb{Z})$. Индукция по $n \geqslant 0$. Докажем шаг индукции. Заметим, что $H_k(S^n) \cong H_k(D^n, S^{n-1})$ (**задача 7a**). Определим отображение $\partial_* : H_k(D^n, S^{n-1}) \to H_{k-1}(S^{n-1})$ формулой $\partial_*[a] = [\partial a]$. Легко проверить корректность этого определения (**задача 7b**). Достаточно доказать, что отображение ∂_* является изоморфизмом.

Для доказательства эпиморфности отображения ∂_* возьмем цикл a, $[a] \in H_{k-1}(S^{n-1})$. Имеем $H_{k-1}(D^n) = 0$ (**задача 7c;** указание: $\partial \operatorname{Con} x = x$). Поэтому существует такая цепь b, что $a = \partial b$. Тогда b есть относительный цикл пары (D^n, S^{n-1}) и $[a] = \partial_*[b]$. Мономорфность отображения ∂_* проверяется аналогично (**задача 7d**). □

Гомологической последовательностью пары (X,A)

$$\ldots \to H_k(A) \xrightarrow{i_*} H_k(X) \xrightarrow{j_*} H_k(X,A) \xrightarrow{\partial_*} H_{k-1}(A) \to \ldots$$

называется последовательность групп и гомоморфизмов, определенных так. Гомоморфизм i_* индуцирован включением. При $k \geqslant 1$ отображения ∂_* и j_* определены формулами $\partial_*[a] = [\partial a]$ и $j_*[a] = [a]$, соответственно.

8. (a) Отображение ∂_* корректно определено и является гомоморфизмом.

(b) Если $H_k(X) = H_{k-1}(X) = 0$ (например, если X стягиваемо), то ∂_* — изоморфизм.

(c) При $k \geqslant 1$ отображение j_* корректно определено формулой $j_*[a] = [a]$ и является гомоморфизмом.

(d) Если $H_k(A) = H_{k-1}(A) = 0$ (например, если A стягиваемо), то j_* — изоморфизм.

(e) Если A есть ретракт пространства X (т.е. если существует отображение $f : X \to A$, тождественное на A), то i_* — мономорфизм, j_* — эпиморфизм и ∂_* — нулевой гомоморфизм.

(f) Если A стягиваемо по X в точку (т.е. если существует отображение $c\,on A \to X$, сужение которого на основание есть включение), то $i_* = 0$, j_* — мономорфизм и ∂_* — эпиморфизм.

(g) Если существует гомотопия $f_t : X \to X$, для которой $f_0 = \mathrm{id}$ и $f_1(X) \subset A$, то i_* — эпиморфизм, $j_* = 0$ и ∂_* — мономорфизм.

Оказывается, все факты, сформулированные в предыдущей задаче, являются частными случаями *одной* теоремы. Последовательность групп и гомоморфизмов называется *точной*, если ядро каждого ее гомоморфизма совпадает с образом предшествующего гомоморфизма.

Теорема о точности последовательности пары. *Гомологическая последовательность пары* (X, A) *точна.*

9. (a) Докажите теорему. Указание: аналогично приведенному наброску доказательства теоремы о гомологиях сфер и предыдущей задаче.

(b) Вычислите гомологическую последовательность пар (S^n, D^n) и (S^n, S^{n-1}).

10. (a) Последовательность $0 \to G \xrightarrow{\varphi} H$ точна тогда и только тогда, когда φ есть мономорфизм. Последовательность $G \xrightarrow{\varphi} H \to 0$ точна тогда и только тогда, когда φ есть эпиморфизм. Последовательность $0 \to G \xrightarrow{\varphi} H \to 0$ точна тогда и только тогда, когда φ есть изоморфизм.

(b) *Короткая точная последовательность* $0 \to G \xrightarrow{\varphi} H \xrightarrow{\psi} K \to 0$ точна тогда и только тогда, когда φ есть мономорфизм, $K \cong H/\varphi(G)$ и ψ есть естественная проекция.

(c) *5-лемма.* Если в коммутативной диаграмме

$$\begin{array}{ccccc} A_1 & \to A_2 & \to A_3 & \to A_4 & \to A_5 \\ \varphi_1 \downarrow & \varphi_2 \downarrow & \varphi_3 \downarrow & \varphi_4 \downarrow & \varphi_5 \downarrow \\ B_1 & \to B_2 & \to B_3 & \to B_4 & \to B_5 \end{array}$$

с точными строками отображения $\varphi_1, \varphi_2, \varphi_4$ и φ_5 являются изоморфизмами, то и φ_3 — изоморфизм.

(d) Из восьми предположений 5-леммы ($\varphi_1, \varphi_2, \varphi_4$ и φ_5 — мономорфизмы и $\varphi_1, \varphi_2, \varphi_4$ и φ_5 — эпиморфизмы) для доказательства мономорфности отображения φ_3 требуются только три (какие?), а для доказательства его эпиморфности — другие три (какие?). Два оставшихся предположения являются, таким образом, вообще лишними.

(e) Если, сохранив все предположения 5-леммы, исключить из ее диаграммы стрелку φ_3, будет ли верно, что $A_3 \cong B_3$?

11. (a) Если $A \cup B$ стягиваемо, то при $k \geqslant 1$ разность гомоморфизмов включений $\alpha = i_A - i_B : H_k(A \cap B) \to H_k(A) \oplus H_k(B)$ есть изоморфизм.

Указание. Эпиморфность отображения i_A доказывается так. Пусть дан произвольный цикл a в A. Так как $A \cup B$ стягиваемо, то существует цепь c в $A \cup B$, для

которой $\partial c = a$. Тогда c есть относительный цикл в $(A \cup B, A)$. При изоморфизме вырезания ему соответствует относительный цикл $c' = c \cap B$ в $(B, A \cap B)$. Тогда $\partial c'$ есть цикл в $A \cap B$, гомологичный в A циклу a.

(b) Если $A \cap B$ стягиваемо, то при $k \geqslant 1$ сумма гомоморфизмов включений $\beta = I_A \oplus I_B : H_k(A) \oplus H_k(B) \to H_k(A \cup B)$ есть изоморфизм.

(c) Композиции

$$H_k(A \cup B) \xrightarrow{j_*} H_k(A \cup B, A) \cong H_k(B, A \cap B) \xrightarrow{\partial_*} H_{k-1}(A \cap B) \quad \text{и}$$

$$H_k(A \cup B) \xrightarrow{j_*} H_k(A \cup B, B) \cong H_k(A, A \cap B) \xrightarrow{\partial_*} H_{k-1}(A \cap B)$$

(в которых $\cong$ есть изоморфизм вырезания) совпадают с точностью до знака.

(d) Если A и B стягиваемы, то при $k \geqslant 1$ каждый гомоморфизм из (c) есть изоморфизм $H_k(A \cup B) \to H_{k-1}(A \cap B)$. Указание: рассмотрите случай $A \cup B = D^n_+ \cup_{S^{n-1}} D^n_-$.

(e) Докажите следующий результат для случая, когда A и B — многообразия размерности n с краем, пересекающиеся по $(n-1)$-мерному подмногообразию края.

Теорема о последовательности Майера-Виеториса. *Последовательность*

$$\to H_k(A \cap B) \xrightarrow{i_A - i_B} H_k(A) \oplus H_k(B) \xrightarrow{I_A \oplus I_B} H_k(A \cup B) \xrightarrow{\gamma} H_{k-1}(A \cap B) \to$$

точна. Здесь гомоморфизмы $i_A - i_B$, $I_A \oplus I_B$ и γ определены в предыдущей задаче.

Заметим, что эта последовательность является аналогом формулы включений-исключений.

12. Вычислите гомологии

(a) Дополнения к узлу в трехмерном пространстве.

(b) Дополнения к вложенной сфере с ручками N в четырехмерном пространстве. Указание: найдется окрестность сферы с ручками, граница которой диффеоморфна $N \times S^1$ (см. пункт 'нормальные векторные поля').

13.* Пусть f_A — линейный автоморфизм тора T^2, заданный матрицей A. Вычислите гомологии

(a) Пространства $N \cup_{f_A} D^2 \times S^1$, где N — данное 3-многообразие с краем $\partial N \supset T^2$.

(b) Пространства $T^2 \times I/(x,0) \sim (f_A(x), 1)$.

Пусть дано пространство (например, граф или 2-многообразие) X. Если задан гомеоморфизм $f : X \to X$ на себя, то *пространством X-расслоения над окружностью* называется пространство, полученное из $X \times I$ отождествлением точек $(x, 0)$ и $(f(x), 1)$. Эквивалентность X-расслоений определяется аналогично пункту 'простейшие расслоения' в главе 5.

14.* (a) Пусть N и X — замкнутые ориентируемые 2-многообразия. Если некоторое 3-многообразие M является одновременно S^1-расслоением над N, не эквивалентным проекции $N \times S^1 \to N$, и X-расслоением над окружностью, не эквивалентным проекции $N \times S^1 \to N$, то $N = X = T^2$. Указание: вычислите гомологии 3-многообразия M через S^1-расслоение над N и через X-расслоение над S^1.

(b) Существует 3-многообразие, которое является одновременно непрямым S^1-расслоением над T^2 и непрямым T^2-расслоением над окружностью.

(c) Опишите все расслоения из (b).

Как выразить гомологии с коэффициентами $\mathbb{Z}_2$ через гомологии с коэффициентами $\mathbb{Z}$? Ответ дается следующей теоремой.

Формулы универсальных коэффициентов. *Для простого p*

$$H_k(X; \mathbb{Z}_p) \cong (H_k(X; \mathbb{Z}) \otimes \mathbb{Z}_p) \oplus (H_k(X; \mathbb{Z}) * \mathbb{Z}_p),$$

где $G \otimes \mathbb{Z}_2 := G/pG$ *и* $G * \mathbb{Z}_p$ *определяется как совокупность элементов порядка 1 или* p *в* G.

$$\textit{Если} \quad H_k(X;\mathbb{Z}) \cong \mathbb{Z}^b \oplus \operatorname{Tors} H_k(X;\mathbb{Z}), \quad \textit{то} \quad H_k(X;\mathbb{Q}) \cong \mathbb{Q}^b.$$

Замечание. Аналогичные простые формулировки и доказательства имеют остальные *формулы универсальных коэффициентов*, выражающие когомологии с коэффициентами в $\mathbb{Z}$, $\mathbb{Z}_p$ и $\mathbb{Q}$ через гомологии с коэффициентами в $\mathbb{Z}$. Чтобы сделать все эти простые и полезнейшие результаты менее доступными, их обычно формулируют и доказывают на языке абстрактных тензорных, периодических и Ext-произведений. Этот язык (как и более экзотические коэффициенты) создавался (Бокштейном) для изучения обобщений примера Понтрягина двумерных компактов A и B с трехмерным произведением $A \times B$.

15. (a) *Последовательность Бокштейна*

$$\ldots \to H_{k+1}(X;\mathbb{Z}_2) \xrightarrow{\beta_k} H_k(X;\mathbb{Z}) \xrightarrow{2} H_k(X;\mathbb{Z}) \xrightarrow{\rho_2} H_k(X;\mathbb{Z}_2) \to \ldots$$

точна. Здесь 2 — умножение на 2, ρ_2 — приведение по модулю 2, а *гомоморфизм Бокштейна* β_k определяется так. Если $\alpha = a_1 + \ldots + a_s$ — цикл по модулю 2, где $a_1, \ldots, a_s$ являются $(k+1)$-симплексами некоторой триангуляции, то возьмем целочисленную цепь $\widetilde{a} = a_1 + \ldots + a_s$, положим $\beta_k[a] := [\frac{1}{2}\partial\widetilde{a}]$ и проверим корректность.

(b) Докажите формулы универсальных коэффициентов для $p = 2$.

(c) То же для произвольного p.

(d) То же для коэффициентов $\mathbb{Q}$.

16. Докажите следующий результат.

Формула Кюннета. *Для простого* p

$$H_k(X \times Y;\mathbb{Z}_p) \cong \oplus_{i=0}^{k} H_i(X;\mathbb{Z}_p) \otimes H_{k-i}(Y;\mathbb{Z}_p).$$

ДВОЙСТВЕННОСТЬ ПУАНКАРЕ.

Простая часть.

Теорема двойственности Пуанкаре по модулю 2 (простая часть). *Для замкнутого* n*-многообразия* N *выполнено* $H_i(N;\mathbb{Z}_2) \cong H_{n-i}(N;\mathbb{Z}_2)$.

Для доказательства этой теоремы при $n = 3$ (и для дальнейшего) возьмем двойственную к T триангуляцию T^* 3-многообразия N. Тогда количество i-мерных клеток в T^* равно $c_{i*} = c_{3-i}$. Используя T^* вместо T, определим аналогично вышеизложенному группы C_{i*} и граничные отображения $\partial_{i*} : C_{i+1,*} \to C_{i*}$.

Доказательство теоремы при $n = 3$. Имеем

$$\dim H_1(N) = \dim \partial_0^{-1}(0) - \dim \partial_1(C_2) = c_1 - \operatorname{rk}\partial_0 - \operatorname{rk}\partial_1 \overset{1}{=}$$

$$\overset{1}{=} c_{1*} - \operatorname{rk}\partial_{0*} - \operatorname{rk}\partial_{1*} \overset{2}{=} c_2 - \operatorname{rk}\partial_1 - \operatorname{rk}\partial_2 \overset{3}{=} \dim H_2(N).$$

Равенство (1) справедливо по теореме инвариантности групп гомологий. Равенство (2) верно, поскольку $\alpha \subset \beta$ тогда и только тогда, когда $\beta^* \subset \alpha^*$, а значит, матрицы операторов ∂_{0*}, ∂_{1*} и ∂_{2*} в стандартных базисах групп C_{i*} получаются *транспонированием* из матриц операторов ∂_2, ∂_1 и ∂_0 в стандартных базисах групп C_i. Равенство (3) доказывается аналогично первым двум. □

1. Докажите теорему для произвольного n.

Теорема двойственности Пуанкаре (простая часть). *Для замкнутого ориентируемого n-многообразия N*

свободные части групп $H_i(N;\mathbb{Z})$ и $H_{n-i}(N;\mathbb{Z})$ изоморфны;

кручения групп $H_i(N;\mathbb{Z})$ и $H_{n-i-1}(N;\mathbb{Z})$ изоморфны.

2. Докажите теорему

(a) для $n=3$ (про кручение утверждается только то, что кручение группы $H_2(N;\mathbb{Z})$ нулевое).

(b) для произвольного n.

Указание. Аналогично приведенному рассуждению [ST04, §69].

Заметим, что иногда (с целью усложнения доказательства) простую часть теоремы двойственности Пуанкаре доказывают с использованием индекса пересечения.

Сложная часть по модулю 2.

Впрочем, пересечения действительно крайне полезны: например, для сложной части теоремы двойственности Пуанкаре. Следующие определение, задачи и теорема интересны даже для $n=3$.

Определение формы пересечений

$$\cap : H_i(N) \times H_{n-i}(N) \to \mathbb{Z}_2$$

для замкнутого n-многообразия N. (Аналогично пункту 'форма пересечений' главы 2.) Для i-мерной грани x схемы T и $(n-i)$-мерной грани y двойственной схемы T^* положим $x \cap y = 1$, если x и y двойственны, и $x \cap y = 0$ иначе. Продолжим это умножение до билинейной формы $C_i \times C_{n-i,*} \to \mathbb{Z}_2$. Тогда формула $[a] \cap [b] := a \cap b$ корректно задает форму пересечений ввиду теоремы инвариантности групп гомологий и следующей задачи.

3. (a) Пересечение цикла и границы всегда нулевое.

(b) Определение формы пересечений корректно.

(c) $(\alpha+\beta)\cap\gamma = \alpha\cap\gamma + \beta\cap\gamma$ и $\alpha\cap(\beta+\gamma) = \alpha\cap\beta + \alpha\cap\gamma$, т.е. пересечение на гомологиях билинейно.

Теорема двойственности Пуанкаре по модулю 2 (сложная часть). *Для замкнутого n-многообразия N форма пересечений по модулю 2 невырождена, т.е. для любого $\alpha \in H_i(N) - \{0\}$ существует такой $\beta \in H_{n-i}(N)$, что $\alpha \cap \beta = 1 \in \mathbb{Z}_2$.*

Набросок первого доказательства сложной части по модулю 2 для $n=3$. Поскольку уже доказано, что $H_1(N) \cong H_2(N)$, то достаточно доказать второе утверждение только для $i=2$.

Возьмем 2-цикл b, представляющий класс β. К каждому ребру схемы примыкает четное число граней цикла b. 'Растащим' эти грани на пары, получим 2-цикл в N, гомологичный 2-циклу b и представленный 2-полиэдром, каждая точка которого имеет (в этом 2-полиэдре) окрестность, гомеоморфную конусу над несвязным объединением окружностей. Тех точек, для которых окружностей больше одной, конечное число. Для каждой из таких точек 'растащим' конусы, отвечающие разным окружностям. Получим 2-цикл b'', гомологичный 2-циклу b и представленный несамопересекающимся связным замкнутым 2-подмногообразием M в N (не обязательно ориентируемым). Это подмногообразие является подкомплексом в некотором измельчении схемы T.

Подмногообразие M не разбивает многообразие N. (Действительно, иначе M было бы границей каждой компоненты связности дополнения $N-M$, а значит, было бы гомологично нулю.)

Возьмем маленький отрезок, трансверсально пересекающий 2-многообразие M ровно в одной точке. Так как M не разбивает N, то концы этого отрезка можно соединить ломаной вне M. Объединение этих ломаной и отрезка является 1-циклом,

трансверсально пересекающим M ровно в одной точке. Гомологический класс этого 1-цикла является искомым. $\square$

4. (a) Восполните детали в приведенном наброске.

(b) Выведите следствие двойственности Пуанкаре, использованное в главе 3 при доказательстве теоремы Штифеля о параллелизуемости 3-многообразий.

(c) Докажите сложную часть теоремы двойственности Пуанкаре по модулю 2 для $i = 1$.

Идея приведенного выше простого доказательства не годится для многомерных обобщений сложной части теоремы двойственности Пуанкаре. Приведем в виде цикла задач план другого (чуть более сложного) доказательства, которое годится и для многомерного случая (см. детали в [ST04, §71]).

5. (a) Пусть базис $x_1, \dots, x_{c_1}$ группы C_1 получен из стандартного базиса этой группы оператором A. Базис $y_1, \dots, y_{c_1}$ группы C_{2*} получен из стандартного базиса этой группы оператором $(A^{-1})^*$ тогда и только тогда, когда $x_i \cap y_j = \delta_{ij}$.

Указание. При преобразованиях базисов в C_1 и C_{2*}, заданных матрицами A и M, матрица B билинейной формы переходит в $A^T BM$.

(b) Пусть $x_1, \dots, x_{c_1}$ и $y_1, \dots, y_{c_1}$ — такие базисы групп C_1 и C_{2*}, что $x_i \cap y_j = \delta_{ij}$. Тогда матрицы операторов ∂_0 и ∂_2^* получаютя друг из друга транспонированием.

(c) Пусть $x_1, \dots, x_{c_1}$ — такой базис группы C_1, что

$x_1, \dots, x_{b_1}$ — базис группы 1-границ и $x_1, \dots, x_{z_1}$ — базис группы 1-циклов.

Возьмем такой базис $y_1, \dots, y_{c_1}$ группы C_{2*}, что $x_i \cap y_j = \delta_{ij}$. Тогда

$y_{c_1 - z_1 + 1}, \dots, y_{c_1}$ — базис группы 2-циклов и $y_{c_1 - b_1 + 1}, \dots, y_{c_1}$ — базис группы 2-границ.

(d) для любого базиса $\alpha_1, \dots, \alpha_k$ группы $H_1(N)$ существует базис $\beta_1, \dots, \beta_k$ группы $H_2(N)$, для которого $\alpha_i \cap \beta_j = \delta_{ij}$.

(e) Докажите сложную часть теоремы двойственности Пуанкаре для $n = 3$ и $i = 1$.

(f) То же для $n = 4$ и $i = 2$.

(g) То же для общего случая.

6. (a) Для n-многообразия N с краем билинейное умножение $\cap : H_i(N) \times H_{n-i}(N) \to \mathbb{Z}_2$ определено корректно формулой $[a] \cap [b] := a \cap b$, но может быть вырожденным.

(b) Для листа Мебиуса N формула $[a] \cap [b] := a \cap b$ не определяет корректно умножения $\cap : H_1(N, \partial N) \times H_1(N, \partial N) \to \mathbb{Z}_2$.

(c) Для многообразия N с краем определите *форму пересечений по модулю 2*

$$\cap : H_i(N, \partial N) \times H_{n-i}(N) \to \mathbb{Z}_2.$$

(d) Докажите следующий результат.

Теорема двойственности Лефшеца по модулю 2. *Для (компактного) n-многообразия N с краем $H_i(N) \cong H_{n-i}(N, \partial N)$.*

Более того, форма пересечений по модулю 2 невырождена.

7. Для n-многообразия N с краем (возможно, пустым) формула $[a] \cap [b] := a \cap b$ корректно определяет билинейные умножения

$$H_i(N) \times H_j(N) \to H_{i+j-n}(N), \quad H_i(N) \times H_j(N, \partial N) \to H_{i+j-n}(N)$$
$$\text{и} \quad H_i(N, \partial N) \times H_j(N, \partial N) \to H_{i+j-n}(N, \partial N).$$

Сложная часть с целыми коэффициентами (набросок).

Теорема двойственности Пуанкаре (сложная часть). *Для замкнутого ориентируемого n-многообразия N*

целочисленная форма пересечений

$$\cap : H_i(N; \mathbb{Z}) \times H_{n-i}(N; \mathbb{Z}) \to \mathbb{Z}$$

невырождена и унимодулярна, т.е. для любого примитивного (т.е. не делящегося на целое число, большее 1) элемента $\alpha \in H_i(N;\mathbb{Z})$ существует такой $\beta \in H_{n-i}(N;\mathbb{Z})$, что $\alpha \cap \beta = 1 \in \mathbb{Z}$;

форма зацеплений

$$\mathrm{lk} : \operatorname{Tors} H_i(N;\mathbb{Z}) \times \operatorname{Tors} H_{n-1-i}(N;\mathbb{Z}) \to \mathbb{Q}/\mathbb{Z}$$

невырождена.

8. (a) Определите целочисленную форму пересечений и докажите первую половину сложной части теоремы двойственности Пуанкаре.

(b) Форма зацеплений корректно определена формулой

$$\mathrm{lk}([a],[b]) := [\frac{a \cap b'}{n}], \quad \text{где} \quad \partial b' = nb.$$

(c) Докажите вторую половину сложной части теоремы двойственности Пуанкаре. См. детали в [ST04, §69, §71, Предложение 2].

(c) Докажите следующий результат.

Теорема двойственности Лефшеца. *Для (компактного) ориентируемого n-многообразия N с краем свободные части групп $H_i(N;\mathbb{Z})$ и $H_{n-i}(N,\partial N;\mathbb{Z})$ изоморфны; кручения групп $H_i(N;\mathbb{Z})$ и $H_{n-i-1}(N,\partial N;\mathbb{Z})$ изоморфны.*

Более того, целочисленная форма пересечений невырождена и унимодулярна, а форма зацеплений

$$\mathrm{lk} : \operatorname{Tors} H_i(N;\mathbb{Z}) \times \operatorname{Tors} H_{n-1-i}(N,\partial N;\mathbb{Z}) \to \mathbb{Q}/\mathbb{Z}$$

невырождена.

Надеюсь, следующее шутливое замечание будет полезно начинающему. Сложную часть теоремы двойственности Пуанкаре часто либо не доказывают (в [FF89] теорема 6 в §17 на стр. 148 названа очевидной), либо доказывают с использованием когомологий и формулы универсальных коэффициентов (с целью усложнения доказательства). Когомологии действительно полезны при работе с дифференциальными формами, при изучении алгебраической геометрии или гомотопической топологии произвольных комплексов — там естественно возникают и применяются именно когомологии, а не гомологии. А во многих учебниках и лекционных курсах *когомологии многообразий* (и *изоморфизм Пуанкаре*) вводятся намного раньше тех проблем, для решения которых они необходимы. В таких ситуациях когомогогии применяются для усложнения доказательств (которые прозрачны, если использовать только гомологии), а также чтобы дать возможность студентам почаще допускать ошибки (что гораздо легче сделать, если обозначать канонически изоморфные группы по-разному).

Реализация циклов подмногообразиями (набросок).

Приведем план наглядного изложения простейших результатов о гомотопической классификации отображений многообразий (и их следствий о реализуемости гомологических классов подмногообразиями).

9. Пусть N — замкнутое n-многообразие.

(a) При $n \geqslant 3$ любой гомологический класс по модулю 2 размерности 1 реализуется вложенной окружностью, и гомологичность по модулю 2 между окружностями реализуется 2-подмногообразием многообразия $N \times I$.

(b) При $n \geqslant 5$ любой гомологический класс по модулю 2 размерности 2 реализуется 2-подмногообразием (естественно, замкнутым), и гомологичность по модулю 2 между 2-подмногообразиями реализуется 3-подмногообразием (естественно, с краем) многообразия $N \times I$.

10. Пусть N — замкнутое ориентируемое n-многообразие.

(a) Сформулируйте и докажите аналоги предыдущей задачи.

(b) Отображение

$$[N; S^1] \to H_{n-1}(N; \mathbb{Z}), \quad [f] \mapsto [f^{-1}(x)],$$

ставящее в соответствие гомотопическому классу отображения $f : N \to S^1$ гомологический класс прообраза $f^{-1}(x)$ регулярного значения, корректно определено.

(c) Для любого $y \in H_{n-1}(N; \mathbb{Z})$ существует и единственно (с точностью до гомотопии) отображение $f : N \to S^1$, для которого гомоморфизм $f_* : H_1(N) \to H_1(S^1) \cong \mathbb{Z}$ задается формулой $f_*(a) = a \cap y$.

(d) Отображения из предыдущих пунктов являются взаимно обратными биекциями $[N; S^1] \leftrightarrow H_{n-1}(N; \mathbb{Z})$.

(e) Любой целочисленный гомологический класс коразмерности 1 реализуется ориентируемым подмногообразием, и целочисленная гомологичность между ориентируемыми подмногообразиями коразмерности 1 реализуется ориентируемым подмногообразием многообразия $N \times I$.

11. Пусть N — замкнутое ориентируемое n-многообразие.

(a) Отображение

$$[N; \mathbb{C}P^n] \to H_{n-2}(N; \mathbb{Z}), \quad [f] \mapsto [f^{-1}(\mathbb{C}P^{n-1})]$$

ставящее в соответствие гомотопическому классу отображения $f : N \to \mathbb{C}P^n$, трансверсального вдоль $\mathbb{C}P^{n-1} \subset \mathbb{C}P^n$, гомологический класс прообраза $f^{-1}(\mathbb{C}P^{n-1})$, корректно определено и является биекцией.

(b) Любой целочисленный гомологический класс коразмерности 2 реализуется ориентируемым подмногообразием, и целочисленная гомологичность между ориентируемыми подмногообразиями коразмерности 2 реализуется реализуется ориентируемым подмногообразием многообразия $N \times I$.

(c) Если $n \leqslant 5$, то любой целочисленный класс гомологий с целыми коэффициентами реализуется ориентированным подмногообразием.

12. Пусть N — замкнутое n-многообразие.

(a) Отображение

$$[N; \mathbb{R}P^{n+1}] \to H_{n-1}(N), \quad [f] \mapsto [f^{-1}(\mathbb{R}P^n)]$$

ставящее в соответствие гомотопическому классу отображения $f : N \to \mathbb{R}P^{n+1}$, трансверсального вдоль $\mathbb{R}P^n \subset \mathbb{R}P^{n+1}$, гомологический класс прообраза $f^{-1}(\mathbb{R}P^n)$, корректно определено и является биекцией.

(b) Любой гомологический класс по модулю 2 коразмерности 1 реализуется подмногообразием, и гомологичность по модулю 2 между подмногообразиями коразмерности 1 реализуется подмногообразием многообразия $N \times I$.

(c)* При $n \leqslant 4$ любой гомологический класс по модулю 2 реализуется подмногообразием, но не любая гомологичность по модулю 2 между 2-подмногообразиями реализуется 3-подмногообразием в $N \times I$ [Ki89, II.1].

13. Пусть N — замкнутое ориентируемое n-многообразие.

(a) Любое ориентируемое 2-многообразие, кроме сферы, ретрагируется на некоторую окружность.

(b) *Теорема Хопфа.* N ретрагируется на окружность $\Sigma \subset N$ тогда и только тогда, когда $[\Sigma] \subset H_1(N; \mathbb{Z})$ *примитивен*, т.е. не делится ни на одно число, отличное от ± 1.

Указание: докажите, что оба этих условия равносильны наличию $(n-1)$-подмногообразия в N, трансверсально пересекающего Σ ровно в одной точке.

(c) N ретрагируется на некоторую окружность тогда и только тогда, когда группа $H_1(N; \mathbb{Z})$ бесконечна (А. Т. Фоменко и И. Н. Шнурников).

Теорема Тома. *Некоторое кратное любого k-мерного целочисленного гомологического класса замкнутого ориентируемого n-многообразия реализуется отображением ориентируемого многообразия; при $k < n/2$ это отображение можно считать вложением* [DNF84, §27, Следствие 3].

ДВОЙСТВЕННОСТЬ АЛЕКСАНДЕРА-ПОНТРЯГИНА

Коэффициент зацепления.

Формально, этот пункт не используется далее.

Определение изотопности напомнено в начале главы 7.

Теорема. *Существуют два не изотопных зацепления $S^n \sqcup S^n$ в $\mathbb{R}^{2n+1}$ (т.е. вложения многообразия $N = S^n \sqcup S^n$ в $\mathbb{R}^{2n+1}$).*

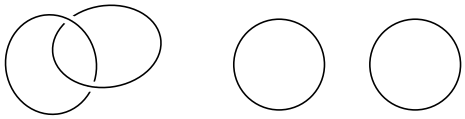

(a) (b)

Рис. 51: Зацепление Хопфа

Для $n = 1$ нужные зацепления легко построить явно, рис. 51. Зацепление f_1 образовано окружностями, зацепленные как звенья цепи. Зацепление f_0 образовано парой непересекающихся окружностей, лежащих в одной плоскости.

Эта теорема интересна даже для случая $n = 1$, для которого мы ее и докажем (доказательство общего случая аналогично). Доказательство основано на понятии коэффициента зацепления, которое является одним из важнейших в топологии. Здесь мы излагаем только то, что нужно для теоремы, и рекомендуем читателю обратиться к [BE82] за бóльшим.

Определение коэффициента зацепления для вложения $f : S^1_1 \sqcup S^1_2 \to \mathbb{R}^3$. Рассмотрим отображение $g : D^2 \to \mathbb{R}^3$ общего положения, сужением которого на границу является первая компонента зацепления, т.е. $g|_{\partial D^2} = f|_{S^1_1}$. (Можно взять $g = conf|_{S^1_1}$.) Тогда образ $g(D^2)$ пересекает вторую компоненту $f(S^1_2)$ зацепления в конечном числе точек. Ввиду общности положения можно считать, что эти точки не лежат на (одномерном) множестве самопересечений отображения g. Назовем *коэффициентом зацепления по модулю 2* зацепления f количество точек пересечения gD^2 с $f(S^1_2)$ по модулю 2:

$$\mathrm{lk}(f) := \#(g(D^2) \cap f(S^1_2)) \mod 2.$$

1. (a) Определение коэффициента зацепления корректно, т.е. $\mathrm{lk}(f)$ не зависит от выбора отображения $g : D^2 \to \mathbb{R}^3$ общего положения, сужением которого на границу является первая компонента зацепления.

Указание. Рассмотрим два (несамопересекающихся) диска общего положения D^2 и $\overline{D}^2$ такие, что $\partial D^2 = \partial \overline{D}^2 = f(S^1_1)$ и объединение $D^2 \cup \overline{D}^2$ является несамопересекающейся сферой общего положения. Тогда независимость вытекает из того, что окружность $f(S^1_2)$ пересекает эту сферу в четном числе точек.

(b) Коэффициент зацепления инвариантен (т.е. не меняется) при изотопии зацепления f.

Указание. Пусть f_t — изотопия вложения f. Поскольку отображение $\mathrm{lk}(f_t)$ непрерывно и принимает значения в $\{0, 1\}$, то оно постоянно.

(c) Докажите теорему. Указание: утверждение теоремы следует из того, что $\mathrm{lk}(f_0) = 0$, $\mathrm{lk}(f_1) = 1$ и $\mathrm{lk}(f)$ не меняется при изотопии.

2. (a) Найдите $\mathrm{lk}(f)$ по проекции вложения на плоскость.

(b) Определите аналогично *целочисленный* коэффициент зацепления $\mathrm{lk}(f) \in \mathbb{Z}$.

(c) Определите аналогично коэффициент зацепления $\mathrm{lk}(f) \in \mathbb{Z}$ для произвольного зацепления f (сужения которого на компоненты могут быть заузлены).

(d) Этот инвариант не полон.

3.* Обозначим через $E^{2n+1}(N)$ множество вложений $N \to \mathbb{R}^{2n+1}$ с точность до изотопии.

(a) Определите коэффициент зацепления $\mathrm{lk}(f) \in \mathbb{Z}$ для вложения $f : S_1^n \sqcup S_2^n \to \mathbb{R}^{2n+1}$.

(b) Отображение $\mathrm{lk} : E^{2n+1}(S_1^n \sqcup S_2^n) \to \mathbb{Z}$ является биекцией при $n \geqslant 2$.

(c) Для $n \geqslant 2$ существует биекция $E^{2n+1}(S_1^n \sqcup S_2^n \sqcup \ldots \sqcup S_k^n) \to \mathbb{Z}^{\frac{k(k-1)}{2}}$.

Двойственность Александера-Понтрягина.

В этом и следующем пунктах коэффициенты групп гомологий, если они не указаны, могут быть произвольными.

Теорема о прообразе. *Для замкнутого гладкого ориентируемого n-подмногообразия $N \subset S^m$ выполнено $H_s(N) \cong H_{s+m-n-1}(S^m - N)$.*

Указанный изоморфизм легко построить. Рассмотрим $(s+n-m+1)$-цикл $x \subset N$ (симплициальный цикл в некоторой гладкой триангуляции, или погруженное подмногообразие). Концы нормальных (к N) векторов длины ε, начала которых пробегают x, образуют подмножество в $S^m - N$, обозначаемое $AD(x) = AD_\varepsilon(x)$. При достаточно малом ε множество $AD(x)$ является s-циклом в $S^m - N$, и AD индуцирует изоморфизм $AD : H_{s+n-m+1}(N) \to H_s(S^m - N)$.

Обозначим через ON множество концов нормальных векторов длины не более ε. Положим $C_N := S^m - \mathrm{Int}\, ON$. Эти пространства являются m-мерными многообразиями с общим краем (край образован концами векторов длины ровно ε). Обозначим через $p : ON \to N$ отображение, ставящее в соответствие точке нормального вектора его начало (этим отображение корректно определено при достаточно малых ε).

Отображение AD является композицией

$$H_{s+n-m+1}(N) \overset{p|^!_{\partial C_N}}{\to} H_s(\partial C_N) \overset{i_*}{\to} H_s(_N)$$

гомоморфизмов включения и прообраза. Вооще говоря, ни один из этих гомоморфизмов не является изоморфизмом.

Теорема о прообразе следует из того, что AD есть композиция изоморфизмов прообраза (Тома), вырезания и граничного:

$$H_{s+n-m+1}(N) \xrightarrow{p^!} H_{s+1}(ON, \partial ON) \xrightarrow{i_*} H_{s+1}(S^m, C_N) \xrightarrow{\partial} H_s(C_N).$$

4. (a) Дайте строгое определение отображения $p^!$.

(b) Докажите, что $p^!$ и ∂ — изоморфизмы (в нашей ситуации).

(Изоморфизм AD совпадает с композицией "обычной"двойственности Александера [Pr05] и изоморфизма Пуанкаре. Действительно, $AD(x)$ является границей $(s+1)$-цепи $p^{-1}(x)$, пересечение которой в S^m с любым $(n-1-(s+n-m+1))$-циклом из N совпадает с пересечением в N этого цикла и x.)

Легко построить изоморфизм AD^{-1} (и тем самым получить еще одно доказательство теоремы о прообразе). Для s-цикла a в C_N возьмем $(s+1)$-цепь a' общего положения в S^m, для которой $\partial a' = a$. (Формально, пусть N — подкомплекс сферы S^m в некоторой триангуляции, тогда цепь a' берем в двойственной триангуляции.) Тогда пересечение $a' \cap N$ будет $(s+1+n-m)$-циклом в N. Положим $AD^{-1}[a] = [a' \cap N]$.

5. (a) Это определение осмысленно, т.е. $\partial(a' \cap N) = 0$.

(b) Это определение корректно, т.е. не зависит от выбора a и a'.

(c) Построенное отображение AD^{-1} действительно обратно к AD и действительно является изоморфизмом.

6. (a) Для гладкого n-подмногообразия $N \subset S^m$ с краем выполнено $H_s(N, \partial N) \cong H_{s+m-n-1}(S^m - N)$.

(b) Теорема о прообразе верна для неориентируемых многообразий с коэффициентами $\mathbb{Z}_2$.

Для подполиэдра $N \subset S^m$ обозначим через ON его *регулярную* (т.е. являющуюся его утолщением) окрестность в S^m. Положим $C_N := S^m - \operatorname{Int} ON$. Обозначим через $p : ON \to N$ ретракцию.

Теорема двойственности Александера. *Для подполиэдра $N \subset S^m$ выполнено $H_s(N) \cong H_{s+1}(C_N, \partial C_N)$.*

Более точно, изоморфизмом является композиция

$$H_{s+1}(C_N, \partial C_N) \xrightarrow{\partial} H_s(\partial C_N) \xrightarrow{p_*} H_s(N).$$

Теорема следует из того, что композиция $p_*\partial$ обратна следующей:

$$H_s(N) \cong H_s(ON) \cong H_{s+1}(S^m, ON) \cong H_{s+1}(C_N, \partial C_N).$$

Здесь первый изоморфизм получается ввиду гомотопической инвариантности гомологий, второй из точной последовательности пары (S^m, ON), а третий из теоремы вырезания.

Применяя двойственность Лефшеца к m-многообразию C_N с краем, получаем следующие следствия.

Следствие. *Для подполиэдра $N \subset S^m$ выполнено*

(a) $H_s(N; \mathbb{Z}_2) \cong H_{m-s-1}(S^m - N; \mathbb{Z}_2)$.

(b) свободные части групп $H_s(N; \mathbb{Z})$ и $H_{m-s-1}(S^m - N; \mathbb{Z})$ изоморфны;

(c) кручения групп $H_s(N; \mathbb{Z})$ и $H_{m-s-2}(S^m - N; \mathbb{Z})$ изоморфны.

Теорема о прообразе вытекает из теоремы двойственности Александера, если взять $N = C_X$ и применить изоморфизм Тома $p^! : H_{s+1}(OX, \partial OX) \to H_{s+1+n-m}(X)$.

7. Для многообразий N изоморфизмы Александера $p_*\partial$ и $i_*p|^!_{\partial C_N}$ 'не коммутируют': для вложения $\xi : N \to \partial C_N$ вообще говоря, $i_*p|^!_{\partial C_N}\xi^!\partial \neq i_*\xi_*p_*\partial$ (рассмотрите, например, стандартную окружность $N \subset \mathbb{R}^3$).

В этом смысле для случая многообразий имеется *две разные* двойственности Александера $p_*\partial$ и $i_*p|^!_{\partial C_N}$.

Теорема Александера является 'простой частью' двойственности Александера-Понтрягина (ср. с 'простой частью' двойственности Пуанкаре). 'Сложная часть' была открыта Л. С. Понтрягиным около 1930 г. (это было одним из первых его научных достижений).

Теорема двойственности Понтрягина. *Для подполиэдра $N \subset S^m$*

форма зацеплений

$$\operatorname{lk} : H_s(N; \mathbb{Z}) \times H_{m-s-1}(S^m - N; \mathbb{Z}) \to \mathbb{Z}$$

невырождена и унимодулярна.

форма вторичных зацеплений

$$\operatorname{lk} : TorsH_s(N; \mathbb{Z}) \times TorsH_{m-s-2}(S^m - N; \mathbb{Z}) \to \mathbb{Q}/\mathbb{Z}$$

невырождена.

Для $(m-s-1)$-цикла b в $S^m - N$ возьмем $(m-s)$-цепь b' общего положения в S^m, для которой $\partial b' = b$. (Формально, пусть N — подкомплекс сферы S^m в некоторой триангуляции, тогда цикл b' берем в двойственной триангуляции.) Для s-цикла a в N положим $\mathrm{lk}([a],[b]) := a \cap b'$.

7. (a) Это определение корректно.

(b) Докажите первую часть теоремы двойственности Понтрягина.

(c) Форма вторичных зацеплений корректно определена формулой

$$\mathrm{lk}([a],[b]) := [\frac{a' \cap b'}{n}], \quad \text{где} \quad \partial a' = na.$$

(d) Докажите вторую часть теоремы двойственности Понтрягина.

Применения двойственности Александера.

8. (a) Если полиэдр N вложим в S^m, то $H_m(N) = 0$.

(b) Для подполиэдра $N \subset S^m$ выполнено $H_i(\partial C_N) \cong H_i(N) \oplus H_i(S^m - N)$. Указание. Примените теорему о прообразе или последовательность Майера-Виеториса.

(c) $\mathbb{R}P^3$ (и трехмерные линзовые пространства) не вложимо в S^4.

(d) $\mathbb{R}P^n$ не вложимо в S^{n+1} для $n \neq 4k+1$.

(e) Если $2l$-многообразие N вложимо в S^{2l+1}, то оно ориентируемо и его эйлерова характеристика четна (т.е. $\mathrm{rk}\, H_l(N;\mathbb{Z})$ или l-е число Бетти многообразия N четны).

(f) Если $(2l+1)$-многообразие N вложимо в S^{2l+2}, то оно ориентируемо и подгруппа кручения группы $H_l(N;\mathbb{Z})$ представима в виде прямой суммы $G \oplus G$ для некоторой группы G.

В (e) условие вложимости N в S^{2l+1} может быть заменено на более слабое: требуется всего лишь, чтобы N было краем некоторого ориентируемого $(2l+1)$-мерного многообразия (см. конец следующей главы). Пример $N = \mathbb{R}P^3$ показывает, что (f) таким образом ослабить нельзя.

Аналогично, изучая двойственность с учетом формы персесечений (или двойственность между *кольцами гомологий* многообразия $N \subset S^m$ и его дополнения $S^m - N$), можно получать необходимые условия на вложимость. Так Х. Хопф доказал в 1940, что $\mathbb{R}P^n$ не вложимо в S^{n+1} (даже для $n = 4k+1$).

Теорема Хопфа о вложении. *Если замкнутое связное n-многообразие N вложимо в S^{n+1}, то существует такой набор подгрупп $A_s, B_s \subset H_s(N;\mathbb{Z}_2)$ для $0 < s < n$, что $A_s \cong B_s$, $H_s(N;\mathbb{Z}_2) \cong A_s \oplus B_s$ и сужения формы пересечений на $A_s \times A_{n-s}$ и на $B_s \times B_{n-s}$ нулевые.*

Набросок доказательства. Пусть $N \subset S^{n+1}$. Обозначим через A и B замыкания компонент дополнения $S^{n+1} - N$. Будем опускать коэффициенты $\mathbb{Z}_2$. Возьмем в качестве A_s образ композиции

$$H_s(A) \to H_{s+1}(B, \partial B) \to H_s(\partial B) = H_s(N)$$

двойственности Александера и граничного гомоморфизма. Определим аналогично B_s.

Применяя теорему о прообразе или последовательность Майера-Виеториса, получаем, что $H_s(N) \cong A_s \oplus B_s$. По следствию из двойственности Александера получаем $A_s \cong B_s$ (только для этого нужны коэффициенты $\mathbb{Z}_2$). Так как форма пересечений сферы S^{n+1} нулевая, то форма пересечений $H_{n-s}(A) \times H_s(A) \to \mathbb{Z}_2$ нулевая. Значит, сужение формы пересечений многообразия N на $A_{n-s} \times A_s$ нулевое. $\square$

Согласно двойственности Пуанкаре, в обозначениях теоремы Хопфа о вложении $A_s \cong A_{n-s}$ и сужение формы пересечений на $A_{n-s} \times B_s$ невырождено, ср. [SE62, III, 2.1].

9. (a) Сформулируйте и докажите аналого теоремы Хопфа о вложении для целых коэффициентов и свободной части.

(b) В предположениях 8f форма зацепления многообразия N обращается в ноль на каждом из двух прямых слагаемых G [GS99, Exercise 4.5.12.d].

(c) Сформулируйте и докажите аналого теоремы Хопфа о вложении для целых коэффициентов и кручения.

(d) $\mathbb{R}P^3 \times \mathbb{R}P^3$ не вложимо в $\mathbb{R}^7$ [ARS01].

(e) $(\mathbb{R}P^3)^r$ не вложимо в $\mathbb{R}^{3r+1}$ [ARS01].

10. (a) Произведение тора с дыркой на окружность не вложимо в $\mathbb{R}^3$.

(b) $K_5 \times S^1$ не вложимо в $\mathbb{R}^3$.

(c) Какие прямые произведения графов вложимы в $\mathbb{R}^3$ [Sk03]?

(d) А S^1-расслоения над графами?

(e)* А T-расслоения над графами (определение аналогично определению I- и S^1-расслоений в пункте 'простейшие расслоения' главы 5)?

(f)* Какие I-расслоения над 2-полиэдрами вложимы в $\mathbb{R}^3$? А S^1-расслоения?

(g)* Какие косые произведения графов вложимы в $\mathbb{R}^3$?

ГЛАВА 5. ПРИМЕНЕНИЯ ХАРАКТЕРИСТИЧЕСКИХ КЛАССОВ

He looked at the snail. Can it see me? he wondered. Then he felt, how little I know, and how little it is possible to know; and with this thought he experienced a moment of joy.
I. Murdoch, The Flight From The Enchanter. [11]

ВВЕДЕНИЕ И ОСНОВНЫЕ РЕЗУЛЬТАТЫ

В 1935 году Хопф рассказал о результатах Штифеля о системах касательных векторных полей на Международной топологической конференции в Москве. Там выяснилось, что Хасслер Уитни около 1934 г. тоже естественно пришел к определению характеристических классов, изучая классическую проблему топологии о вложимости и погружаемости многообразий.

Теперь мы работаем в гладкой категории, т.е. все многообразия, векторные поля и отображения предполагаются гладкими. Многообразия предполагаются компактными.

Отображение $f : N \to \mathbb{R}^m$ многообразия N называется *погружением*, если $df(x)$ невырожден для любой точки $x \in N$. Погружение $f : N \to \mathbb{R}^m$ называется *вложением*, если оно инъективно.

Уитни начал с доказательства вложимости n-многообразий в $\mathbb{R}^{2n}$ (см. главу 7). Его построение препятствий к вложимости (n-многообразий в $\mathbb{R}^m$ при $m < 2n$) было основано на идее рассмотрении *окрестности* вложенного многообразия N. Уитни первый рассматривал взаимоотношение между $N \subset \mathbb{R}^m$ и его окрестностью в $\mathbb{R}^m$. Он создал теорию сферических расслоений и ввел так называемые классы Штифеля–Уитни $w_k \in H_{n-k}(N)$ и нормальные (двойственные) классы Штифеля–Уитни $\overline{w}_k \in H_{n-k}(N)$ гладкого n-многообразия N, которые с тех пор играют большую роль в топологии и дифференциальной геометрии. Используя свою теорию, Уитни доказал невложимость некоторых проективных пространств.

Теорема Уитни. *Если $\mathbb{R}P^n$ вложимо в $\mathbb{R}^m$ или погружаемо в $\mathbb{R}^{m-1}$, то $\binom{m}{n}$ четно.*

Следствие. *Если n есть степень двойки, то $\mathbb{R}P^n$ не погружаемо в $\mathbb{R}^{2n-2}$ и не вложимо в $\mathbb{R}^{2n-1}$.*

0. (a) Выведите Следствие из теоремы Уитни.

(b) Если $\mathbb{R}P^n$ вложимо в $\mathbb{R}^m$ или погружаемо в $\mathbb{R}^{m-1}$, то $\binom{i}{n}$ четно для любого $m \leqslant i \leqslant 2n$ (и даже $\binom{i}{s}$ четно для любых $1 \leqslant s \leqslant n$ и $m \leqslant i \leqslant 2s$, что вытекает из предыдущего и тождества Паскаля, а поэтому не дает новой информации).

Теорема Уитни для коразмерности 1. *Если $\mathbb{R}P^n$ погружаемо в $\mathbb{R}^{n+1}$, то либо $n+1$, либо $n+2$ являются степенями двойки.*

Позже было проделано много других конкретных вычислений, дающих интересные следствия.

Теорема Хефлигера-Хирша. *Пусть N — многообразие размерности $n \geqslant 3$. Если либо n не есть степень двойки, либо N ориентируемо, либо N незамкнуто, то N вложимо в $\mathbb{R}^{2n-1}$ и погружаемо в $\mathbb{R}^{2n-2}$ [RS99], [Sk08].*

[11] *Он посмотрел на улитку. 'Может ли она видеть меня?' задумался он. Тогда он почувствовал, как мало он знает, и как мало возможно знать; и эта мысль принесла ему радость. А. Мердок, Бегство от волшебника, пер. автора.*

Для $n = 3$ и $n = 4$ эта теорема была доказана позже и другими авторами, см. ссылки в [Sk08]. Теорему Хефлигера-Хирша обобщают замечательная теорема Коэна: *любое n-мерное многообразие погружаемо в* $\mathbb{R}^{2n-\alpha(n)}$ [Co85] (некоторые математики считают, что в ее доказательстве имеются пробелы) и гипотеза Масси: *любое n-мерное многообразие вложимо в* $\mathbb{R}^{2n+1-\alpha(n)}$.

В первом пункте первого параграфа мы строим препятствия Уитни к *вложимости*, формально не имеющего отношения к теории Штифеля. Построение этого препятствия более просто и будет проиллюстрировано на маломерном примере — доказательстве невложимости бутылки Кляйна в $\mathbb{R}^4$.

Второй пункт формально независим от первого. Там мы строим препятствие Уитни к *погружаемости* (аналогично теории Штифеля). Это построение не видно на маломерных примерах (первый нетривиальный пример: непогружаемость $\mathbb{R}P^4$ в $\mathbb{R}^6$).

Доказательство теоремы Уитни намечено во втором параграфе. А вот от доказательства теорема Хефлигера-Хирша мы сможем наметить только более простую часть (т.е. доказательство теоремы Масси из второго параграфа). Более сложная часть — обратная теорема Уитни о препятствии (которая верна лишь при некоторых дополнительных предположениях) [RS99], [Sk08].

При помощи характеристических классов были получены также первые блестящие достижения теории классификации многообразий, которые формулируются и обсуждаются в последнем параграфе этой главы. Замкнутые многообразия N_1 и N_2 называются *кобордантными*, если существует многообразие (*кобордизм*) с границей $N_1 \sqcup N_2$ (при этом одно из многообразий может быть пустым). Классификация многообразий с точностью до кобордизма была начата Понтрягиным в 1930-х в качестве первого шага к важным и трудным проблемам классификации *многообразий с точностью до гомеоморфизма* и классификации *оснащенных многообразий с точностью до оснащенного кобордизма* (см. главу 6). Завершена она была теоремой Рене Тома; этот результат вместе с обобщениями был удостоен Филдсовской медали 1952 г. С помощью теоремы Тома была получена формула Хирцебруха (связывающая сигнатуру формы пересечений с характеристическими классами). Она сделала возможной следующее открытие, а также дальнейшие результаты о классификации многообразий с точностью до *диффеоморфизма*.

Пример сферы Милнора. *Существует замкнутое 7-многообразие, гомотопически эквивалентное сфере S^7, но не диффеоморфное ей.*

ВЛОЖИМОСТЬ И ПОГРУЖАЕМОСТЬ МНОГООБРАЗИЙ

Препятствие Уитни к вложимости.

Кусочно-линейным вложением $f : N \to \mathbb{R}^m$ называется инъективное отображение, линейное в некоторой триангуляции.

Доказательство несуществования кусочно-линейного вложения бутылки Кляйна K в $\mathbb{R}^3$. Возьмем кусочно-линейное отображение $f : K \to \mathbb{R}^3$ общего положения (т.е. такое, что для некоторой триангуляции бутылки Кляйна K образы никаких четырех вершин не лежат в одной плоскости). Определим *множество самопересечений*

$$\Sigma(f) := \mathrm{Cl}\{x \in K \mid \#f^{-1}fx > 1\}.$$

1. (a) Если f — вложение, то $\Sigma(f) = \varnothing$.
(b) $\Sigma(f)$ — подграф данной триангуляции.
(c) $\Sigma(f)$ — цикл, то есть степень любой его вершины четна.

Возьмем теперь окружность S в K, которая при обычном представлении бутылки Клейна в виде квадрата со склеенными сторонами представляется каждой из параллельных сторон квадрата, склеивающихся без перекрутки. Эту окружность можно

считать подграфом *двойственной* триангуляции. Поэтому S пересекает $\Sigma(f)$ в конечном числе точек (и причем трансверсально). Определим *S-препятствие Уитни* как

$$w_f := \#(S \cap \Sigma(f)) \mod 2.$$

Невложимость бутылки Клейна в $\mathbb{R}^3$ вытекает теперь из пунктов 2a, 2b и 3d следующих задач. □

2. (a) Если f — вложение, то $w_f = 0$.

(b) Для стандартного отображения $f_0 : K \to \mathbb{R}^3$ выполнено $w_{f_0} = 1$.

3. Рассмотрим кусочно-линейную гомотопию $F : K \times I \to \mathbb{R}^3 \times I$ общего положения между $f = f_1$ и f_0 (т.е. такую гомотопию, для которой образы никаких пяти вершин триангуляции произведения $K \times I$ не лежат в одной трехмерной гиперплоскости). Определим $\Sigma(F)$ аналогично предыдущему.

(a) $\Sigma(f_i) \cap S = \Sigma(F) \cap (S \times i)$.

(b) $\Sigma(F) \cap (S \times I)$ — граф (вообще, $\Sigma(F)$ — 2-полиэдр).

(c) В этом графе вершины нечетной степени встречаются только на $S \times \{0, 1\}$ (вообще, $\partial[\Sigma(F)] = [\Sigma(f_0)] - [\Sigma(f_1)]$ и $\#\partial(\Sigma(F) \cap (S \times I)) \mod 2 = w(f_0) - w(f_1)$).

(d) w_f не зависит от f.

Заметим, что можно доказать невложимость бутылки Кляйна K в $\mathbb{R}^3$ с использованием многомерного аналога теоремы Жордана: *если бы бутылка Кляйна была бы вложена в $\mathbb{R}^3$, то разбивала бы $\mathbb{R}^3$*. При помощи этой идеи доказывается невложимость неориентируемых n-многообразий в $\mathbb{R}^{n+1}$, но не получается доказать невложимость n-многообразий в $\mathbb{R}^m$ для $m > n + 1$. Для последнего нужны препятствия к 'старшей ориентируемости', т.е. препятствия Уитни.

4. (a) Постройте препятствие Уитни к вложимости $\mathbb{R}P^2$ в $\mathbb{R}^3$ и докажите невложимость $\mathbb{R}P^2$ в $\mathbb{R}^3$.

(b) Постройте препятствие Уитни

$$\overline{W}_{m-n}(N) := [\Sigma(f)] \in H_{2n-m}(N, \mathbb{Z}_{(m-n)})$$

к вложимости n-многообразия N в $\mathbb{R}^m$ как гомологический класс множества самопересечений для отображения общего положения [Sk08, §2].

(c)* Докажите невложимость $\mathbb{R}P^4$ в $\mathbb{R}^7$. Указание: если не получается, то см. следующий пункт.

Нормальные классы Уитни.

Пусть $f : N \to \mathbb{R}^m$ — погружение замкнутого ориентируемого n-многообразия N. Аналогично параграфу 'векторные поля' можно определить *нормальный класс Эйлера* $\overline{W}_{m-n}(f) \in H_{2n-m}(N; \mathbb{Z})$ как препятствие к построению ненулевого нормального векторного поля (ср. пункт 'нормальные векторные поля'). Аналогично многомерной теореме Штифеля о препятствии можно определить *нормальный класс Штифеля-Уитни* $\overline{W}_k(f) \in H_{n-k}(N; \mathbb{Z}_{(k-1)})$ как препятствие к построению набора из $m - n + 1 - k$ линейно независимых нормальных векторных полей ($1 < k < m - n$). Напомним, что через $\mathbb{Z}_{(i)}$ обозначается группа $\mathbb{Z}$ для четного i и $\mathbb{Z}_2$ для нечетного i. Оказывается, что этот класс не зависит от выбора погружения f при фиксированном N и $m > n + k$, а поэтому обозначается $\overline{W}_k(N)$. А вот класс $\overline{W}_{m-n}(f)$ *может зависеть* от выбора погружения f: например, существуют вложения замкнутых неориентируемых 2-многообразий в $\mathbb{R}^4$ с разными классами Эйлера.

Приведение последнего класса по модулю два $\overline{w}_k(N) \in H_{n-k}(N; \mathbb{Z}_2)$ ($1 < k \leqslant m - n$) называется *нормальным классом Штифеля-Уитни* многообразия N (определите сами, что такое $\overline{w}_1(N) \in H_{n-1}(N; \mathbb{Z}_2)$).

Доказательство независимости $\overline{W}_k(f)$ от f при $k < m-n$. Возьмем два погружения $f : N \to \mathbb{R}^m$ и $g : N \to \mathbb{R}^p$. Можно считать, что $p = m$.

При $m \geqslant 2n+1$ по общему положению погружения f и g регулярно гомотопны (определение напомнено в пункте 'теорема Смейла-Хирша'). Отсюда $\overline{W}_k(f) = \overline{W}_k(g)$.

При $m < 2n+1$ обозначим через i включение $i : \mathbb{R}^m \subset \mathbb{R}^{2n+1}$. Тогда

$$\overline{W}_k(f) = \overline{W}_k(i \circ f) = \overline{W}_k(i \circ g) = \overline{W}_k(g).$$

Здесь достаточно доказать только первое равенство. Мы используем обозначения из доказательства многомерной теоремы Штифеля о препятствии (см. главу 3). Рассмотрим отображение $V_{m-n,m-n-k+1} \to V_{s+m-n,s+m-n-k+1}$, определенное добавлением s векторов. Тогда индуцированное отображение

$$\pi_{k-1}(V_{m-n,m-n-k+1}) \to \pi_{k-1}(V_{s+m-n,s+m-n-k+1})$$

является изоморфизмом (см. задачу 5 ниже). Поэтому препятствие $\overline{W}_k(f)$ равно препятствию $\overline{W}_k(i \circ f)$ к построению семейства из $s+m-n+1-k$ линейно независимых нормальных векторных полей для погружения $i \circ f$. □

5. Отображение $\pi_l(V_{u+l,u}) \to \pi_l(V_{u+l+1,u+1})$, индуцированное добавлением одного вектора, является изоморфизмом при $u > 1$ или четном l, и является эпиморфизмом $\mathbb{Z} \to \mathbb{Z}_2$ при $u = 1$ и нечетном l.

Указание. Рассмотрите точную последовательность расслоения $V_{u+l,u} \to V_{u+l+1,u+1} \to S^{u+l}$. Воспользуйтесь [Pr06, Теорема 11.4].

Другое доказательство (не использующее регулярной гомотопии, но зато использующее понятия касательного и нормального расслоений) приведено в следующем пункте. Заметим, что приведенный факт часто либо не доказывают (например, [FF89, доказательство Леммы 1 на стр. 178] неполно), либо доказывают очень сложно — с использованием теории расслоений и формулы Уитни-Ву [Pr06] (задача 6.a ниже).

Теорема Уитни о препятствии. *Пусть N — замкнутое ориентируемое n-многообразие.*

Если N погружаемо в $\mathbb{R}^m$, то $\overline{W}_s(N) = 0 \in H_{n-s}(N)$ при $s > m-n$.

Если же N вложимо в $\mathbb{R}^m$, то и $\overline{W}_{m-n}(N) = 0 \in H_{2n-m}(N)$.

6. Докажите первое утверждение. Указание: для композиции $N \xrightarrow{f} \mathbb{R}^m \xrightarrow{i} \mathbb{R}^{m+n}$ погружения и включения существует семейство из n линейно независимых нормальных векторных полей, поэтому $\overline{W}_{m-n+1}(N) = \overline{W}_{m-n+1}(i \circ f) = 0$.

7. Пусть N — замкнутое ориентируемое n-многообразие, $f : N \to \mathbb{R}^m$ — вложение и $f' : N \to \mathbb{R}^m$ — близкое к f отображение.

(a) Гомологический класс ориентированного погруженного подмногообразия $\operatorname{Cl} f^{-1} f' N$ (многообразия N) равен классу $\overline{W}_{m-n}(f)$. Указание: начните со случая $m = 2n$.

(b) Этот класс нулевой. Указания. Возьмем гомотопию $F : N \times I \to \mathbb{R}^m$ общего положения между f' и отображением, образ которого не пересекает $f(N)$. Тогда $\operatorname{Cl} f^{-1} F N$ есть ориентированное погруженное подмногообразие (многообразия N) с краем $\operatorname{Cl} f^{-1} f' N$. Поэтому $[\operatorname{Cl} f^{-1} f' N] = 0$.

(c) Докажите второе утверждение теоремы. Указание: $\overline{W}_{m-n}(N) = \overline{W}_{m-n}(f) = [\operatorname{Cl} f^{-1} f' N] = 0$.

(d)* Определения препятствия Уитни $\overline{W}_{m-n}(N)$ из предыдущего и этого пунктов эквивалентны.

8.* Аналогично нормальным классам Штифеля-Уитни можно определить *нормальные классы Понтрягина* $\overline{p}_k(N) \in H_{n-4k}(N; \mathbb{Z})$ для ориентируемого n-многообразия N.

(a) Они препятствуют погружаемости: если N погружаемо в $\mathbb{R}^m$, то $\overline{p}_k(N) = 0$ для $2k > m - n$.

(b) Они препятствуют вложимости: если N вложимо в $\mathbb{R}^m$ и $m - n = 2k$, то $\overline{p}_k(N) = 0$.

ВЫЧИСЛЕНИЯ ХАРАКТЕРИСТИЧЕСКИХ КЛАССОВ

Простейшие расслоения.

В этом пункте мы не докажем новых теорем, но введем некоторые объекты, важные для дальнейшего (и вообще в математике). Эти объекты близки к *утолщениям*.

Введем понятие расслоения (которое доставит нам новые примеры 3-многообразий). Для двулистного накрытия $p : N' \to N$ (см. конец параграфа 'инволюции') и для каждой точки $x \in N$ соединим отрезком две точки из $p^{-1}(x)$. Полученный двумерный объект называется *расслоением со слоем отрезок (или I-расслоением)* над N. I-расслоения *эквивалентны*, если соответствующие двулистные накрытия эквивалентны.

(Для знакомых с основами топологии I-расслоения можно определить так. Отображение $p : M \to N$ называется *I-расслоением* над N, если любая точка $x \in N$ имеет такую окрестность Ox, что $p^{-1}x \cong Ox \times I$ и композиция этого гомеоморфизма с проекцией на Ox совпадает с p. Расслоения $p_1 : M_1 \to N$ и $p_2 : M_2 \to N$ называются *эквивалентными*, если существует такой гомеоморфизм $h : M_1 \to M_2$, что $p_1 = p_2 \circ h$.)

I-расслоения можно определить и независимо от двулистных накрытий следующим образом. Для графа N с V вершинами и E ребрами возьмем E ленточек, занумерованных числами $1, 2, \ldots, E$. Для каждого i зафиксируем соответствие между концами i-й ленточки и вершинами i-го ребра. Склеим концы ленточек, соответствующие одной и той же вершине. Заметим, что для каждой вершины это можно сделать несколькими способами (рис. 52). Полученный занумерованный раскрашенный двумерный объект называется *расслоением со слоем отрезок (или I-расслоением) над графом* N. Примеры: цилиндр или лист Мёбиуса над окружностью.

Рис. 52: Склейка концов ленточек

Два I-расслоения над графами называются *эквивалентными*, если можно так расставить стрелочки на отрезках склейки, что для любых двух ленточек одного цвета в этих двух расслоениях стрелки на концах обеих ленточек одновременно сонаправлены или одновременно противонаправлены.

Пусть теперь дана триангуляция T 2-многообразия N. Раскрасим ее грани, ребра и вершины в разные цвета. Возьмем призмы тех же цветов, что и грани триангуляции T. Раскрасим боковые грани и боковые ребра каждой призмочки в те же цвета, что соответствующие им ребра и вершины соответствующей грани. Склеим боковые грани призмочек, окрашенные в один и тот же цвет, так чтобы склеились боковые ребра, окрашенные в один и тот же цвет. Для каждой боковой грани призмочки это можно сделать двумя способами (рис. 53). Полученный раскрашенный трехмерный объект называется *расслоением со слоем отрезок (или I-расслоением) над 2-многообразием* N. Например, регулярная окрестность (т.е. маленькая окрестность без 'лишних' дыр) двумерного многообразия в трехмерном является пространством I-расслоения (т. е. является I-расслоением при некоторой раскраске).

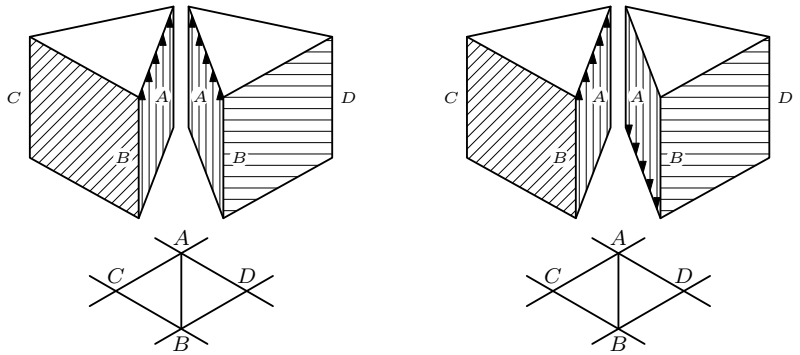

Рис. 53: Склейка призмочек

Два I-расслоения над 2-многообразиями называются *эквивалентными*, если на призмах можно так расставить стрелочки, сонаправленные друг с другом и параллельные боковым ребрам, что стрелочки в одноцветных боковых гранях призмочек этих двух расслоений одновременно сонаправлены или одновременно противонаправлены.

Ясно, что *существуют взаимно однозначные соответствия между классами эквивалентности инволюций над N, двулистных накрытий над N и I-расслоений над N.*

S^1-расслоения над графами и их эквивалентность определяются аналогично I-расслоениям с заменой прямоугольников на кольца, являющиеся прямыми произведениями окружности S^1 на ребра графа. S^1-расслоения над 2-многообразиями и их эквивалентность определяются аналогично I-расслоениям с заменой призмочек на полнотория, являющиеся прямыми произведениями окружности S^1 на грани триангуляции.

0. Пространствами S^1-расслоений являются:

(a) $X \times S^1$ над X.

(b) Бутылка Кляйна над окружностью.

(c) Сфера S^3 над S^2. Указание: построение (на другом языке) приведено в главе 6.

(d) Пространство, полученное из несвязного объединения двух эквивалентных I-расслоений над N отождествлением их граничных двулистных накрытий по некоторой эквивалентности.

(e)* Граница *регулярной окрестности* 2-многообразия N, вложенного в $\mathbb{R}^4$, над N.

Векторные расслоения.

В топологии играет огромную роль следующая формализация идеи окрестности. Нами она будет использована для вывода теоремы Штифеля о векторных полях и об алгебрах с делением из теоремы Штифеля о препятствии (многомерной), для вывода теоремы Уитни из теоремы Уитни о препятствии, а также для вывода нижеследующей теоремы Масси, используемой при доказательства теоремы Хефлигера-Хирша. Мы следуем [MS74, §2], ср. [FF89, §19], [Pr04, Глава 5]; ср. с пунктом 'накрытия и расслоения'.

Векторным расслоением называется отображение $p : E \to B$ вместе с заданием структуры векторного пространства над $\mathbb{R}$ в множестве $p^{-1}b$ для каждой точки $b \in B$, если выполнено следующее условие *локальной тривиальности*:

для любой точки $b \in B$ найдутся такие ее окрестность $Ob \subset B$, целое число $n \geqslant 0$ и гомеоморфизм $h_b : Ob \times \mathbb{R}^n \to p^{-1}Ob$, что соответствие $x \mapsto h_b(b, x)$ определяет изоморфизм векторных пространств $\mathbb{R}^n$ и $p^{-1}b$.

При этом пространство B называется *базой* векторного расслоения, а отображение p называется *проекцией*.

1. Докажите, что следующие конструкции действительно дают векторные расслоения.

Примеры векторных расслоений (мы строим только отображения p, а структуры векторных пространств в p-прообразах очевидны).

(ε) *Тривиальным* векторным расслоением называется проекция $p : B \times \mathbb{R}^n \to B$. Далее мы обозначаем через ε одномерное тривиальное расслоение (база которого ясна из контекста).

(τ) Пусть многообразие N гладко вложено в $\mathbb{R}^m$. Обозначим через T_xN касательную (n-мерную) плоскость к многообразию N в точке $x \in N$. Определим

$$TN := \{(x, v) \in N \times \mathbb{R}^m \mid v \in T_xN\}.$$

Касательным расслоением τ_N многообразия N называется отображение $\tau_N : TN \to N$, определенное формулой $\tau_N(x, v) := x$.

(ν) Пусть $f : N \to \mathbb{R}^m$ — гладкое погружение. Определим

$$E(f) := \{(x, v) \in N \times \mathbb{R}^m \mid v \perp T_{f(x)}f(N)\}.$$

Нормальным расслоением ν_f погружения f называется отображение $\nu_f : E(f) \to N$, определенное формулой $\nu_f(x, v) := x$.

Теорема о трубчатой окрестности. *Если $N \subset \mathbb{R}^m$ — замкнутое гладкое компактное подмногообразие и E — пространство нормального расслоения к N, то существует гладкое вложение $E \to \mathbb{R}^m$, при котором нулевое сечение переходит в N.*

(ζ_n) Напомним, что $\mathbb{R}P^n$ есть пространство прямых в $\mathbb{R}^{n+1}$, проходящих через начало координат. Определим

$$E(\zeta_n) := \{(y, v) \in \mathbb{R}P^n \times \mathbb{R}^{n+1} \mid v \in y\}.$$

Тавтологическим расслоением называется отображение $\zeta_n : E(\zeta_n) \to \mathbb{R}P^n$, определенное формулой $\zeta_n(y, v) := y$.

(*) Пусть $B = \cup_i U_i$ — открытое покрытие и $\varphi_{ij} : U_i \cap U_j \to O_n$ непрерывные отображения, для которых

$$\varphi_{ii} = E, \quad \varphi_{ij} = \varphi_{ji}^{-1} \quad \text{и} \quad \varphi_{ik} = \varphi_{ij}\varphi_{jk}.$$

Положим

$$E := \bigcup_{\{(x,s)=(x,\varphi_{ij}s)\}_{x \in U_i \cap U_j}} U_i \times \mathbb{R}^n \quad \text{и} \quad p[x, s] = x.$$

Векторные расслоения $p_1 : E_1 \to B$ и $p_2 : E_2 \to B$ с одинаковой базой называются *изоморфными* (обозначение: $p_1 \cong p_2$), если существует гомеоморфизм $f : E_1 \to E_2$, для которого $p_2 f = p_1$ и сужение $f|_{p_1^{-1}b} : p_1^{-1}b \to p_2^{-1}b$ есть изоморфизм векторных пространств.

2. (a) τ_{S^1}, τ_{S^3} и τ_{S^7} тривиальны.

(b) τ_N тривиально тогда и только тогда, когда имеется n касательных ортонормированных векторных полей на N.

(c) $\tau_{S^{2k}}$ нетривиально.

(d) $\tau_{(S^1)^n}$ тривиально.

(e) $E(\zeta_1)$ есть лист Мебиуса, а ζ_1 — проекция на его среднюю линию.

(f) $\zeta_n \cong \nu(\mathbb{R}P^n \subset \mathbb{R}P^{n+1})$.

(g) Любое векторное расслоение над шаром B^n изоморфно тривиальному.

(h)* Любое векторное расслоение (над конечным полиэдром B) может быть получено конструкцией (*). (Поэтому конструкция (*) доставляет эквивалентное определене векторного расслоения.)

Пусть задано векторное расслоение $p : E \to B$. Отображение $s : B \to E$ называется *сечением расслоения* p, если $p \circ s = \mathrm{id}_B$. Сечения называются *послойно гомотопными*, если они гомотопны в классе сечений.

Ясно, что касательное (нормальное) векторное поле — то же, что сечение касательного (нормального) расслоения.

3. (a) У проекции p листа Мёбиуса на его среднюю линию существует ровно одно сечение (с точностью до послойной гомотопности).

(b) Обозначим через $S(p)$ множество классов послойной гомотопности сечений расслоения p. Опишите $S(p)$ для стандартной проекции $p : K \to S^1$ бутылки Кляйна на окружность.

(c) ζ_n не является тривиальным ни при каком n (указание: докажите, что ζ_n не имеет ненулевого сечения).

Характеристические классы Эйлера $e(\xi)$ и Штифеля-Уитни $w_i(\xi)$ *произвольного* векторного расслоения ξ определяются аналогично вышеизложенному как препятствия к построению семейств линейно-независимых сечений. Ясно, что $w_i(\tau_N) = w_i(N)$ и $w_i(\nu_f) = \overline{w}_i(N)$.

Заметим, что $e(\xi) \in \mathbb{Z}$ для расслоения над *любым* замкнутым многообразием, даже неориентируемым. (Здесь еще раз видно преимущество 'гомологического' подхода над 'когомологическим': 'когомологический' класс Эйлера касательного и нормального расслоений к неориентируемому многообразию принимает значения в *скрученных* когомологиях, которые изоморфны $\mathbb{Z}$ ввиду *скрученного* изоморфизма Пуанкаре.)

Пусть $p_1 : E_1 \to B$ и $p_2 : E_2 \to B$ — векторные расслоения с одинаковой базой. Определим

$$E(p_1 \oplus p_2) := \{(x, y) \in E_1 \times E_2 \mid p_1(x) = p_2(y)\}.$$

Суммой Уитни векторных расслоений p_1 и p_2 называется отображение $p_1 \oplus p_2 : E(p_1 \oplus p_2) \to B$, определенное формулой $p_1 \oplus p_2(x, y) := p_1(x) = p_2(y)$.

4. (a) Это действительно векторные расслоения.

(b) $\zeta_1 \oplus \zeta_1 \cong 2\varepsilon$

(c) $\tau_{S^2} \oplus \varepsilon \cong 3\varepsilon$.

(d) $\tau \oplus \nu_f \cong m\varepsilon$.

(e) Докажите независимость $\overline{w}_k(f)$ от f по следующему плану. Возьмем два погружения $f, g : N \to \mathbb{R}^m$ и включение $i : \mathbb{R}^m \to \mathbb{R}^{2m}$. Так как $\tau_N \oplus \nu_f \cong \tau_N \oplus \nu_g \cong m\varepsilon$, то $\nu_f \oplus m\varepsilon \cong \nu_g \oplus m\varepsilon$. То есть нормальные расслоения погружений $i \circ f$ и $i \circ g$ изоморфны. Значит, $\overline{w}_k(f) = \overline{w}_k(i \circ f) = \overline{w}_k(i \circ g) = \overline{w}_k(g)$.

Произведением векторных расслоений $p_1 : E_1 \to B_1$ и $p_2 : E_2 \to B_2$ называется отображение $p_1 \oplus p_2 : E_1 \times E_2 \to B_1 \times B_2$, определенное формулой $(p_1 \times p_2)(x, y) := (p_1(x), p_2(y))$ (с очевидно определяемыми структурами векторных пространств в слоях).

5. (a) $\tau_{N_1 \times N_2} = \tau_{N_1} \times \tau_{N_2}$.

(b) $w_i(\xi \oplus n\varepsilon) = w_i(\xi)$. Указание. В этом и двух следующих пунктах полезна неформальная интерпретация классов Штифеля-Уитни (см. выше).

(c) $w_1(\xi \oplus \eta) = w_1(\xi) \oplus w_1(\eta)$.

(d) Если $\dim \xi = m$ и $\dim \eta = n$, то $w_{m+n}(\xi \oplus \eta) = w_m(\xi) w_n(\eta)$ и $w_{m+n}(\xi \times \eta) = w_m(\xi) \times w_n(\eta)$.

(e) **Формула Уитни-Ву.** *Полный класс Штифеля-Уитни расслоения ξ определяется как $w(\xi) := 1 + w_1(\xi) + w_2(\xi) + \dots$. Тогда*

$$w(\xi \oplus \eta) = w(\xi)w(\eta) \quad \text{и} \quad w(\xi \times \eta) = w(\xi) \times w(\eta).$$

Указание. Для произведения используйте формулу Кюннета. Формулу для суммы выведите из формулы для произведения (см. ниже)

Пусть $f : B' \to B$ — непрерывное отображение и $p : E \to B$ — векторное расслоение. Определим $E(f^*p) := \{(x, y) \in B' \times E \mid fx = py\}$. *Индуцированным расслоением* называется отображение $f^*p : E(f^*p) \to B'$, определенное формулой $f^*p(x, y) := x$. (с очевидно определяемыми структурами векторных пространств в слоях).

6. (a) Сумма Уитни расслоений индуцирована из их произведения диагональным отображением $x \mapsto (x, x)$.

(b) Выведите формулу Уитни-Ву для суммы из такой формулы для произведения.

(c) **Формула Уитни-Ву для классов Понтрягина.** *Полный класс Понтрягина расслоения ξ определяется как $p(\xi) := 1 + p_1(\xi) + p_2(\xi) + \dots$. Если $H_i(B; \mathbb{Z})$ не имеют 2-кручения, то*

$$p(\xi \oplus \eta) = p(\xi)p(\eta) \quad \text{и} \quad p(\xi \times \eta) = p(\xi) \times p(\eta).$$

Ясно, что если n-многообразие N погружаемо в $\mathbb{R}^{n+k}$, то существует k-расслоение ν над N такое, что $\nu \oplus \tau_N \cong (n + k)\varepsilon$. (Необходимое условие из теоремы Уитни о препятствии фактически является необходимым для существования такого расслоения ν — ввиду формулы Уитни-Ву 5c). Это необходимое условие оказывается *достаточным.*

Теорема Смейла-Хирша (о погружаемости). *Пусть N — гладкое n-многообразие. Если существует k-расслоение ν над N такое, что $\nu \oplus \tau_N \cong (n + k)\varepsilon$, то N погружаемо в $\mathbb{R}^{n+k}$* [Hi60], см. также [HP64], [HH62], [Sk02].

Два погружения $f, g : N \to S^m$ называются *регулярно гомотопными*, если существует погружение $F : N \times I \to S^m \times I$, для которого

(i) $F(x, 0) = (f(x), 0)$ и $F(x, 1) = (g(x), 1)$ для любого $x \in N$

(ii) $F(N \times \{t\}) \subset S^m \times \{t\}$ для любого $t \in I$.

Теорема Смейла-Хирша (о регулярной гомотопности). *Если f и g — погружения такие, что $df, dg : TN \to \mathbb{R}^{n+k}$ гомотопны в классе линейных мономорфизмов, то f и g регулярно гомотопны.* [Hi60], см. также [HP64], [HH62], [Sk02].

Степени двойки и классы Штифеля-Уитни (набросок).

Для алгебраических вычислений этого пункта удобно *обозначить* $H^s := H_{n-s}$. (Здесь никакого другого смысла, кроме переобозначений, не подразумевается, а вообще он имеется.) Тогда умножение (т.е. билинейное отображение пересечения) в гомологиях n-многообразия устроено так: $H^k \times H^l \to H^{k+l}$.

7. (a) $\tau_{\mathbb{R}P^n} \oplus \varepsilon \cong (n + 1)\zeta_n$.

(b) $w(\mathbb{R}P^n) = (1 + a)^{n+1}$, где $a = [\mathbb{R}P^{n-1}] \in H_{n-1}(\mathbb{R}P^n) \cong \mathbb{Z}_2$ — образующая.

(c) $w_i(\mathbb{R}P^n) = \binom{n+1}{i} a^i$ для $0 \leqslant i \leqslant n$.

(d) Если $\binom{n+1}{i}$ четно для любого $i = 1, 2, \dots, n$, то $n + 1$ есть степень двойки.

(e) Докажите теорему Штифеля об алгебрах с делением.

(f) Докажите теорему Штифеля о векторных полях.

8. (a) $w(N) \cap \overline{w}(N) = 1$.

(b) $\overline{w}_i(\mathbb{R}P^n) = \binom{-n-1}{i} a^i = \binom{n+i}{i} a^i$ для $0 \leqslant i \leqslant n$.

(c) Докажите теорему Уитни.

(d) Если n-многообразие N погружаемо в $\mathbb{R}^{n+1}$, то $w_i(N) = (w_1(N))^i$.

(e) Докажите теорему Уитни для коразмерности 1.

9. (a) $\tau_{\mathbb{C}P^n} \oplus \varepsilon_{\mathbb{C}} \cong (n+1)\zeta_{n,\mathbb{C}}$ как *комплексные* векторные расслоения.

(b) $p(\mathbb{C}P^n) = (1+a^2)^{n+1}$, где $a = [\mathbb{C}P^{n-1}] \in H_{2n-2}(\mathbb{C}P^n) \cong \mathbb{Z}$ — образующая.

(c) $p_i(\mathbb{C}P^n) = \binom{n+1}{i} a^{2i}$ для $1 \leqslant i \leqslant n/2$,

(d) $\overline{p}_i(\mathbb{C}P^n) = (-1)^i \binom{n+i}{i} a^{2i}$ для $1 \leqslant i \leqslant n/2$.

(e) $\mathbb{C}P^2$ не вложимо в $\mathbb{R}^6$.

(f) Если $\mathbb{C}P^n$ вложимо в $\mathbb{R}^m$ или погружаемо в $\mathbb{R}^{m-1}$, то $\binom{n+i}{n} = 0$ при $m - n \leqslant 2i \leqslant n$.

Для классов Штифеля-Уитни произвольного многообразия выполняются интересные соотношения. (На этом основаны теорема Хефлигера-Хирша и многие другие результаты.) Например, старший нормальный класс всегда тривиален, а из нетривиальности следующего класса следует, что размерность многообразия есть степень двойки.

Теорема Масси. *Для замкнутого гладкого n-многообразия N*

(1) $\overline{W}_n(N) = 0$.

(2) Если либо n не есть степень двойки, либо N ориентируемо, то $\overline{W}_{n-1}(N) = 0$ [Ma60], [Ma62].

(3) Если q меньше количества единиц в двоичной записи числа n, то $\overline{w}_{n-q}(N) = 0$ [Ma60].

Утверждение (1) было выведено еще Уитни из того, что любое n-многообразие вложимо в $\mathbb{R}^{2n}$.

Доказательство теоремы Масси интересно тем, что является примером применения следующего важного понятия. Пусть класс $[X] \in H_{n-k}(N)$ реализуется вложением $i : X \subset N$. Положим

$$\mathrm{Sq}_s[X] := i_* w_s(\nu_N(X)) \in H_{n-k-s}(N)$$

равным i_*-образу s-го класса Штифеля-Уитни нормального расслоения вложения (это определение эквивалентно общепринятому [FF89, следствие на странице 263]).

Далее замкнутое многообразие N фиксировано и пропускается из обозначений характеристических классов. Все классы, от которых берется Sq_s, считаются реализуемыми вложениями (см. пункт 'реализация циклов подмногообразиями' предыдущей главы). Будет полезна неформальная интерпретация классов Штифеля-Уитни. Из нее вытекает, что классы Штифеля-Уитни реализуются несвязными объединениями подмногообразий.

10. (a) Проверьте корректность определения операции Sq_s относительно гомологичности, реализуемой подмногообразием.

(b) *Общее положение.* Если $x \in H_{n-k}(N)$, то $\mathrm{Sq}_s x = 0$ для $s > k$.

(c) *Случай класса Эйлера.* Если $x \in H_{n-k}(N)$, то $\mathrm{Sq}_k x = x \cap x$.

(d) $\mathrm{Sq}_1 = \rho_2 \beta$, где ρ_2 — приведение по модулю 2 и β — гомоморфизм Бокштейна (см. параграф 'простейшие методы' главы 4).

(e) *Формула Картана для* Sq_1. $\mathrm{Sq}_1(x \cap y) = x \cap \mathrm{Sq}_1 y + (\mathrm{Sq}_1 x) \cap y$.

(f)* *Формула Картана.* $\mathrm{Sq}_k(x \cap y) = \sum_{s=0}^{k} (\mathrm{Sq}_s x) \cap (\mathrm{Sq}_{k-s} y)$.

(g) $\mathrm{Sq}_k x^{2^s}$ равно 0 при $k \neq 0, 2^s$.

11. Пусть N ориентируемо.
(a) $\mathrm{Sq}_1 w_{n-1} = 0$.
(b)* $\mathrm{Sq}_1 w_{2j+1} = 0$.
(c)* $\mathrm{Sq}_1 w_{2j} = w_{2j+1}$.
(d)* $\beta w_{2j} = W_{2j+1}$.

12. (a) Для любого k существует и единственен такой класс $v_k \in H_{n-k}(N)$, что $\mathrm{Sq}_k x = x \cap v_k$ при любом $x \in H_k(N)$.

Указание: докажите, что $\mathrm{Sq}_k : H_k(N) \to \mathbb{Z}_2$ — гомоморфизм и используйте двойственность Пуанкаре.

(b) $v_1 = w_1$ (т.е. $\mathrm{Sq}_1 w_{n-1} = w_1 \cap w_{n-1}$).
(c) Если N ориентируемо, то $v_2 = w_2 = \overline{w}_2$.

13.* *Формулы Ву.* (a) $w_k = \sum\limits_{s=1}^{k} \mathrm{Sq}_s v_{k-s}$ [MS74, Theorem 11.14].

(b) Если $x \in H_k(N)$ и $k > 0$, то $\overline{w}_k \cap x = \sum\limits_{i=1}^{k} \overline{w}_{k-i} \cap \mathrm{Sq}_i x$ [Ma60].

(c) $\mathrm{Sq}_k w_m = \sum\limits_{i=1}^{k} \binom{m-i-1}{k-i} w_i \cap w_{m+k-i}$ [FF89, 30.2.A].

(d) $\mathrm{Sq}_k x = x \cap \sum_{s=1}^{k} \overline{\mathrm{Sq}}_{k-s} w_s$ [FF89, 30.2.D].

Поскольку операции Sq_s могут быть определены гомотопически, из формулы Ву 13a вытекает, что классы Штифеля-Уитни многообразия гомотопически инвариантны. См. другие формулы Ву в [MS74, Problem 11.E], [MS74, Problem 11.F].

Доказательство пункта (1) теоремы Масси по модулю 2 вытекает из формулы Ву 13b и общего положения (10b):

$$\overline{w}_n = [N] \cap \overline{w}_n = \overline{w}_{n-1} \cap \mathrm{Sq}_1[N] + \overline{w}_{n-2} \cap \mathrm{Sq}_2[N] + \ldots = 0. \qquad \square$$

Чтобы проиллюстрировать *идею доказательства пункта (2) теоремы Масси по модулю 2*, покажем, что $\overline{w}_3 = 0$ *для ориентируемого 4-многообразия* N. Для любого $x \in H_3(N)$ имеем

$$\overline{w}_3 \cap x = \overline{w}_2 \cap \mathrm{Sq}_1 x + \overline{w}_1 \cap \mathrm{Sq}_2 x + \mathrm{Sq}_3 x = \overline{w}_2 \cap x^2 = x^4 = \mathrm{Sq}_1 x^3 = 0.$$

Здесь первое равенство верно по формуле Ву (13b), второе по общему положению и поскольку $\mathrm{Sq}_1 x = x^2$ (случай класса Эйлера), третье поскольку $\overline{w}_2 = v_2$, четвертое по формуле Картана для $k = 1$ (10e), а последнее поскольку и N и окружность, представляющая класс x^3, ориентируемы. $\square$

14.* (a) Докажите напрямую равенство $x^4 = 0$.

(b) $w_3 = 0$ для ориентируемого 4-многообразия N [Ki89, II.4]. Указание: используйте $\pi_2(SO_4) = 0$.

15. (a) $\overline{w}_{n-1} \cap x = \overline{w}_{n-2^k} \cap x^{2^k}$ для $x \in H_{n-1}(N)$.

Указание: индукция по k с использованием формулы Ву 13b и следствия 10g (общего положения и формулы Картана).

(b) Докажите пункт (2) теоремы Масси по модулю 2.
(c) Докажите пункт (2) теоремы Масси.
Указание: используйте соотношение $\beta w_{2j} = W_{2j+1}$.

16.* (a) $\mathrm{Sq}_1 \mathrm{Sq}_1 = 0$.
(b) *Соотношения Адема.* Если $0 < a < 2b$, то

$$\mathrm{Sq}_a \mathrm{Sq}_b = \sum_{j=0}^{[a/2]} \binom{b-1-j}{a-2j} \mathrm{Sq}_{a+b-j} \mathrm{Sq}_j \mod 2.$$

(c) Докажите пункт (3) теоремы Масси.

Указание. Пересечение с классом $\overline{w}_{n-1}$ дает отображение $H_{n-1}(N) \to H_0(N)$. По формуле Ву его можно представить как сумму *итерированных стинродовых квадратов* $\mathrm{Sq}_I := \mathrm{Sq}_{i_1}\mathrm{Sq}_{i_2}\ldots\mathrm{Sq}_{i_k}$ для разных $I = (i_1, i_2, \ldots, i_k)$. Из соотношений Адема следует, что любой итерированный стинродов квадрат есть сумма *допустимых*, т.е. удовлетворяющих условию $i_1 \geqslant 2i_2, \ldots, i_2 \geqslant 2i_3 \ldots$. Поэтому если $\overline{w}_{n-q} \neq 0$, то для некоторых $q \in H_{n-1}(N)$ и допустимой последовательности I имеем $\mathrm{Sq}_I x \neq 0$.

Классификация расслоений.

17. Множество классов эквивалентности одномерных векторных расслоений над замкнутым ориентируемым n-многообразием N находится во взаимно-однозначном соответствии с $H_{n-1}(N)$.

Указание. Начните с $n = 2$. Можно делать аналогично классификации инволюций (глава 2) или свести к ней.

Векторное расслоение $p : E \to B$ называется *ориентируемым*, если в векторных пространтвах $p^{-1}b$ заданы ориентации, причем изоморфизм $x \mapsto h_b(b, x)$ сохраняет ориентацию.

Ориентированные векторные расслоения $p_1 : E_1 \to B$ и $p_2 : E_2 \to B$ с одинаковой базой называются *ориентированно изоморфными*, если существует гомеоморфизм $f : E_1 \to E_2$, для которого $p_2 f = p_1$ и сужение $f|_{p_1^{-1}b} : p_1^{-1}b \to p_2^{-1}b$ есть сохраняющий ориентацию изоморфизм векторных пространств.

18. (a) Какие расслоения из предыдущего пункта являются ориентируемыми?

(b) Любые два одномерных ориентируемых векторных расслоения над одной базой ориентируемо эквивалентны.

(c) Определите класс Эйлера $e(\xi)$ как препятствие к построению ненулевого сечения для ориентируемого векторного расслоения ξ.

(d) $e(\xi \oplus \eta) = e(\xi) \cap e(\eta)$ и $e(\xi \times \eta) = e(\xi) \times e(\eta)$.

(e) Любые два ориентируемых двумерных векторных расслоения над 2-многообразием с непустой границей ориентируемо эквивалентны.

(f) Множество ориентируемых двумерных векторных расслоений над замкнутым ориентируемым связным 2-многообразием с точностью до ориентируемой эквивалентности находится во взаимно однозначном соответствии с $\mathbb{Z}$.

Замечание: то же верно для *ориентируемых S^1-расслоений*.

(g)* Как изменится результаты пунктов (e) и (f) для произвольных 2-многообразий?

(h)* Как изменится результат пункта (f) для произвольных векторных двумерных расслоений? Ср. [MF90].

Определение *гомотопности* отображений напомнено в начале главы 6. В следующих двух задачах $p : E \to B$ — одномерное векторное расслоение.

19. (a) Гомотопные отображения индуцируют эквивалентные расслоения. Иными словами, формула $[f] \mapsto f^*\zeta_m$ корректно задает отображение множества $[B, \mathbb{R}P^m]$ гомотопических классов отображений $B \to \mathbb{R}P^m$ в множество классов эквивалентности n-мерных векторных расслоений над полиэдром B.

(b) Отображение $f : B \to \mathbb{R}P^m$, для которого $p \simeq f^*\zeta_m$, существует тогда и только тогда, когда существует *линейный мономорфизм* $F : E \to \mathbb{R}^{m+1}$ (т.е. отображение, которое на каждом слое расслоения $p : E \to B$ является линейным мономорфизмом).

(c) Для каких m существует линейный мономорфизм $E(\zeta_1) \to \mathbb{R}^m$ (относительно расслоения ζ_1)?

(d) Для любой точки $x \in B$ существует ее окрестность Ox в B и линейный мономорфизм $F : p^{-1}Ox \to \mathbb{R}$.

(e) Отображение $F : E \to \mathbb{R}^{m+1}$ является линейным мономорфизмом тогда и только тогда, когда для любой точки $x \in B$ существует такое i, что отображение $p\,r_i \circ F|_{p^{-1}x} : p^{-1}x \to \mathbb{R}$ является линейным мономорфизмом.

Линейным функционалом $f : E \to \mathbb{R}$ называется отображение, линейное (но не обязательно мономорфное) на слоях расслоения p.

20. (a) Для любого подполиэдра $B_1 \subset B$ любой линейный функционал $f_1 : p^{-1}B_1 \to \mathbb{R}$ продолжается до линейного функционала $f : E \to \mathbb{R}$.

(b) Для некоторого m существует линейный мономорфизм $f : E \to \mathbb{R}^{m+1}$. Иными словами, отображение $[f] \mapsto f^*\zeta_m$ сюръективно.

Указание: используйте компактность полиэдра B.

(c) Отображение $[f] \mapsto f^*\zeta_m$ инъективно при $m \geqslant 2\dim B + 2$.

(d) Для некоторого m отображение $[f] \mapsto f^*\zeta_m$ биективно.

Многообразием Грассмана $G(m,n)$ называется пространство всех n-мерных линейных подпространств в $\mathbb{R}^m$. Например, $G(m,1) \cong \mathbb{R}P^{m-1}$.

Теорема классификации векторных расслоений. *Множество классов эквивалентности n-мерных векторных расслоений над полиэдром B находится во взаимно-однозначном соответствии с множеством $[B, G(m,n)]$ гомотопических классов отображений $B \to G(m,n)$ при достаточно большом m.*

Взаимно-однозначное соответствие из сформулированной теоремы легко описать. Определим

$$E(\zeta_{m,n}) := \{(\alpha, v) \in G(m,n) \times \mathbb{R}^m \mid v \in \alpha\}.$$

Определим *тавтологическим расслоение*

$$\zeta_{m,n} : E(\zeta_{m,n}) \to G(m,n) \quad \text{формулой} \quad \zeta_{m,n}(\alpha, v) := \alpha.$$

Соответствие из теоремы задается формулой $[f] \mapsto f^*\zeta_{m,n}$. Доказательство теоремы аналогично только что доказанному ее одномерному случаю.

21. (a) Докажите теорему (для произвольного n).

(b) Докажите следующий результат.

Теорема классификации ориентируемых векторных расслоений. *Множество классов (ориентируемой) эквивалентности n-мерных ориентируемых векторных расслоений над полиэдром B при достаточно большом m находится во взаимно-однозначном соответствии с множеством $[B, G_+(m,n)]$ гомотопических классов отображений $B \to G_+(m,n)$ в* ориентируемое многообразие Грассмана *всех ориентируемых n-мерных линейных подпространств в $\mathbb{R}^m$.*

Например, $G_+(m,1) \cong S^{m-1}$.

При помощи приведенных теорем характеристические классы можно получать из *когомологий* пространств $G(m,n)$ или $G_+(m,n)$. Иногда характеристические классы так и определяются. Такое абстрактное алгебраическое определение удобно для вычислений (напимер, из предыдущего пункта), но неудобно для геометрических применений.

Указания к некоторым задачам.

Указание к 7a. Напомним, что $\mathbb{R}P^n = \{\{x, -x\} \mid x \in S^n \subset \mathbb{R}^{n+1}\}$. Тогда $E(\zeta_n) := \{(\{\pm x\}, v) \in \mathbb{R}P^n \times \mathbb{R}^{n+1} \mid v \parallel x\}$. Тавтологическое расслоение определяется формулой $\zeta_n(\{\pm x\}, v) := \{\pm x\}$. Тогда нужный изоморфизм расслоений задается формулой $\pm(x, v) \oplus (\pm x, \lambda) \mapsto (\pm x, v + \lambda x)$.

ПРЕПЯТСТВИЯ К КОБОРДАНТНОСТИ

Числа Эйлера и Штифеля-Уитни.

Напомним, что все многообразия в книге предполагаются компактными.

1. (a) Если A и B — замкнутые многообразия и $A = \partial M$, то $A \times B = \partial(M \times B)$.

(b) Любое одномерное или двумерное замкнутое ориентируемое многообразие является краем некоторого многообразия.

(c) Любое двумерное замкнутое неориентируемое многообразие четной эйлеровой характеристики является краем некоторого многообразия.

(d) $\mathbb{R}P^{2k+1}$ является краем некоторого многообразия.

(e)* Любое замкнутое 3-многообразие является краем некоторого многообразия (для ориентируемых см. [Ki89, VII, Theorem 2], для произвольных см. [St68, Chapter 6]).

2. (a) $\mathbb{R}P^2$ не является краем многообразия.

Первое решение. Пусть, напротив, M — 3-многообразие и $\partial M \cong \mathbb{R}P^2$. Обозначим через M' копию многообразия M. Тогда $0 = \chi(M \cup_{\mathbb{R}P^2} M') = \chi(M) + \chi(M') - \chi(\mathbb{R}P^2)$, откуда $\chi(\mathbb{R}P^2)$ четно. Противоречие.

Второе решение. Пусть, напротив, M — 3-многообразие и $\partial M \cong \mathbb{R}P^2$. Тогда

$$\tau(M)|_{\partial M} \cong \tau(\partial M) \oplus \nu(\partial M \subset M) \cong \tau(\partial M) \oplus \varepsilon.$$

Поэтому $0 = e(M) \cap \partial M = e(\partial M) \neq 0$, где e — класс Эйлера по модулю 2 и равенства означают сравнения по модулю 2.

Третье решение. Пусть, напротив, M — 3-многообразие и $\partial M \cong \mathbb{R}P^2$. Тогда $w_1(\partial M) = \partial w_1(M)$, где $\partial : H_2(M, \partial M) \to H_1(M)$ — граничный гомоморфизм. Пусть $(\omega, \partial\omega) \subset (M, \partial M)$ — 2-подмногообразие с краем, реализующее класс $w_2(M)$. Тогда $\partial\omega \subset \partial M$ реализует класс $w_1(\partial M)$. Значит, $\omega \cap_M \omega$ есть 1-подмногообразие с краем $\partial\omega \cap_{\partial M} \partial\omega$. Поэтому $w_1(\partial M) \cap w_1(\partial M) = 0$, что неверно для $\partial M = \mathbb{R}P^2$.

(b) **Неориентируемая теорема Понтрягина (простой случай).** *Если замкнутое многообразие является краем многообразия, то его эйлерова характеристика четна.*

(Эта теорема интересна только для четномерных многообразий.)

(c) Замкнутое 2-многообразие является краем многообразия тогда и только тогда, когда его эйлерова характеристика четна.

(d) $\mathbb{R}P^n$ является краем многообразия тогда и только тогда, когда n нечетно ([FF89, Упражнение 29] можно усилить).

(e) $\mathbb{C}P^{2k}$ не является краем многообразия.

(f) $\mathbb{R}P^2 \times \mathbb{R}P^2$ не является краем многообразия. Указание: $e(\mathbb{R}P^2 \times \mathbb{R}P^2) = e(\mathbb{R}P^2)^2 \equiv 1 \mod 2$.

(g) При каком условии $\mathbb{R}P^{n_1} \times \ldots \mathbb{R}P^{n_k}$ является краем многообразия?

3. (a) Если многообразия гомеоморфны, то они кобордантны. Обратное неверно.

(b) Если непустые многообразия кобордантны, то их размерности равны. Размерность кобордизма на 1 больше размерности того из многообразий M_1, M_2, которое непусто.

(c) Многообразия кобордантны тогда и только тогда, когда их несвязное объединение является краем некоторого многообразия.

(d) Приведите пример непустых некобордантных многообразий одинаковой размерности.

4. (a) Многообразия $\mathbb{R}P^2 \times \mathbb{R}P^2$ и $\mathbb{R}P^4$ не кобордантны. Иными словами, не существует многообразия с границей $N := \mathbb{R}P^2 \times \mathbb{R}P^2 \sqcup \mathbb{R}P^4$.

Указание. Аналогично третьему доказательству того, что $\mathbb{R}P^2$ не ограничивает. Используйте $w_1(N) = (a + b, c)$, $w_1(N)^4 = (0, c^4)$ и $0 + c^4 \neq 0$.

(b) Не существует многообразия, границей которого является непустое объединение одного, двух или трех различных многообразий из $N_1 := \mathbb{R}P^6$, $N_2 = \mathbb{R}P^4 \times \mathbb{R}P^2$ и $N_3 := \mathbb{R}P^2 \times \mathbb{R}P^2 \times \mathbb{R}P^2$.

(c) Докажите часть 'только тогда' следующего результата (принадлежащую Понтрягину).

Неориентируемая теорема Тома. *Замкнутое многообразие является краем многообразия тогда и только тогда, когда*

$$\Sigma w_{i_1}(N) \cap \ldots \cap w_{i_s}(N) = 0$$

для любых целых положительных $i_1, \ldots, i_s$ *с* $i_1 + \ldots + i_s = n$. *Здесь* Σ *означает суммирование компонент вектора* $w_{i_1}(N) \cap \ldots \cap w_{i_s}(N)$ *(которые нумеруются компонентами связности многообразия* N*).*

Иными словами, замкнутые многообразия N_1 *и* N_2 *кобордантны тогда и только тогда, когда*

$$\Sigma w_{i_1}(N_1) \cap \ldots \cap w_{i_s}(N_1) = \Sigma w_{i_1}(N_2) \cap \ldots \cap w_{i_s}(N_2)$$

для любых целых положительных $i_1, \ldots, i_s$ *с* $i_1 + \ldots + i_s = n$.

Часть 'тогда' доказывается гораздо труднее части 'только тогда' [St68].

Числом Штифеля-Уитни n-многообразия N (отвечающим разбиению $n = i_1 + \ldots + i_s$) называется число $w_{i_1,\ldots,i_s}(N) := \Sigma w_{i_1}(N) \cap \ldots \cap w_{i_s}(N)$.

На множестве Ω^O классов кобордизма замкнутых многообразий (всевозможных размерностей) имеются операции несвязного объединения и (декартова, или прямого) произведения.

5. (a) Эти операции действительно корректно определены.

(b) Множестве Ω^O с этими операциями является градуированным коммутативным кольцом с единицей и соотношением $a + a = 0$.

(c)* Для целых положительных чисел рассмотрим гиперповерхность $H \subset \mathbb{R}P^4 \times \mathbb{R}P^2$ степени $(1,1)$. Тогда H является 5-многообразием и не является краем никакого многообразия.

(d)* Для целых положительных чисел рассмотрим гиперповерхность $H_{p,q} \subset \mathbb{R}P^{2^{p+1}\times q} \times \mathbb{R}P^{2^p}$ степени $(1,1)$. Тогда $H_{p,q}$ является многообразием размерности $2^p(2q+1) - 1$ и не является краем никакого многообразия.

Классификационная теорема Тома. *Градуированное кольцо* Ω^O *изоморфно градуированному кольцу полиномов над* $\mathbb{Z}_2$ *от образующих* x_i *размерности* i*, где* i *пробегает все положительные целые числа, не равные* $2^s - 1$.

В качестве x_{2i} можно взять класс кобордизма многообразия $\mathbb{R}P^{2i}$. Нечетномерные образующие были построены, например, Дольдом (ориентируемые) и Милнором (см. последний пункт предыдущего упражнения).

Сигнатура и числа Понтрягина (набросок).

6. (a) Край ориентируемого многообразия замкнут и ориентируем.

(b) Любое одномерное или двумерное замкнутое ориентируемое многообразие является краем некоторого ориентируемого многообразия.

(c)* Любое замкнутое ориентируемое 3-многообразие является краем некоторого ориентируемого многообразия [Ki89, VII, Theorem 2].

(d) $\mathbb{C}P^{2k+1}$ является краем ориентируемого многообразия. Указание. Постройте и используйте расслоение $S^{4k+3} \to \mathbb{C}P^{2k+1}$ со слоем S^1.

(e) $\mathbb{C}P^n$ является краем ориентируемого многообразия тогда и только тогда, когда n нечетно ([FF89, Упражнение 29] можно усилить).

(f) Если $2k$-многообразие N является краем ориентируемого многообразия, то $\operatorname{rk} H_k(N;\mathbb{Z})$ четен.

Напомним, что *ориентированным* многообразием называется *ориентируемое* многообразие с фиксированной ориентацией.

Замкнутые ориентированные многообразия N_1 и N_2 называются *ориентированно кобордантными*, если существует ориентированное многообразие (*ориентированный кобордизм*) с границей $N_1 \sqcup (-N_2)$ (при этом одно из многообразий может быть пустым). Через $-N_2$ обозначается ориентированное многообразие, полученное из N_2 изменением ориентации. Классификация ориентируемых многообразий с точностью до ориентируемого кобордизма была также начата Понтрягиным в 1930-х.

7. (a) Многообразия $\mathbb{C}P^2$ и $-\mathbb{C}P^2$ не являются ориентированно кобордантными. Иными словами, $\mathbb{C}P^2 \sqcup \mathbb{C}P^2$ не является краем ориентируемого многообразия.

Указание: если не получается, то см. следующие пункты.

(b) Для $\partial : H_{i+1}(N;\mathbb{Z}) \to H_i(\partial N;\mathbb{Z})$ и *целочисленной* формы пересечений $\partial a \cap \partial a = 0$ при любом a.

(c) Докажите следующий результат.

Теорема Понтрягина (простой случай). *Если $4k$-многообразие N является краем ориентируемого многообразия, то сигнатура $\sigma(N)$ (формы пересечений на $H_{2k}(N;\mathbb{Z})$) равна нулю.*

Или, эквивалентно, если замкнутые ориентированные $4k$-многообразия N_1 и N_2 ориентированно кобордантны, то $\sigma(N_1) = \sigma(N_2)$.

8. (a) *Аддитивность.* $\sigma(M \sqcup N) = \sigma(M) + \sigma(N)$.

(b) *Мультипликативность.* $\sigma(M \times N) = \sigma(M)\sigma(N)$.

(c)* *Аддитивность Новикова-Рохлина.* $\sigma(M \bigcup\limits_{\partial M = \partial N} N) = \sigma(M) + \sigma(N)$.

9.* (a) Многообразия $\mathbb{C}P^2 \times \mathbb{C}P^2$ и $\mathbb{C}P^4$ не являются ориентированно кобордантными. Иными словами, $\mathbb{C}P^2 \times \mathbb{C}P^2 \sqcup (-\mathbb{C}P^4)$ не является краем ориентируемого многообразия.

Указание: если не получается, то докажите и используйте следующие пункты.

(b) Докажите следующий результат.

Указание: аналогично части 'только тогда' в неориентируемой теореме Понтрягина.

Теорема Понтрягина (сложный случай). *Если $4k$-многообразие N является краем ориентируемого многообразия, то*

$$\Sigma p_{i_1}(N) \cap \ldots \cap p_{i_s}(N) = 0$$

для любых целых положительных $i_1, \ldots, i_s$ с $i_1 + \ldots + i_s = n$. Здесь Σ означает суммирование компонент вектора $p_{i_1}(N) \cap \ldots \cap p_{i_s}(N)$ (которые нумеруются компонентами связности многообразия N).

Или, эквивалентно, если замкнутые ориентированные $4k$-многообразия N_1 и N_2 ориентированно кобордантны, то

$$\Sigma p_{i_1}(N_1) \cap \ldots \cap p_{i_s}(N_1) = \Sigma p_{i_1}(N_2) \cap \ldots \cap p_{i_s}(N_2)$$

для любых целых положительных $i_1, \ldots, i_s$ с $i_1 + \ldots + i_s = k$.

Числом Понтрягина $4k$-многообразия N (отвечающим разбиению $k = i_1 + \ldots + i_s$) называется число $p_{i_1,\ldots,i_s}(N) := \Sigma p_{i_1}(N) \cap \ldots \cap p_{i_s}(N)$.

10. Если $N \cong -N$, то $N \sqcup N$ кобордантно пустому и $\sigma(N) = p_{i_1,\ldots,i_s}(N) = 0$.

Теорема Тома. *Если все числа Понтрягина замкнутого ориентируемого многообразия нулевые (например, если его размерность не делится на 4), то объединение нескольких экземпляров многообразия X (которые все берутся с одинаковой ориентацией) является краем замкнутого ориентируемого многообразия.*

По поводу описания кольца Ω^{SO} классов ориентированной кобордантности ориентированных многообразий см. [FF89, §19.6.D, §43.2].

Теорема Хирцебруха о сигнатуре (упрощенная). *Для любого k существуют такие рациональные числа $a_{j_1,\dots,j_r}$, что для любого замкнутого ориентируемого $4k$-многообразия M выполнено $\sigma(M) = \sum\limits_{j_1,\dots,j_r} a_{j_1,\dots,j_r} p_{j_1,\dots,j_r}(M)$.*

11. (a) Выведите этот результат из теоремы Тома.

(b) Для любого замкнутого ориентируемого 4-многообразия M выполнено $p_1 = 3\sigma$.

Указание: по теореме Хирцебруха достаточно проверить это для $M = \mathbb{C}P^2$.

(c) Для любого замкнутого ориентируемого 8-многообразия M выполнено $7p_2 - p_{1,1} = 45\sigma$.

Указание: по теореме Хирцебруха достаточно проверить это для $M = \mathbb{C}P^4$ и $M = \mathbb{C}P^2 \times \mathbb{C}P^2$.

Построение сферы Милнора. Рассмотрим граф с вершинами $1, \dots, 8$ и ребрами $12, 23, 34, 45, 56, 67$ и 58. Для каждой вершины графа

возьмем свой экземпляр подрасслоения касательных векторов длины не более 1 в касательном расслоении к S^4, и

выберем столько непересекающихся четырехмерных дисков в соответствующем экземпляре сферы S^4, сколько ребер выходит из вершины.

Для каждого ребра склеим сужения расслоений на четырехмерные диски, соответствующие концам этого ребра, отождествляя базу одного сужения расслоения со слоем другого. Получится 8-многообразие V с краем (*водопроводное соединение* касательных расслоений над сферами сообразно графу). Граница ∂V этого многообразия и есть сфера Милнора.

Пример сферы Милнора вытекает из формулы Хирцебруха и следующей задачи.

12. (a) Многообразие V параллелизуемо (и, значит, $p_1(V) = 0$).

(b) Сигнатура многообразия V равна 8.

(c) Край ∂V гомотопически эквивалентен S^7.

Многообразие Милнора можно строить и как S^3-расслоение над S^4 [DNF84, 28]. Если V — соответствующее D^4-расслоение, то можно добиться того, что $\sigma(V) = 1$ и $p_{1,1}(V) = 36$, тогда $\partial V \simeq S^7$, но ∂V не может быть 7-сферой по формуле Хирцебруха.

ГЛАВА 6. ГОМОТОПИЧЕСКАЯ КЛАССИФИКАЦИЯ ОТОБРАЖЕНИЙ

Увы! Что б ни сказал потомок просвещенный,
все так же на ветру, в одежде оживленной,
к своим же Истина склоняется перстам,
с улыбкой женскою и детскою заботой,
как будто в пригоршне рассматривая что-то,
из-за ее плеча невидимое нам.
В. Набоков, Дар. [12]

ТЕОРЕМА ХОПФА

Определения и исторические замечания.

Отображением подмножества K пространства $\mathbb{R}^m$ (например, графа в $\mathbb{R}^2$) в (стандартную) окружность S^1 называется сопоставление каждой точке $x \in K$ некоторой точки $f(x) \in S^1$. Отображение $f : K \to \mathbb{R}^m$ замкнутого ограниченного подмножества K называется *непрерывным*, если для любого $\varepsilon > 0$ существует такое $\delta > 0$, что при любых $x, y \in K$ с условием $|x, y| < \delta$ выполнено $|f(x), f(y)| < \varepsilon$. Далее все отображения считаются непрерывными и прилагательное 'непрерывное' часто опускается.

Для подмножества K пространства $\mathbb{R}^m$ (например, графа в $\mathbb{R}^3$) непрерывное отображение $f : K \to S^1$ можно представлять себе как семейство единичных векторов $f(x)$ в точках $x \in K$, параллельных фиксированной плоскости $\mathbb{R}^2 \subset \mathbb{R}^m$ и непрерывно зависящих от x. (В этой интерпретации можно заменить 'в точках $x \in K$' на 'в точке $0 \in \mathbb{R}^m$'.) При этом векторы не считаются касающимися графа K (на самом деле, для $K \ncong S^1$ такое касание вообще нельзя определить).

Два отображения $f_0, f_1 : K \to S^1$ называются *гомотопными* (обозначение: $f_0 \simeq f_1$), если существует семейство $f_t : K \to S^1$ отображений, непрерывно зависящее от параметра $t \in [0, 1]$. (Последнее эквивалентно существованию такого непрерывного отображения $F : K \times [0, 1] \to X$, что $F(x, 0) = f_0(x)$ и $F(x, 1) = f_1(x)$.)

1. (a) Любые два отображения дерева в окружность гомотопны.

(b) Отображение $\partial D^2 \to S^1$ гомотопно отображению в точку тогда и только тогда, когда оно продолжается на D^2.

(c) *Рефлексивность*. $f \simeq f$.

(d) *Симметричность*. Если $f \simeq g$, то $g \simeq f$.

(e) *Транзитивность*. Если $f \simeq g$ и $g \simeq h$, то $f \simeq h$.

Указание. Положим

$$H(x,t) = \begin{cases} H_1(x, 2t) & 0 \leqslant t \leqslant 1/2 \\ H_2(x, 2t-1) & 1/2 \leqslant t \leqslant 1 \end{cases},$$

где H_1 и H_2 — гомотопии, соединяющие f и g, g и h, соответственно.

Итак, гомотопность отображений — отношение эквивалентности. Обозначим через $[K, S^1]$ множество отображений $K \to S^1$ с точностью до гомотопии.

Непрерывные отображения в другие пространства Y определяются ниже аналогично. Их гомотопность и множество $[K, Y]$ определяются дословно так же.

Задача о классификации непрерывных отображений с точностью до гомотопности, рассматриваемая в этой главе, — одна из важнейших в алгебраической топологии,

[12] *Alas! In vain historians pry and probe: The same wind blows, and in the same live robe Truth bends her head to fingers curved cupwise; And with a woman's smile and a child's care Examines something she is holding there Concealed by her own shoulders from our eyes. V. Nabokov, Gift.*

поскольку к ней сводятся многие другие задачи топологии и ее приложений. Основная теорема топологии о гомотопической классификации отображений $S^n \to S^n$ была доказана Хайнцем Хопфом в 1926 г. с использованием инварианта 'степень', введенного Лейтзеном Эгбертом Яном Брауэром в 1911 г. В 1932 г. Хопф обобщил этот результат до классификации отображений n-полиэдра в S^n ('по заказу' Павла Сергеевича Александрова). Приводимые здесь формулировка и доказательство теоремы Хопфа принадлежит Хасслеру Уитни (1937). Дальнейшее развитие теорема Хопфа-Уитни получила в работах Сэмюэля Эйленберга и Сондерса Маклейна (1940), Льва Семеновича Понтрягина (1941), Нормана Стинрода (1947), Джона Генри Константина Уайтхеда (1949) и Михаила Михайловича Постникова (1950).

Основная теорема топологии (набросок).

Теорема о промежуточном значении непрерывной функции является нульмерной версией основной теоремы топологии.

2. *Соображения непрерывности.*

(a) На плоскости дано $2n$ красных и $2n$ синих точек общего положения. Докажите, что существует прямая, по каждую сторону от которой находится по n красных и синих точек.

(b) Пусть дан (выпуклый) многоугольник на плоскости и точка x вне него. Тогда существует прямая l, содержащая x и делящая многоугольник на две части равной площади.

(c) То же для точки x внутри многоугольника.

(d) Для любого (выпуклого) многоугольника на плоскости существует прямая, делящая его на две части с равными площадями и периметрами.

(e) Любой ли (выпуклый) многоугольник на плоскости можно разрезать на четыре части равной площади двумя перепендикулярными разрезами?

(f) Всегда ли можно разрезать прямолинейным разрезом бутерброд с маслом на две равноценные части?

(g) То же для бутерброда с маслом и сыром.

(h) На неровном полу табуретку всегда можно поставить на все четыре ножки.

(i) Вокруг лобой выпуклой плоской фигуры можно описать квадрат.

(j)* Любую плоскую выпуклую фигуру диаметра 1 можно поместить в правильном шестиугольнике, расстояние между противоположными сторонами которого равно 1.

Обозначим диск $D^2 = \{(x,y) \in \mathbb{R}^2 \mid x^2 + y^2 \leqslant 1\}$, окружность $S^1 = \{(x,y) \in \mathbb{R}^2 \mid x^2 + y^2 = 1\} = \{z \in \mathbb{C} : |z| = 1\}$ и интервал $I = [0,1]$.

3. Следующие утверждения эквивалентны.

(1) Любое отображение $f : D^2 \to D^2$ диска в себя имеет неподвижную точку, т.е. такую точку $x \in D^2$, что $f(x) = x$.

(2) Не существует отображения диска в его граничную окружность, тождественного на этой окружности, т.е. отображения $f : D^2 \to S^1$, для которого $f(x) = x$ при $x \in S^1$ (или, говоря неформально, барабан нельзя смять на его обод).

(3) теорема продолжаемости (из пункта 'существование векторных полей на 2-многообразиях').

(4) Тождественное отображение окружности ($f(x) = x$) не гомотопно постоянному ($g(x) = 1$).

Неформально, *степенью* $\deg f$ отображения $f : S^1 \to S^1$ называется число оборотов вектора $f(x)$ (вокруг своего неподвижного начала) при однократном обходе точкой x окружности S^1 против часовой стрелки. Строгое математическое определение этого понятия непросто [An03], [Pr04].

Стандартной n-намоткой называется отображение $w_n : S^1 \to S^1$, заданное формулой $w_n(z) = z^n$.

4. (a) $\deg(w_n) = n$

(b) w_n не гомотопно w_m при $m \neq n$. (Значит, утверждения предыдущей задачи верны.)

(c) Каждое отображение $f : S^1 \to S^1$ гомотопно отображению $w_{deg(f)}$.

(d) Отображения $g, h : S^1 \to S^1$ гомотопны тогда и только тогда, когда $\deg(g) = \deg(h)$.

(e) Получите следующий результат.

Основная теорема топологии. *Любое непрерывное отображение $f : S^1 \to S^1$ гомотопно d-кратной намотке окружности на себя для $d = \deg f$, и отображения $S^1 \to S^1$ разных степеней не гомотопны. Иными словами, отображение $\deg : [S^1, S^1] \to \mathbb{Z}$ является взаимно однозначным соответствием (биекцией) и переводит класс d-кратной намотки в число d.*

Этот результат назван основной теоремой топологии по аналогии с так называемой “Основной теоремой алгебры"(из него Основная теорема алгебры и вытекает). Суть дела, конечно, лучше бы отражали такие названия как “основная теорема алгебры полиномов"и “основная теорема одномерной топологии но эти названия в литературе не используются. Основной теорему топологии мы не доказываем, но не ввиду ее сложности, а ввиду наличия прекрасных изложений ее доказательства в литературе [BE82, §21], [Pr04, §6].

5. *Основная теорема алгебры.* Любой непостоянный многочлен с комплексными коэффициентами имеет комплексный корень.

Фундаментальная группа и накрытия (набросок).

Для пространства X с отмеченной точкой x_0 *петлей* называется отображение $f : [0,1] \to X$, для которого $f(0) = f(1) = x_0$.

6. Гомотопия в классе петель является отношением эквивалентности на множестве петель $[0,1] \to X$.

Множество $\pi_1(X, x_0)$ петель с точностью до гомотопности в классе петель называется *фундаментальной группой* пространства (X, x_0). Отмеченную точку часто не указывают в обозначениях. Групповая структура на множестве $\pi_1(X)$ вводится следующим образом. Положим $[f_1][f_2]$ равным гомотопическому классу отображения

$$f_1 f_2(t) = \begin{cases} f_1(2t) & 0 \leqslant t \leqslant 1/2, \\ f_2(2t-1) & 1/2 \leqslant t \leqslant 1. \end{cases}$$

Единичным элементом называется гомотопический класс постоянного отображения. Обратным элементом к $[f]$ называется гомотопический класс отображения $\bar{f}(t) := f(1-t)$. Равенства $[\bar{f}][f] = [f][\bar{f}] = e$ и $([f_1][f_2])[f_3] = [f_1]([f_2][f_3])$ ясны из рисунков 54, 55.

Указания и решения некоторых из следующих задач есть в [Pr04, §2, §11].

7. (a) Если X линейно-связно, то $\pi_1(X, x_0)$ не зависит от x_0.

8. Найдите фундаментальные группы следующих пространств (если не получается, см. следующую задачу).

(a) кольца $S^1 \times I$; (b) листа Мебиуса; (c) тора $S^1 \times S^1$;

(d)* сферы S^2; (e) проективной плоскости $\mathbb{R}P^2$;

(f) 'восьмерки' $S^1 \vee S^1$; (g) бутылки Кляйна с дыркой;

(h)* бутылки Кляйна; (i) S^3; (j) $SO_3 \cong \mathbb{R}P^3$; (k) $L(p,q) := S^3/\mathbb{Z}_p$.

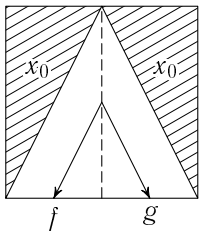

Рис. 54: Обратный элемент фундаментальной группы

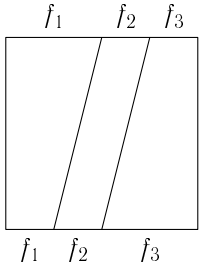

Рис. 55: Ассоциативность умножения

Отображение $p : \widetilde{X} \to X$ между связными полиэдрами (или, более общо, линейно-связными пространствами) называется *накрытием*, если для любой точки $x \in X$ существуют

ее окрестность Ox,

дискретное множество F и

гомеоморфизм $h : p^{-1}Ox \to Ox \times F$, для которого $pr_F \circ h = p$.

9. Пусть $p : \widetilde{X} \to X$ — накрытие.

(a) Для любых пути $s : I \to X$ и точки $\widetilde{x} \in \widetilde{X}$ с условием $p(\widetilde{x}) = s(0)$ существует путь $\widetilde{s} : I \to \widetilde{X}$ (*поднятие* пути s) такой, что $\widetilde{s}(0) = \widetilde{x}$ и $p \circ \widetilde{s} = s$.

(b) Такое поднятие единственно, т.е. если $\widetilde{f}_1, \widetilde{f}_2 : I \to \widetilde{X}$ — два поднятия одного и того же отображения $f : I \to X$, причем $\widetilde{f}_1(0) = \widetilde{f}_2(0)$, то $\widetilde{f}_1(t) = \widetilde{f}_2(t)$ для любого t.

(c) Докажите (еще раз) основную теорему топологии.

(d) *Лемма о поднятии гомотопии.* Для любых гомотопии $\{f_t : I \to X\}_{t \in I}$ и поднятия $\widetilde{f}_0 : I \to \widetilde{X}$ существует единственное поднятие $\{\widetilde{f}_t : I \to \widetilde{X}\}_{t \in I}$ гомотопии f_t.

(e) Выберем $\widetilde{x}_0 \in p^{-1}(x_0)$. Для точек $a, b \in p^{-1}(x_0)$ выберем пути $s_a, s_b : I \to \widetilde{X}$, соединяющие $\widetilde{x}_0$ с a и b. Положим ab равным концу того поднятия пути $(s_a \circ p)(s_b \circ p)$, которое начинается в $\widetilde{x}_0$. Докажите, что это определение задает групповую структуру в $p^{-1}(x_0)$, если для любой петли с началом в x_0 ее поднятия, начинающиеся разных точках множества $p^{-1}(x_0)$, одновременно замкнуты или одновременно незамкнуты. (Такие накрытия называются *регулярными.*)

В следующих задачах либо подразумеваются изо- и мономорфизмы *множеств*, либо накрытие предполагается регулярным.

(f) Если $\pi_1(\widetilde{X}) = 0$, то $\pi_1(X) \cong p^{-1}(x_0)$.

(g) $p_* : \pi_1(\widetilde{X}) \to \pi_1(X)$ является мономорфизмом.

(h) Докажите следующий результат. Указание. Определим отображение $\varphi : \pi_1(X) \to p^{-1}(x_0)$ так. Для петли $s : [0,1] \to X$ рассмотрим такое ее подня-

тие $\widetilde{s}:[0,1]\to\widetilde{X}$, для которого $\widetilde{s}(0)=\widetilde{x}_0$. Положим $\varphi(s)$ равным тому элементу $a\in p^{-1}(x_0)$, для которого $a\widetilde{x}_0=\widetilde{s}(1)$.

Теорема о накрытии. *Если $p:\widetilde{X}\to X$ — регулярное накрытие, то $\pi_1(X)/p_*(\pi_1(\widetilde{X}))\cong p^{-1}(x_0)$.*

Отображения графа в окружность.

10. (a) Пусть K — несвязное объединение или букет k окружностей (рис. 1). Фиксируем произвольно направление на каждой из этих окружностей. Для отображения $f:K\to S^1$ поставим на каждой из этих окружностей степень сужения f на эту окружность. Полученную расстановку k целых чисел обозначим $\deg f$. Тогда $\deg:[K,S^1]\to\mathbb{Z}^k$ — биекция.

(b) Множество $[K,S^1]$ не меняется при стягивании ребра.

(c) $[K,S^1]=\mathbb{Z}^{E-V+C}$.

Хопф доказывал свою теорему о множестве $[K,S^1]$ при помощи метода 'стягивания ребер' предыдущей задачи (на самом деле, он рассматривал n-мерный случай — см. ниже). Приведем формулировку Уитни теоремы Хопфа и доказательство Уитни, следующее общему методу теории препятствий (и тоже развивающее идею предыдущей задачи). Хотя эти формулировка и доказательство более сложны, чем хопфовские, но с помощью их обобщения можно получить результаты, которые не получаются при помощи метода 'стягивания ребер' и его многомерного аналога.

Теорема Хопфа. *Для графа K существует биекция* $\deg:[K,S^1]\to H^1(K;\mathbb{Z})$.

Начало доказательства теоремы Хопфа: определение препятствующей расстановки. Знакомство с этим доказательством рекомендуем начать со случая $K=K_4$ (рис. 1).

Фиксируем произвольную точку $v\in S^1$. Произвольное отображение $K\to S^1$ гомотопно *клеточному*, т.е. такому, для которого каждой вершине графа K соответствует вектор v (докажите!). Поэтому достаточно классифицировать клеточные отображения $K\to S^1$ с точностью до гомотопии, отображения которой не обязательно клеточны.

Построим для отображения f препятствие $\deg f$ к гомотопности отображения f постоянному отображению. Фиксируем произвольно направление на каждом ребре графа K (препятствие $\deg f$ будет зависеть от этого выбора). Возьмем клеточное отображение $f:K\to S^1$. Поставим на каждом ребре $e\subset K$ число оборотов вектора $f(x)$ при проходе точкой x по ребру e вдоль направления. Полученную расстановку обозначим $\gamma(f)$.

Если $f,g:K\to S^1$ — клеточные отображения, для которых $\gamma(f)=\gamma(g)$, то по Основной теореме топологии $f\simeq g$.

Изменение препятствующей расстановки. Обратное неверно, как показывает пример следующей гомотопии (рис. 56). Для вершины a графа K изменим отображение f так, чтобы вектор в a сделал один оборот против часовой стрелки, вектора в маленькой окрестности вершины a 'потянулись' за вектором в a, а вне этой маленькой окрестности отображение осталось прежним. В результате получим отображение $g:K\to S^1$, гомотопное отображению f. Понятно, что $\gamma(f)$ и $\gamma(g)$ отличаются на расстановку плюс или минус единиц (в зависимости от ориентации) на ребрах, содержащих вершину a, и нулей на всех остальных ребрах. Эта расстановка называется *элементарной кограницей вершины* a и обозначается δa.

В окрестностях вершин $a_1,\dots,a_s$ сделаем описанную выше гомотопию отображения f, поворачивая вектора в этих вершинах на $n_1,\dots,n_s$ оборотов, соответственно. Обозначим полученное отображение через $f_{n_1a_1+\dots+n_sa_s}$. Расстановки целых чисел на

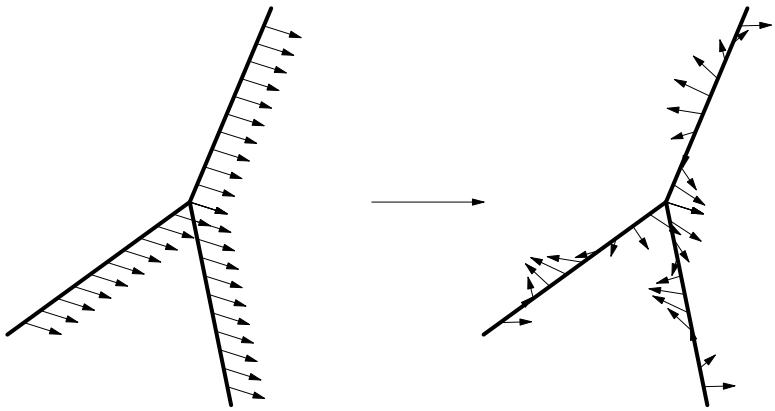

Рис. 56: Подкручивание отображения в окрестности вершины

ребрах можно складывать: для этого просто складываются числа, стоящие на каждом ребре (такое сложение называется *покомпонентным*). Тогда

$$\gamma(f) - \gamma(f_{n_1a_1+\ldots+n_sa_s}) = n_1\delta a_1 + \ldots + n_s\delta a_s.$$

Теперь рассмотрим гомотопию $f_t : K \to S^1$ между клеточными отображениями f_0, f_1. Поставим на каждой вершине a число оборотов вектора $f_t(a)$ при изменении t от 0 до 1. Полученную расстановку обозначим $n_1a_1 + \ldots + n_sa_s$. Легко проверить, что $\gamma(f_0) - \gamma(f_1) = n_1\delta a_1 + \ldots + n_s\delta a_s$.

Определение одномерной группы когомологий $H^1(K;\mathbb{Z})$, отображения deg *и доказательство его биективности.* Назовем расстановки γ_1, γ_2 целых чисел на ребрах *когомологичными*, если $\gamma_1 - \gamma_2 = n_1\delta a_1 + \ldots + n_s\delta a_s$ для некоторых целых чисел $n_1, \ldots, n_s$ и вершин $a_1, \ldots, a_s$. Группа $H^1(K;\mathbb{Z})$ расстановок с точностью до когомологичности называется *одномерной группой когомологий графа K (с коэффициентами в $\mathbb{Z}$).* Обозначим

$$\deg f = [\gamma(f)] \in H^1(K;\mathbb{Z})$$

Ясно, это определение корректно.

Если $\deg f = \deg g$ для некоторых клеточных отображений f и g, то $\gamma(f) - \gamma(g) = n_1\delta a_1 + \ldots + n_V\delta a_V$ для некоторых целых чисел $n_1, \ldots, n_V$. Тогда $f \simeq f_{n_1a_1+\ldots+n_sa_s} \simeq g$. Поэтому отображение deg инъективно.

Чтобы доказать сюръективность отображения deg, возьмем произвольную расстановку γ целых чисел на ребрах. Положим $f(a) = v$ для каждой вершины a графа K. В качестве $f|_e$ возьмем γ_e-кратный обход вдоль окружности S^1. Для построенного клеточного отображения f имеем $\gamma(f) = \gamma$, поэтому $\deg f = [\gamma]$. □

11. В этой задаче используются понятия группы и изоморфизма групп.

(a) Группа $H^1(K;\mathbb{Z})$ зависит только от топологического типа графа K, т.е. одномерные группы когомологий гомеоморфных графов изоморфны.

(b) $H^1(K,\mathbb{Z}) \cong \mathbb{Z}^{E-V+C}$.

(c) Отображение $\deg : [K, S^1] \to H^1(K,\mathbb{Z})$ является изоморфизмом групп (S^1 является группой, поэтому $[K, S^1]$ является группой).

Отображения 2-многообразий в окружность.

Здесь мы будем использовать теоремы продолжаемости и гомотопности (из пункта 'существование векторных полей на 2-многообразиях' и параграфа 'классификация векторных полей', соответственно).

12. (a) Отображение $S^1 \to S^2$, образ которого не совпадает с S^2, гомотопно отображению в точку.

(b)* Любое отображение $S^1 \to S^2$ гомотопно отображению в точку. Предостережение: существуют сюръективные отображения $S^1 \to S^2$. Указание: докажите, что любое отображение $S^1 \to S^2$ гомотопно гладкому или кусочно-линейному (определите, что это такое), и что гладкое или кусочно-линейное отображение $S^1 \to S^2$ не сюръективно.

(c) Для любого отображения $f : S^2 \to S^1$ существует такое отображение $\overline{f} : S^2 \to \mathbb{R}$, что $f(x) = \overline{f}(x) \mod 2\pi$ для любого $x \in S^2$.

(d) Любое отображение $S^2 \to S^1$ гомотопно отображению в точку.

Обобщением пункта (d) является следующий результат.

Теорема Брушлинского. *Для 2-многообразия K существует биекция* $\deg : [K; S^1] \to H^1(K, \mathbb{Z})$.

Набросок определения группы когомологий $H^1(K;\mathbb{Z})$, отображения deg *и доказательства его биективности.* Фиксируем произвольную триангуляцию 2-многообразия K.

Второй и третий абзацы доказательства теоремы Хопфа нужно повторить без изменений (т.е. клеточные отображения и препятствующая расстановка $\gamma(f)$ определяются так же, как и в теореме Хопфа). По теореме продолжаемости, для расстановки $\gamma(f)$

сумма чисел на ребрах границы любой грани $c \subset K$ равна 0.

(Действительно, эта сумма равна количеству оборотов вектора $f(x)$ при обходе точкой x границы этой грани.) Расстановки с этим условием называются *коциклами*.

Кограница δa вершины $a \in K$, отношение *когомологичности*, группа $H^1(K;\mathbb{Z})$ классов когомологичности *коциклов* и отображение $\deg : [K, S^1] \to H^1(K;\mathbb{Z})$ определяются как и в теореме Хопфа.

Для доказательства инъективности отображения deg мы сначала соединяем отображения одинаковой степени гомотопией на объединении $K^{(1)}$ ребер триангуляции (аналогично доказательству теоремы Хопфа). По теореме гомотопности эту гомотопию можно продолжить на все K (докажите!).

Для доказательства сюръективности отображения deg мы сначала для коцикла γ строим такое непрерывное отображение $f : K^{(1)} \to S^1$, что $\gamma(f) = \gamma$ (аналогично доказательству теоремы Хопфа). Так как сумма чисел расстановки γ на ребрах границы ∂c произвольной грани $c \subset K$ равна нулю, то по теореме продолжаемости существует продолжение отображения $f : \partial c \to S^1$ на грань c. Аналогично продолжаем f на остальные грани триангуляции. □

13. (a) Вычислите $H^1(K;\mathbb{Z})$ для 2-многообразия K с триангуляцией, имеющей V вершин, E ребер и F граней.

(b) Любое отображение $S^i \to S^1$ гомотопно отображению в точку при $i \geqslant 2$.

(c) Найдите $[K, S^1]$ для 2-полиэдра K, т.е. определите одномерную группу когомологий $H^1(K;\mathbb{Z})$ с $\mathbb{Z}$-коэффициентами и биекцию $\deg : [K, S^1] \cong H^1(K;\mathbb{Z})$.

(d) То же для n-полиэдра K, см. определение в следующем пункте.

14. (a) Для подсхемы $A \subset K$ и расстановки x чисел на ребрах схемы K рассмотрим ограничение $x|_A$ этой расстановки на ребра схемы A. Тогда соответствие $[x] \mapsto [x|_A]$ определяет отображение $H^1(K;\mathbb{Z}) \to H^1(A;\mathbb{Z})$. Оно называется *сужением*.

(b) *Теорема Хопфа.* Окружность $S^1 \subset K$ в 2-полиэдре K является его ретрактом (т.е. существует отображение $K \to S^1$, тождесвенное на S^1) тогда и только тогда, когда существует $x \in H^1(K;\mathbb{Z})$, сужение которого на S^1 является образующей группы $H^1(S^1;\mathbb{Z})$. (Это утверждение интересно даже для 2-многообразия K.)

Отображения графа в проективное пространство.

Пусть граф K расположен в трехмерном пространстве. Назовем непрерывным отображением $f : K \to \mathbb{R}P^2$ семейство прямых $f(x)$ трехмерного пространства, проходящих через точки $x \in K$, непрерывно зависящих от x. (В этом определении можно заменить 'через точки $x \in K$' на 'через точку $0 \in \mathbb{R}^3$'.)

15. (a) Любые два отображения дерева в $\mathbb{R}P^2$ гомотопны.

(b) Для любого отображения $f : S^1 \to \mathbb{R}P^2$ композиция двукратной намотки $S^1 \to S^1$ и f гомотопна отображению в точку.

(c) Стандартное включение $S^1 \cong \mathbb{R}P^1 \to \mathbb{R}P^2$ не гомотопно отображению в точку.

(d) $[S^1, \mathbb{R}P^2] \cong \mathbb{Z}_2$.

(e) Опишите $[K, \mathbb{R}P^2]$ (указание: используйте (b) и стягивание ребра).

Теорема Хопфа по модулю 2. *Для графа K существует биекция* $\deg : [K, \mathbb{R}P^2] \to H^1(K)$.

Набросок определения одномерной группы когомологий $H^1(K)$, отображения deg *и доказательства его биективности.* Фиксируем в $\mathbb{R}^3$ некоторую прямую l_0 и плоскость α_0, ее содержащую (т.е. фиксируем на проективной плоскости точку $\mathbb{R}P^0$ и окружность $\mathbb{R}P^1$, рис. 57). Любое отображение $f : K \to \mathbb{R}P^2$ гомотопно *клеточному*, т.е. такому, для которого все прямые параллельны α_0, а прямая в вершине параллельна l_0 (т.е. переводящему любую вершину графа K в $\mathbb{R}P^0$, а любое ребро в $\mathbb{R}P^1$). Поэтому достаточно классифицировать клеточные отображения $f : K \to \mathbb{R}P^2$ с точностью до гомотопии (отображения которой не обязательно клеточны).

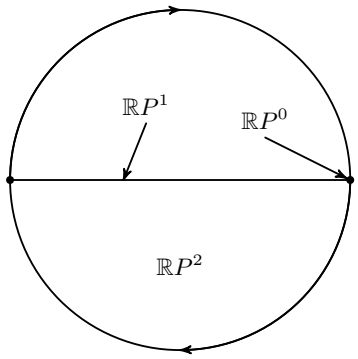

Рис. 57: Схема (клеточное разбиение) проективной плоскости

Для клеточного отображения $f : K \to \mathbb{R}P^2$ поставим на каждом ребре e количество оборотов прямой $f(x)$ при прохождении по этому ребру от одной вершины до другой. Это количество не зависит от выбора начальной вершины. Полученную расстановку нулей и единиц на ребрах графа K обозначим $\gamma(f)$.

Если $f, g : K \to \mathbb{R}P^2$ — клеточные отображения и $\gamma(f) = \gamma(g)$, то $f \simeq g$ (поскольку $[S^1, \mathbb{R}P^2] \cong \mathbb{Z}_2$).

Так как $\mathbb{R}P^2$ является 2-многообразием, то любая гомотопия клеточного отображения f гомотопна *клеточной*, т.е. такой, в процессе которой прямые в вершинах графа K параллельны плоскости α_0 (т.е. образы вершин находятся на окружности $\mathbb{R}P^1$). Заметим, что отображения, из которых состоит клеточная гомотопия, не обязательно клеточны. Для клеточной гомотопии $f_t : K \to S^1$ между клеточными отображениями f_0 и f_1 и вершины $a \in K$ рассмотрим количество оборотов прямой $f_t(a)$ при прохождении параметром t отрезка $[0, 1]$. Пусть $a_1, \ldots, a_s$ — все вершины, для которых

это количество нечетно. Тогда $\gamma(f_0) - \gamma(f_1) = \delta a_1 + \ldots + \delta a_s$. *Кограница* δa вершины $a \in K$, отношение *когомологичности*, группа $H^1(K)$ и класс $\deg f = [h_f] \in H^1(K)$ определяются как и в теореме Хопфа с заменой $\mathbb{Z}$ на $\mathbb{Z}_2$. Корректность определения, инъективность и сюръективность отображения deg доказываются аналогично теореме Хопфа. $\square$

Эквивариантные отображения графа.

Пусть дан связный граф (или 2-полиэдр) K с симплициальной инволюцией $\tau : K \to K$, не имеющей неподвижных точек (см. определение в параграфе 'инволюции'). Отображение $f : K \to S^1$ называется *эквивариантным* (относительно t), если $f(\tau(x)) = -f(x)$ для любой $x \in K$ (т.е. если векторы в τ-симметричных точках противоположны). Такие отображения возникали в главе 1. Обозначим через $[K, S^1]_\tau$ множество эквивариантных отображений $K \to S^1$ с точностью до эквивариантной гомотопии (т.е. гомотопии в классе эквивариантных отображений).

Эквивариантная теорема Хопфа. *Для связного графа K с симплициальной инволюцией $\tau : K \to K$, не имеющей неподвижных точек, существует биекция* $\deg : [K; S^1]_\tau \to H^1(K/\tau; \mathbb{Z})$.

Набросок определения отображения deg *и доказательства его биективности.* Фиксируем произвольный единичный вектор v. Произвольное эквивариантное отображение $K \to S^1$ эквивариантно гомотопно *клеточному*, т.е. такому, для которого каждой вершине графа K соответствует один из векторов v или $-v$ (докажите!). Поэтому достаточно классифицировать клеточные эквивариантные отображения с точностью до эквивариантной гомотопии (отображения которой не обязательно клеточны).

Ясно, что существует некоторое эквивариантное клеточное отображение $K \to S^1$: его можно задать произвольно на вершинах и затем произвольно продолжить на ребра. Обозначим одно из таких отображений через f_0.

Фиксируем ориентации на окружности S^1 и на ребрах графа K так, чтобы ориентации на инволютивных ребрах были согласованы. Возьмем клеточное эквивариантное отображение $f : K \to S^1$. Для на каждого ребра рассмотрим полуцелое число оборотов вектора $f(x)$ при пробегании x этого ребра в направлении ориентации ребра. Поставим на этом ребре разность этого числа и аналогичного числа для f_0. Получим расстановку $\gamma(f)$ полуцелых чисел на ребрах графа K. Тогда

(i) на паре инволютивных ребер будут стоять равные числа.

(ii) сумма чисел на ребрах любого пути в графе K, соединяющего две инволютивные вершины, будет целой.

(iii) на петлях стоят целые числа.

Второе утверждение следует из $f(a) = -f(\tau a)$ и $f_0(a) = -f_0(\tau a)$.

Будем называть *эквивариантными* расстановки, удовлетворяющие этому условию. Определим *эквивариантную кограницу* $\delta(a, \tau a)$ пары инволютивных вершин $a, \tau a$ так: на всех ребрах, не содержащих ни a, ни τa, ставим нули, на ребрах, входящих в одну из этих вершин, ставим $+1/2$, на выходящих ставим $-1/2$. При этом если есть ребро с концами только в вершинах a и τa, то на нем ставим 0. Определим отношение *эквивариантной когомологичности*, группу $H^1_\tau(K; \mathbb{Z})$ эквивариантных расстановок с точность до эквивариантной когомологичности и отображение $\deg : [K; S^1]_\tau \to H^1_\tau(K; \mathbb{Z})$ как и в доказательстве теоремы Хопфа. Доказательства корректности определения отображения deg и его инъективности аналогичны доказательству теоремы Хопфа.

Для доказательства сюръективности отображения deg возьмем произвольную эквивариантную расстановку γ и любую вершину $a \in K$. Положим $f(a) = f_0(a)$ и

$f(\tau a) = f_0(\tau a) = -f_0(a)$. Постепенно, выходя от вершины a, будем продолжать построенное отображение f на пары $e, \tau e$ инволютивных ребер, наматывая их 'с одинаковой скоростью' на окружность нужное число раз. Ввиду условия (ii) это построение корректно (проверьте!). Для построенного отображения f получаем $\gamma(f) = \gamma$.

Доказательство изоморфизма $H^1_\tau(K;\mathbb{Z}) \to H^1(K/\tau;\mathbb{Z})$ оставляем в качестве задачи. □

16. (a) $H^1_\tau(K;\mathbb{Z}) \cong H^1(K/\tau;\mathbb{Z})$.

(b) В последнем построении рассмотрим произвольную вершину b графа K. Если сумма чисел на ребрах некоторого пути, соединяющего a и b, целая, то $f(b) = 1$ и $f(\tau b) = -1$, иначе $f(b) = -1$ и $f(\tau b) = 1$. (Ввиду условия (ii) сумма чисел на ребрах любого пути, соединяющего a и b, является целой или полуцелой в зависимости только от вершины b, а не от выбора пути).

(c) Приведите другое доказательство теоремы, основанное на одновременном стягивании τ-симметричных ребер в K.

Отображения полиэдра в сферу той же размерности.

Этот пункт интересно разобрать даже для $n = 2$ и $m = 3$ (общий случай аналогичен). Для подмножества K пространства $\mathbb{R}^m$ непрерывное отображение $f : K \to S^n$ определяется аналогично случаю $n = 1$. Такое непрерывное отображение можно также представлять себе как семейство единичных векторов $f(x)$ в точках $x \in K$, параллельных фиксированной плоскости $\mathbb{R}^{n+1} \subset \mathbb{R}^m$ и непрерывно зависящих от x.

В этом пункте мы будем заниматься проблемой описания *множества* гомотопических классов непрерывных отображений $K \to S^n$. Для $K = S^n$ на этом множестве имеется естественная структура *группы*, которая необходима при решении нашей задачи для произвольного K (несмотря на то, что для произвольного K такой естественной структуры *группы* нет и ответ, когда он известен, дается именно в терминах *множеств*).

Нулем группы $[S^n, S^n]$ называется гомотопический класс отображения в точку. *Обратным элементом* к гомотопическому классу отображения $f : S^n \to S^n$ называется гомотопический класс композиции $s \circ f$ отображения f с зеркальной симметрией s. *Сумма* гомотопических классов отображений f и g строится, как на рис. 58 вверху (или внизу, если под отображением $S^n \to S^n$ понимать отображение $I^n \to S^n$, переводящее границу куба I^n в точку).

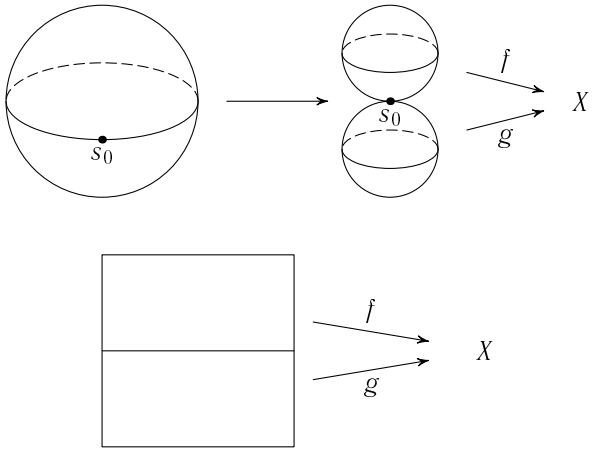

Рис. 58: Сумма сфероидов, заменить $X \to S^n$

Мы будем использовать следующий факт.

Многомерная основная теорема топологии. *Существует изоморфизм групп* $\deg : [S^n, S^n] \to \mathbb{Z}$.

17. (a) Для замкнутого ориентируемого 2-многообразия K существует биекция $\deg : [K, S^2] \cong \mathbb{Z}$.

(b) Найдите $[K, S^n]$ для произвольных (известных Вам) многообразий K.

Конечный n-полиэдр можно представлять себе как объединение некоторого количества граней размерностей не более n в разбиении пространства $\mathbb{R}^m$ на единичные m-кубы.

Многомерная теорема Хопфа. *Для n-полиэдра K существует биекция* $\deg : [K, S^n] \to H^n(K; \mathbb{Z})$.

Набросок определений n-мерной группы когомологий $H^n(K; \mathbb{Z})$, отображения deg *и доказательства его биективности.* Фиксируем произвольную точку $v \in S^n$. Фиксируем триангуляцию полиэдра K и ориентации на n-мерных гранях триангуляции. Любое отображение $f : K \to S^n$ гомотопно клеточному, т.е. переводящему объединение $(n-1)$-мерных граней в v. Поэтому достаточно классифицировать клеточные отображения с точностью до гомотопии (отображения которой не обязательно клеточны).

Для клеточного отображения $f : K \to S^n$ рассмотрим произвольную n-мерную грань $c \subset K$. Поскольку f отображает ее границу ∂c в точку, то отображение $f|_c$ представляется в виде композиции схлопывания границы грани c в точку (при котором получается S^n) и некоторого отображения $S^n \to S^n$. Поставим на грани c степень последнего отображения. Полученную расстановку обозначим $\gamma(f)$.

Кограница $(n-1)$-мерной грани, отношение *когомологичности*, группа $H^n(K; \mathbb{Z})$ и отображение deg определяются как и в (одномерной) теореме Хопфа.

Корректность определения отображения deg, его инъективность и сюръективность доказываются аналогично (одномерной) теореме Хопфа, используя $[S^i, S^n] \cong 0$ для $i < n$ и многомерную основную теорему топологии. Для доказательства инъективности необходимо следующее добавление: в силу общего положения можно считать, что гомотопия между $f, g : K \to S^n$ отображает объединение $(n-2)$-мерных граней полиэдра K в $v \in S^n$. □

Для полиэдра K *произвольной размерности* и любого клеточного отображения $f : K \to S^n$ можно точно так же определить препятствующую расстановку $\gamma(f)$. Из многомерной основной теоремы топологии следует, что для расстановки $\gamma(f)$

сумма чисел на границе любой $(n+1)$-мерной грани равна 0.

Расстановки с этим условием называются *коциклами*. *Кограница* $(n-1)$-мерной грани, отношение *когомологичности коциклов* и группа $H^n(K; \mathbb{Z})$ определяются как и в (одномерной) теореме Хопфа. Ввиду важности этого определения приведем его.

Определение групп когомологий. (Ср. с определением групп гомологий в начале главы 4; $C^n(X; \mathbb{Z}) = C_n(X; \mathbb{Z})$.) Введем ориентации на симплексах (некоторой триангуляции) полиэдра X. Обозначим через $C^n = C^n(X; \mathbb{Z})$ группу расстановок целых чисел на ориентированных n-симплексах (с операцией покомпонентного сложения). Для n-мерного симплекса σ определим его *элементарную кограницу* $\partial\sigma$ как расстановку плюс или минус единиц на $(n+1)$-симплексах, содержащих σ, и нулей на остальных $(n+1)$-симплексах. Уточните знаки, исходя из предыдущих примеров, мотивирующих это определение. Элементарные кограницы определяют линейное отображение $\delta = \delta_{n+1} : C^n \to C^{n+1}$.

18. $\delta_{n+1}\delta_n = 0$.

Положим

$$H^n(X;\mathbb{Z}) := \delta_{n+1}^{-1}(0)/\delta_n(C^{n-1}) \quad \text{для } n \geqslant 1 \quad \text{и} \quad H^0(X;\mathbb{Z}) := \delta_1^{-1}(0).$$

19. Для полиэдра K *произвольной размерности* и любого клеточного отображения $f : K \to S^n$ отображение $\deg : [K, S^n] \to H^n(K;\mathbb{Z})$ определяется как и в (одномерной) теореме Хопфа (ср. с доказательством теоремы Брушлинского).

(a) Отображение deg по-прежнему корректно определено.

(b) Если $\dim K = n+1$, то deg сюръективно.

(c) Приведите пример не инъективности отображения deg для $n = 2$. Указание. Если не получается, то см. далее.

ОБОБЩЕНИЯ ТЕОРЕМЫ ХОПФА (НАБРОСОК)

Отображения трехмерного полиэдра в двумерную сферу.

Представим $S^3 = \{(z_1, z_2) \in \mathbb{C}^2 \ : \ |z_1|^2 + |z_2|^2 = 1\}$ и отождествим S^2 с $\mathbb{C}P^1$. Определим *отображение Хопфа*

$$\eta : S^3 \to S^2 \quad \text{формулой} \quad \eta(z_1, z_2) = (z_1 : z_2).$$

Инвариант Хопфа определяется как коэффициент зацепления прообразов регулярных точек при гладком или кусочно-линейном отображении (коэффициент зацепления определен в пункте 'коэффициент зацепления'). Приведем аккуратное определение. Любое отображение $f : S^3 \to S^2$ гомотопно гладкому отображению g [DNF79], [Pr04, 18.4]. Точка $a \in S^2$ называется *регулярным значением* гладкого отображения g, если $\operatorname{rk} J(x) = 2$ для любой точки $x \in g^{-1}a$. Для гладкого отображения $g : S^3 \to S^2$ найдутся регулярные значения $a_1, a_2 \in S^2$ [DNF79, Pr04]. Тогда $g^{-1}a_i = S^1_{i1} \sqcup S^1_{i2} \sqcup \ldots \sqcup S^1_{ik_i}$ есть несвязное объединение окружностей [DNF79], [Pr04]. Определим *инвариант Хопфа*

$$H(f) := \sum_{i=1,j=1}^{k_1,k_2} \operatorname{lk}(S^1_{1i}, S^1_{2j}).$$

1. (a) $H(f)$ не зависит от выбора точки a_1 (и точки a_2).

(b) $H(f)$ не меняется при гладкой гомотопии отображения g.

(c) $H(f)$ не зависит от выбора отображения g.

(d) $H(\eta) = 1$.

(e) Отображение Хопфа не гомотопно отображению в точку.

(f) Введите структуру группы на $[S^3, S^2]$ аналогично вышеописанной структуре группы на $[S^n, S^n]$.

(g) Инвариант Хопфа является гомоморфизмом.

(h) *Теорема Хопфа (1931).* Существует бесконечно много попарно негомотопных отображений $S^3 \to S^2$.

(i)* Отображения $S^3 \to S^2$ с равными инвариантами Хопфа гомотопны.

(j) **Теорема Хопфа-Понтрягина-Фрейденталя** (1938). *Инвариант Хопфа является изоморфизмом* $[S^3, S^2] \to \mathbb{Z}$.

2.* (a) Множество $[S^3, S^2]$ находится во взаимно-однозначном соответствии с множеством *оснащенных зацеплений* в S^3 с точностью до *оснащенного кобордизма.* См. [Po76], [Pr04, 18.5], ср. [CRS].

(b) Получите другое доказательство теоремы Хопфа-Понтрягина-Фрейденталя.

3. (a) Для любого $a \in S^2$ выполнено $\eta^{-1}a \cong S^1$.

(b) Отображение Хопфа является *локально-тривиальным расслоением*, т.е. для любой точки $a \in S^2$ существует гомеоморфизм $h : \eta^{-1}(S^2 \backslash \{-a\}) \to S^2 \backslash \{-a\} \times S^1$, для которого $pr_1 \circ h = \eta$.

(c) Отображение Хопфа является *расслоением в смысле Серра*, т.е. для любого полиэдра X, его отображения $F_0 : X \to S^3$ и гомотопии $f_t : X \to S^2$ отображения $f_0 = \eta \circ F_0$ существует (*накрывающая*) гомотопия $F_t : X \to S^3$ отображения F_0, для которой $f_t = \eta \circ F_t$.

Указание. Доказательство для локально-тривиальных расслоений аналогично доказательству для накрытий.

(d) Отображение $[S^3, S^3] \to [S^3, S^2]$, определенное композицией с отображением Хопфа, является гомоморфизмом.

(e) Это отображение мономорфно. Указание. Пусть для отображения $F_0 : S^3 \to S^3$ композиция $\eta \circ F_0$ гомотопна отображению в точку $a \in S^2$. Возьмем накрывающую гомотопию F_t. Тогда $F_1(S^3) \subset \eta^{-1}(a) \cong S^1$. Значит, F_1 пропускается через S^1 и потому гомотопно отображению в точку. Следовательно, и F гомотопно отображению в точку.

(f) Это отображение эпиморфно.

(g) Получите еще одно доказательство теоремы Хопфа-Понтрягина-Фрейденталя.

4.* (a) Для ориентируемого 3-многообразия K и $n = 2$ постройте биекцию $\deg^{-1} 0 \to \mathbb{Z}$.

(b) Для 3-полиэдра K и $n = 2$ постройте биекцию $\deg^{-1} 0 \to H^3(K; \mathbb{Z})$ [Pr06, 3.1.4].

Теорема Понтрягина. *Для 3-полиэдра K имеется сюръекция* $\deg : [K, S^2] \to H^2(K; \mathbb{Z})$ *и, для любого $\gamma \in H^2(K; \mathbb{Z})$, биекция* $\deg^{-1} \gamma = \dfrac{H^3(K; \mathbb{Z})}{2\gamma \cup H^1(K; \mathbb{Z})}$.

Теорема Понтрягина интересна даже для *3-многообразий K* (в этом случае имеется более простая формулировка ответа — см. теорему классификации векторных полей — и более простое доказательство [CRS]). Определение произведения $\cup : H^1(K; \mathbb{Z}) \times H^2(K; \mathbb{Z}) \to H^3(K; \mathbb{Z})$ аналогично определению операции Sq в пункте 'препятствие Ван Кампена к планарности графов', см. [FF89, §16]. Впрочем, это определение естественно появляется при изучении множества $[K, S^2]$, поэтому читатель может попытаться переоткрыть его самостоятельно.

Отображения полиэдра в сферу меньшей размерности.

Приведем без доказательства описание множества $[K, S^n]$ для $(n+1)$-полиэдра K.

Введем на $[S^m, S^n]$ структуру группы аналогично вышеописанной структуре группы на $[S^n, S^n]$. Полученную группу обозначим $\pi_m(S^n)$.

5. (a) Множество $\pi_{n+1}(S^n)$ находится во взаимно-однозначном соответствии с множеством *оснащенных зацеплений* в S^{n+1} с точностью до *оснащенного кобордизма*.

(b) **Теорема Понтрягина** (1938). $\pi_{n+1}(S^n) \cong \mathbb{Z}_2$ *для* $n \geqslant 3$.

6. *Теорема Александера.* Любой сохраняющий ориентацию кусочно-линейный гомеоморфизм $D^n \to D^n$ изотопен тождественному.

7.* *Теорема Фрейденталя.*

(a) $\Sigma : \pi_{n+k}(S^n) \to \pi_{n+k+1}(S^{n+1})$ есть эпиморфизм при $n \geqslant 2k - 1$.

(b) $\Sigma : \pi_{n+k}(S^n) \to \pi_{n+k+1}(S^{n+1})$ есть изоморфизм при $n \geqslant 2k - 2$.

(c)* $\ker \Sigma : \pi_3(S^2) \to \pi_4(S^3)$ порождается отображением 2η.

(d) Получите другое доказательство теоремы Понтрягина.

8. (a) Пусть A — подполиэдр полиэдра X и $f : A \to S^n$ — непрерывное отображение. Определите группы $H^{s+1}(X, A; \pi_s(S^n))$ (аналогично вышеприведенному определению групп когомологий) и постройте препятствия $o(f) \in H^{s+1}(X, A; \pi_s(S^n))$ к продолжению f на X. Замечание. Препятствующая расстановка будет 'более чем коциклом': если подполиэдр $Z \subset X$ изоморфен границе $(s+2)$-симплекса, то сумма

элементов группы $\pi_s(S^n)$ по s-мерным симплексам подполиэдра Z равна нулю, даже если сам Z не является границей $(s+2)$-симплекса. Более общее утверждение доказано в (d).

В оставшихся пунктах мы пропускаем коэффициенты $\pi_s(S^n)$.

(b) Для непрерывного отображения $g:(Y,B)\to(X,A)$ определите гомоморфизм $g^*: H^{s+1}(X,A)\to H^{s+1}(Y,B)$ и докажите, что построенные препятствия естественны, т.е. $o(f\circ g)=g^*o(f)$.

(c) Определите гомоморфизм $j^*: H^{s+1}(X,A)\to H^{s+1}(X)$ (ср. с пунктом 'точные последовательности' главы 4) и докажите, что $jo(f)=0$.

(d) $o(f)\cdot H_{s+1}(X)=0$. Определение группы $H_{s+1}(X)$ аналогично приведенному в начале главы 4; умножение $\cdot$ происходит из скалярного умножения $C_n(X)\cdot C_n(X)\to\mathbb{Z}$.

Теорема Стинрода. *Для $n\geqslant 3$ и $(n+1)$-полиэдра K существует биекция*

$$[K,S^n]\to H^n(K;\mathbb{Z})\times H^{n+1}(K)/\operatorname{Sq}^2\rho_2H^{n-1}(K;\mathbb{Z}).$$

Более точно, для любого $\gamma\in H^n(K;\mathbb{Z})$ существует биекция $\deg^{-1}\gamma\to$ $\to H^{n+1}(K)/\operatorname{Sq}^2\rho_2H^{n-1}(K;\mathbb{Z})$.

Здесь $\rho_2: H^n(K;\mathbb{Z})\to H^n(K)$ — приведение по модулю 2. Операция $\operatorname{Sq}^2: H^{n-1}(K)\to H^{n+1}(K)$ определяется тем условием, что для отображения $f: K^{(n-1)}\to S^{n-1}$, продолжаемого на $K^{(n)}$, элемент $\operatorname{Sq}^2\rho_2(\deg f)\in H^{n+1}(K)$ является препятствием к продолжению отображения f на все K. (Это условие равносильно тому, что последовательность $[K,S^{n-1}]\xrightarrow{\deg}H^{n-1}(K,\mathbb{Z})\xrightarrow{\operatorname{Sq}^2\circ\rho_2}H^{n+1}(K)$ множеств с отмеченными точками точна.)

9.* (a) Это определение корректно, т.е. препятствие действительно пропускается через ρ_2.

(b) Операция Sq^2 естественна по K.

(c) Для 4-полиэдра K и отображения $f: K^{(2)}\to S^2$, продолжаемого на $K^{(3)}$, постройте препятствие $\operatorname{Sq}^2(\deg f)\in H^4(K;\pi_3(S^2))$ к продолжению отображения f на все K (аналогично задаче 9). Получится отображение Sq^2, для которого последовательность $[K,S^2]\xrightarrow{\deg}H^2(K;\mathbb{Z})\xrightarrow{\operatorname{Sq}^2}H^4(K;\mathbb{Z})$ множеств с отмеченными точками точна.

(d) Для коцикла $a\in Z^2(K;\mathbb{Z})$ элемент $\operatorname{Sq}^2[a]$ представляется коциклом $b\in Z^4(K,\mathbb{Z})$, определенным по формуле $b(\sigma_{01234})=a(\sigma_{012})a(\sigma_{234})$.

(e) Пусть K — ориентируемое четырехмерное многообразие и класс $a\in H^2(K;\mathbb{Z})$ двойственен по Пуанкаре классу $Da\in H_2(K;\mathbb{Z})$, представляющемуся вложением $h: N\to K$ замкнутого ориентируемого 2-многообразия (т.е. сферы с ручками) N. Тогда Sq^2a есть сумма точек (со знаком) в $hN\cap h'N$, где h' — погружение, близкое к h.

(f) Если $\alpha\in H^2(K;\mathbb{Z})$, то $f_{\operatorname{Sq}^2\alpha}=f_1\circ f_\alpha$, где $1\in H^4(\mathbb{C}P^3;\mathbb{Z})\cong H_2(\mathbb{C}P^3;\mathbb{Z})\cong\mathbb{Z}$ — образующая и отображения $f_{\operatorname{Sq}^2\alpha}: K\to K(\mathbb{Z},4)$, $f_1:\mathbb{C}P^3\to K(\mathbb{Z},4)$ и $f_\alpha: K\to\mathbb{C}P^3$ соответствуют классам $\operatorname{Sq}^2\alpha$, 1 и α при изоморфизмах $H^4(K;\mathbb{Z})\cong[K,K(\mathbb{Z},4)]$, $H^4(\mathbb{C}P^3;\mathbb{Z})\cong[\mathbb{C}P^3,K(\mathbb{Z},4)]$ и $H^2(K;\mathbb{Z})\cong[K,\mathbb{C}P^3]$ из теоремы Эйленберга-Маклейна ниже.

Отображения в пространства Эйленберга-Маклейна.

Попытавшись обобщить наше вычисление множества $[K,\mathbb{R}P^2]$ на 2-полиэдр K, легко найти такой 2-полиэдр K, что $[K,\mathbb{R}P^2]\neq H^1(K)$. Например, $K=S^2$. Однако, теорему Хопфа по модулю 2 все-таки можно обобщить на многомерный случай.

Пусть полиэдр K (например, 2-многообразие) расположен в $\mathbb{R}^m$. Назовем непрерывным отображением $f : K \to \mathbb{R}P^n$ семейство прямых $f(x)$ в точках $x \in K$, параллельных фиксированному подпространству $\mathbb{R}^{n+1} \subset \mathbb{R}^m$ и непрерывно зависящих от x. Гомотопность таких отображений и множество $[K, \mathbb{R}P^n]$ определяются аналогично предыдущему.

10. $[S^1, \mathbb{R}P^n] = \mathbb{Z}_2$ для $n \geqslant 2$ и $[S^i, \mathbb{R}P^n] = [S^i, S^n] = 0$ для $i = 2, 3, \ldots, n-1$. Указание: используйте *накрытие* $S^n \to \mathbb{R}P^n$.

Теорема Эйленберга-Маклейна для $\mathbb{R}P^{n+1}$. *Для n-полиэдра K существует биекция* $\deg : [K, \mathbb{R}P^{n+1}] \to H^1(K)$.

Случай $n = 1$ есть теорема Хопфа по модулю 2. Теорема Эйленберга-Маклейна для $\mathbb{R}P^n$ интересна даже для $n = 2$ (и даже для 2-многообразий). Доказательство мы приводим тоже для $n = 2$ (общий случай аналогичен).

Набросок определения одномерной группы когомологий $H^1(K)$ и доказательства теоремы Эйленберга-Маклейна для $\mathbb{R}P^3$. Фиксируем разложение $\mathbb{R}P^0 \in \mathbb{R}P^1 \subset \mathbb{R}P^2 \subset \mathbb{R}P^3$. Как и раньше, будем классифицировать только *клеточные* отображения, т.е. переводящие вершины 2-полиэдра K в точку $\mathbb{R}P^0$, ребра в $\mathbb{R}P^1$ и грани в $\mathbb{R}P^2$. Для клеточного отображения $f : K \to \mathbb{R}P^3$, как и в теореме Хопфа по модулю 2 определим *препятствующий коцикл* $\gamma(f)$ (расстановку целых чисел на ребрах, для которой сумма чисел по границе любой грани равна нулю) и кограницу δa вершины a. Так как $[S^2, \mathbb{R}P^3] = 0$ (см. конец пункта 'характеристические классы для 3-многообразий'), то $\gamma(f) = \gamma(g)$ влечет $f \simeq g$.

Как и раньше, любая гомотопия клеточного отображения f может быть заменена на *клеточную*, т.е. такую, для которой образы вершин полиэдра K находятся на $\mathbb{R}P^1$, а ребер — на $\mathbb{R}P^2$. Так как $[S^2, \mathbb{R}P^3] = 0$, то $f \simeq g$ тогда и только тогда, когда $\gamma(f) - \gamma(g) = \delta a_1 + \ldots + \delta a_s$ для некоторых вершин $a_1, \ldots, a_s \in K$. Назовем такие расстановки $\gamma(f)$ и $\gamma(g)$ *когомологичными*.

Определим группу $H^1(K)$ и отображение deg как и в доказательстве теоремы Хопфа по модулю 2. Тогда отображение deg определено корректно. Инъективность этого отображения доказывается аналогично инъективности отображения deg из теоремы Хопфа по модулю 2. Сюръективность доказывается аналогично теореме Брушлинского с использованием $[S^2, \mathbb{R}P^3] = 0$ и заменой $\mathbb{Z}$ на $\mathbb{Z}_2$. $\square$

Доказательства теоремы Эйленберга-Маклейна для $\mathbb{R}P^{n+1}$ сводится к предыдущему, поскольку в силу условия $[S^i; \mathbb{R}P^{n+1}] \cong 0$ любое отображение $K^{(2)} \to \mathbb{R}P^{n+1}$ можно продолжить на все K и любую гомотопию на $K^{(1)}$ можно продолжить на все K.

Далее мы используем понятия непрерывного отображения в более общие пространства и гомотопий таких отображений, см. [FF89].

11. $[S^2, \mathbb{C}P^n] \cong \mathbb{Z}$ и $[S^i, \mathbb{C}P^n] = 0$ для $i = 1, 3, 4, 5, \ldots, 2n$. Указание: используйте *многомерное расслоение Хопфа* $S^{2n+1} \to \mathbb{C}P^n$ и общее положение: $[S^i, \mathbb{C}P^n] = [S^i, \mathbb{C}P^1]$ для $i \leqslant 2$.

Теорема Эйленберга-Маклейна для $\mathbb{C}P^n$. *Для n-полиэдра K существует биекция* $\deg : [K, \mathbb{C}P^n] \to H^2(K; \mathbb{Z})$.

Случай $n = 1$ очевиден. Случай $n = 2$ фактически был рассмотрен в двумерной теореме Хопфа: $[K; \mathbb{C}P^2] = [K; S^2] = H^2(K; \mathbb{Z})$, поскольку любое отображение 2-полиэдра K в $\mathbb{C}P^2$ и любая его гомотопия вытесняются на $S^2 = \mathbb{C}P^1 \subset \mathbb{C}P^2$.

12. (а) Докажите теорему Эйленберга-Маклейна для $\mathbb{C}P^3$ (доказательство общего случая аналогично). Указание. Рассмотрим точку $v = \mathbb{C}P^0 \in \mathbb{C}P^1 \subset \mathbb{C}P^2 \subset \mathbb{C}P^3$. Как и выше, $[K, \mathbb{C}P^3]$ находится во взаимно однозначном соответствии с множеством *клеточных* отображений $f : K \to \mathbb{C}P^3$ (таких, что $f(K^{(1)}) = v$ и $f(K^{(3)}) \subset \mathbb{C}P^2$) с

точностью до *клеточных* гомотопий f_t (таких, что $f_t(K^{(0)}) = v$, $f_t(K^{(2)}) \subset \mathbb{C}P^1$ и $f_t(K^{(3)}) \subset \mathbb{C}P^2$ для любого t). В частности, $[K, \mathbb{C}P^3] = [K, \mathbb{C}P^2]$. Дальнейшее аналогично доказательству теоремы Эйленберга-Маклейна для $\mathbb{R}P^{n+1}$.

(b) Найдите $[K, (S^1)^n]$.

Напомним, что для любого n существует такой (как правило, бесконечномерный) полиэдр

$$K(\mathbb{Z}, n), \text{ что } [S^n, K(\mathbb{Z}, n)] \cong \mathbb{Z} \text{ и } [S^i, K(\mathbb{Z}, n)] = 0 \text{ для любого } i \neq n.$$

Например, $K(\mathbb{Z}, 1) \cong S^1$ и $K(\mathbb{Z}, 2) \cong \mathbb{C}P^\infty$.

Теорема Эйленберга-Маклейна. *Для любого полиэдра K существует биекция* $\deg : [K, K(\mathbb{Z}, n)] \to H^n(K; \mathbb{Z})$.

13. (a) Докажите теорему Эйленберга-Маклейна для $n = 3$ (доказательство общего случая аналогично).

(b) Для полиэдра K и абелевой группы π определите (вообще говоря, бесконечномерный) полиэдр $K(\pi, n)$ и группу $H^n(K; \pi)$ так, чтобы существовала биекция $\deg : [K, K(\pi, n)] \to H^n(K; \pi)$.

ГЛАВА 7. ВЛОЖЕНИЯ В ПЛОСКОСТЬ

Ach, alle Weisheit ist so einfach, ist schon so lange und so unzweifelhaft ausgeschprochen und formuliert worden! Warum gehört sie uns nur zuzeiten, nur an den guten Tagen, warum nicht immer?
H. Hesse, Kurgast. [13]

ПРЕПЯТСТВИЯ ВАН КАМПЕНА

Введение.

'Понятие препятствия, по-видимому, впервые возникло у Ван Кампена при решении проблемы о вложимости n-мерных полиэдров в $\mathbb{R}^{2n}$ для $n \geqslant 2$' [No76]. (Напомним, что любой n-мерный полиэдр вложим в $\mathbb{R}^{2n+1}$.) См. [FKT94], [RS96, §2], [RS99, §2], [RS99', §2], [NN04], [Sk08, §4]. Но показать основную идею гораздо проще на языке теории графов: на примере проблемы аппроксимируемости пути вложениями (аккуратно сформулированной ниже), проблемы планарности графов и рамсеевской теории зацеплений [Mi97], [RS96, §9], [CRS98, §4], [RS98, §1], [ARS02, §4]. Этим проблемам и теории посвящены настоящий параграф и статья [PS05], соответственно. Приводимые результаты и методы, как и в других разделы теории графов, могут найти практические применения (при проектировании электрических, транспортных и других схем).

Чтобы объяснить идею построения препятствий Ван Кампена, начнем с примера.

Доказательство непланарности графа K_5. Возьмем любое отображение общего положения $f : K_5 \to \mathbb{R}^2$. Тогда пересечение образов любых двух ребер состоит из конечного числа точек.

Пусть $v(f)$ будет *суммой по модулю 2 чисел $|f\sigma \cap f\tau|$ по всем неупорядоченным парам $\{\sigma, \tau\}$ несмежных ребер графа K_5.*

Для отображения $f_0 : K_5 \to \mathbb{R}^2$, образ которого изображен на рис. 3 слева, $v(f_0) = 1$.

Пусть $f, f' : K_5 \to \mathbb{R}^2$ — два отображения общего положения, отличающиеся только на внутренности ребра ab (рис. 59). Для каждого ребра e графа K_5 ребра, несмежные с e, образуют цикл S (это то самое свойство графа K_5, которое необходимо для доказательства). Поэтому

$$v(f) - v(f') = |[f(e) \cup f'(e)] \cap f(S)| \mod 2 = 0.$$

Последнее равенство справедливо, поскольку

любые два цикла общего положения на плоскости пересекаются в четном числе точек.

Это интуитивно очевидное утверждение следует из формулы Эйлера; другое доказательство см. в [BE82].

Любое отображение f общего положения может быть заменено на f_0 последовательностью нескольких гомеоморфизмов плоскости $\mathbb{R}^2$ и нескольких изменений внутренности лишь одного ребра (мы не доказываем это интуитивно очевидное утверждение).

Значит, $v(f) = 1$ для *любого* отображения $f : K_5 \to \mathbb{R}^2$. Следовательно, K_5 не планарен. □

1. (а) Граф $K_{3,3}$ (рис. 3) не планарен.

[13] *Ах, истинная мудрость так проста, была уже так давно, так точно и недвусмысленно высказана и сформулирована! Почему же она нам доступна только временами, только в хорошие дни, а не всегда? Г. Гессе, Курортник, пер. В. Курелла.*

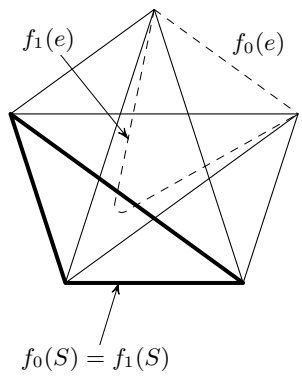

Рис. 59: Независимость $v(f)$ от f. Заменить f_0 и f_1 на f и f'!!!

(b) При любом изображении без самопересечений графа K_6 в трехмерном пространстве в нем найдется пара зацепленных циклов длины 3.

(c) Схема 2-полиэдра '2-остов 6-симплекса' определяется как граф K_7 вместе с набором всех циклов длины 3 в нем. Этот 2-полиэдр не вложим в $\mathbb{R}^4$.

(d) Аналогично определите n-остов $(2n+2)$-симплекса и докажите, что он не вложим в $\mathbb{R}^{2n}$.

(e) 2-полиэдр $K_5 \times K_5$ не вложим в $\mathbb{R}^4$.

Аппроксимируемость путей вложениями.

Проблема аппроксимируемости путей вложениями интересна не только с точки зрения теории графов, но и с точки зрения топологии: она является частным случаем проблемы реализации отображений графов в плоскости [Si69], [SS83], [RS98], [Ak00], [ARS02], [Sk03']. Чтобы объяснить эту проблему, приведем задачи.

2. (a) Охотник гуляет по лесной дорожке, имеющей форму прямолинейного отрезка (длины 1 км). При этом он может менять направление своего движения. Он ведет на поводке длиной 1 м собаку (т.е. расстояние между собакой и охотником не превосходит 1 м). Докажите, что независимо от движения охотника собака может двигаться так, чтобы не пересекать свой след.

(b) То же для дорожки в форме окружности (радиуса 1 км).

(c) Два охотника прошли (равномерно не меняя направления, в отличие от a и b) по прямолинейным дорожкам, пересекающимся под прямым углом в точке, отстоящей от каждого из их концов на 1 км (рис. 60, на котором $f(I_1)$ и $f(I_2)$ — пути охотников). Каждый из них вел на поводке длины 1 м собаку. Докажите, что одна собака пересекала следы другой.

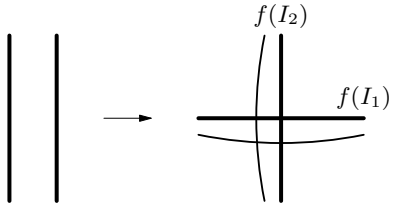

Рис. 60: Трансверсальное пересечение не аппроксимируемо вложениями (добавить обозначения $\varphi(I_1)$, $\varphi(I_2)$!!!)

3. (a) Охотник (равномерно не меняя направления) двигался по лесной дорожке в форме окружности диаметром 1 км, сделав два оборота. Он вел на поводке длиной 1 м собаку, которая в конце движения вернулась в исходную точку. Докажите, что собака обязательно пересекала свой след (в некоторый момент времени, отличный от конечного).

(b) Верно ли (a) без предположения о том, что собака в конце движения вернулась в исходную точку?

(c) Докажите аналог (a) для случая, когда охотник сделал *три* оборота.

(d) Для какого числа оборотов в (a) собака обязательно пересекала свой след?

Приведем формальные определения. Обозначим через $I := [0,1]$ отрезок и через $S^1 := \{x \in \mathbb{C} \ : \ |x| = 1\}$ окружность. *Вложением* называется изображение без самопересечений (или, формально, непрерывное инъективное отображение, если мы работаем с *конечными* графами или 2-полиэдрами).

Путь $\varphi : I \to \mathbb{R}^2$ на плоскости называется *аппроксимируемым вложениями*, если существует сколь угодно близкий к нему путь без самопересечений. Или, формально, если для любого $\varepsilon > 0$ существует такое вложение $f : I \to \mathbb{R}^2$, что расстояние между точками $f(x)$ и $\varphi(x)$ меньше ε для любой точки $x \in I$. Аналогично определяется аппроксимируемость вложениями *цикла* $\varphi : S^1 \to \mathbb{R}^2$, а также произвольного отображения $\varphi : G \to \mathbb{R}^2$ графа G.

Строгие формулировки задач 2 и 3.a таковы:

если образом $\varphi(I)$ пути $\varphi : I \to \mathbb{R}^2$ является отрезок или окружность, то этот путь аппроксимируем вложениями;

трансверсальное пересечение $\varphi : I_1 \sqcup I_2 \to \mathbb{R}^2$ (рис. 60) не аппроксимируемо вложениями;

композиция $\varphi : S^1 \to S^1 \subset \mathbb{R}^2$ двукратной намотки и стандартного включения не аппроксимируется вложениями.

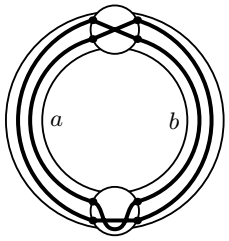

Рис. 61: Полянки и тропинки

Приведем эквивалентную формулировку задачи 3.a (эквивалентность доказана в [Mi97]). Рассмотрим две полянки (т.е. два круга), соединенных двумя тропинками (т.е. полосками) a и b, как на рис. 61. Собака бегала по полянкам и тропинкам и вернулась в исходную точку. Каждый раз, когда собака перебегала с полянки на тропинку, она записывала обозначение этой тропинки. В задаче 3.a утверждается, что если получилась запись $abab$, то собака обязательно пересекала свой след (в некоторый момент времени, отличный от конечного).

4. (a) Путь или цикл в графе называется *эйлеровым*, если он проходит по каждому ребру графа ровно один раз. Эйлеров путь или цикл в графе на плоскости аппроксимируем вложениями тогда и только тогда, когда он не имеет трансверсальных самопересечений (рис. 60).

(b) Существует путь, не содержащий трансверсальных пересечений и все равно не аппроксимируемый вложениями.

(c) Композиция $\varphi : S^1 \to I \subset \mathbb{R}^2$ произвольного отображения и стандартного включения аппроксимируется вложениями.

(d) Пусть P — граф, гомеоморфный букве P. Композиция $\varphi : P \to I \subset \mathbb{R}^2$ произвольного отображения и стандартного включения аппроксимируется вложениями.

Примеры к задаче 4b приведены на рис. 62, где для наглядности нарисован не сам путь, а близкий к нему путь общего положения. См., впрочем, [Mi97], [Sk03'].

5. Пути на рис. 62 не аппроксимируемы вложениями.

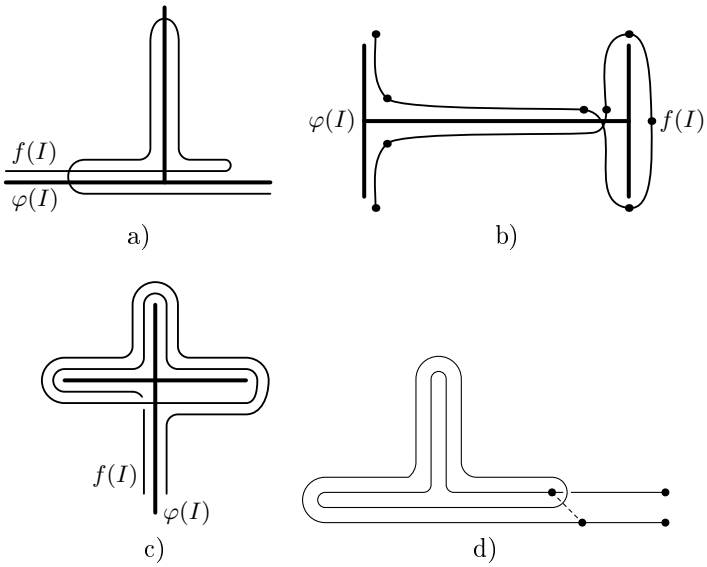

Рис. 62: Пути, не аппроксимируемые вложениями

Указание: можно свести к непланарности графов Куратовского K_5 и $K_{3,3}$. Пунктирная линия на рис. 62 поможет сделать это.

Проблема аппроксимируемости пути вложениями похожа на классическую проблему планарности графов (т.е. реализуемости графов в плоскости без самопересечений) и даже сводится к распознаванию планарности графов (однако число графов, планарность которых надо выяснить, для одного данного пути, велико). Проблема реализуемости графов решается, например, критерием Куратовского (см. формулировку в пункте 'планарность и род утолщений и графов'). Для проблемы аппроксимируемости вложениями аналогичного критерия не существует [Sk03']. Поэтому полезно использовать *препятствие Ван Кампена* к аппроксимируемости вложениями.

Нетрудно также доказать, что *проблема аппроксимируемости вложениями алгоритмически разрешима* [Sk03']. Однако интересно получить *более быстрый* алгоритм распознавания аппроксимируемости вложениями. Возможно, критерий в терминах препятствия Ван Кампена даст такой более быстрый алгоритм.

Препятствие Ван Кампена к аппроксимируемости вложениями симплициального пути.

Чтобы объяснить идею построения препятствие Ван Кампена, приведем наброски некоторых решений.

Набросок первого решения задачи 3.a. Мы используем переформулировку на языке полянок и тропинок. Назовем путь собаки *незатейливым*, если во время движения

по тропинкам она не пересекала свои следы. Достаточно доказать утверждение задачи для незатейливых путей.

Возьмем незатейливый путь f. Поставим на каждой полянке ноль, если точки входа собаки на полянку и ее выхода с полянки располагаются, как на рис. 63, a), и единицу в противном случае, как на рис. 63, b), c). Пусть $v(f)$ будет суммой $\bmod 2$ этих двух чисел. Для пути f собаки на рис. 61 $v(f) = 1$. Ясно, что $v(f)$ зависит только от расположения отрезков пути собаки на тропинках. При изменении такого расположения на одной тропинке число на каждой полянке изменится, поэтому $v(f)$ не изменится. Так как от любого расположения отрезков пути на тропинках можно перейти к любому другому указанными операциями, то $v(f) = 1$ для *любого* незатейливого пути f. Поэтому собака обязательно пересекала свой след. □

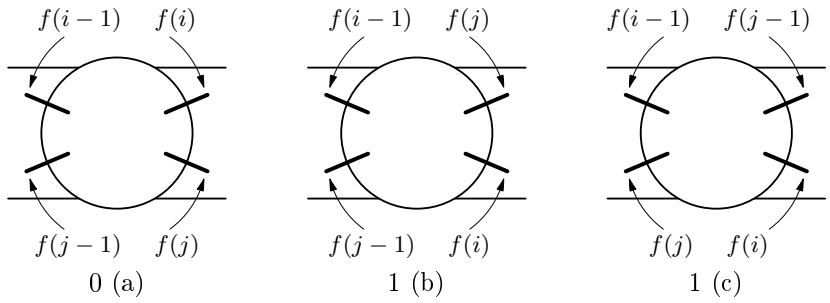

Рис. 63: Как ставятся числа на полянке

Набросок второго решения задачи 3.a. Разделим время равномерного движения охотника на шесть равных промежутков. Пусть $e_1, \ldots, e_6$ — соответствующие отрезки пути f собаки. Положим $e_{i+6} := e_i$. Можно считать, что этот путь общего положения. Тогда любые два из отрезков e_i пересекаются в конечном числе точек. Положим

$$v(f) := \sum_{\{i,j\}\ :\ |i-j|>1} |e_i \cap e_j| \mod 2.$$

Для пути f_0 собаки, показанного на рис. 61 $v(f_0) = 1$.

Аналогично доказательству непланарности графа K_5 (приведенному во введении) $v(f)$ не зависит от f. Действительно, если отображения f и f' отличаются только внутренностью пути $e_i \neq e_i'$ (рис. 64), то

$$v(f) - v(f') = |(e_i \cup e_i') \cap (e_{i+2} \cup e_{i+3} \cup e_{i+4})| \mod 2 = 0.$$

Последнее равенство справедливо, поскольку путь $e_{i+2} \cup e_{i+3} \cup e_{i+4}$ можно замкнуть до цикла, не добавляя новых пересечений с циклом $e_i \cup e_i'$. Любой путь f общего положения (собаки) может быть заменен на f_0 последовательностью нескольких гомеоморфизмов плоскости $\mathbb{R}^2$ и нескольких изменений внутренности лишь одного ребра (мы не доказываем это интуитивно очевидное утверждение). Значит, $v(f) = 1$ для *любого* пути f собаки. Следовательно, любой путь собаки имеет самопересечения. □

Путь $\varphi : I \to \mathbb{R}^2$ называется *симплициальным*, если существует разбиение отрезка на такие маленькие отрезочки, что на каждом отрезочке путь линеен, и что образы любых двух отрезочков не пересекаются или совпадают. Или, формально, если для некоторого n существуют такие числа $0 = a_0 < a_1 < \ldots < a_n = 1$, что

(1) сужение $\varphi|_{[a_{i-1}, a_i]}$ линейно для любого $i = 1, \ldots, n$ и

(2) образы отрезков $[a_{i-1}, a_i]$ либо не пересекаются, либо совпадают.

Будем считать все встречающиеся пути симплициальными (с разными n).

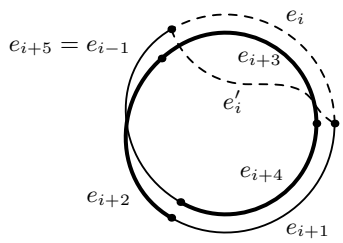

Рис. 64: Независимость $v(f)$ от f

Для симплициального пути φ существует окрестность $O\varphi(I)$ графа $\varphi(I)$, представленная естественным образом в виде объединения 'полянок' (т.е. дисков, окружающих точки $\varphi(a_i)$) и 'тропинок' (т.е. дисков-'ленточек', соединяющих полянки вдоль ребер графа $\varphi(I)$). См. рис. 65 для пути на рис. 62, b). (Это *утолщение* графа $\varphi(I)$, определенное в пункте 'утолщения и род графа'.) Переформулировка свойства аппроксимируемости вложениями на язык полянок и тропинок проводится аналогично переформулировке задачи 3.a. Назовем путь $f : I \to O\varphi(G)$ *незатейливым*, если на тропинках нет его самопересечений.

Набросок решения задачи 5 (доказательства неаппроксимируемости вложениями) для пути на рис. 62, b). Мы обобщаем первое решение задачи 3.a и используем переформулировку на языке полянок и тропинок (рис. 65). Возьмем незатейливый путь f. Поставим на левой средней полянке ноль, если точки входа пути на полянку и его выхода с полянки располагаются как на рис. 63, a), и единицу в противном случае (рис. 63, b). По правой полянке путь проходит три раза. Рассмотрим только первое и последнее прохождение пути по правой полянке и поставим на ней ноль или единицу по тому же правилу. Пусть $v(f)$ будет суммой $\mod 2$ этих двух чисел. Для пути f на рис. 62, b) $v(f) = 1$. Далее доказательство дословно повторяет первое решение задачи 3.a.

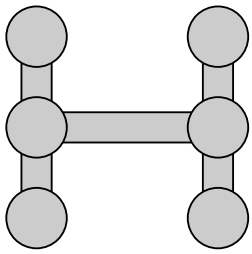

Рис. 65: Полянки и тропинки

6. Докажите аналогично, что пути на рис. 62 a), c) не аппроксимируемы вложениями.

Теорема аппроксимируемости. *Симплициальный путь $\varphi : I \to \mathbb{R}^2$, не отображающий ни один отрезок в точку, аппроксимируем вложениями тогда и только тогда, когда* препятствие Ван Кампена $v(\varphi) \in \mathbb{Z}_2^{c(\varphi)}$ *нулевое.*

В оставшейся части этого пункта мы приводим определение числа $c(\varphi)$, вектора $v(\varphi)$ и доказательство необходимости в теореме аппроксимируемости. Знакомство с этим доказательством рекомендуем начать с отображений φ и f с рис. 62, b). Доказательство достаточности в теореме аппроксимируемости (которого мы здесь не

приводим) было получено слушателем лекций, по материалам которых написан настоящий пункт [Sk03'].

Определение сингулярного графа Δ *и числа* $c(\varphi)$. Выберем точки $0 = a_0 < a_1 < \ldots < a_n = 1$ как в определении симплициальности. Вершины графа Δ — такие пары

$$i \times j, \quad \text{что} \quad \varphi(a_i) = \varphi(a_j) \quad \text{и} \quad i > j.$$

Ребра графа Δ соединяют вершины $i \times j$ и $(i \pm 1) \times (j \pm 1)$ этого графа (если такие вершины есть; знаки $\pm$ выбираются независимо). См. рис. 66 для пути на рис. 62, b: вершины графа — 1×7, 2×6, 2×4, 4×6, и ребром соединены только первые две. Граф Δ зависит не только от φ, но и от выбора точек $a_0, a_1, \ldots, a_n$.

Пусть $c(\varphi)$ — количество компонент связности графа Δ, не содержащих вершин $i \times (i-2)$, $i \times 0$ и $n \times i$. Для пути φ на рис. 62, b) имеем $c(\varphi) = 1$. Число $c(\varphi)$ зависит только от φ, но не от выбора точек $a_0, a_1, \ldots, a_n$.

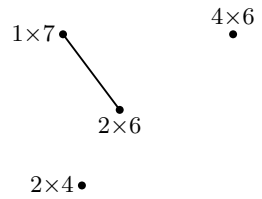

Рис. 66: Сингулярный граф Δ

Построение расстановки $\nu(f)$. Мы используем переформулировку на языке полянок и тропинок. Возьмем произвольный незатейливый путь f. Рассмотрим вершину $i \times j$ графа Δ и полянку, содержащую $\varphi(a_i) = \varphi(a_j)$. (Заметим, что к полянке может примыкать более двух тропинок.) Поставим в вершину $i \times j$ единицу, если точки пересечения образов $f[a_{i-1}a_{i+1}]$ и $f[a_{j-1}a_{j+1}]$ с граничной окружностью этой полянки *чередуются* на этой окружности (рис. 63, b), c)) и ноль в противном случае (рис. 63, a)). Полученную расстановку обозначим через $\nu(f)$.

Построение препятствия Ван Кампена $v(\varphi) \in \mathbb{Z}_2^{c(\varphi)}$. Для каждой из $c(\varphi)$ рассмотренных компонент связности графа Δ вычислим сумму $\mod 2$ чисел расстановки $\nu(f)$ в вершинах этой компоненты. Полученный набор $v(\varphi) = v(\varphi, f) \in \mathbb{Z}_2^{c(\varphi)}$ назовем *препятствием Ван Кампена (с коэффициентами в* $\mathbb{Z}_2$*)* к аппроксимируемости пути φ вложениями. Для путей φ и f на рис. 62, b) имеем $v(\varphi, f) = (1)$.

Доказательство независимости $v(\varphi, f)$ *от* f. Ясно, что расстановка $\nu(f)$ зависит только от расположения отрезков пути на *тропинках*. Рассмотрим изменение такого расположения на одной тропинке для любых двух отрезков $[a_{i-1}a_i]$ и $[a_{j-1}a_j]$, образы которых пересекают эту тропинку.

Если $i \neq j+1$, $i \neq 0$ и $j \neq n$, то числа в вершинах $i \times j$ и $(i-1) \times (j-1)$ (или $i \times (j-1)$ и $(i-1) \times j$) графа Δ изменятся на 1, а числа в остальных вершинах не изменятся. Поэтому $v(\varphi, f)$ не изменится.

В случаях $i = j-1$, $i = 0$ и $j = n$ набор $v(\varphi, f)$ также не изменится (проверьте!).

Так как от любого расположения отрезков пути на тропинках можно перейти к любому другому указанными изменениями, то $v(\varphi, f)$ не зависит от f. $\square$

Необходимость в теореме аппроксимируемости следует из того, что если путь f можно так изменить на полянках, чтобы он стал несамопересекающимся, то расстановка $\nu(f)$ нулевая.

7. (a) Докажите обратное утверждение.

(b) Если $v(\varphi)=0$, то существует такое отображение $f: I \to \mathbb{R}^2$ общего положения, близкое к φ, что $fi \cap fj = \varnothing$ для любой пары $i \times j$ ребер отрезка I, для которой вершина $i \times j$ графа Δ не содержится в компоненте связности с вершинами $i \times (i-2)$, $i \times 0$ и $n \times i$ (такое отображение f не обязано быть вложением).

(c) Постройте аналогично препятствие Ван Кампена к аппроксимируемости *циклов* вложениями и докажите, что оно неполно.

Препятствие Ван Кампена $V(\varphi)$ с целыми коэффициентами строится аналогично. Необходимы лишь следующие изменения. При построении расстановки $\nu(\varphi)$ в вершину $i \times j$ ставится единица, если точки входа пути f на эту полянку и точки его выхода с этой полянки располагаются так, как на рис. 63, b), и минус единица иначе — как на рис. 63, c). Полученная расстановка обозначается $N(\varphi)$. Для каждой из $c(\varphi)$ рассмотренных компонент связности графа Δ вычислим сумму чисел в вершинах этой компоненты. Полученный набор $V(\varphi) = V(\varphi, f) \in \mathbb{Z}^{c(\varphi)}$ назовем *препятствием Ван Кампена (с коэффициентами $\mathbb{Z}$)* к аппроксимируемости пути φ вложениями.

8. Постройте аналогично препятствие Ван Кампена с целыми коэффициентами к аппроксимируемости *циклов* вложениями и докажите, что (даже) оно неполно.

Другое построение препятствия Ван Кампена к аппроксимируемости вложениями.

Это построение является обобщением приведенного во введении доказательства непланарности графа K_5, или *второго* решения задачи 3.a. Оно сложнее предыдущего, но именно оно может быть обобщено до препятствия Ван Кампена к вложимости графов в плоскость (и n-мерных полиэдров в $2n$-мерное пространство). Впрочем, настоящий пункт может быть пропущен, поскольку последнее препятствие строится в следующем пункте независимо.

Пусть $\varphi: I \to \mathbb{R}^2$ — симплициальный путь общего положения. Выберем точки $0 = a_0 < a_1 < \ldots < a_n = 1$ как в определении симплициальности. Обозначим отрезок $[a_{i-1}, a_i]$ числом i.

Обозначим через I^* верхнюю 'наддиагональ' таблицы $n \times n$, т.е. объединение клеток $i \times j$ с $i < j-1$ (отвечающих парам несоседних ребер графа I). См. рис. 67. Для

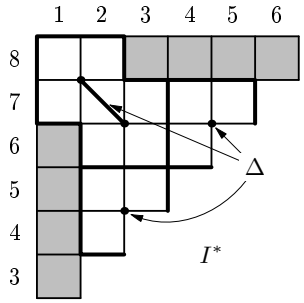

Рис. 67: Верхняя наддиагональ I^*

любого пути $f: I \to \mathbb{R}^2$ общего положения, достаточно близкого к φ, и любых двух несоседних ребер i, j пересечение $fi \cap fj$ состоит из конечного числа точек. Поставим в клетке $i \times j \in I^*$ число $|fi \cap fj| \mod 2$. Полученную расстановку назовем *препятствующей* и обозначим через $\nu(f)$: если путь f несамопересекающийся, то $\nu(f) = 0$. Расстановки можно складывать: для этого просто складываются числа, стоящие в каждой клетке (такое сложение называется *покомпонентным*).

Покрасим в черный цвет клетки $i \times j$ таблицы I^*, для которых $\varphi i \cap \varphi j = \varnothing$. Так как путь f близок к φ, то $\nu(f) = 0$ в черных клетках. Обозначим через x множество всех расстановок нулей и единиц в клетках таблицы с нулями в черных клетках. Итак, $\nu(f) \in x$.

При преобразовании Райдемайстера пути f, изображенном на рис. 68, a), расстановка $\nu(f)$ изменяется ровно в двух соседних клетках $i \times j$ и $i \times (j+1)$ (или $j \times i$ и $(j+1) \times i$). Если одна из этих двух клеток не лежит в I^*, то число в ней не стоит и не меняется. Расстановка единицы в клетках таблицы I^*, соседних с ребром e, и нуля в остальных клетках таблицы I^* называется *элементарной кограницей ребра e таблицы I^** и обозначается δe.

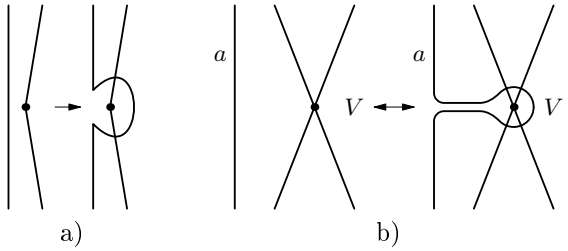

Рис. 68: Преобразования Райдемайстера для графов в плоскости

Сделаем указанное преобразование Райдемайстера для ребер $e_1, \ldots, e_k$ таблицы I^*. Обозначим полученный путь через $f_{e_1,\ldots,e_k}$. Тогда

$$\nu(f) - \nu(f_{e_1,\ldots,e_k}) = \delta e_1 + \ldots + \delta e_k.$$

Покрасим в белый цвет ребра $i \times a_j$ и $a_j \times i$ таблицы I^*, для которых $\varphi a_j \in \varphi i$. Покрасим в черный цвет остальные ребра (таким образом, граница черной клетки состоит из черных ребер, но могут быть и другие черные ребра). Так как f близко к φ, то указанное преобразование Райдемайстера возможно лишь для белых ребер $e_1, \ldots, e_k$.

Назовем расстановки $\nu_1, \nu_2 \in x$ *когомологичными*, если $\nu_1 - \nu_2 = \delta e_1 + \ldots + \delta e_k$ для некоторых белых ребер $e_1, \ldots, e_k$. Группа $H^2_\varphi(I^*) = x/\sim$ расстановок с точностью до когомологичности называется *двумерной группой когомологий (с коэффициентами в $\mathbb{Z}_2$) пространства I^* относительно его черного подпространства. Препятствие Ван Кампена (с коэффициентами в $\mathbb{Z}_2$)* определяется как

$$v(\varphi) = [\nu(f)] \in H^2_\varphi(I^*).$$

Так как $v(f) = 0$ для вложения f, то $v(\varphi)$ является препятствием к аппроксимируемости пути φ вложениями.

Доказательство корректности определения препятствия $v(\varphi)$, т.е. независимости $v(\varphi)$ от выбора пути f. Пусть пути $f, f' : I \to \mathbb{R}^2$ общего положения, близкие к φ, отличаются только на внутренности одного ребра j. Для каждой вершины a_i проведем некоторый путь, соединяющий эту вершину с бесконечностью, и находящийся в общем положении относительно цикла $f(j) \cup f'(j)$. Пусть $b_1, \ldots, b_k$ — все те вершины, для которых проведенный путь пересекает цикл $f(j) \cup f'(j)$ в *нечетном* числе точек (набор этих вершин не зависит от выбора путей). Тогда

$$\nu(f) - \nu(f') = \delta\{b_1, j\} + \ldots + \delta\{b_k, j\}.$$

Любой путь $f : I \to \mathbb{R}^2$ общего положения, близкий к φ, может быть заменен на любой другой последовательностью нескольких гомеоморфизмов плоскости $\mathbb{R}^2$ и нескольких

изменений внутренности лишь одного ребра (мы не доказываем это интуитивно очевидное утверждение). Поэтому $v(\varphi)$ не зависит от f. $\square$

Другое доказательство получается рассмотрением произвольной гомотопии $f_t : K \to \mathbb{R}^2$ общего положения между заданными отображениями $f_0, f_1 : K \to \mathbb{R}^2$ общего положения. Возьмем произвольную гомотопию $f_t : I \to \mathbb{R}^2$, $t \in [0,1]$, общего положения, близкую к φ. На каждом ребре $j \times a_i$ или $a_i \times j$ таблицы I^* поставим число mod 2 моментов времени t, для которых $f_t(a_i) \in f_t(j)$ (это число конечно по соображениям общего положения). Пусть $e_1, \ldots, e_k$ — все ребра, на которых поставлена единица. Так как $f_t(x)$ близко к $\varphi(x)$, то из $\varphi a_i \notin \varphi j$ вытекает $f_t(a_i) \notin f_t(j)$. Поэтому на черных ребрах стоят нули. Легко проверить, что $\nu(f_0) - \nu(f_1) = \delta e_1 + \ldots + \delta e_k$. Поэтому $v(\varphi)$ не зависит от f.

9. (a) $H^2_\varphi(I^*) \cong \mathbb{Z}_2^k$, где k — число кусков таблицы I^*, ограниченных черными ребрами (т.е. в границе которых *только* черные ребра) и содержащих хотя бы одну белую клетку.

(b) $k = c(\varphi)$. Существует естественный изоморфизм (Пуанкаре) $\mathbb{Z}_2^{c(\varphi)} \cong H^2(I^*_\varphi)$. Два построенных препятствия Ван Кампена переходят друг в друга при этом изоморфизме.

10. (a) В каждой точке (x, y) на ребре таблицы I^* поставим вектор с направлением от $f(x)$ к $f(y)$. Тогда в каждой клетке таблицы I^* стоит четность числа оборотов вектора при обходе по ее границе.

(b) Если невырожденный путь $\varphi : I \to \mathbb{R}^2$ аппроксимируем вложениями, то
(R) *для любого непрерывного движения точек x и y по отрезку I, в процессе которого $\varphi(x) \neq \varphi(y)$, а в конце которого точки x и y возвращаются каждая в свое исходное положение (т.е. для любого непрерывного отображения $S^1 \to \{(x,y) \in I \times I \mid \varphi(x) \neq \varphi(y)\}$), число оборотов вектора от $\varphi(x)$ к $\varphi(y)$ в процессе этого движения равно нулю.*

(c) Рассмотрим более слабую форму (r) условия (R): *число оборотов четно.* Тогда $(r) \Leftrightarrow (v(\varphi) = 0)$. Условие $v(\varphi) = 0$ сложнее формулируется, но гораздо проще проверяется, чем (r).

Препятствие Ван Кампена $V(\varphi)$ с целыми коэффициентами строится так. Выберем ориентацию в $\mathbb{R}^2$ и на I. Для любого отображения $f : I \to \mathbb{R}^2$ общего положения, достаточно близкого к φ, и любых двух несоседних ребер i, j, пересечение $fi \cap fj$ состоит из конечного числа точек. Поставим в клетке $i \times j$ *индекс пересечения* $fi \cdot fj = \sum\{\operatorname{sign} P \mid P \in fi \cap fj\}$, где $\operatorname{sign} P = +1$, если векторы ориентаций fi и fj (в этом порядке) составляют базис ориентации плоскости $\mathbb{R}^2$, и $\operatorname{sign} P = -1$ в противном случае. Обозначим полученную расстановку через $N(f)$. Обозначим через X множество всех расстановок целых чисел в клетках таблицы с нулями в черных клетках. Определим когомологичность аналогично и положим $V(\varphi) = [N(f)] \in H^2_\varphi(I^*; \mathbb{Z}) := X/\sim$.

Нетрудно показать, что $V(\varphi)$ зависит от выбора ориентаций в $\mathbb{R}^2$ и на ребрах графа I лишь с точностью до автоморфизма группы $H^2_\varphi(I^*; \mathbb{Z})$.

11. (a) $H^2_\varphi(I^*; \mathbb{Z}) \cong \mathbb{Z}^k$.

(b) $(R) \Leftrightarrow (V(\varphi) = 0)$.

(c) Постройте аналог препятствий $v(\varphi)$ и $V(\varphi)$ для аппроксимируемости *циклов* вложениями. Докажите их неполноту (даже для отображений, образами которых являются триоды).

Обозначим через $I^{*\varphi}$ объединение черных клеток и ребер. Стандартными обозначениями групп $C^k_\varphi(I^*, \cdot)$ и $H^2_\varphi(I^*, \cdot)$ являются $C^k(I^*, I^{*\varphi}, \cdot)$ и $H^2(I^*, I^{*\varphi}, \cdot)$, соответственно.

Препятствие Ван Кампена к планарности графов.

В этом пункте строится препятствие Ван Кампена $v(K) \in H^2(K^*)$ к планарности графов. Перед его постороением сформулируем его важнейшее свойство.

Критерий Ван Кампена планарности графов. *Граф K планарен тогда и только тогда, когда препятствие Ван Кампена $v(K) \in H^2(K^*)$ нулевое.*

Условие критерия Куратовского (см. главу 1), конечно, проще, чем условие $v(K) = 0$. Но только условие $v(K) = 0$ обобщается на высшие размерности.

Теорема Ван Кампена-Шапиро-Ву. *Пусть $n \neq 2$. Полиэдр K размерности n вложим в $\mathbb{R}^{2n}$ тогда и только тогда, когда препятствие Ван Кампена $V(K) \in H^{2n}(K^*; \mathbb{Z}_T)$ нулевое.*

Далее в этом пункте мы работаем только с графами (препятствие из теоремы Ван Кампена-Шапиро-Ву предлагается построить аналогично случаю графов в задаче 12c).

Построение расстановки $\nu(f)$. Для любого отображения $f : K \to \mathbb{R}^2$ общего положения и любых двух несмежных ребер σ, τ из K пересечение $f\sigma \cap f\tau$ состоит из конечного числа точек. Поставим в соответствие неупорядоченной паре $\{\sigma, \tau\}$ вычет

$$\nu(f)_{\sigma\tau} = |f\sigma \cap f\tau| \mod 2.$$

Обозначим через K^* множество неупорядоченных пар несмежных ребер графа K (знакомые с понятием 2-полиэдра могут представлять себе K^* 2-полиэдром). Тогда $\nu(f)$ — расстановка нулей и единиц на элементах множества K^* (или на двумерных гранях 2-полиэдра K^*).

Построение препятствия Ван Кампена. Пусть a — вершина графа K, не являющаяся концом ребра e графа K. При движении Райдемайстера на рис. 68, b) к $\nu(f)$ добавляется расстановка единицы на паре $\{e', e\}$ для $a \in e'$ и нуля на остальных парах. Эту функцию назовем *элементарной кограницей* $\delta\{a, e\}$ неупорядоченной пары $\{a, e\}$.

Назовем расстановки ν_1, ν_2 *когомологичными*, если $\nu_1 - \nu_2 = \delta\{a_1, e_1\} + \ldots + \delta\{a_k, e_k\}$ для некоторых вершин $a_1, \ldots, a_k$ и ребер $e_1, \ldots, e_k$.

Группа $H^2(K^*)$ расстановок с точностью до когомологичности называется *двумерной группой когомологий (с коэффициентами в $\mathbb{Z}_2$)* пространства K^*. *Препятствие Ван Кампена (с коэффициентами в $\mathbb{Z}_2$)* определяется как

$$v(K) = [\nu(f)] \in H^2(K^*).$$

Так как $v(f) = 0$ для *вложения* f, то $v(K)$ является препятствием к планарности графа K. Ср. предыдущий пункт.

Доказательство корректности определения препятствия $v(K)$, т.е. независимости $v(K)$ от выбора отображения f. Пусть отображения $f, f' : K \to \mathbb{R}^2$ общего положения отличаются только на внутренности одного ребра e. Для каждой вершины a графа K проведем некоторый путь, соединяющий эту вершину с бесконечностью, и находящийся в общем положении относительно цикла $f(e) \cup f'(e)$. Пусть $a_1, \ldots, a_k$ — все те вершины, для которых проведенный путь пересекает цикл $f(e) \cup f'(e)$ в *нечетном* числе точек (набор этих вершин не зависит от выбора путей). Тогда

$$\nu(f) - \nu(f') = \delta\{a_1, e\} + \ldots + \delta\{a_k, e\}.$$

Любое отображение $f : K \to \mathbb{R}^2$ общего положения может быть заменено на любое другое последовательностью нескольких гомеоморфизмов плоскости $\mathbb{R}^2$ и нескольких изменений внутренности лишь одного ребра (мы не доказываем это интуитивно очевидное утверждение). Поэтому $v(K)$ не зависит от f. □

Другое доказательство получается рассмотрением произвольной гомотопии $f_t : K \to \mathbb{R}^2$ общего положения между заданными отображениями $f_0, f_1 : K \to \mathbb{R}^2$

общего положения. Пусть $e_1, \dots, e_k$ — все те пары $\{a, \beta\}$, для которых число моментов t с $f_t(a) \in f_t(\beta)$ нечетно. Тогда независимость $v(K)$ от f вытекает из равенства $\nu(f_0) - \nu(f_1) = \delta e_1 + \ldots + \delta e_k$. (Заметим, что в [RS99, §2] расстановка $N(\{f_t\})$ определена неправильно.)

Вывод условия критерия Куратовского из условия $v(K) = 0$ оставляем читателю в качестве задачи. Прямой вывод условия $v(K) = 0$ из условия критерия Куратовского см. в [Sa91]. Прямой вывод планарности из условия $v(K) = 0$ см. в [Sa91] (К. Саркария подтверждает, что в этом выводе имеются пробелы).

12. (a) В каждой точке (x, y) на ребре 2-полиэдра K^* поставим вектор с направлением от $f(x)$ к $f(y)$. Тогда в каждой клетке 2-полиэдра K^* стоит четность числа оборотов вектора при обходе по ее границе.

(b) Постройте препятствие Ван Кампена $V(K)$ с целыми коэффициентами.

(c) Постройте препятствие Ван Кампена $V(K)$ к вложимости 2-полиэдра K в $\mathbb{R}^4$ (оно неполно!) и к вложимости n-полиэдра K в $\mathbb{R}^{2n}$ (оно полно при $n \neq 2$!).

Препятствие Ван Кампена можно вычислять при помощи формулы $v(K) = \mathrm{Sq}^1 v_1(K)$. Дадим наброски необходимых определений.

Аналогично предыдущему можно определить *препятствие Ван Кампена* $v_1(K) \in H^1(K^*)$ к вложимости графа K в прямую (ср. пункт 'отображения графа в окружность'). При этом рассматривается граф $K^{*(1)}$, вершины которого есть неупорядоченные пары $\{a, b\}$ различных вершин графа K, и вершина $\{a, b\}$ соединена ребром с вершиной $\{c, d\}$, если, например, $a = c$ и вершины b и d соседние в графе $K^{*(1)}$ (это ребро обозначается $a \times (bd)$). При этом нужно рассматривать только *коциклы*, т.е. такие расстановки нулей и единиц на ребрах графа $K^{*(1)}$, что для любой пары $\{(ab), (cd)\}$ несмежных ребер графа K сумма чисел на четырех ребрах $a \times (cd)$, $b \times (cd)$, $c \times (ab)$, $d \times (ab)$ равна нулю.

Определим *операцию Бокштейна* $\mathrm{Sq}^1 : H^1(K^*) \to H^2(K^*)$. (Эту операцию можно определить для произвольного полиэдра, но мы ограничимся необходимым здесь частным случаем, в котором определение чуть проще.) Пусть дана расстановка ν нулей и единиц на ребрах графа $K^{*(1)}$, являющаяся коциклом. Поставим в соответствие каждой неупорядоченной паре $\{(ab), (cd)\}$ непересекающихся ребер графа K сумму двух чисел на 'противоположных' ребрах $a \times (cd)$ и $b \times (cd)$ (или $c \times (ab)$ и $d \times (ab)$) графа $K^{*(1)}$. Полученную функцию $K^* \to \mathbb{Z}_2$ обозначим через ν^2. Заметим, что если $\nu = \delta\{x, y\}$ является элементарной кограницей вершины $\{a, b\}$ графа $K^{*(1)}$, то $\nu^2 = \delta\{a \times (\mathrm{st}_K\, b)\}$, где через $\mathrm{st}_K\, b$ обозначено множество ребер с концом b. Поэтому отображение $\nu \to \nu^2$ определяет необходимую операцию Бокштейна. (Заметим, что аналогичная операция может быть определена и для произвольного полиэдра.)

Для доказательства формулы $v(K) = \mathrm{Sq}^1 v_1(K)$ возьмем отображение $f : K \to \mathbb{R}^1$ общего положения. Будем считать, что прямая $\mathbb{R}^1 \subset \mathbb{R}^2$ горизонтальна. Возьмем отображение $g : K \to \mathbb{R}^2$ общего положения, для которого gx и fx лежат на одной вертикальной прямой для любого $x \in K$ и точка gy выше любой из точек множества $gf^{-1}fy$ для любой вершины y графа K. Тогда $(\nu(f))^2 = \nu(g)$ и формула доказана.

13. (a) Определите билинейное умножение $\cup : H^1(K^*) \times H^1(K^*) \to H^2(K^*)$, для которого $\mathrm{Sq}^1 x = x \cup x$.

(b)* Сформулируйте и докажите аналог равенства $v(K) = \mathrm{Sq}^1 v_1(K)$ для 2-полиэдра K.

Препятствие Ван Кампена к распроектируемости.

Отображение $\varphi : G \to \mathbb{R}$ конечного графа G в прямую называется *распроектируемым*, если существует такое вложение $f : G \to \mathbb{R}^2$, что $\varphi = \pi \circ f$, где $\pi : \mathbb{R}^2 \to \mathbb{R}$ — ортогональная проекция.

Приведем еще более элементарную переформулировку этого определения для кусочно-линейных отображений φ общего положения (рис. 69). (Общность положения означает здесь, что никакой отрезок не переходит в точку.) Для этого фиксируем декартову систему координат на плоскости. Назовем *расположением* такое изображение (с самопересечениями) графа G на плоскости, для которого

(1) абсциссы вершин целые,

(2) если две вершины соединены ребром в нашем графе, то их абсциссы отличаются ровно на 1, и это ребро является отрезком.

Расположение называется *вложением*, если внутренности образов любых двух его ребер не пересекаются. Расположение называется *распроектируемым*, если возможно преобразовать его во вложение путем одновременной перестановки вершин, не изменяющей их абсцисс, и соответствующего изменения ребер.

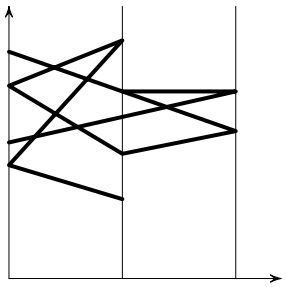

Рис. 69: Пример расположения

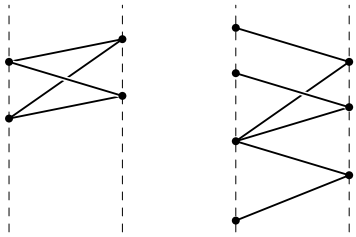

Рис. 70: Простейшие нераспроектируемые расположения

14. (a) Любое отображение отрезка в отрезок является распроектируемым.

(b) Расположения на рис. 70 не являются распроектируемыми.

(c) (Гипотеза) Расположение графа в плоскости, абсциссы вершин которого равны 0 или 1, является распроектриуемым тогда и только тогда, когда оно не содержит расположения окружности с четным числом вершин, абсциссы которых равны поочередно нулю или единице (рис. 70 слева) или расположения триода на рис. 70 справа.

(d) Расположения букв H и X с рис. 71 (даже близкие к ним) не являются распроектируемыми. Указание. Если не получается, то см. ниже.

В этом пункте исследуется следующая проблема: *какие симплициальные отображения общего положения являются распроектируемыми?* Понятие распроектируемости (спроектированного вложения) возникло в [Sz91], [Ak00] и изучалось в [ARS02] в связи с проблемой аппроксимации вложениями отображений графов в плоскость. По поводу алгоритмической разрешимости проблемы распроектируемости и невозможности критерия типа Куратовского можно сделать замечания, аналогичные приведенным выше по проблеме аппроксимируемости вложениями.

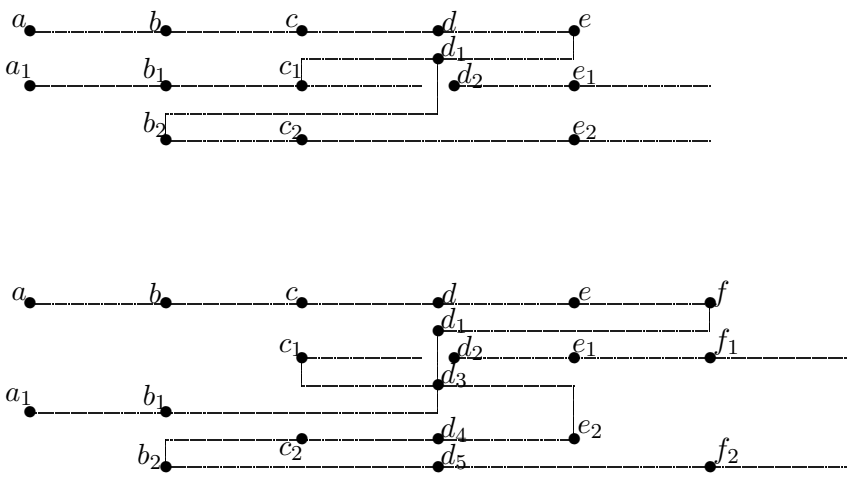

Рис. 71: Нераспроектируемые расположения Секлюцкого

Теорема распроектируемости. *Если отображение $\varphi : G \to \mathbb{R}$ распроектируемо, то пара точек не может непрерывно двигаться по графу G так, чтобы в процессе движения их φ-образы совпадали, а сами точки не совпадали, и в результате движения точки поменялись бы местами.*

Для симплициального отображения $\varphi : G \to \mathbb{R}$ общего положения это необходимое условие (Ван Кампена) является достаточным, если из каждой вершины графа G выходит не менее трех ребер.

15. (a) Докажите необходимость в теореме распроектируемости.

(b) Докажите необходимость аналогичного условия Ван Кампена для распроектируемости расположений, полученного из сформулированного выше заменой 'φ-образов' на 'абсциссы'.

Например, следующие последовательности пар показывают, что расположения с рис. 71 не являются распроектируемыми (это решает задачу 14.d):

$$aa_1,\ ee_1,\ d_1d_2,\ b_2b_1,\ c_2c_1,\ e_2e,\ b_2b,\ d_1d,\ c_1c,\ a_1a;$$
$$aa_1,\ dd_3,\ cc_1,\ ff_1,\ d_1d_2,\ e_2e_1,\ c_2c_1,\ d_4d_3,\ b_2b_1,\ d_5d_3,\ f_2f,\ b_2b,\ e_2e,\ d_3d,\ a_1a.$$

В [ARS02] для симплициальных отображений общего положения доказано, что необходимое условие Ван Кампена действительно равносильно некоторому алгебраическому условию, более похожему на вышеописанные препятствия Ван Кампена. Из этого, в частности, вытекает, что условие Ван Кампена легко проверять алгоритмически (см. прямое доказательство ниже). В [ARS02] выдвинута также гипотеза о достаточности. Достаточность в теореме распроектируемости вытекает из [ARS02], [Sk03']. Заметим, что такое доказательство очень непрямое. Прямое доказательство при другом дополнительном ограничении см. в [GS].

Приведем переформулировку необходимого условия Ван Кампена. Из переформулировки будет ясно, что его легко проверить алгоритмически [ARS02]. Упорядоченную пару (A, B) двух таких различных вершин графа G, что $\varphi(A) = \varphi(B)$, будем называть просто *парой* и обозначать AB. Пара A_1B_1 называется *элементарно достижимой* из пары AB, если граф G содержит ребра AA_1 и BB_1. Пара ST называется *достижимой* из пары AB, если ST может быть получена из AB последовательностью элементарно достижимых пар. Обозначение: $ST \sim AB$. Очевидно, достижимость —

отношение эквивалентности. Необходимое условие Ван Кампена равносильно следующему (для расположений): *никакая пара AB не достижима из пары BA.* Приведенная гипотеза принимает следующую форму: *расположение, для которого никакая пара AB не достижима из пары BA, является распроектируемым.*

ИНВАРИАНТ ВУ ВЛОЖЕНИЙ ГРАФОВ В ПЛОСКОСТЬ

Критерий изотопности. *Вложения $f, g : G \to \mathbb{R}^2$ графа в плоскость изотопны тогда и только тогда, когда их инварианты Ву совпадают.*

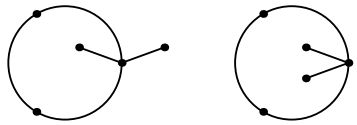

Рис. 72: Различные вложения графа в плоскость

Инвариант Ву определен далее в этом параграфе.

Существуют и более простые критерии изотопности [Sk05]. Приведенная теорема интересна тем, что обобщается на старшие размерности (в отличие от других критериев изотопности) и тем, что может оказаться полезной для оценки *количества* вложений графа в плоскость.

Для вложения $f : G \to \mathbb{R}^2$ определим группу $H^1_s(\widehat{G})$ и инвариант Ву $w(f) \in H^1_s(\widehat{G})$. Для этого зададим ориентацию на плоскости и направления на ребрах графа G.

Соединим образы вершин графа ломаной и выпрямим её изотопией плоскости. Получим новое вложение $f' : G \to \mathbb{R}^2$.

Для вершины a и ребра bc графа G, ориентированного от b к c, определим полуцелое число $\omega(f')_{a\times bc}$ как количество оборотов вектора с началом в вершине a и концом, пробегающим ребро bc от b к c. Аналогично определим $\omega(f')_{bc\times a}$ как количество оборотов вектора с концом в вершине a и началом, пробегающим ребро bc от b к c.

1. (a) Для любой вершины a и ребра bc графа G имеем $\omega(f')_{a\times bc} = \omega(f')_{bc\times a}$.

(b) Для ребер ab и cd графа G имеем

$$\omega(f')_{a\times cd} + \omega(f')_{ab\times d} + \omega(f')_{b\times dc} + \omega(f')_{ba\times c} = 0.$$

Здесь $\omega(f')_{x\times yz} := -\omega(f')_{x\times zy}$ и $\omega(f')_{yz\times x} := -\omega(f')_{zy\times x}$, если ребро zy ориентировано от z к y.

Построим новый граф $\widehat{G}$. Вершины графа $\widehat{G}$ — пары $a \times b$, где a и b — различные вершины графа G. Вершина $a \times b$ соединена ребром с вершиной $a \times c$, если b и c соединены ребром в исходном графе G. Аналогично $b \times a$ и $c \times a$ соединены ребром, если b и c соединены ребром. Других ребер в графе $\widehat{G}$ нет.

2. (a) Если G — окружность с тремя вершинами, то $\widehat{G}$ — окружность с 6 вершинами.

(b) Если G — триод, т.е. граф с четырьмя вершинами 0,1,2,3 и ребрами 01,02,03, то $\widehat{G}$ — окружность с двенадцатью вершинами.

(c) Если $a \times b$ и $b \times a$ соединены путем в графе $\widehat{G}$, то сумма поставленных полуцелых чисел на ребрах этого пути не является целой.

Возьмем на ребре $(a \times b, a \times c)$ направление, соответсвующее направлению на ребре bc. Обозначим построенную расстановку чисел $\omega(f')_{a\times bc}$ и $\omega(f')_{bc\times a}$ на (ориентированных) ребрах графа $\widehat{G}$ через $\omega(f')$.

Определим *элементарную кограницу* $\delta(a \times b)$ вершины $a \times b$ как расстановку чисел $+1/2$ на ребрах графа $\widehat{G}$, входящих в $a \times b$, чисел $-1/2$ на ребрах, выходящих из $a \times b$, и 0 на остальных. Определим *элементарную симметричную кограницу* вершины $a \times b$ как $\delta_s(a \times b) := \delta(a \times b) + \delta(b \times a)$.

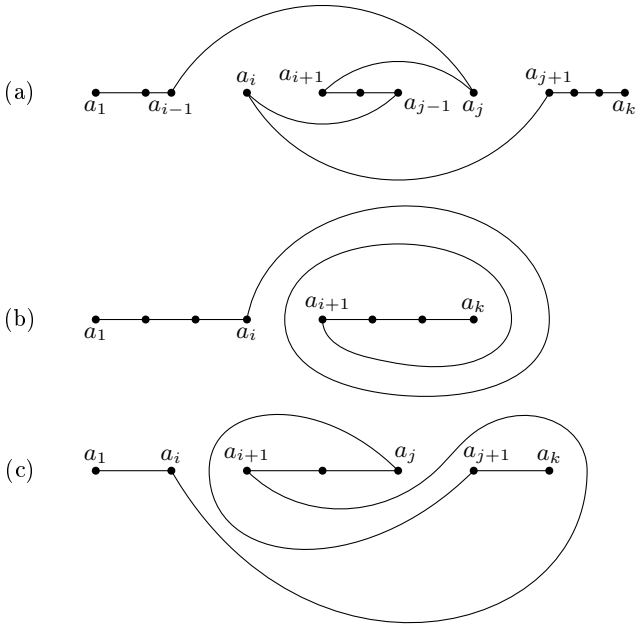

Рис. 73: Изменение препятствующей расстановки

3. (a) Пусть f' и f'' отличаются тем, что вершины a_i и a_j поменяли местами в ломаной, соединяющей образы вершины графа G при вложении f, как на рисунке 73(a). В частности на ломаной, построенной для f', вершины имели порядок $(a_1, \ldots, a_n)$, а на ломаной, построенной для f'', порядок вершин $(a_1, ..., a_{i-1}, a_j, a_{i+1}, ..., a_{j-1}, a_i, a_{j+1}, ..., a_n)$. Тогда $\omega(f'') - \omega(f') = \sum\limits_{k \neq i,j} (\pm\delta_s(a_k \times a_i) \pm \delta_s(a_k \times a_j))$, где знаки плюс и минус выбираются не обязательно согласованно.

(b) При k-кратной закрутке ребра ломаной $a_i a_{i+1}$ вокруг $a_{i+1}, ..., a_n$, изображенной на рисунке 73(b), $\omega(f'') - \omega(f') = \sum\limits_{i<j\leqslant n} k\delta_s(a_i \times a_j)$.

(c) Найти $\omega(f'') - \omega(f')$ для изменения ломаной, изображенного на рисунке 73(c).

(d)* Разность $\omega(f'') - \omega(f')$ является суммой элементарных симметричных кограниц с целыми коэффицентами.

Назовем расстановки ω_1 и ω_2 *когомологичными*, если $\omega_1 - \omega_2$ является суммой элементарных симметричных кограниц с целыми коэффицентами. Определим группу $H^1_s(\widehat{G})$ как группу расстановок, удовлетворяющих условиям из задач 1ab и 2c, с точностью до когомологичности. Определим инвариант Ву как

$$w(f) = [\omega(f)] \in H^1_s(\widehat{G}).$$

Корректность определения инварианта Ву вытекает из задачи 3d. Необходимость в теореме очевидна. Для доказательства достаточности по теореме Маклейна-Эдкиссона об изотопности вложений графа в плоскость [Sk05] достаточно решить следующую задачу.

4. Инвариант Ву различает вложения

(a) окружности в плоскость, отличающиеся осевой симметрией.

(b) триода в плоскость, отличающиеся перестановкой двух из трех его ребер.

5. Классифицируйте *погружения* (т.е. локальные вложения) графа в плоскость с точностью до регулярной гомотопии (т.е. локальной изотопии).

КОНФИГУРАЦИОННЫЕ ПРОСТРАНСТВА И ПЛАНАРНОСТЬ

Препятствие взрезанного квадрата к планарности графов.

Замечательная идея применения конфигурационных пространств имеет многочисленные приложения как в топологии, так и в других областях математики. Поясним эту идею на примере критерия планарности графов (и полиэдров). Конечно, проверять планарность графов (и полиэдров) проще не с использованием конфигурационных пространств, а по теореме Куратовского (и Халина-Юнга) [Pr04], [Sk05], [HJ64].

Теорема Халина-Юнга. *Связный полиэдр вложим в S^2 тогда и только тогда, когда он не содержит графов K_5, $K_{3,3}$ или 'зонтика' U^2 (рис. 3 и 74).*

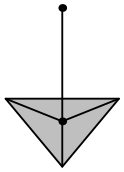

Рис. 74: Зонтик (кнопка)

Однако для вложений в старшие размерности аналога теоремы Куратовского (и Халина-Юнга) просто нет, а вот метод конфигурационных пространств хорошо работает [RS96, §6], [RS99, §4], [Sk02], [Sk08, §5]. Итак, в этом пункте читатель на примере изучения планарности графов (и полиэдров) освоит метод, который хорошо работает в многомерном случае, а также является частным случаем более общих методов, полезных для огромного круга задач.

Назовем

$$\widetilde{N} = \{(x, y) \in N \times N \mid x \neq y\}$$

взрезанным квадратом графа (или даже полиэдра или компакта) N.

1. Если задана триангуляция T графа (или 2-полиэдра) N, то назовем *симплициальным взрезанным квадратом* этой триангуляции 2-полиэдр (или 4-полиэдр) $\widetilde{T} = \{\sigma \times \tau \in T \times T \mid \sigma \cap \tau = \varnothing\}$. Рассмотрим (минимальные) триангуляции графов $K_{1,3}$ (триод), K_5 и $K_{3,3}$, а также 2-полиэдра U (зонтик), см. рис. 3, 74. Симплициальные взрезанные квадраты этих триангуляций графа $K_{1,3}$, полиэдра U, графа K_5 и графа $K_{3,3}$ гомеоморфны соответственно S^1, S^2, сфере с 6 ручками и сфере с 4 ручками.

Указание для K_5 и $K_{3,3}$: проверьте, что $\widetilde{T}$ является 2-многообразием без края, вычислите его эйлерову характеристику и докажите его ориентируемость. Ориентируемость следует, например, из вложимости 2-полиэдра $\widetilde{T}$ во *взрезанный джойн* (определенный в [Pr04]) графа K_5 или $K_{3,3}$, который гомеоморфен S^3.

Рассмотрим отображение 'перестановку сомножителей' $t : \widetilde{N} \to \widetilde{N}$ и симметрию $a : S^1 \to S^1$ относительно центра окружности. Ясно, что $t^2 = \mathrm{id}\,\widetilde{N}$ и $a^2 = \mathrm{id}\,S^1$ (такие отображения называются *инволюциями*, ср. главу 2).

2. Указанный в задаче 1 гомеоморфизм переводит отображения t на симплициальных взрезанных квадратах в антиподальные отображения.

Если $f : N \to \mathbb{R}^2$ вложение, то можно определить непрерывное отображение

$$\widetilde{f} : \widetilde{N} \to S^1 \quad \text{формулой} \quad \widetilde{f}(x,y) = \frac{f(x) - f(y)}{|f(x) - f(y)|}.$$

В этой книге все отображения между графами, полиэдрами и многообразиями считаются непрерывными, если не оговорено противное. Для отображения $\widetilde{f}$ выполнено $\widetilde{f}(y,x) = -\widetilde{f}(x,y)$, т.е. $\widetilde{f} \circ t = a \circ \widetilde{f}$. Такие отображения $\widetilde{N} \to S^1$ называются *эквивариантными*. Итак, *если N вложим в плоскость, то существует (непрерывное) эквивариантное отображение $\Phi : \widetilde{N} \to S^1$.*

Используя метод главы 6, можно построить алгебраическое препятствию к существованию такого эквивариантного отображения. Оно окажется равным препятствию Ван Кампена к планарности графов.

Теорема Ву. *Если для полиэдра (в частности, графа) N существует эквивариантное отображение $\Phi : \widetilde{N} \to S^1$, то N вложим в плоскость* [Wu65], [SSS98].

Теорема Ву интересна, поскольку показывает, что 'многомерный' критерий взрезанного квадрата справедлив и для плоского случая. Кроме того, именно критерий взрезанного квадрата может оказаться справедлив для более широкого класса компактов, чем полиэдры (см., впрочем, пункт 'препятствие взрезанного квадрата к планарности компактов.').

Доказательство теоремы Ву основано на следующем знаменитом результате (доказательство которого является упражнением; другие его применения см. в следующем пункте). Понятие гомотопии определено в начале главы 6.

3. *Теорема Борсука-Улама.* [Pr04] Отображение $f : S^n \to S^m$ сферы на сферу называется *эквивариантным* (или *нечетным*), если $f(-x) = -f(x)$ для каждого $x \in S^n$.

(a) Никакое эквивариантное отображение $S^1 \to S^1$ не гомотопно постоянному.

(b) Никакое отображение $S^2 \to S^1$ не эквивариантно.

(c) Для любого отображения $f : S^2 \to \mathbb{R}^2$ существует $x \in S^2$ такое, что $f(x) = f(-x)$. (Т.е. в любой момент времени на Земле найдутся диаметрально противоположные точки, в которых температура и давление совпадают.)

4. (a) Докажите теорему Ву для графов. Указание. Используйте критерий Куратовского планарности графов (см. выше), задачи 1 и 2, а также аналог теоремы Борсука-Улама (b).

(b) Докажите теорему Ву для полиэдров. Указание. Используйте критерий Халина-Юнга планарности полиэдров (см. выше), задачи 1 и 2, а также теорему Борсука-Улама (b) и ее аналог.

(c) Если сфера S^2 покрыта тремя замкнутыми множествами, то одно из них содержит пару антиподов.

(d)* Придумайте и докажите многомерный аналог теоремы Борсука-Улама.

Теорема Мура о триодах и пример непланарного бесконечного дерева.

Теорема Мура. *Плоскость не содержит несчетного семейства попарно непересекающихся триодов.*

Поскольку любое несчетное подмножество в (полном) пространстве замкнутых ограниченных подмножеств плоскости содержит сходящуюся последовательность, то теорема Мура вытекает из следующей леммы. Обозначим через T триод.

Лемма. *Для любого вложения $f_0 : T \to \mathbb{R}^2$ существует $\varepsilon > 0$, для которого образ $f_\varepsilon(T)$ любого вложения $f_\varepsilon : T \to \mathbb{R}^2$, являющегося ε-близким к f_0 (т.е. $|f_0(x), f_\varepsilon(x)| < \varepsilon$ для любого $x \in T$), пересекается с образом $f_0(T)$.*

Доказательство. Будем считать триод T вложенным в плоскость при помощи отображения f_0 и, тем самым, пропускать f_0 в обозначениях. Возьмем число ε настолько малым, что на триоде $T = f_0(T)$ можно поменять местами две точки путем их непрерывного движения, в процессе которого расстояние между ними больше ε. Чтобы получить противоречие, достаточно определить непрерывное отношение '$<$' на парах точек $X, Y \in T$, для которых $|XY| > \varepsilon$. (Это отношение не обязательно будет транзитивным, т.е. условия $A < B$ и $B < C$ не обязательно влекут $A < C$.)

Рассмотрим движение двух точек — одной в T, а другой в $f_\varepsilon(T)$. В первый момент времени они совпадают с точками X и $f_\varepsilon(Y)$, соответственно. Затем первая точка движется вдоль (единственной) дуги $l \subset T$ от X к Y, а вторая точка движется вдоль дуги $f_\varepsilon(l) \subset f_\varepsilon(T)$ от $f_\varepsilon(Y)$ к $f_\varepsilon(X)$. Если вектор, смотрящий от первой точки ко второй, повернется по часовой стрелке, то положим $X < Y$; если против, то положим $Y < X$. Ясно, что для пар точек X, Y с $|XY| > \varepsilon$ это отношение определено (т.е. вектор не мог повернуться на нулевой угол). Более того, отношение '$<$' непрерывно зависит от X и Y. □

5. Пусть K — (двумерный) многоугольник на плоскости и a — вектор, для которых образ $K + a$ многоугольника K при сдвиге на вектор a не пересекается с K, т.е. $K \cap (K + a) = \varnothing$. Тогда два воза (т. е. круга диаметра a) не могут поменяться местами при непрерывном движении их центров по K, так что возы не сталкиваются.

В оставшейся части этого пункта и во всем следующем пункте используется понятие *компакта*. Читатель может пропустить эту часть текста без ущерба для понимания дальнейшего или прочитать определения в [Ku68]. Здесь заметим лишь, что понятие компакта является обобщением понятий графа и вообще полиэдра. Компакты естественно появляются при изучении динамических систем (даже гладких!).

Компакт называется *одномерным*, если у него существуют покрытия сколь угодно мелкими открытыми множествами, никакие три из которых не пересекаются. Ясно, что граф является одномерным компактом.

Любой *стягиваемый граф*, т.е. дерево, планарен (из сформулированной ниже теоремы Клэйтора вытекает также, что любой *стягиваемый одномерный компакт Пеано* планарен). Следующий пример показывает, что для компактов дело обстоит иначе.

Пример невложимости. *Существует стягиваемый одномерный непланарный компакт.*

Этот пример является фольклорным результатом 1930-х годов. В качестве такого компакта можно взять $N = T \times \left(0 \cup \left\{\frac{1}{k}\right\}\right) \cup x \times [0, 1]$, где T — триод и $x \in T$. Ясно, что компакт N стягиваем и одномерен.

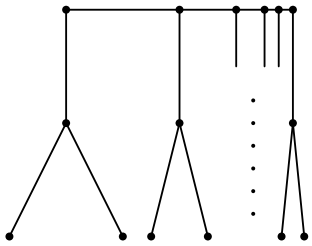

Рис. 75: Стягиваемый одномерный непланарный компакт

Элементарное доказательство невложимости компакта N в плоскость [CRS98], [KS99] получается применением Леммы к $f_0 = f_{T \times 0}$.

Приведем *другое доказательство невложимости компакта N в плоскость.* Его преимущество в том, что оно подходит и для доказательства следующего многомерного аналога примера невложимости.

6. Для любого n существует стягиваемый n-мерный компакт, не вложимый в $\mathbb{R}^{2n}$ [RSS95, доказательство Следствия 1.5], [RS01].

Доказательство невложимости N в плоскость, основанное на теореме Борсука-Улама. Предположим, что существует вложение $f : N \to \mathbb{R}^2$. Заметим, что существует отображение $\varphi : S^1 \to T$, которое не склеивает антиподы (т.е. диаметрально противоположные точки). Тогда мы можем определить отображение $\psi : S^1 \to T \times T$ формулой $\psi(s) = (\varphi(s), \varphi(-s))$. Так как φ не склеивает антиподов, то $\psi S^1 \cap \operatorname{diag} T = \varnothing$. Следовательно, можно определить отображения

$$g_0 : \psi S^1 \to S^1 \quad \text{формулой} \quad g_0(x,y) = \frac{f(x,0) - f(y,0)}{|f(x,0) - f(y,0)|} \quad \text{и}$$

$$g_k : T \times T \to S^1 \quad \text{формулой} \quad g_k(x,y) = \frac{f(x,0) - f\Big(y, \dfrac{1}{k}\Big)}{\Big|f(x,0) - f\Big(y, \dfrac{1}{k}\Big)\Big|}.$$

Отображения ψ, g_0 и g_k эквивариантны относительно инволюций на $\psi S^1 \subset T \times T$ и S^1, переставляющих сомножители и антиподы, соответственно. Так как $|\psi S^1, \operatorname{diag} T| > 0$, то для точки $(x,y) \in \psi S^1$ и достаточно большого k точки $g_0(x,y)$ и $g_k(x,y)$ будут близкими. Следовательно, они не могут быть антиподами. Поэтому g_0 эквивариантно гомотопно $g_k|_{\psi S^1}$. Но $g_k|_{\psi S^1}$ продолжается на стягиваемое пространство $T \times T$ и поэтому нуль-гомотопно. Следовательно, $g_0 : \psi S^1 \to S^1$ нуль-гомотопно. Значит, отображение $g_0 \circ \psi : S^1 \to S^1$ эквивариантно и нуль-гомотопно, что противоречит теореме Борсука-Улама. □

Препятствие взрезанного квадрата к планарности компактов.

Знаменитой нерешенной проблемой является проблема описания *связных компактов*, вложимых в плоскость.

Связный компакт называется *локально связным* (или континуумом Пеано), если для любой его точки x и ее окрестности U существует такая меньшая окрестность V точки x, что любые две точки из V соединяются некоторым путем, целиком лежащим в U (или, эквивалентно, если он является непрерывным образом дуги $[0,1]$). Континуумы Пеано могут быть очень сложно устроены [Ku68]. Поэтому удивительно, что имеется следующий результат.

Теорема Клэйтора. *Континуум Пеано вложим в S^2 тогда и только тогда, когда он не содержит компактов K_5, $K_{3,3}$, C_{K_5} и $C_{K_{3,3}}$ (рис. 76).*

Рисунок 76 пока отсутствует

Рис. 76: Континуумы Куратовского-Клэйтора

Построение компактов C_{K_5} и $C_{K_{3,3}}$. Возьмем ребро ab графа K_5 и отметим на нем новую вершину a'. Пусть $P = K_5 - (aa')$. Пусть P_n копия графа P. Обозначим через a_n и a'_n вершины графа P_n, соответствующие a и a'. Тогда

$$C_{K_5} = (P_1 \bigcup_{a'_1 = a_2} P_2 \bigcup_{a'_2 = a_3} P_3 \ldots) \bigcup_{x=0} I,$$

где $\{P_n\}$ — последовательность графов на плоскости со стремящимися к нулю диаметрами, сходящаяся к точке $x \notin \sqcup_{n=1}^{\infty} P_n$. Точно так же можно определить компакт $C_{K_{3,3}}$, взяв в начале $K_{3,3}$ вместо K_5.

Ясно, что отсутствие подкомпактов, гомеоморфных одному из графов K_5 и $K_{3,3}$ (даже вместе с отсутствием подкомпактов, гомеоморфных компактам C_{K_5} и $C_{K_{3,3}}$), недостаточно для планарности компакта (докажите!). Поэтому для изучения указанной проблемы нужны новые препятствия к вложимости в плоскость. В этом пункте мы докажем, что *препятствие взрезанного квадрата полно для континуумов Пеано и неполно для произвольных связных компактов* [Sk98].

Доказательство теоремы Ву для континуумов Пеано N. По теореме Клэйтора достаточно доказать, что не существует эквивариантных отображений $\widetilde{C_{K_5}} \to S^1$ и $\widetilde{C_{K_{3,3}}} \to S^1$. Пусть, напротив, $\Phi : \widetilde{C_{K_5}} \to S^1$ — эквивариантное отображение. Обозначим через S_n окружность в P_n, составленную из ребер, не содержащих вершин a_n и a'_n. Для достаточно больших n и $m < l$ последовательно получаем гомотопическую тривиальность сужений Φ на следующие множества:

$$x \times 1, \quad S_n \times 1, \quad S_n \times 0, \quad S_n \times S_m, \quad S_m \times S_l, \quad S_m \times a_m, \quad S_m \times a'_m.$$

(Первый переход верен, так как S_n сходится к x. Второй переход верен, так как $\Phi|_{S_n \times I}$ является гомотопией между $\Phi|_{S_n \times 0}$ и $\Phi|_{S_n \times 1}$. Третий переход верен, так как S_m сходится к x. Пятый переход верен, так как $\Phi|_{S_m \times a_m}$ и $\Phi|_{S_m \times a'_m}$ 'гомотопны'.)

Значит, $\Phi|_{\widetilde{P_m}}$ эквивариантно продолжается на $\widetilde{P_m} \cup S_m \times (aa')_m \cup (aa')_m \times S_m$. Это пространство эквивариантно гомноморфно $\widetilde{K_5}$, что противоречит отсутствию эквивариантных отображений $\widetilde{K_5} \to S^1$.

Несуществование эквивариантного отображения $\widetilde{C_{K_{3,3}}} \to S^1$ доказывается аналогично. (Сравните это доказательство с доказательством невложимости в теореме Клэйтора [Sk05].) □

Пример трехадического соленоида. *Трехадический соленоид Σ_3 не вложим в плоскость, хотя существует эквивариантное отображение $\Phi : \widetilde{\Sigma}_3 \to S^1$* [Sk98].

Приведем построение знаменитого *p-адического соленоида* Виеториса-Ван Данцига, который возникает в разных отделах топологии и теории динамических систем. Он является пересечением бесконечной последовательности полноторий, каждый из которых вписан в предыдущий со степенью p. Более точно, возьмем полноторие $T_1 \subset \mathbb{R}^3$. Пусть $T_2 \subset T_1$ будет полноторием, проходящим p раз вдоль оси полнотория T_1. Аналогично, пусть $T_3 \subset T_2$ будет полноторием, проходящим p раз вдоль оси полнотория T_2. Продолжая аналогично, получаем бесконечное семейство полноторий $T_1 \supset T_2 \supset T_3 \supset \ldots$. Пересечение всех полноторий T_i и называется p-адическим соленоидом Σ_p. Формально,

$$\Sigma_p = \{(x_1, x_2, \ldots) \in l_2(S^1) \,:\, x_i \in S^1, x_{i+1}^p = x_i\}, \quad \text{где} \quad S^1 = \{x \in \mathbb{C} \,:\, |x| = 1\}.$$

Это пространство рассматривается с топологией Тихонова (как и $\tilde{\Sigma}$ и U_n в нижеследующем доказательстве).

Заметим, что p-адический соленоид *локально вложим в плоскость, но не вложим ни в какое 2-многообразие.*

Построение эквивариантного отображения $\widetilde{\Sigma}_3 \to S^1$. Имеем

$$\widetilde{\Sigma} = \{(x_1, y_1, x_2, y_2, \ldots) \mid x_i, y_i \in S^1,\ x_{i+1}^3 = x_i,$$
$$y_{i+1}^3 = y_i \text{ для каждого } i \text{ и } x_i \neq y_i \text{ для некоторого } i\}.$$

Обозначим
$$U_n = \{(x_1, y_1, x_2, y_2, \ldots) \in \widetilde{\Sigma} \ : \ |x_n, y_n| > 4^{-n}\}.$$
Так как $|x_n, y_n| \leqslant 3|x_{n+1}, y_{n+1}|$ для каждого n, то $|x_n, y_n| > 4^{-n}$ для достаточно большого n. Поэтому $U_1 \subset U_2 \subset \ldots$ и $\widetilde{\Sigma} = \bigcup\limits_{n=1}^{\infty} U_n$. Так как U_n открыто, достаточно построить последовательность таких эквивариантных отображений $R_n : U_n \to S^1$, что $R_n = R_{n+1}|_{U_n}$.

Обозначим $S_n = \{(x, y) \in S^1 \times S^1 \ : \ |x, y| \geqslant 4^{-n}\}$. Достаточно построить последовательность таких эквивариантных отображений
$$r_n : S_n \to S^1, \quad \text{что} \quad r_n(x^3, y^3) = r_{n+1}(x, y) \quad \text{при} \quad (x^3, y^3) \in S_n.$$
Мы будем строить такие отображения r_n последовательно. Пусть $r_0 : S_0 \to S^1$ — произвольное эквивариантное отображение. Предположим, что r_{n-1} уже построено. Для дуги $M \subset S^1$ с концами в a и b обозначим через $A(M) = \left\{(x, y) \in S^1 \times S^1 \mid \arg \dfrac{x}{y} \in M\right\}$ кольцо с граничными циклами $A(a)$ и $A(b)$. Обозначим $\varepsilon = \dfrac{1}{3 \cdot 4^{n-1}}$. Используя усло-

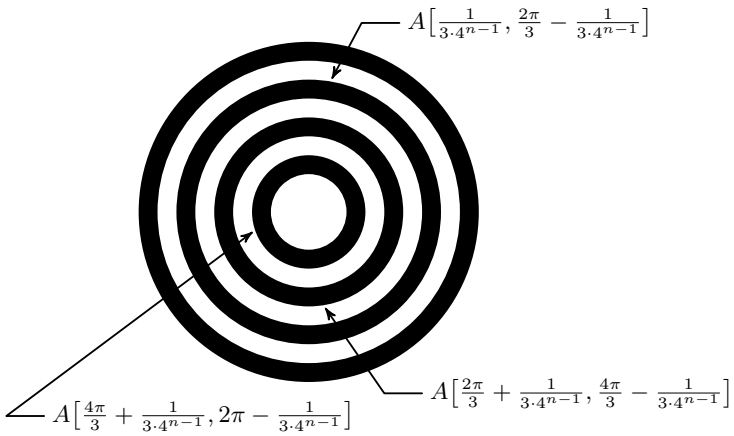

Рис. 77: Отображение r_n определено на белых кольцах и продолжается на черные. Заменить $\dfrac{1}{3 \cdot 4^{n-1}} \to \varepsilon$

вие $r_n(x, y) = r_{n-1}(x^3, y^3)$, мы можем определить отображение r_n на объединении трех колец (обозначенных белым на рис. 77)
$$A\left[\varepsilon; \frac{2\pi}{3} - \varepsilon\right] \cup A\left[\frac{2\pi}{3} + \varepsilon; \frac{4\pi}{3} - \varepsilon\right] \cup A\left[\frac{4\pi}{3} + \varepsilon; 2\pi - \varepsilon\right].$$
Так как сужения отображения r_{n-1} на окружности $A(3\varepsilon)$ и $A(2\pi - 3\varepsilon)$ гомотопны, то сужения отображения r_n на окружности $A\left(\dfrac{2\pi}{3} - \varepsilon\right)$ и $A\left(\dfrac{2\pi}{3} + \varepsilon\right)$ тоже гомотопны. Значит, r_n продолжается на $A\left[\dfrac{2\pi}{3} - \varepsilon, \dfrac{2\pi}{3} + \varepsilon\right]$. Следовательно, r_n эквивариантно продолжается на S_n. Мы берем в качестве $r_n : S_n \to S^1$ любое такое продолжение. □

Гипотеза. *Существует* древовидный *компакт N, не вложимый в плоскость, но для которого есть эквивариантное отображение $\widetilde{N} \to S^1$.*

ГЛАВА 8. ВЛОЖЕНИЯ И ЗАУЗЛИВАНИЯ (ПРИЛОЖЕНИЕ)

It is a riddle which shares with the universe
the merit of having no answer.
W. Maugham, The Moon and Sixpence. [14]

Введение: проблемы вложимости и заузливания.

Как писал Е. К. Зиман, тремя классическими проблемами топологии являются

(1) *Проблема гомеоморфизма.* Когда данные два пространства N и M гомеоморфны? Как описать множество гомеоморфических классов многообразий из заданного класса, например, заданной размерности n?

(2) *Проблема вложимости.* Какие пространства N вложимы в S^m для данного m?

(3) *Проблема заузливания.* Какие вложения $f, g : N \to S^m$ изотопны? Как описать множество изотопических класов вложений $N \to S^m$?

Идеи и методы, применяемые для изучения проблем вложимости и заузливания, применяются и для проблемы гомеоморфизма (и для других проблем топологии и ее приложений).

Определение гладкого и кусочно-линейного вложения приведены в пунктах 'нормальные классы Уитни' и 'препятствие Уитни к вложимости'. Два вложения $f, g : N \to S^m$ называются *(объемлемо) изотопными*, если существует такой гомеоморфизм $F : S^m \times I \to S^m \times I$, что

(i) $F(y, 0) = (y, 0)$ для любого $y \in S^m$,

(ii) $F(f(x), 1) = (g(x), 1)$ для любого $x \in N$, и

(iii) $F(S^m \times \{t\}) = S^m \times \{t\}$ для любого $t \in I$.

Этот гомеоморфизм F называется (объемлющей) изотопией. (Объемлющей) изотопией также называют гомотопию $S^m \times I \to S^m$ или семейство отображений $F_t : S^m \to S^m$, очевидным образом порожденные отображением F.

Через CAT будем обозначать гладкую (DIFF) или кусочно-линейную (PL) категорию. Если определение или утверждение имеет силу в обеих категориях, то CAT опускается. Если любые два вложения $N \to S^m$ (объемлемо) изотопны, то N называется *незаузленным в* S^m.

0. Два PL вложения $f, g : N \to S^m$ называются *PL не объемлемо изотопными*, если существует такое PL вложение $F : N \times I \to S^m \times I$, что

$F(x, 0) = (f(x), 0)$ для любого $x \in N$,

$F(x, 1) = (g(x), 1)$ для любого $x \in N$, и

$F(N \times \{t\}) \subset S^m \times \{t\}$ для любого $t \in I$.

(a) Любые два PL вложения $S^1 \to S^3$ (т.е. узла) являются PL не объемемо изотопными.

(b) То же для $S^n \to S^m$.

(c)** Определение *гладкой не объемлемой изотопности* гладких вложений получается из предыдущего определения заменой PL на DIFF. Существуют два гладких вложения $S^1 \to S^3$ (т.е. узла), не являющиеся гладко не объемемо изотопными.

Общее положение.

Теорема. *Любой n-мерный полиэдр вложим в $\mathbb{R}^{2n+1}$.*

Набросок доказательства. Это доказательство достаточно разобрать для $n = 1$ или $n = 2$. Поставим в соответствии вершинам данного n-полиэдра N точки пространства $\mathbb{R}^{2n+1}$ *общего положения*, т.е. такие, что никакие $2n + 2$ из них не лежат

[14] *Это загадка, имеющая общее с мирозданием достоинство: отсутстсвие ответа. У. С. Моэм, Луна и грош, пер. автора.*

в одной $2n$-мерной плоскости. (Это возможно, т.к. если точки $A_1, \dots, A_k$ выбраны, то можно взять точку A_{k+1} вне объединения $2n$-мерных плоскостей, натянутых на наборы $2n+1$ точек.) Отобразим теперь каждый симплекс полиэдра P^n линейно на симплекс, натянутый на соответсвующие точки в $\mathbb{R}^{2n+1}$. Получим отображение f.

Проверим, что f — вложение. Нужно доказать, что образы любых двух симплексов не имеют 'лишних' (т.е. отличных от образа пересечения) общих точек. Пусть, напротив образы какого-то k-мерного и l-мерного симплекса пересекаются не по образу их общей s-мерной грани ($s = -1$ для непересекающихся симплексов). Тогда $k+l+1-s$ образов их вершин лежат в некотором $(k+l-s-1)$-мерном пространстве. Добавим к этим образам еще $2n+2-(k+l+1-s)$ образов других вершин. Тогда полученные $2n+2$ точки лежат в $2n$-мерной плоскости, что противоречит построению отображения f. □

1. (a) Любые два вложения окружности в $\mathbb{R}^4$ (объемлемо) изотопны.

(b) Любые две окружности в $\mathbb{R}^4$ не зацеплены, т.е. их можно заключить в непересекающиеся четырехмерные шары.

Теорема. *Любое n-многообразие вложимо в $\mathbb{R}^{2n}$.*

Набросок доказательства для PL категории. Будем считать, что $n \geqslant 3$ (случай $n \leqslant 2$ разберите самостоятельно) и что данное n-многообразие N связно. Существует кусочно линейное отображение $f : N \to \mathbb{R}^{2n}$ *общего положения*, т.е. имеющее конечное число попарно различных двойных точек $x_1, y_1, \dots, x_k, y_k$, где $f(x_i) = f(y_i)$ (a). Тогда на $N - \{x_1, y_1, \dots, x_k, y_k\}$ отображение f является вложением. Так как $n \geqslant 2$, то можно соединить дугой l_1 точку x_1 с y_1 так, чтобы дуга l_1 не пересекала других точек x_i, y_i. Тогда $f(l_1)$ — замкнутая кривая в $\mathbb{R}^{2n}$. Так как $n \geqslant 2$, то эта кривая незаузлена в $\mathbb{R}^{2n}$. Поэтому существует диск $D^2 \subset \mathbb{R}^{2n}$ такой, что $\partial D^2 = f(l_1)$. Поскольку $n+2 < 2n$, то мы можем взять диск D^2 *общего положения*, т.е. $D^2 \cap f(N^n) = f(l_1)$ (b). Существует окрестность B^{2n} диска D^2 в $\mathbb{R}^{2n}$, гомеоморфная $2n$-шару, для которой

(1) $B^n = f^{-1}(B^{2n})$ гомеоморфно n-шару, причем

(2) граница и внутренность шара B^n переходят при отображении f в границу и внутренность шара B^{2n}, соответственно (c).

Определим отображение $g : B^n \to B^{2n}$ формулой $g(s,r) := (rf(s), r)$, где $s \in \partial B^n$. Заменим отображение f на B^n отображением g. Таким образом мы избавимся от двойных точек x_1, y_1. Аналогично для остальных $i = 2, \dots, k$ избавимся от двойных точек x_i, y_i и получим вложение N в $\mathbb{R}^{2n}$. □

2. (a)–(c) Докажите утверждения, отмеченные в наброске соответствующими буквами. Указание к (c): нужно брать *регулярную* окрестность, т.е. 'тесную' окрестность без 'лишних' дыр.

Заметим, что доказательство Уитни *гладкой* вложимости любого n-многообразия в $\mathbb{R}^{2n}$ более сложно [Ad93], [Pr06].

Не существует одной теоремы или одного определения, формализующего идею *общего положения*. Формально, для каждой конкретной задачи определение общего положения свое. Подробнее см. [Ru73, 1.6.D], [RS72].

Дальнейшие задачи, сформулированны для произвольного n, интересно решить даже для наименьшего n, удовлетворяющего условию.

3. В этой задаче подразумевается PL категория.

(a) Вложение $S^n \to \mathbb{R}^m$ объемлемо изотопно стандартному тогда и только тогда, когда оно продолжается до вложения $D^{n+1} \to \mathbb{R}^m$.

(b) Любые два вложения $S^n \to \mathbb{R}^{2n+1}$ объемлемо изотопны при $n \geqslant 2$.

(c) Любые два вложения $S^n \to \mathbb{R}^{2n}$ объемлемо изотопны при $n \geqslant 4$.

(d)* Любые два вложения $S^3 \to \mathbb{R}^6$ изотопны.

(e) Любые два вложения $S^n \to \mathbb{R}^m$ объемлемо изотопны при $2m \geqslant 3n+4$.

(f)* *Теорема Зимана.* Любые два вложения $S^n \to \mathbb{R}^m$ объемлемо изотопны при $m \geqslant n+3$ [Sk08, §2].

Заметим, что в гладкой категории утверждение 3e верно, а утверждения 3d и 3f — нет!

Для доказательства *изотопических аналогов* приведенных теорем (т.е. задач 4ab ниже) полезен следующий факт (доказательство которого непросто). Определение *конкордантности* вложений получается из определения изотопности отбрасыванием условия сохранения уровней.

Теорема. *В коразмерности больше двух конкордантность влечет объемлемую изотопию.*

Доказательство этой теоремы является обобщением доказательства теоремы Зимана о незаузленности сфер (поэтому очевидное решение задачи 3 с его помощью неразумно).

4. (a) Любые два вложения n-мерного полиэдра в $\mathbb{R}^{2n+2}$ изотопны при $n \geqslant 2$. (Эту и следующую теоремы интересно доказать даже для $n=2$.)

(b) Любые два вложения связного n-мерного многообразия в $\mathbb{R}^{2n+1}$ изотопны при $n \geqslant 2$.

(c) Связная сумма трилистника со своим зеркальным образом конкордантна тривиальному узлу, но не изотопна ему.

Идея дополнения.

Инварианты (т.е. препятствия к *изотопности*) вложений можно получить, рассматривая дополнение $S^m - fN$ до образа многообразия N при вложении в S^m. В самом деле, если $f, g : N \to S^m$ — два изотопных вложения, то $S^m - fN \cong S^m - gN$. Поэтому любой топологический инвариант пространства $S^m - fN$ является инвариантом изотопии вложения f. Впервые эта идея была применена Дж. Александером около 1910 г. к изучению узлов в трехмерной сфере.

Ясно, что $H_1(S^3 - f_0S^1) = \mathbb{Z}$ для стандартного узла f_0. Для другого узла f группу $H_1(S^3 - fS^1)$ можно вычислить, располагая весь узел, кроме переходов, в плоскости проекции, а переходы над плоскостью, и применяя последовательность Майера-Виеториса. По-видимому, Александер, проделывая такие вычисления, заметил, что для любого узла f получается $H_1(S^3 - fS^1) \cong \mathbb{Z}$, что привело его к открытию двойственности, носящей его имя (см. выше). Но если вместо одномерной группы гомологий использовать *фундаментальную группу* (см. начало главы 6 или [Pr04, VI]), то узлы уже можно различать.

(Приведем доказательство для тех, кто знаком с этим понятием. По-прежнему $\pi_1(S^3 - f_0S^1) = \mathbb{Z}$ для стандартного узла f_0. Используя теорему Зейферта–Ван Кампена о фундаментальной группе объединения, для трилистника $f : S^1 \to S^3$ нетрудно получить, что $\pi_1(S^3 - fS^1) = \langle x, y \mid xyx = yxy \rangle$. Для различения трилистника и тривиального узла достаточно построить нетривиальный гомоморфизм из этой группы в S_3. Его можно определить формулами $x \to (12)$, $y \to (23)$. Значит, $\pi_1(S^3 - fS^1)$ не абелева и не изоморфна группе $\mathbb{Z}$.)

Изложение дальнейшего развития идеи дополнения в теории узлов $f : S^1 \to S^3$ (или вообще $f : S^n \to S^{n+2}$) не входит в нашу задачу. Ограничимся лишь формулировками достаточных условий полноты инварианта дополнения (см. пункт 'приложение: об узлах в коразмерности 1 и 2).

Препятствия к *вложимости* полиэдра в S^m можно получить, основываясь на следующей идее, также восходящей к Александеру. Рассматривая дополнение $S^m - N$ полиэдра $N \subset S^m$, можно вывести необходимые условия на сам полиэдр N. Эта идея

проиллюстрирована на примере вложений графов в плоскость в главе 0. В общем случае формула Эйлера заменяется на ее обобщение — двойственность Александера.

Метод дополнения развивался и в дальнейшем. Например, Р. Том получил условия на кольцо (ко)гомологий замкнутого $(m-1)$-многообразия, необходимые для вложимости в S^m [Th51], см. также [ARS01]. Петерсон изучал двойственность между *(ко)гомологическими операциями* пространств N и $S^m - N$ и получил некоторые интересные теоремы невложимости. Дальнейших результатов не приводим ввиду их необъятности.

Инвариант дополнения для узлов в коразмерности 1 и 2.

Теорема Папакириякопулоса. *Вложение $f : S^1 \to S^3$ изотопно стандартному тогда и только тогда, когда $\pi_1(S^3 - fS^1) \cong \mathbb{Z}$* [Pa57].

Теорема Левина. *Для любого $n \neq 2$ гладкое вложение $f : S^n \to S^{n+2}$ гладко изотопно стандартному тогда и только тогда, когда $S^{n+2} - fS^n$ гомотопически эквивалентно окружности* [Le65].

Для $n = 1$ теорема Левина равносильна теореме Папакириякопулоса, поскольку условие $(S^3 - fS^1) \simeq S^1$ равносильно условию $\pi_1(S^3 - fS^1) \cong \mathbb{Z}$ (ввиду асферичности пространства $S^3 - fS^1$).

Аналог теоремы Левина справедлив в PL и TOP локально плоских категориях при $n \neq 2, 3$ [Pa57], [St63], [Le65], см. также [Gl62]. Напомним, что (PL или TOP) вложение $S^n \subset S^m$ называется (PL или TOP) *локально-плоским*, если каждая точка из S^n обладает такой окрестностью U в S^m, что пара $(U, U \cap S^n)$ (PL или TOP) гомеоморфна паре $(B^n \times B^{m-n}, B^n \times 0)$.

Краткая история изучение узлов *в коразмерности 1*, т.е. вложений $S^n \to S^{n+1}$, такова. Известная теорема Жордана, впервые доказанная Брауэром, утверждает, что сфера S^n, содержащаяся в S^{n+1}, разбивает сферу S^{n+1} на две компоненты. Легко доказывается, что *вложение $f : S^n \to S^{n+1}$ незаузлено тогда и только тогда, когда замыкания этих компонент дополнения являются шарами.* (Теорема Левина в некотором смысле является аналогом этого утверждения.) В 1912 г. Шенфлис доказал, что любая окружность $S^1 \subset S^2$ незаузлена.

Утвержение о незаузленности S^n в S^{n+1} получило название *гипотезы Шенфлиса.* В 1921 г. Александер объявил, что он доказал гипотезу Шенфлиса для произвольного n. Однако, в 1923 г. он нашел контрпример — знаменитую рогатую сферу Александера (с помощью той же идеи дополнения [Ru73]). Тем не менее, он доказал, что в кусочно-линейной категории гипотеза Шенфлиса верна для $n = 2$.

После появления рогатой сферы Александера гипотезой Шенфлиса стали также называть утверждение о незаузленности *локально плоского* вложения $f : S^n \to S^{n+1}$. Она была доказана только в 1960-1973 годах:

для гладкого случая при $n \neq 3$ в [Sm61], [Ba65].

для кусочно-линейного локально плоского случая при $n \neq 3$ (следует из TOP локально плоского случая и результатов Кирби-Зибенмана [Ho90]).

для топологического локально плоского случая в [Br60], [Ma59], [Mo60]. (Заметим, что элегантное и короткое доказательство Брауна топологического локально плоского аналога теоремы Смейла-Бардена послужило началом теории 'клеточных множеств', которая затем стала важной частью геометрической топологии.)

Кусочно-линейный случай гипотезы Шенфлиса для $n \geqslant 3$ (или, эквивалентно, локально плоский кусочно-линейный случай гипотезы Шенфлиса для $n = 3$) остается известной и трудной нерешенной *проблемой Шенфлиса* [RS72].

Общий инвариант дополнения.

Для n-мерного пространства N и вложения $f : N \to S^m$ положим

$$C(f) := S^m - f(N) \simeq S^m - Of(N),$$

где $Of(N)$ — регулярная окрестность образа $f(N)$ в S^m. Топологический и гомотопический тип пространства $C(f)$ являются инвариантами вложения f.

Для $m - n \geqslant 3$ пространство $C(f)$ односвязно, и по двойственности Александера его гомологические группы не зависят от f (см. также задачу 5b). Поэтому инвариант $C(f)$ относительно слабый для $m - n \geqslant 3$.

Обозначим через $i : S^m \to S^{m+1}$ стандартное включение.

5. (a) Если $N = S^{n_1} \sqcup \ldots \sqcup S^{n_r}$, $m - n_i \geqslant 3$ и $f : N \to S^m$ — произвольное вложение, то $C(f) \simeq S^{m-n_1-1} \vee \ldots \vee S^{m-n_r-1}$.

(b) $C(i \circ f) \simeq \Sigma C(f)$.

(c) Для стандартного вложения $f : S^p \times S^q \to S^m$ имеем $C(f) \simeq S^{m-p-q-1} \vee S^{m-q-1} \vee S^{m-p-1}$.

(d)* Гомотопический тип дополнения к образу тора $N = S^p \times S^q$ может зависеть от вложения в S^m при $m - p - q \geqslant 3$. Указание (П. Ламбрехтс). Рассмотрим расслоение Хопфа $S^3 \to S^7 \xrightarrow{h} S^4$. Возьмем стандартное вложение $S^2 \subset S^4$. Его дополнение гомотопически эквивалентно S^1. Имеем $h^{-1}(S^1) \cong S^1 \times S^3 \subset S^7$, причем дополнение до этого вложения f есть

$$C(f) \simeq h^{-1}(S^2) \cong S^2 \times S^3 \not\simeq S^2 \vee S^3 \vee S^5 \simeq C(f_0),$$

где $f_0 : S^1 \times S^3 \to S^7$ — стандартное вложение. Аналогично строятся два вложения $S^3 \times S^7 \subset S^{15}$, дополнения которых не гомотопически эквивалентны.

(e)* Существуют гладкие вложения $f : \mathbb{R}P^2 \to S^4$ и $g : \mathbb{C}P^2 \to S^7$, для которых $C(f) \simeq \mathbb{R}P^2$ и $C(g) \simeq \mathbb{C}P^2$. (Это 'стандартные' вложения; для $\mathbb{C}P^2$ других и не существует [KS05].)

(f) $C(f)$ ретрагируется на ('меридианальную') окружность для $m = n + 2$.

По соображениям общего положения, $C(f)$ не зависит от f для $m \geqslant 2n + 2$. Это пространство обозначим через $C_m(N)$. Так как

$$C(i \circ f) \simeq \Sigma C(f), \quad \text{то} \quad \Sigma^{M-m} C(f) \simeq C_M(f) \quad \text{для} \quad M \geqslant 2n + 2.$$

Необходимым условием дополнения для вложимости N в S^m является $(M - m)$-денадстраиваемость пространства $C_M(N)$, то есть существование пространства C такого, что $\Sigma^{M-m} C \simeq C_M(f)$. Если это условие выполняется для $M = 2n + 2$, то оно автоматически выполняется для любого $M \geqslant 2n + 2$.

Общий инвариант окрестности.

По соображениям общего положения нормальное расслоение $\nu(f)$ погружения $f : N \to S^{n+k}$ не зависит от f для $k \geqslant n + 1$. Это *стабильное нормальное расслоение* обозначим через $\nu_k(N)$. Отметим, что

$$\nu(i \circ f) = \nu(f) \oplus 1, \quad \text{поэтому} \quad \nu(f) \oplus (K - k)\varepsilon = \nu_K(f) \quad \text{для} \quad K \geqslant n + 1.$$

Необходимым условием нормального расслоения для погружаемости многообразия N в S^{n+k} является существование k-расслоения ν над N, стабильно эквивалентного расслоению $\nu_K(N)$. Так как $\nu(f) \oplus \tau(N) = (n + k)\varepsilon$, то необходимое условие нормального расслоения эквивалентно стабильной тривиальности расслоения $\nu(f) \oplus \tau(N)$ и тривиальности последнего расслоения (по соображениям общего положения, потому что размерность расслоения $\nu(f) \oplus \tau(N)$ больше, чем n). Теорему Смейла-Хирша можно переформулировать так: *если существует k-расслоение ν над N такое, что $\nu \oplus (K - k)\varepsilon \cong \nu_K(N)$, то N погружаемо в $\mathbb{R}^{n+k}$.*

6. $C(f) \simeq D\nu(f)/S\nu(f)$ для $m \geqslant 2n+2$.

Нормальное расслоение $\nu(f)$ погружения f с точностью до эквивалентности является инвариантом регулярной гомотопии погружения f (и инвариантом изотопии погружения f, если оно является вложением). Этот изотопический инвариант не очень сильный, потому что, например, нормальные расслоения различных вложений стабильно эквивалентны. Для вложения f пространство расслоения $\nu(f)$ и регулярная окрестность $Of(N)$ образа $f(N)$ в S^m могут быть отождествлены при помощи гомеоморфизма κ, при котором нулевое сечение переходит в $f(N)$. Заметим, что этот гомеоморфизм κ определен неоднозначно (более точно, различающие элементы лежат в группе $H^l(N, \pi_l(S\,O_{k-1}))$).

(О близком понятии утолщения и утолщаемости см. главы 0 и 2.)

Комбинация инвариантов дополнения и окрестности.

Совмещая идею дополнения и идею окрестности, Дж. Левин, С. П. Новиков и В. Браудер получили *редукцию* проблем вложимости и изотопии к алгебраическим проблемам (впрочем, достаточно сложным). Доказательство достаточности *комбинация* инвариантов дополнения и окрестности условий — одно из наиболее важных приложений *хирургии* к топологии многообразий. По поводу развития этого подхода и преодоления возникающих трудностей см. [KS05], [Sk08'].

Дадим определение нормальной системы и сформулируем теорему Браудера-Левина. Композиция $S\nu(f) \overset{\kappa}{=} \partial C(f) \subset C(f)$ называется *приклеивающим отображением* $a(f,\kappa)$. Тройка $S(f,\kappa) = (\nu(f), C(f), a(f,\kappa))$ называется *нормальной системой пары* (f,κ). Вообще, *нормальная система коразмерности k на многообразии N* — это тройка $S = (\nu, C, a)$, состоящая из

(i) векторного k-расслоения ν;

(ii) пространства C; и

(iii) непрерывного отображения $p : S\nu \to C$.

Будем говорить, что нормальные системы (ν, C, p) и (ν_1, C_1, p_1) *эквивалентны*, если существуют изоморфизм расслоений $b : \nu \to \nu_1$ и гомотопическая эквивалентность $r : C \to C_1$, для которых $r \circ p \simeq p_1 \circ Sb$. Очевидно, класс эквивалентности нормальной системы (f,κ) не зависит от κ. Этот класс называется *нормальной системой $S(f)$ вложения f*. Нормальная система вложения является изотопическим инвариантом. Так как любые два вложения $N \to S^{n+K}$ изотопны при $K > n+1$, то $S(f)$ не зависит от вложения f при $K > n+1$. Эта нормальная система называется *стабильной нормальной системой многообразия N* и обозначается $S_K(N)$.

Надстройка ΣS над нормальной системой (ν, C, p) — это нормальная система $(\nu \oplus 1, \Sigma C, p')$, в которой p' является надстройкой над p на каждом слое. *Необходимое условие Браудера-Левина* для вложимости многообразия N в S^{n+k} состоит в существовании нормальной системы S на N, такой что $\Sigma^{K-k} S \sim S_K(N)$ (ясно, что это условие не зависит от K).

Теорема Браудера-Левина. *Пусть N — замкнутое гладкое n-многообразие, $K > n+1$, $k \geqslant 3$ и существует такая нормальная система $S = (\nu, C, p)$ на N, что $\Sigma^{K-k} S \sim S_K(N)$ и $\pi_1(C) = 0$. Тогда существует гладкое вложение $f : N \to S^{n+k}$ такое, что $S(f) \sim S$.*

Для гомотопической сферы N теорема Браудера-Левина была доказана в [Le65'], а в общем случае — в [Br68]. См. также [Gi71]. Теорема Браудера-Левина вытекает из следующей леммы.

Лемма о компрессии и денадстройке. *Пусть $F : N \to S^{n+k+1}$ — вложение замкнутого гладкого n-многообразия, $k \geqslant 3$, $n+k \geqslant 5$ и существует такая нормальная система $S = (\nu, C, p)$ на N, что $\Sigma S \sim S(F)$ и $\pi_1(C) = 0$. Тогда существует такое гладкое вложение $f : N \to S^{n+k}$, что $S(f) \sim S$.*

Доказательство леммы о компрессии и денадстройке (принадлежащее Браудеру) использует понятие нормального инварианта и приводится в [CRS04].

Литература. (переставить по (латинскому) алфавиту!)

Звездочками отмечены книги, обзоры и популярные статьи.

[Ad93] **M. Adachi.* Embeddings and Immersions. Amer. Math. Soc., 1993. (Transl. of Math. Monographs, 124).

[Ak00] **П. М. Ахметьев.* Вложения компактов, стабильные гомотопические группы сфер и теория особенностей // Успехи Мат. Наук. 2000. 55:3. С. 3-62.

[An03] **Д. В. Аносов.* Отображения окружности, векторные поля и их применения. М: МЦНМО, 2003.

[BFM90] **А. В. Болсинов, С. В. Матвеев и А. Т. Фоменко.* Топологическая классификация интегрируемых гамильтоновых систем с двумя степенями свободы // Успехи Мат. Наук. 1990. 45:2. С. 49-77.

[Bi83] **R. H. Bing.* The Geometric Topology of 3-Manifolds. Providence, R. I. 1983. (Amer. Math. Soc. Colloq. Publ., 40).

[BE82] **В. Г. Болтянский и В. А. Ефремович.* Наглядная топология М.: Наука, 1982.

[BP97] **R. Benedetti and C. Petronio.* Branched standard spines of 3-manifolds // Lecture Notes in Math. 1653, Springer-Verlag, Berlin-Heidelberg-New York, 1997.

[CL95] *Чжуан-цзы. Ле-цзы. М.: Мысль, 1995.

[CRS04] **М. Ценцель, Д. Реповш и А. Скопенков.* О теоремах вложения Браудера-Левина-Новикова // Труды МИРАН. 2004. 247. С. 280-290.

[DNF79] **Б. А. Дубровин, С. П. Новиков и А. Т. Фоменко.* Современная геометрия: методы и приложения. М.: Наука, 1979.

[DNF84] **Б. А. Дубровин, С. П. Новиков и А. Т. Фоменко.* Современная геометрия: методы теории гомологий. М.: Наука, 1984.

[DZ93] **Дымарский Я. и Заверач И.* Пересечение двух кривых на торе. // Квант. 1993. 6. http://kvant.mccme.ru/1993/06/peresechenie_dvuh_krivyh_na_to.htm

[FF89] **А. Т. Фоменко и Д. Б. Фукс.* Курс гомотопической топологии. М.: Наука, 1989.

[Fo92] **А. Т. Фоменко.* Наглядная геометрия и топология. М.: Изд-во МГУ, 1992.

[Gi71] **S. Gitler.* Embedding and immersion of manifolds // Proc. Symp. Pura Appl. Math., AMS, Providence. 1971. 22. P. 87–96.

[GS99] **R. Gompf and A. Stipsicz.* 4-Manifolds and Kirby Calculus. Providence, RI: Amer. Math. Soc., 1999.

[GT87] **J. L. Gross and T. W. Tucker.* Topological graph theory. New York: Wiley-Interscience, 1987.

[Ha] **F. Harary.* Graph theory. Рус. пер.: Ф. Харари. Теория графов. М., Мир, 1973.

[HMS93] **C. Hog-Angeloni, W. Metzler and A. J. Sieradski.* Two-dimensional homotopy and combinatorial group theory. Cambridge: Cambridge Univ. Press, 1993. (London Math. Soc. Lecture Notes, 197).

[Ho90] **K. Horvatič.* Classical problems of geometric topology (in Croatian). Zagreb: Tehnička knjiga, 1990

[Ki89] **R. C. Kirby.* The Topology of 4-Manifolds. Berlin: Springer-Verlag, 1989. (Lect. Notes Math., 1374).

[Ko81] **U. Koschorke.* Vector Fields and Other Vector Bundle Morhpisms — a Singularity Approach. Berlin-Heidelberg-New York: Springer-Verlag, 1981. (Lect. Notes Math., 847).

[KPS] **A. Kaibkhanov, D. Permyakov and A. Skopenkov.* Realization of graphs with rotation // http://www.turgor.ru/lktg/2005/3/index.htm.

[KS99] **П. Кожевников и А. Скопенков.* Узкие деревья на плоскости // Мат. Образование. 1999. 2-3. С. 126-131.

[Ku68] **К. Куратовский.* Топология. Т. 1, 2. М.: Мир, 1969.

[LZ] **S. Lando and A. Zvonkin.* Embedded Graphs. Springer

[MF90] **С. В. Матвеев и А. Т. Фоменко.* Алгоритмические и компьютерные методы в трехмерной топологии. М.: Изд-во МГУ. М.: Наука. 1990.

[MS74] **Дж. Милнор, Дж. Сташефф.* Характеристические классы. М.: Мир, 1979.

[MT01] **B. Mohar and C. Thomassen.* Graphs on Surfaces. The John Hopkins University Press, 2001.

[NN04] **?.* The forgotten mathematician //Math. Intelligencer, 2004.

[No76] **С. П. Новиков.* Топология-1. М.: Наука, 1976. (Итоги науки и техники. ВИНИТИ. Современные проблемы математики. Основные направления, 12).

[Po76] **Л. С. Понтрягин.* Гладкие многообразия и их применения в теории гомотопий. М.: Наука, 1976.

[Pr95] **В. В. Прасолов.* Наглядная топология. М.: МЦНМО, 1995.

[Pr04] **В. В. Прасолов.* Элементы комбинаторной и дифференциальной топологии. М.: МЦНМО, 2004. См. `http://www.mccme.ru/prasolov/`.

[Pr06] **В. В. Прасолов.* Элементы теории гомологий. М.: МЦНМО, 2006. См. `http://www.mccme.ru/prasolov/`.

[PS05] **В. В. Прасолов и М. Скопенков.* Рамсеевская теория зацеплений // Мат. Просвещение. 2005. 9. С. 108-115.

[RS72] **К. П. Рурк и Б. Дж. Сандерсон.* Введение в кусочно-линейную топологию // Москва. Мир. 1974.

[RS96] **D. Repovš and A. B. Skopenkov.* Embeddability and isotopy of polyhedra in Euclidean spaces // Труды МИРАН. 1996. 212; Proc. of the Steklov Inst. Math. 1996. 212. P. 173-188.

[RS99] **Д. Реповш и А. Скопенков.* Новые результаты о вложениях полиэдров и многообразий в евклидовы пространств // УМН. 1999. 54:6. С. 61-109.

[RS99'] **Д. Реповш и А. Скопенков.* Кольца Борромео и препятствия к вложимости // Труды МИРАН. 1999. 225. С. 331-338.

[RS00] **Д. Реповш и А. Скопенков.* Характеристические классы для начинающих // Мат. Просвещение. 2000. 4. С. 151-176.

[RS02] **Д. Реповш и А. Скопенков.* Теория препятствий для начинающих // Мат. Просвещение. 2002. 6. С. 60-77.

[Ru73] **T. B. Rushing.* Topological Embeddings. New York: Academic Press, 1973.

[SE62] **Н. Стинрод и Д. Эпштейн.* Когомологические операции // Москва. Наука. 1983.

[St68] **Р. Стонг.* Заметки по теории кобордизмов // Москва. Мир. 1973.

[ST04] **Г. Зейферт и В. Трельфалль.* Топология. 2004.

[Sk05] **А. Скопенков.* Вокруг критерия Куратовского планарности графов // Мат. Просвещение. 2005. 9. С. 116-128. http://www.mccme.ru/free-books/matprosc.html

[Sk08] **A. Skopenkov.* Embedding and knotting of manifolds in Euclidean spaces // London Math. Soc. Lect. Notes, 347 (2008) 248–342; arxiv:math/0604045.

[ST07] **А. Скопенков и А. Телишев.* И вновь о критерии Куратовского планарности графов // Мат. Просвещение, 11 (2007), 159–160, http://www.mccme.ru/free-books/matprosc.html

[VINH07] **О. Я. Виро, О. А. Иванов, Н. Ю. Нецветаев и В. М. Харламов.* Элементарная топология // МЦНМО. 2007.

[Wu65] **W. T. Wu.* A Theory of Embedding, Immersion and Isotopy of Polytopes in an Euclidean Space. Peking: Science Press, 1965.

[ARS01] *P. Akhmetiev, D. Repovš and A. Skopenkov.* P. Akhmetiev, D. Repovs and A. Skopenkov, Embedding products of low-dimensional manifolds in R^m // Topol. Appl. 2001. 113. P. 7-12.

[ARS02] *P. Akhmetiev, D. Repovš and A. Skopenkov.* Obstructions to approximating maps of n-manifolds into $\mathbb{R}^{2n}$ by embeddings // Topol. Appl. 2002. 123. P. 3-14.

[Ba65] *D. Barden.* Simply-connected five-manifolds // Ann. of Math. 1965. 82. P. 365–385.

[Br60] *M. Brown.* A proof of the generalized Schoenfliess theorem // Bull. Amer. Math. Soc. 1960. 66. P. 74–76.

[BF94] *А. В. Болсинов и А. Т. Фоменко.* Траекторная эквивалентность интегрируемых гамильтоновых систем с двумя степенями свободы. Теорема классификации. I, II // Мат. Сборник. 1994. 185:4. С. 27-80; 185:5. С. 27-78.

[BM58] *R. Bott, J. Milnor.* On the parallelizability of the spheres // Bull. Amer. Math. Soc. 1958. 64. P. 87-89.

[Br68] *W. Browder.* Embedding smooth manifolds // Proc. Int. Congr. Math. Moscow 1966. 1968. P. 712–719.

[BRS99] *D. Repovš, N. Brodsky and A. B. Skopenkov.* A classification of 3-thickenings of 2-polyhedra // Topol. Appl. 1999. 94. P. 307-314.

[Co85] *R. L. Cohen.* The immersion conjecture for differentiable manifolds // Ann. of Math. 1985. 122. P. 237-328.

[CRS98] *A. Cavicchioli, D. Repovš and A. B. Skopenkov.* Open problems on graphs, arising from geometric topology // Topol. Appl. 1998. 84. P. 207-226.

[CRS00] *A. Cavicchioli, D. Repovš and A. B. Skopenkov.* An extension of the Bolsinov-Fomenko theorem on classification of Hamiltonian systems // Rocky Mount. J. Math. 2000. 30:2. P. 447-476.

[CRS] *M. Cencelj, D. Repovš and M. Skopenkov.* Classification of framed links in 3-manifolds.

[Cu81] *M. Culler.* Using surfaces to solve equations in free groups // Topology. 1981. 20. P. 133-145.

[DW59] *A. Dold and H. Whitney.* Classification of oriented sphere bundles over a 4-complex // Ann. Math. 1959. 69. P. 667–677.

[FKT94] *M. H. Freedman, V. S. Krushkal and P. Teichner.* Van Kampen's embedding obstruction is incomplete for 2-complexes in $\mathbb{R}^4$ // Math. Res. Letters. 1994. 1. P. 167-176.

[Gl62] *H. Gluck.* The embedding of two-spheres in the four-sphere // Trans. Amer. Math. Soc. 1962. 104:2. P. 308–333.

[GS] *М. Гортинский и О. Скрябин.* Критерий вложимости графов в плоскость вдоль прямой // препринт.

[Ha67] *A. Haefliger.* Lissage des immersions-I // Topology. 1967. 6. 221–240.

[HH62] *A. Haefliger and M. W. Hirsch.* Immersions in the stable range // Ann. of Math. 1962. 75:2. P. 231–241.

[Hi60] *M. W. Hirsch.* Immersions of manifolds // Trans. Amer. Mat. Soc. 1960. 93. P. 242–276.

[HJ64] *R. Halin and H. A. Jung.* Karakterisierung der Komplexe der Ebene und der 2-Sphäre // Arch. Math. 1964. 15. P. 466-469.

[HP64] *A. Haefliger and V. Poenaru.* La classification des immersions combinatoires // Publ. Math. IHES. 1964. 23. P. 75–91.

[Ke59] *M. Kervaire.* An interpretation of G. Whitehead's generalization of H. Hopf's invariant // Ann. of Math. 1959. 69. P. 345-362.

[Ko01] *U. Koschorke.* Homotopy classification of line fields and Lorentz metrics on closed manifolds // Math. Proc. Camb. Phil. Soc. 2001.

[KS05] *M. Kreck and A. Skopenkov.* Inertia groups of smooth embeddings // submitted, arxiv:math/0512594.

[La00] *F. Lasheras.* An obstruction to 3-dimensional thickening // Proc. Amer. Math. Soc. 2000. 128. P. 893-902.

[Le65] *J. Levine.* Unknotting spheres in codimension 2 // Topology. 1965. 4. P. 9–16.

[Le65'] *J. Levine.* A classification of differentiable knots // Ann. of Math. 1965. 82. P. 15–

[LS69] *W. B. R. Lickorish and L. C. Siebenmann.* Regular neighborhoods and the stable range // Trans. AMS. 1969. 139. P. 207-230.

[Ma59] *B. Mazur.* On embeddings of spheres // Bull. Amer. Math. Soc. 1959. 65. P. 91–94.

[Ma60] *W. S. Massey.* On the Stiefel-Whitney classes of a manifold, 1 // Amer. J. Math. 1960. 82. P. 92-102.

[Ma62] *W. S. Massey.* On the Stiefel-Whitney classes of a manifold, 2 // Proc. AMS 1962. 13. P. 938-942.

[Ma69] *W. S. Massey.* Pontryagin squares in the Thom space of a bundle // Pacific J. Math. 1969. 31. P. 133-142.

[Ma73] *С. В. Матвеев.* Специальные остовы кусочно-линейных многообразий // Мат. Сборник. 1973. 92. С. 282-293.

[Ma05] *V. Manturov.* A proof of the Vasiliev conjecture on the planarity of singular links //Izv. RAN 2005.

[Mi97] *P. Minc.* Embedding simplicial arcs into the plane // Topol. Proc. 1997. 22. 305–340.

[Mo60] *M. Morse.* A reduction of the Schoenfliess extension problem // Bull. Amer. Math. Soc. 1960. 66. P. 113–117.

[Mo89] *B. Mohar.* An obstruction to embedding graphs in surfaces // Discrete Math. 1989. 78. P. 135–142.

[OS74] *R. P. Osborne and R. S. Stevens.* Group presentations corresponding to spines of 3-manifolds, I // Amer. J. Math. 1974. 96. P. 454-471; II // Amer. J. Math. 1977. 234. P. 213-243; III // Amer. J. Math. 1977. 234 P. 245-251.

[Pa57] *C. D. Papakyriakopoulos.* On Dehn's lemma and the asphericity of knots // Ann. of Math. 1957. 66. P. 1–26.

[Pe] *D. Permyakov.* On embedding of graphs with rotations into the Moebius strip //Preprint. 2005.

[Pe'] *D. Permyakov.* Embeddings into the plane for degree 4 graphs //Preprint. 2005.

[PV] *G. Pogudin and P. Verevkin.* On the embeddability of cubic R-graphs into the torus // Preprint. 2007.

[RS98] *D. Repovš and A. B. Skopenkov.* A deleted product criterion for approximability of a map by embeddings // Topol. Appl. 1998. 87 P. 1-19.

[RS99"] *Д. Реповш и А. Скопенков.* Теория препятствий для расслоений Зейферта и классификация интегрируемых гамильтоновых систем // УМН. 1999. 54:3. С. 183-184.

[RS01] *D. Repovš and A. Skopenkov.* Cell-like resolutions of polyhedra by special ones // Colloq. Math. 2000. 86:2. P. 231–237.

[RS01] *D. Repovš and A. Skopenkov.* On contractible n-dimensional compacta, non-embeddable into $\mathbb{R}^{2n}$ // Proc. Amer. Math. Soc. 2001. 129. P. 627-628.

[RSS95] *D. Repovš, A. B. Skopenkov and E. V. Ščepin.* On uncountable collections of continua and their span // Colloq. Math. 1995. 69:2. P. 289-296.

[RSS95'] *D. Repovš, A. B. Skopenkov and E. V Ščepin.* On embeddability of $X \times I$ into Euclidean space // Houston J. Math. 1995. 21. P. 199-204.

[RS68] *C. P. Rourke and B. J. Sanderson.* Block bundles, I // Ann. of Math. (2). 1968. 87. P. 1-28.

[SSS98] *J. Segal, A. Skopenkov and S. Spież.* Embeddings of polyhedra in $\mathbb{R}^m$ and the deleted product obstruction // Topol. Appl. 1998. 85. P. 225-234.

[Sa91] *K. S. Sarkaria.* A one-dimensional Whitney trick and Kuratowski's graph planarity criterion // Israel J. Math. 1991. 73. P. 79-89.

[SS83] *Е. В. Щепин, М. А. Штанько.* Спектральный критерий вложимости компактов в евклидовы пространства // Труды Ленинградской Международной Топологической конференции. Л.: Наука, 1983. С. 135-142.

[Si69] *K. Sieklucki.* Realization of mappings // Fund. Math. 1969. 65. P. 325-343.

[Sk94] *А. Скопенков.* Геометрическое доказательство теоремы Нойвирта об утолщаемости 2-мерных полиэдров // Мат. заметки. 1994. 56:2. С. 94-98.

[Sk98] *A. B. Skopenkov.* On the deleted product criterion for embeddability in $\mathbb{R}^m$ // Proc. Amer. Math. Soc. 1998. 126:8. P. 2467-2476.

[Sk02] *A. Skopenkov.* On the Haefliger-Hirsch-Wu invariants for embeddings and immersions // Comment. Math. Helv. 2002. 77. P. 78-124.

[Sk03] *M. Skopenkov.* Embedding products of graphs into Euclidean spaces // Fund. Math. 2003. 179. P. 191-198.

[Sk03'] *M. Skopenkov.* On approximability by embeddings of cycles in the plane // Topol. Appl. 2003. 134. P. 1-22.

[Sk08'] *A. Skopenkov.* A classification of smooth embeddings of 3-manifolds into 6-space //, Math. Zeitschrift, to appear, arxiv:math/0603429.

[Sm61] *S. Smale.* Generalized Poincare's conjecture in dimensions greater than 4 // Ann. of Math. 1961. 74. P. 391–466.

[St63] *J. Stallings.* On topologically unknotted spheres // Ann. of Math. 1963. 77. P. 490–503.

[Sz91] *A. Szücs.* On the cobordism groups of immersions and embeddings // Math. Proc. Camb. Phil. Soc. 1991. 109. P. 343-349.

[Te] *А. Телишев.* О реализуемости графов на бутылке Клейна. Препринт.

[Th51] *R. Thom.* Une théorie intrinseque des puissances de Steenrod
Coll. Top. Strassbourg. 1951.

[Vd95] *A. Vdovina.* Construction of orientable Wicks forms and estimation of their number, Comm. Algebra 23 (1995), 3205-3233.

[Vd96] *A. Vdovina.* On the number of nonorientable Wicks forms in a free group, Proc. Royal Soc. Edinb. Sect. A 126 (1996), 113-116.

[Vd97] *A. Vdovina.* Product of commutators in free products, Internat. J. Algebra Comput. 7 (1997), 471-485.

[Wa67] *C. T. C. Wall.* Classification problems in differential topology, IV, Thickenings // Topology 1966. 5. P. 73–94.

[Wa67] *F. Waldhausen.* Eine Klasse von 3-dimensional Mannigfaltigkeiten, I // Invent. Math. 1967. 3. P. 308-333.

[Wr77] *P. Wright.* Covering 2-dimensional polyhedra by 3-manifolds spines // Topology. 1977. 16. P. 435-439.

This figure "tel1.jpg" is available in "jpg" format from:

http://arXiv.org/ps/0808.1395v1

This figure "tel2.jpg" is available in "jpg" format from:

http://arXiv.org/ps/0808.1395v1